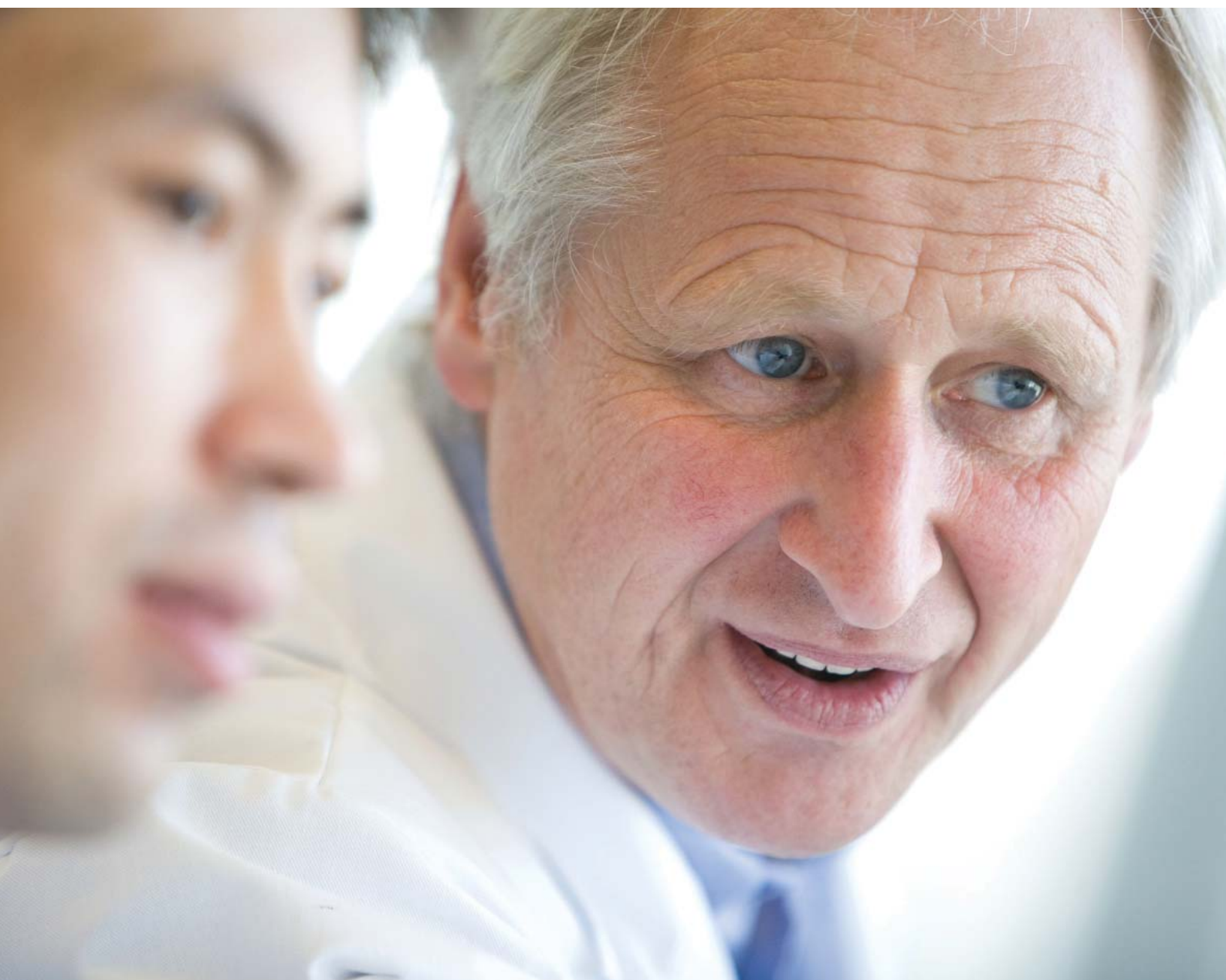


# **Roche Diagnostics France**

## *Catalogue produits VENTANA*

Edition 2012-2013





## *Des systèmes intelligents*

*Nous développons des plateformes de coloration et des solutions d'organisation du laboratoire innovantes qui vous permettent de manipuler chaque échantillon d'un patient individuellement, même lorsque vous gérez des volumes importants. Vous pouvez compter sur les professionnels qui ont créé les premiers procédés de coloration de lame pour l'IHC et l'ISH entièrement automatisés, destinés à fournir à votre laboratoire qualité et standardisation.*

## *Un diagnostic de qualité*

*Guidés par les données scientifiques, nous avons mis au point un catalogue de réactifs pré-dilués et prêts à l'emploi complet et avancé afin d'aider votre laboratoire. Tous nos anticorps ont été spécifiquement développés pour une utilisation optimale avec nos instruments, en vue d'atteindre des niveaux d'efficacité, de précision et de qualité nécessaires dans vos colorations de routine et complexes.*

## *Des résultats rapides*

*Notre solution focalisée sur le patient est un Système Intelligent, entièrement automatisé pour des résultats rapides et reproductibles en toute sécurité.*

## **Désormais disponible | Le laboratoire du futur.**

*Découvrez la simplicité et l'assurance que procurent des réactifs optimisés et prêts à l'emploi, des plateformes de coloration entièrement automatisées et une gestion du flux de travail simplifiée, tous développés par un partenaire stratégique capable de délivrer des solutions de diagnostic du cancer les plus précises et personnalisées aux laboratoires.*



## Sommaire

<b>Solutions d'organisation de laboratoire</b>	<b>1</b>
VENTANA VANTAGE	3
Workflow Consulting	7
<b>H&amp;E</b>	<b>11</b>
VENTANA SYMPHONY	13
<b>Colorations spéciales</b>	<b>17</b>
VENTANA BenchMark Special Stains	19
Kits de Colorations Spéciales	22
Autres réactifs et consommables	33
<b>IHC &amp; HIS</b>	<b>35</b>
VENTANA BenchMark ULTRA	37
VENTANA BenchMark XT	41
VENTANA BenchMark GX	45
Kits de détection	49
Anticorps primaires par pathologie	55
Anticorps primaires par ordre alphabétique	68
Anticorps d'immunofluorescence	179
Anticorps primaires de Recherche	183
Sondes moléculaires	185
Autres réactifs et consommables	193
<b>Pathologie numérique</b>	<b>213</b>
VENTANA iScan Coreo	214
VENTANA iScan HT	218
Logiciel de gestion d'images Virtuoso	222
<b>Services Clients</b>	<b>227</b>
Centre d'appels	228
Centre de formation	232

## Clause de non-responsabilité

Malgré tous les efforts fournis pour apporter dans ce catalogue des informations exactes et complètes, il se peut que notre société soit amenée à modifier ou mettre à jour certaines données à tout moment et sans préavis. Notre société n'assume, de manière expresse ou implicite, ni l'exactitude, ni la fiabilité ni l'exhaustivité des informations données. Les photos sont fournies à titre indicatif uniquement et ne garantissent pas le résultat des colorations.

Il se peut que certains produits ne soient pas disponibles dans votre pays. Contactez le représentant Roche le plus proche de chez vous pour connaître la disponibilité de nos produits dans votre région ainsi que les conditions générales de vente applicables.



# Solutions d'organisation de laboratoire |

VENTANA VANTAGE 3

Workflow Consulting 7

S07-916 A1-2



**EGFR**

Lung bx 11/5/2008

John Doe

a1020



# VENTANA VANTAGE

## Solution d'organisation de laboratoire

*Le système VENTANA VANTAGE est pionnier dans son secteur. Les laboratoires peuvent ainsi bénéficier d'une chaîne de contrôle exhaustive, de processus « lean » intégrés et d'une visibilité intégrale de leurs activités à tout moment et depuis n'importe quel ordinateur. Cette solution complète pour les laboratoires d'histologie, à savoir la partie matérielle, le logiciel et les conseils en flux de travail, vous permet de superviser l'ensemble de vos tâches sous une seule perspective stratégique. Ce produit complet automatise, rationalise et intègre l'activité d'un laboratoire ainsi que le flux d'informations pour plus d'efficacité et moins de risques.*

*La solution d'organisation de laboratoire VENTANA VANTAGE est conçue selon les principes Lean Six Sigma et offre l'assistance d'une équipe de consultants spécialisés en gestion des processus pour optimiser au mieux votre activité.*

### Et vous, quels sont VOS besoins ?

**J'ai besoin d'une vision en temps réel pour gérer mes processus.**

- Consultez à tout moment un tableau de bord exhaustif des performances de votre laboratoire.
- Identifiez les axes d'amélioration possibles de la qualité, des compétences du personnel et de l'efficacité.
- Fournissez immédiatement des rapports de conformité et d'audit.

**J'ai besoin de réduire le nombre d'erreurs et de limiter les risques.**

- Obtenez une identification positive des spécimens pour toutes les cassettes, les blocs et les lames à l'aide de lecteurs de codes-barres à chaque poste de travail.
- Localisez immédiatement la lame d'un patient, à tout moment et depuis n'importe quel ordinateur avec un accès à Internet.
- Limitez le nombre d'erreurs grâce à une identification de la lame par une étiquette unique.

**J'ai besoin de délais d'exécution rapides et d'une gestion efficace des processus.**

- Collaborez avec des experts Lean en histologie pour améliorer votre flux de travail.
- Introduisez un processus de travail unifié et rationalisez grâce à des écrans tactiles intuitifs.
- Simplifiez les étapes de votre flux de travail, réduisez l'utilisation de papier et supprimez les activités sans valeur ajoutée.

## Workflow

### Votre solution intégrée de gestion de flux de travail

Ce logiciel professionnel offre des outils adaptés à vos postes de travail ainsi que des écrans tactiles ergonomiques, et se connecte à vos instruments VENTANA. La solution d'organisation de laboratoire VENTANA VANTAGE vous permet de traiter vos spécimens en vérifiant l'intégrité des échantillons, en capturant la totalité des informations de votre flux de travail et en fournissant une analyse pertinente des performances à l'aide de tableaux de bord, de rapports et d'autres outils.

La solution d'organisation de laboratoire VENTANA VANTAGE est immédiatement opérationnelle, peut être déployée rapidement et s'intègre au système d'informations du laboratoire (LIS). Gérez le flux de travail de votre laboratoire en toute sérénité. Grâce à VENTANA VANTAGE, vous pouvez vous concentrer sur les activités à valeur ajoutée qui assureront le succès de votre laboratoire.

---

### Instaurez une chaîne de contrôle complète.

La solution d'organisation de laboratoire VENTANA VANTAGE rassemble toutes nos plateformes automatisées et crée une chaîne de contrôle complète et continue qui englobe tout votre laboratoire.

---

### Localisez tout spécimen, tout bloc ou toute lame en temps réel.

Demandez à VENTANA VANTAGE de localiser la lame d'un patient, sur n'importe quel instrument et à tout moment de votre processus, vous pouvez compter sur un résultat exact en temps réel.

---

### Éliminez les redondances, réduisez le nombre d'erreurs.

Éliminez les double-saisies, le ré-étiquetage et les erreurs d'étiquetage grâce à un étiquetage individuel et des lecteurs de codes-barres à chaque poste de travail.

---

### Saisissez les informations du patient avec précision.

Récupérez les informations du patient rapidement en scannant le code-barres, accélérez les vérifications et réduisez les risques d'erreur.

## Informations pour la commande

Produit	Référence	Description
VENTANA VANTAGE	Pour de plus amples renseignements, veuillez contacter notre représentant local.	La solution complète d'organisation de laboratoire VENTANA VANTAGE est conçue pour améliorer la productivité et réduire les risques en anatomopathologie. Notre solution intègre la méthodologie Lean Six Sigma et fournit une traçabilité exhaustive des spécimens, une meilleure qualité de contrôle et un système informatique inégalé.









# Conseil en organisation de laboratoire

*De nos jours, les laboratoires ont une activité très complexe. Le Workflow Consulting leur permet de simplifier et rationaliser leur gestion et de gagner en performance. En tant que partenaire en automatisation Lean depuis des années, nous développons nos services sur le terrain pour vous permettre d'optimiser vos résultats et de réduire vos coûts.*

**Lean Six Sigma :** *Aujourd'hui, les secteurs de pointe ont leurs mots à la mode. Mais le meilleur et le plus puissant outil du monde est inutile si nous n'apprenons pas à l'utiliser tous les jours. Quel est le sens exact des mots et comment vont-ils vous aider à optimiser la gestion de votre laboratoire au quotidien ? Nos consultants en organisation de laboratoire vous aideront à comprendre et appliquer la méthodologie Lean pour apporter une réponse aux problèmes concrets de votre laboratoire.*

## Et vous, quels sont VOS besoins ?

**J'ai besoin de délais d'exécution rapides et d'une gestion efficace des processus.**

- Standardisez vos processus pour assurer des résultats de qualité.
- Optimisez votre flux de travail pour réduire le temps de transport des échantillons, le temps d'attente et les déchets.
- Identifiez les étapes où l'intégration de produits VENTANA peut supprimer les activités sans valeur ajoutée.

**J'ai besoin d'améliorer les performances sans accroître les coûts.**

- Adaptez le personnel aux besoins de votre laboratoire pour équilibrer le flux de travail et réduire les heures supplémentaires.
- Revoyez l'agencement des installations afin d'optimiser l'utilisation de l'espace dans votre établissement.

**J'ai besoin de réduire le nombre d'erreurs et de limiter les risques.**

- Localisez les sources potentielles d'erreurs d'étiquetage et de contamination croisée dans le flux de travail de votre laboratoire.
- Suggérez des améliorations pour repérer et réduire les tâches redondantes.
- Échangez vos meilleures pratiques et les leçons que vous en tirez.

## Workflow Consulting

Nos consultants sont des experts en matière de Lean Six Sigma et sont vos meilleurs alliés car ils ont travaillé eux-mêmes au sein de laboratoires. Notre équipe vous apporte :

---

### Son expérience

Vous devez régler un problème difficile ? Nous avons déjà certainement résolu un problème semblable au vôtre. À ce jour, notre équipe a géré plus de 125 projets de laboratoires d'anatomo-pathologie dans le monde entier. Nous vous proposons une prestation de conseil en Workflow d'une durée classique de trois à cinq jours au cours de laquelle l'un de nos consultants examine et documente les opportunités de rationalisation de votre processus, synthétise ses observations et apporte des conseils détaillés sur les axes d'amélioration aux dirigeants et au personnel de votre laboratoire.

---

### Technologies de pointe

Nous nous attachons à associer les dernières technologies, les derniers systèmes informatiques et le matériel le plus récent au flux de travail le plus efficace pour vous permettre d'optimiser vos résultats.

---

### Partenariat

Nos consultants sont vos partenaires dans l'amélioration à long terme de votre laboratoire, alors, si vous avez des questions trois semaines ou trois mois après la fin du projet, n'hésitez pas à nous contacter, nous sommes à votre service.

---

### Accès à l'archivage

Nos consultants en flux de travail vous assisteront pour vous permettre de simplifier, accélérer et fiabiliser les processus de votre laboratoire. En collaborant étroitement avec votre équipe, nous pourrions identifier et traiter les opportunités d'optimisation de votre flux de travail. Optimisez les performances de votre laboratoire, depuis la réception d'un échantillon au diagnostic que vous fournissez à un patient.

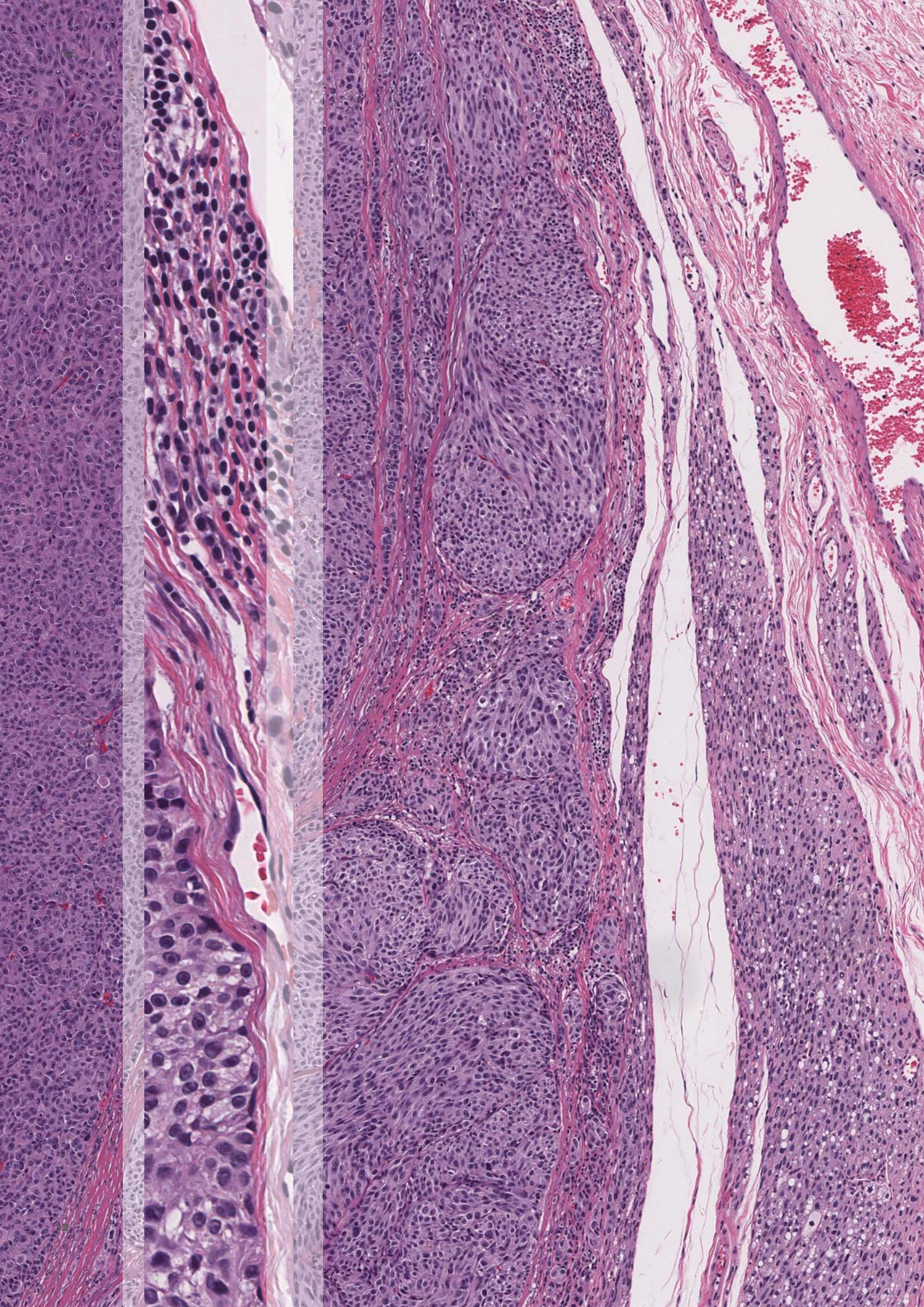




**H&E |**

VENTANA SYMPHONY 13







# VENTANA SYMPHONY

## Système de coloration H&E entièrement automatisé

*L'automate VENTANA SYMPHONY permet la coloration individuelle des lames H&E. L'application de réactif frais pour chaque lame élimine les risques de contamination croisée des tissus, susceptible de se produire avec les méthodes classiques de coloration par baignades. Spécialement conçu pour augmenter l'efficacité du laboratoire, améliorer la qualité de coloration et limiter les risques, le système VENTANA SYMPHONY rend le processus de coloration H&E plus précis et plus personnel.*

### Qu'avez-VOUS à l'esprit ?

**J'ai besoin de délais d'exécution rapides et d'une gestion efficace des flux de travail.**

- Faites en sorte que vos techniciens puissent se concentrer sur des tâches à valeur ajoutée grâce au traitement des lames H&E entièrement automatisé en un seul clic sans intervention de l'opérateur pendant le processus.
- Optimisez votre flux de travail avec l'intégration de la solution d'organisation VENTANA VANTAGE.

**J'ai besoin de donner des résultats précis pour que les médecins puissent établir des diagnostics précis.**

- Comptez sur des résultats cohérents, reproductibles tout au long de la journée avec une application de réactif frais sur chaque lame.
- Améliorez votre capacité de diagnostic avec l'excellente visualisation du détail micro-anatomique.

**J'ai besoin de réduire le nombre d'erreurs et de limiter le risque.**

- Garantisiez une identification positive du patient avec des lames avec codes à barre.
- Éliminez les risques de contamination croisée avec une coloration individuelle pour chaque lame de patient.
- Limitez l'exposition du technicien aux solvants toxiques avec le VENTANA SYMPHONY Clear, solution sans xylène.



## Spécifications

### Caractéristiques générales

<b>Capacité</b>	<ul style="list-style-type: none"> <li>Permet un chargement continu allant jusqu'à 500 lames à la fois avec un débit approximatif de 160 à 200 lames par heure. Les plateaux à lames universels peuvent comporter jusqu'à 20 lames individuelles et peuvent être empilés ou imbriqués dans l'attente d'être examinés par le pathologiste. « Slide Detect » ID — fonctionnalité d'identification et suivi des lames, compatible avec de multiples formats de code à barre</li> <li>Traitement simultané de multiples plateaux à lames : séchage, déparaffinage, coloration et montage de lame</li> </ul>
<b>Réactifs</b>	<ul style="list-style-type: none"> <li>Toutes les solutions VENTANA SYMPHONY sont scellées, pré-conditionnées, prêtes à l'emploi et contrôlées par RFID pour la gestion du stock. Les solutions VENTANA SYMPHONY peuvent être remplacées à tout instant, sans avoir à interrompre le processus de coloration</li> </ul>
<b>Approvisionnement en eau déionisée</b>	<ul style="list-style-type: none"> <li>Débit de qualité d'eau déionisée NCCLS type II ou type III DI supérieur à 650 ml/min tout en maintenant une pression dynamique supérieure à 92,2 bars pour une pression statique à 146 bars</li> </ul>
<b>Communication</b>	<ul style="list-style-type: none"> <li>Catégorie standard 5, connecteur réseau RJ 45, situé à 426 cm maximum à gauche du port réseau de l'instrument avec les ports TCP/IP 80 et 443 ouverts</li> </ul>
<b>Configuration</b>	<ul style="list-style-type: none"> <li>Posé au sol</li> </ul>
<b>Certifications</b>	<ul style="list-style-type: none"> <li>Conformité CSA (Indicateurs C et US), EMC, CE et C-TICK</li> </ul>

### Fonctions

- Télémaintenance CareGiver — Une solution de diagnostic et de surveillance automatisée à distance qui assure un service de surveillance continu et à distance
- Des réactifs frais sont utilisés pour chaque lame, ce qui donne lieu à des résultats homogènes et reproductibles

### Exigences environnementales

<b>Ventilation</b>	<ul style="list-style-type: none"> <li>Le conduit de ventilation de l'installation doit être d'un diamètre de 7,62 cm et doit se trouver à une distance située entre 31 et 457 cm de l'instrument. La spécification du débit de ventilation doit être de 59,4 m<sup>3</sup>/h au minimum et 118 m<sup>3</sup>/h au maximum</li> </ul>
<b>Élimination des déchets liquides</b>	<ul style="list-style-type: none"> <li>L'évacuation doit se trouver à 457 cm au maximum à droite de l'instrument et ne doit pas dépasser 91 cm de hauteur</li> </ul>

### Spécifications électriques

- Circuit dédié / isolé de 20 Amp
- 230 ± 10 % volts nominal CA, 50/60 Hz - réceptacle standard NEMA 6-20R

### Caractéristiques physiques

<b>Espace requis</b>	<ul style="list-style-type: none"> <li>Largeur recommandée supérieure à 249 cm. Cela permet d'ouvrir les portes à 180 degrés</li> <li>La hauteur doit être supérieure à 219 cm (hors roulettes, niveaux et ventilation)</li> <li>La profondeur doit être supérieure à 131 cm espacé du mur de 13 cm</li> <li>Dimensions physiques de l'instrument (H x L x P) : 188 cm x 125 cm x 72 cm</li> </ul>
----------------------	--



## Informations pour la commande

Produit	Référence	Description	Quantité
VENTANA SYMPHONY	06114270001	Plateforme de coloration H&E entièrement automatisée qui traite individuellement les prélèvements du séchage à la coloration et au montage des lames.	1
SYMPHONY B	900-204 05279496001	Conçu pour être utilisé comme réactif bleuissant. Utilisé conjointement avec SYMPHONY N1 et N2+, SYMPHONY B changera la teinte de la coloration nucléaire de pourpre en bleu.	Boîte 1 L
SYMPHONY C	900-202 05279470001	Conçu pour la coloration cytoplasmique et d'autres composants non-nucléaires dont les teintes varient du rouge au rose, fournissant une excellente différenciation entre le collagène, le muscle lisse et les structures éosinophiles.	Boîte 1 L
SYMPHONY Clear	900-209 05279518001	Solution sans xylène utilisée pour le déparaffinage et la préparation des sections de tissu au cours du processus de coloration.	Bouteille 2 L
SYMPHONY D	900-210 05279526001	Utilisé pour la différenciation entre les composants nucléaires colorés avec SYMPHONY N2+ dans des protocoles de coloration régressifs.	Boîte 1 L
SYMPHONY N1	900-201 05279461001	Conçu pour la coloration de noyaux et autres structures de cellules basophiles de mauve à violet foncé ; utilisé pour la coloration progressive.	Boîte 1 L
SYMPHONY N2+	900-213 05279542001	Conçu pour la coloration de noyaux et autres structures de cellules basophiles de mauve à noir ; utilisé pour la coloration progressive.	Boîte 1 L
SYMPHONY W	900-203 05279488001	Solution de lavage utilisée pour les étapes de rinçage qui ont lieu entre les applications aqueuses au cours du processus de coloration.	Boîte 1 L
Lamelles de verre SYMPHONY OPTISURE	900-221 05448590001	Lamelles de verre spéciales appliquées à la suite des étapes de coloration et de déshydratation dans l'automate VENTANA SYMPHONY pour améliorer la clarté optique et l'archivabilité des sections de tissu coloré. Les lamelles OPTISURE sont pré-encollées d'un milieu de montage sec et sont conditionnées en cassettes à charger dans le système VENTANA SYMPHONY.	1 440 (12 cassettes de 120 lamelles)
Kit de nettoyage SYMPHONY N2+	900-217 05279593001	Utilisé pour le nettoyage des tubulures SYMPHONY N2+.	1 kit
Filtre dessiccateur SYMPHONY	2094800 05258898001	Supprime l'humidité de l'air, créant une humidité optimale au sein du module de montage de lame.	1 filtre
Kit de plateaux SYMPHONY (25 mm)	900-301 05279631001	Plateaux de remplacement ; chaque plateau pouvant accueillir 20 lames.	5 plateaux/kit
Kit de plateaux SYMPHONY (26 mm)	900-311 05279674001	Plateaux de remplacement ; chaque plateau pouvant accueillir 20 lames.	5 plateaux/kit

Le système VENTANA SYMPHONY et les réactifs de la gamme SYMPHONY sont conçus pour être utilisés à des fins de coloration histologique qualitative sur lame de verre pour mettre en évidence la morphologie du noyau, du cytoplasme et des composants tissulaires. L'appareil, les réactifs et les consommables sont conçus pour être utilisés en diagnostic *in vitro*. Ils sont marqués CE IVD.

Mandataire : Roche Diagnostics GmbH (Allemagne)

Lire attentivement les instructions figurant dans le manuel d'utilisation.

Référence Ventana en noir, référence Roche en bleu.



## Colorations Spéciales |

VENTANA BenchMark Special Stains	19
Kits de Colorations Spéciales	22
Autres réactifs et consommables	33



# VENTANA BenchMark Special Stains

*Accédez à l'automatisation complète de vos colorations spéciales grâce au BenchMark Special Stains, alliant Sécurité, Workflow et Qualité. Cette solution toute automatisée inclut les étapes de séchage et de déparaffinage des lames, et garantit des colorations spéciales de haute qualité pour des diagnostics rapides et précis chaque jour. Parmi la vaste gamme VENTANA de colorations spéciales simples et complexes, adoptez les nouveaux kits pour Trichrome et Steiner, reformulés pour garantir des colorations de qualité supérieure.*

## Quels sont VOS besoins ?

**J'ai besoin de temps d'exécution rapides et d'efficacité dans les processus.**

- L'automatisation complète assure l'efficacité du déroulement des opérations.
- Éliminez les étapes de préparation manuelle des réactifs et gagnez du temps grâce à l'utilisation de kits prêts à l'emploi.
- Libérez du temps technicien pour d'autres activités à valeur ajoutée.
- Éliminez les étapes manuelles et les problèmes liés à l'uniformisation de la température, grâce au séchage et déparaffinage intégrés et au chauffage individuel des lames.

**J'ai besoin de fournir des colorations spéciales de qualité optimale et constante pour garantir des diagnostics fiables et en toute sécurité.**

- Choisissez votre durée d'incubation et vos options de contre-coloration optimales pour de nombreuses colorations.
- Grâce à l'automatisation complète et un traitement individuel des lames, obtenez des colorations homogènes de haute qualité et reproductibles.
- Personnalisez et sauvegardez vos meilleurs protocoles à partir d'un menu d'options.

**J'ai besoin de garantir la sécurité du personnel et des patients.**

- Diminuez les risques pour les techniciens de laboratoire grâce à l'utilisation de réactifs prêts à l'emploi et à une moindre exposition aux produits chimiques nocifs.
- Obtenez des colorations spéciales irréprochables avec des réactifs standardisés et un contrôle-qualité précis pour un diagnostic fiable.



## Spécifications

### Caractéristiques générales

<b>Automatisation complète</b>	▪ Séchage des lames, déparaffinage et colorations spéciales
<b>Carrousel de lames</b>	▪ 1 à 20 lames avec un contrôle indépendant de la température pour chaque position
<b>Carrousel de réactifs</b>	▪ 25 positions de réactifs
<b>Lames</b>	▪ 25 x 75 mm ou 26 x 76 mm (lames de verre chargées positivement)
<b>Solutions tampons</b>	▪ Jusqu'à quatre solutions différentes dans des réservoirs de 3 à 6 litres
<b>Qualité de l'eau</b>	▪ Eau de type II NCCLS (National Committee for Clinical Laboratory Standards) ou équivalente (eau déionisée)
<b>Contrôle de la température</b>	▪ 37 à 70 °C
<b>Modularité</b>	▪ De 1 à 8 systèmes VENTANA BenchMark Special Stains peuvent être pilotés à partir d'un seul ordinateur
<b>Configuration</b>	▪ Posé au sol
<b>Certifications</b>	▪ Conforme aux directives CSA et CE

### Contraintes environnementales

<b>Dégagement thermique</b>	▪ 400 BTU/h en veille, 1000 BTU/h en état de fonctionnement
<b>Température de fonctionnement</b>	▪ 20 °C à 32 °C
<b>Humidité</b>	▪ 10 à 90 %, sans condensation

### Caractéristiques électriques

<b>Tension</b>	▪ 230 VAC ± 10 %
<b>Intensité</b>	▪ 3 Amps
<b>Fréquence</b>	▪ 50 à 60 Hz

Caractéristiques physiques	Module de coloration	Module des fluides automatisé	Module des déchets
<b>Dimensions (L x P x H)</b>	▪ 40,9 cm x 66 cm x 38,4 cm	▪ 50,8 cm x 61 cm x 38,1 cm	▪ 50,8 cm x 61 cm x 52,1 cm
<b>Poids</b>	▪ 30,8 kg	▪ 23,04 kg	▪ 22,5 kg
<b>Dégagements</b>	▪ Dessus 65,4 cm ▪ Côtés 10,2 cm ▪ Arrière 15,2 cm		

## Informations pour la commande

Produit	Référence	Description
VENTANA BenchMark Special Stains, Système Complet	06735410001	Système entièrement automatisé pour colorations spéciales, utilisant des réactifs optimisés, stables et prêt à l'emploi. Le Système Complet comprend a) le module de coloration BenchMark Special Stains ; b) un ordinateur muni du logiciel VSS (VENTANA SYSTEM SOFTWARE) ; c) un écran plat ; d) une imprimante d'étiquettes codes à barres E-Bar II ; e) une imprimante HP.
VENTANA BenchMark Special Stains, Module Supplémentaire	06735444001	Système entièrement automatisé pour colorations spéciales, utilisant des réactifs optimisés, stables et prêt à l'emploi. Le Module Supplémentaire comprend un module de coloration BenchMark Special Stains.

## Accessoires pour les automates VENTANA NexES Special Stains et BenchMark Special Stains

Produit	Référence	Description
Heavy Metal Extraction System	05279453001	Système d'extraction de métaux lourds
Vapour Extraction Filter	05279445001	Filtre d'extraction des vapeurs (uniquement pour NexES Special Stains)
Waste Container with Sealed Cap	05244820001	Bonbonne à déchets avec bouchon hermétique (uniquement pour NexES Special Stains)
Reagent Tray	05253578001	Carrousel pour les réactifs

## Imprimante d'étiquettes codes-barres E-Bar II et accessoires

Produit	Référence	Description
E-Bar II Barcode Slide Label System	05250862001	Imprimante d'étiquettes codes à barres pour lames de verre ~240 v, 50 à 60 Hz.  Câble, interface parallèle Cordon d'alimentation (international) Ruban d'imprimante Stylo de nettoyage de tête  Notice, Installation rapide Notice, Informations pour la commande Protections Mylar pour E-Bar (5 feuilles/paquet) Bloc d'alimentation Kit d'étiquettes E-Bar
E-Bar Label Kit	05248850001	5 rouleaux de 500 étiquettes et 5 feuillets de protection Mylar. Ruban d'imprimante non compris.
E-Bar Printer Ribbon	05250889001	Ruban d'imprimante E-Bar pour l'impression de 8 100 étiquettes..
Label Roll	05247829001	Rouleau de 500 étiquettes.

Le système VENTANA BenchMark Special Stains associé aux réactifs de colorations spéciales de la gamme VENTANA sont destinés à la coloration automatisée de prélèvements histologiques ou cytologiques sur des lames de verre à des fins de diagnostic *in vitro* en anatomopathologie. Ils sont marqués CE IVD.

Mandataire : Roche Diagnostics GmbH (Allemagne)

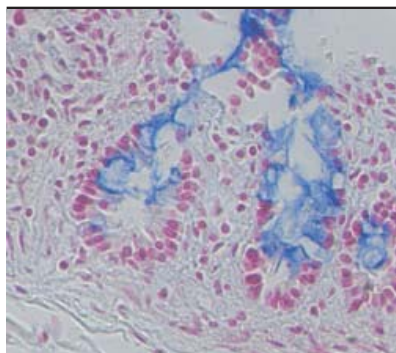
Lire attentivement les instructions figurant dans le manuel d'utilisation.



# Kits de Colorations Spéciales

## Coloration des mucines :

Bleu Alcian, Mucicarmin, PAS (coloration à l'acide périodique Schiff), Bleu Alcian pour PAS, Diastase pour PAS, Vert lumière pour PAS



### Kit de coloration Alcian Blue

<b>Référence</b>	860-002	<a href="#">05279186001</a>
<b>Témoin</b>	Côlon	
<b>Composants/Stockage</b>	Alcian Blue Stain	15 à 30 °C
	NFR Counterstain	15 à 30 °C
<b>Quantité</b>	75 tests	

### Description

Le kit de coloration Alcian Blue met en évidence les mucopolysaccharides faiblement acides. Au pH 2,5 le Bleu Alcian colore les mucines sulfatées, généralement d'origine épithéliale (et habituellement négatives pour le PAS), avec quelques occurrences dans le tissu conjonctif, par exemple dans le tissu sous-cutané en cas de déficience thyroïdienne (myxœdème) et dans les myxomes. Il colore également les sialomucines carboxylées que l'on trouve dans les mucines des glandes sous-maxillaires, de l'intestin grêle et du côlon ascendant, ainsi que les mucopolysaccharides acides sulfatés et carboxylés. Quelques exemples de composants colorés par le bleu alcian sont les cellules caliciformes, l'acide hyaluronique (que l'on trouve dans le sang de cordon ombilical et le tissu conjonctif du derme), les glandes salivaires et les cellules de la muqueuse gastrique. Le Bleu Alcian (pH 2,5) peut être utile pour détecter des anomalies génétiques dans le métabolisme des mucosubstances acides et des maladies du collagène résultant en une augmentation des mucosubstances acides. La présence de mucosubstances acides tend à décliner avec l'âge.



### Kit de coloration Mucicarmin

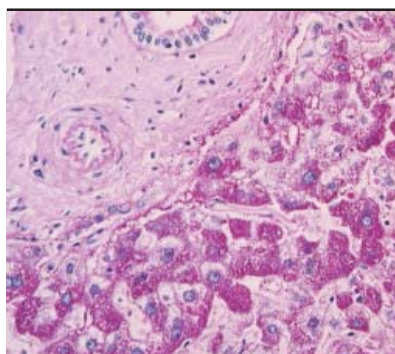
<b>Référence</b>	860-011	<a href="#">05279275001</a>
<b>Témoin</b>	Intestin	
<b>Composants/Stockage</b>	Iron Hematoxylin A	2 à 30 °C
	Iron Hematoxylin B	2 à 30 °C
	Tartrazine Counterstain	2 à 30 °C
	Mucicarmin Stain	2 à 8 °C
<b>Quantité</b>	75 tests	

### Description

Le kit de coloration Mucicarmin est utilisé pour détecter des mucopolysaccharides acides (mucine). La mucine est une sécrétion des mucopolysaccharides acides et d'autres substances produites par une variété de cellules épithéliales et conjonctives. Dans certains processus inflammatoires et certains carcinomes intestinaux, les cellules épithéliales sécrètent un excès de mucine. Le kit de coloration au Mucicarmin détecte les mucines d'origine épithéliale. Il se peut que la coloration soit de qualité médiocre sur les mucines de fibroblastes ou de tissu conjonctif. Cette coloration vise principalement à déterminer le foyer d'une tumeur primaire ou à distinguer les lésions à cellules squameuses non différenciées, qui sont négatives pour la mucine, des adénocarcinomes qui eux sont positifs pour la mucine. Comme les colorations manuelles actuellement utilisées, la coloration au Mucicarmin n'est peut-être pas appropriée pour la détection des cancers métastatiques de l'estomac. La coloration peut aussi être utilisée pour aider à identifier *Cryptococcus neoformans*, un champignon pathogène contenant de la mucine dans sa capsule. Le carmin et le mordant à l'aluminium se combinent pour donner à la mucine épithéliale une couleur rose profond à rouge. Bien que le mécanisme ne soit pas complètement compris, on pense que l'aluminium forme un complexe de chélation avec le carmin, comme un pigment, pour produire une charge nette positive. Le complexe se lie ensuite aux groupes acides de la mucine. La contre-coloration à la Tartrazine est appliquée pour fournir un fond jaune contrastant. La mucine est colorée en rose profond. Les noyaux cellulaires sont colorés en noir. Les autres éléments tissulaires sont colorés en jaune par le contre-colorant. La capsule de *Cryptococcus neoformans* est colorée en rouge foncé.

Référence VENTANA en noir, référence Roche en bleu.



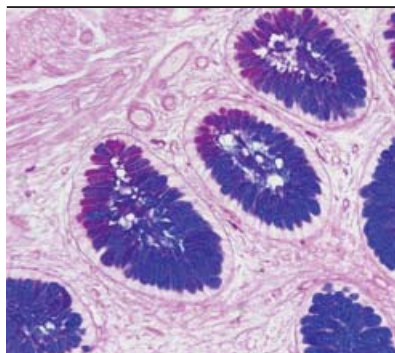


### Kit de coloration PAS

Référence	860-014	<a href="#">05279291001</a>
Type	PAS	
Témoin	Foie	
Composants/Stockage	Periodic Acid	2 à 30 °C
	Neutralizer	2 à 30 °C
	Hematoxylin Counterstain	2 à 30 °C
	Schiff's Reagent (3 flacons)*	2 à 8 °C
Quantité	75 tests	
	*Remarque : N'ouvrir qu'un seul flacon de réactif de Schiff à la fois. Chaque flacon est stable pendant un mois après son ouverture.	

### Description

Le kit de coloration PAS est utilisé pour mettre en évidence le glycogène dans les tissus. Les fibres réticulaires positives pour le PAS, la membrane basale, les champignons et les mucopolysaccharides neutres sont également détectés. Le kit de coloration PAS peut aussi aider à distinguer un adénocarcinome positif pour le PAS, aux cellules sécrétrices, d'un carcinome non différencié de cellules squameuses, négatif pour le PAS. Le kit de coloration PAS utilise l'acide périodique pour oxyder les glycols en aldéhydes. Le réactif de Schiff forme un composé dialdéhyde incolore qui est transformé pour prendre la coloration finale des composants cellulaires contenant du glycol. La coloration au PAS dans les sections de tissu et sa digestion avec la diastase apportent une aide utile dans le diagnostic des maladies de stockage du glycogène. Le kit de coloration PAS colore le glycogène en magenta vif et les noyaux cellulaires en violet clair.



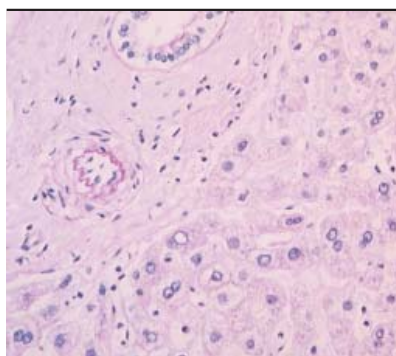
### Alcian Blue pour PAS

Référence	860-003	05279194001
Type	PAS/Bleu Alcian	
Témoin	Côlon	
Composants/Stockage	Alcian Blue Stain	15 à 30 °C
Quantité	75 tests	
	Remarque : Ce n'est pas un réactif indépendant ; il doit être utilisé en association avec le kit de coloration PAS.	

### Description

Le kit Bleu Alcian pour PAS est un réactif accessoire utilisé avec le kit de coloration PAS. En association avec le kit de coloration PAS, la mucine acide est colorée en bleu vif, tandis que les polysaccharides neutres sont colorés en magenta vif.

Référence VENTANA en noir, référence Roche en bleu.

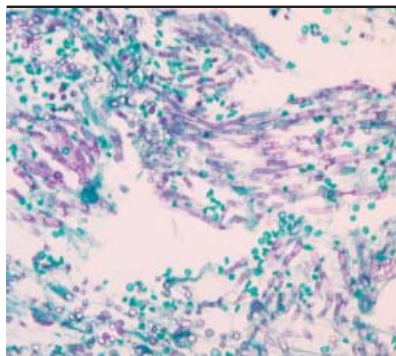


### Kit Diastase

<b>Référence</b>	860-004 <a href="#">05279208001</a>
<b>Type</b>	Diastase pour PAS
<b>Témoin</b>	Foie
<b>Composants/Stockage</b>	Diastase 2 à 8 °C
<b>Quantité</b>	75 tests
Remarque : Ce n'est pas un réactif indépendant ; il doit être utilisé en association avec le kit de coloration PAS.	

### Description

La diastase est une enzyme qui digère sélectivement (décompose) le glycogène. Elle est utilisée pour retirer le glycogène des tissus. Cela produit une coloration « négative pour le PAS » du glycogène. Toute coloration au PAS restante après digestion par la diastase doit provenir de polysaccharides neutres sans glycogène liés à des protéines, comme dans la mucine ou les champignons. Diastase pour PAS est un réactif accessoire utilisé avec le kit de coloration PAS pour identifier le glycogène de manière certaine, par son élimination et/ou l'éliminer de la section de tissu lorsqu'il interfère avec l'identification d'autres structures tissulaires positives pour le PAS. En effet, lorsque le glycogène est éliminé, la coloration magenta est absente, mais les noyaux sont toujours colorés en violet clair avec la contre-coloration Hématoxyline.



### Light Green pour PAS

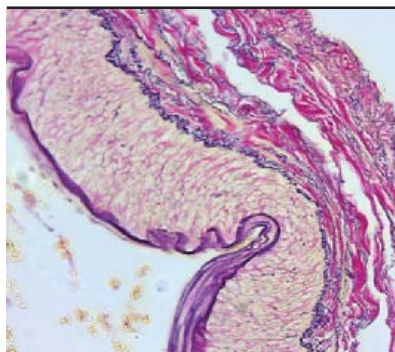
<b>Référence</b>	860-010 <a href="#">05279267001</a>
<b>Type</b>	PAS/Vert lumière
<b>Témoin</b>	Foie
<b>Composants/Stockage</b>	Light Green Counterstain 15 à 30 °C
<b>Quantité</b>	75 tests
Remarque : Ce n'est pas un réactif indépendant ; il doit être utilisé en association avec le kit de coloration PAS.	

### Description

Vert lumière pour PAS est un réactif accessoire utilisé avec le kit de coloration PAS. En association avec le kit de coloration PAS, les éléments fongiques sont colorés en magenta sur fond vert clair.

## Coloration des tissus conjonctifs :

Elastic, Jones, Jones Vert lumière, Réticuline, Trichrome Bleu, Trichrome Vert

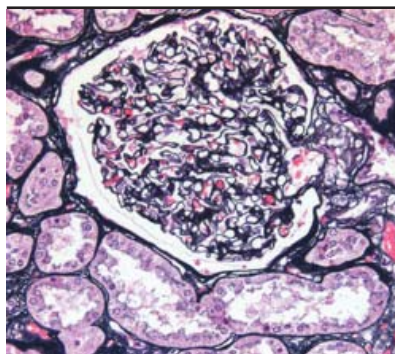


### Kit de coloration Elastic

<b>Référence</b>	860-005	05279216001
<b>Type</b>	Elastic (coloration de Hart modifiée)	
<b>Témoin</b>	Rein, Poumon, Peau	
<b>Composants/Stockage</b>	Elastic Clarifier	15 à 30 °C
	Decolorizer	15 à 30 °C
	Oxidizer	15 à 30 °C
	Elastic Tissue Stain	15 à 30 °C
	Van Gieson Solution	15 à 30 °C
<b>Quantité</b>	75 tests	

### Description

Le kit de coloration Elastic démontre les fibres élastiques dans les sections tissulaires. Le kit de coloration Elastic consiste en une modification de la méthode de Hart pour les fibres élastiques. Une solution de résorcine-fuchsine est utilisée pour colorer les fibres élastiques en bleu foncé ou violet à noir. Le collagène apparaît de rose à rouge. La solution de Van Gieson est appliquée pour obtenir un fond de coloration tissulaire jaune contrastant. Cette coloration est utile pour démontrer l'atrophie des tissus élastiques dans les cas d'emphysème, ainsi que l'amincissement et la perte des fibres élastiques qui survient dans l'artériosclérose et d'autres maladies vasculaires. Dans l'aorte normale, la plus grande partie des tissus est élastique et se colore en bleu foncé à violet. Dans les reins, les artères rénales prennent une coloration bleue foncée à violette, alors que le cortex se colore en rose à rouge. Dans les poumons, l'artère pulmonaire et les parois des bronches contiennent de l'élastine et se colorent en bleu foncé à violet. À forte puissance, les alvéoles présentent aussi un réseau de fibres élastiques entrelacées. Le kit de coloration Elastic permet de colorer les fibres élastiques des tissus en bleu foncé à violet sur fond jaune. Le collagène dans le tissu apparaît en rose à rouge.



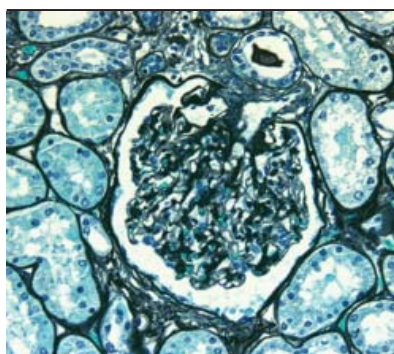
### Kit de coloration Jones H&E

<b>Référence</b>	860-019	05279348001
<b>Type</b>	Jones H&E (contre-colorations à l'hématoxyline et à l'éosine)	
<b>Témoin</b>	Rein	
<b>Composants/stockage</b>	Jones Toner	2 à 30 °C
	Jones Fixer	2 à 30 °C
	Jones Hematoxylin	2 à 30 °C
	Jones Eosin	2 à 30 °C
	Jones Periodic Acid	2 à 8 °C
	Jones Silver A	2 à 8 °C
	Jones Silver B	2 à 8 °C
<b>Quantité</b>	40 tests	

### Description

Le kit de coloration de Jones permet de mettre en évidence les membranes basales des capillaires. C'est une modification de la procédure de Jones à la Méthénamine Argent. Dans cette coloration, la méthénamine est utilisée pour mettre en évidence les hydrates de carbone dans la membrane basale. L'acide périodique est utilisé pour oxyder les hydrates de carbone en groupes aldéhyde. La solution Jones Silver A (une solution de nitrate d'argent) fournit les ions argent. La solution Jones Silver B fournit les conditions alcalines permettant de réduire les ions argent en argent métallique. Le réactif Jones Toner contient du chlorure d'or pour former un complexe d'or plus stable et éliminer les tons jaunes du tissu. Le fixateur, contenant du thiosulfate, arrête la réaction et élimine l'argent non réduit de la coupe. Cette coloration vise surtout à distinguer les anomalies pathologiques dans les maladies rénales. Les contre-colorants hématoxyline et éosine sont appliqués pour obtenir un contraste de fond. Le kit de coloration de Jones permet de colorer les membranes basales en noir sur fond rose clair. Les membranes basales prennent l'apparence de lignes tracées à l'encre noire et ces traits fins doivent être visibles dans les glomérules rénaux.

Référence VENTANA en noir, référence Roche en bleu.

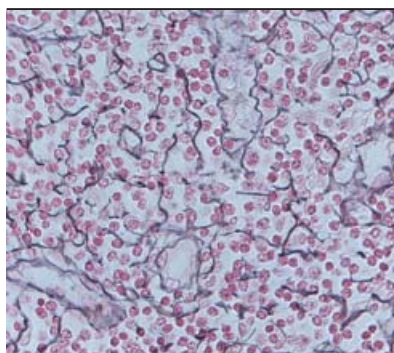


### Kit de coloration Jones Light Green

<b>Référence</b>	860-020	05279356001
<b>Type</b>	Jones (contre-colorations à l' hématoxyline et au Vert lumière)	
<b>Témoin</b>	Rein	
<b>Composants/stockage</b>	Jones Toner	2 à 30 °C
	Jones Fixer	2 à 30 °C
	Jones Hematoxylin	2 à 30 °C
	Jones Light Green	2 à 30 °C
	Jones Periodic Acid	2 à 8 °C
	Jones Silver A	2 à 8 °C
	Jones Silver B	2 à 8 °C
<b>Quantité</b>	40 tests	

#### Description

Le kit de coloration Jones Light Green permet de mettre en évidence les membranes basales des capillaires, c'est une modification de la procédure de Jones à la méthénamine argent. Dans cette coloration, la méthénamine est utilisée pour mettre en évidence les hydrates de carbone dans la membrane basale. L'acide périodique est utilisé pour oxyder les hydrates de carbone en groupes aldéhyde. La solution Jones Silver A (une solution de nitrate d'argent) fournit les ions argent. La solution Jones Silver B fournit les conditions alcalines permettant de réduire les ions argent en argent métallique. Le réactif Jones Toner contient du chlorure d'or pour former un complexe d'or plus stable et éliminer les tons jaunes du tissu. Le fixateur, Jones Fixer, contenant du thiosulfate, arrête la réaction et élimine l'argent non réduit de la coupe. Cette coloration vise surtout à distinguer les anomalies pathologiques dans les maladies rénales. Les contre-colorants hématoxyline et Vert lumière sont appliqués pour obtenir un contraste de fond. Le kit de coloration de Jones Vert clair permet de colorer les membranes basales en noir sur un fond vert clair. Les membranes basales prennent l'apparence de lignes tracées à l'encre noire et ces traits fins doivent être visibles dans les glomérules rénaux.



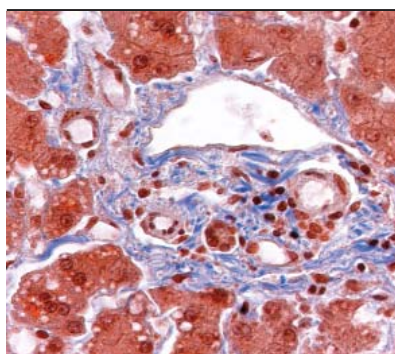
### Kit de coloration Reticulum II

<b>Référence</b>	860-024	05279399001
<b>Type</b>	Réticuline (modifiée par Gordon et Sweets)	
<b>Témoin</b>	Foie, Rate	
<b>Composants/Stockage</b>	Oxidizer	2 à 30 °C
	Decolorizer	2 à 30 °C
	Sensitizer	2 à 30 °C
	Reticulum II Reducer	2 à 30 °C
	Toner	2 à 30 °C
	Fixer II	2 à 30 °C
	Contre-colorant NFR	2 à 30 °C
	Réticuline II Argent A	2 à 8 °C
<b>Quantité</b>	75 tests	

#### Description

Le kit de coloration Réticuline II est utilisé pour mettre en évidence des fibres réticulaires. Cette coloration vise essentiellement à étayer le diagnostic différentiel de certains types de tumeurs. Dans certaines tumeurs, la réticuline est localisée dans une position caractéristique par rapport aux cellules tumorales. Les colorations de réticuline peuvent être utilisées pour révéler des états pathologiques d'organes tels que le foie, la rate et le rein, en démontrant des agencements réticulaires anormaux pour l'organe. Dans le foie normal, les fibres forment des filaments clairement définis, mais dans le foie atteint de nécrose ou de cirrhose, les fibres présentent des formations discontinues. Le kit de coloration Reticulum II est une modification de la coloration de Gordon et Sweets. L'oxydant, avec du permanganate de potassium, oxyde le tissu pour accentuer la coloration des fibres réticulaires. Le décolorant, avec l'acide oxalique, élimine le permanganate de potassium en excès. Le sensibilisateur, avec le sulfate d'ammonium ferrique, est ajouté pour former un composé organométallique. Le composé organométallique est remplacé par l'argent de la Réticuline II Argent A. Le réducteur est appliqué pour développer l'argent précipité en argent visible. Le réactif Toner contient du chlorure d'or pour plus de contraste et de clarté. Le fixateur, Fixer II, contenant du thiosulfate, arrête la réaction et élimine l'argent qui n'a pas réagi de la coupe. Le contre-colorant rouge nucléaire, NFR Counterstain, est appliqué pour fournir un contraste de fond. Le kit de coloration Reticulum II colore les fibres réticulaires en noir sur un fond rose à rouge.



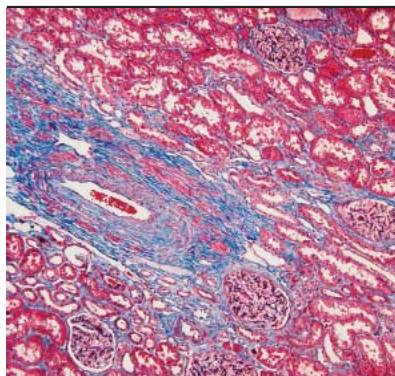


### Kit de coloration Trichrome II Blue (uniquement pour NexES Special Stains)

Référence	860-013 05279283001	
Témoin	Foie, Rein, Peau, Côlon	
Composants/stockage	Bouins Solution	15 à 30 °C
	Hematoxylin A	15 à 30 °C
	Hematoxylin B	15 à 30 °C
	Trichrome Red	15 à 30 °C
	Trichrome Mordant	15 à 30 °C
	Trichrome Blue II	15 à 30 °C
	Trichrome Clarifier	15 à 30 °C
Quantité	75 tests	

#### Description

Le kit de coloration Trichrome II est optimisé pour être utilisé sur les automates de coloration NexES Special Stains. Ce kit est utilisé pour étudier les tissus conjonctifs, les fibres de muscle et de collagène dans les tissus. Le kit de coloration Trichrome II est une modification du Trichrome de Masson. La solution de Bouin est appliquée aux sections de tissu pour intensifier la coloration finale. Le cytoplasme et le muscle sont colorés avec le Trichrome Red, contenant du Biebrich Scarlet et de la fuchsine acide. Les noyaux sont colorés à l'hématoxyline ferrique. Après application du Trichrome Mordant, le collagène est coloré au Trichrome Blue qui contient du bleu d'aniline. Le Trichrome Clarifier, une solution d'acide acétique, est appliqué pour obtenir une nuance de couleur plus subtile et transparente dans la section tissulaire.



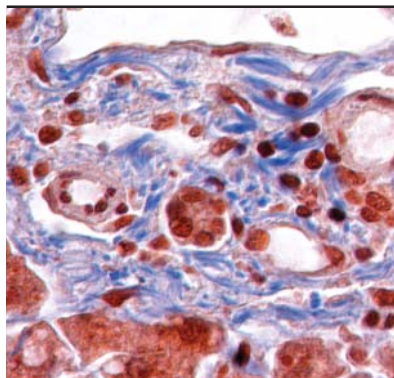
### Kit de coloration Trichrome III Blue (uniquement pour NexES Special Stains)

Annuaire des produits de diagnostic		
Référence	860-022 05279364001	
Type	Trichrome bleu (coloration de Masson modifiée)	
Témoin	Foie, Rein, Peau, Côlon	
Composants/Stockage	Bouin's Solution	2 à 8 °C
	Bouin's Solution 2	2 à 8 °C
	Trichrome III Hematoxylin A	2 à 8 °C
	Trichrome III Hematoxylin B	2 à 8 °C
	Trichrome III Enhancer	2 à 8 °C
	Trichrome III Red	2 à 8 °C
	Trichrome III Red 2	2 à 8 °C
	Trichrome III Mordant	2 à 8 °C
	Trichrome III Blue	2 à 8 °C
	Trichrome III Blue 2	2 à 8 °C
Quantité	75 tests	

#### Description

Le kit de coloration Trichrome III Blue est optimisé pour être utilisé sur les automates de coloration NexES Special Stains. Ce kit est utilisé pour étudier les tissus conjonctifs, les fibres de muscle et de collagène. Le kit de coloration Trichrome III Blue est une modification du Trichrome de Masson. La solution de Bouin est appliquée aux sections de tissu pour intensifier la coloration finale. Le cytoplasme et le muscle sont colorés avec le Trichrome Red, contenant du Biebrich Scarlet et de la fuchsine acide. Les noyaux sont colorés à l'hématoxyline ferrique. Après application du Trichrome III Mordant, le collagène est coloré au Trichrome III Blue qui contient du bleu d'aniline. Le kit de coloration Trichrome III Bleu colore le collagène en bleu, le muscle et les érythrocytes en rouge et les noyaux cellulaires en bleu-noir.

Référence VENTANA en noir, référence Roche en bleu.

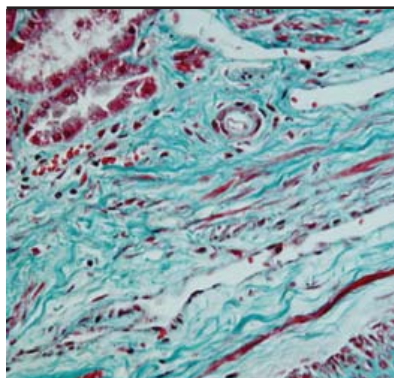


### Kit de coloration Trichrome (uniquement pour BenchMark Special Stains)

<b>Référence</b>	860-031 06521908001														
<b>Type</b>	Trichrome bleu (coloration de Masson modifiée)														
<b>Témoin</b>	Foie, Rein, Peau, Côlon														
<b>Composants/Stockage</b>	<table> <tr><td>Trichrome Bouin's</td><td>2 à 8 °C</td></tr> <tr><td>Trichrome Hematoxylin A</td><td>2 à 8 °C</td></tr> <tr><td>Trichrome Hematoxylin B</td><td>2 à 8 °C</td></tr> <tr><td>Trichrome Red</td><td>2 à 8 °C</td></tr> <tr><td>Trichrome Mordant</td><td>2 à 8 °C</td></tr> <tr><td>Trichrome Blue</td><td>2 à 8 °C</td></tr> <tr><td>Trichrome Clarifier</td><td>2 à 8 °C</td></tr> </table>	Trichrome Bouin's	2 à 8 °C	Trichrome Hematoxylin A	2 à 8 °C	Trichrome Hematoxylin B	2 à 8 °C	Trichrome Red	2 à 8 °C	Trichrome Mordant	2 à 8 °C	Trichrome Blue	2 à 8 °C	Trichrome Clarifier	2 à 8 °C
Trichrome Bouin's	2 à 8 °C														
Trichrome Hematoxylin A	2 à 8 °C														
Trichrome Hematoxylin B	2 à 8 °C														
Trichrome Red	2 à 8 °C														
Trichrome Mordant	2 à 8 °C														
Trichrome Blue	2 à 8 °C														
Trichrome Clarifier	2 à 8 °C														
<b>Quantité</b>	75 tests														

#### Description

Le kit de coloration Trichrome est optimisé pour être utilisé avec les automates de coloration BenchMark Special Stains. Ce kit est utilisé pour étudier les tissus conjonctifs, les fibres de muscle et de collagène dans les tissus. Le kit de coloration Trichrome est une modification du Trichrome de Masson. Du Trichrome Bouin's est appliqué et sert de mordant pour permettre la pénétration des colorants ultérieurs. Les noyaux sont colorés avec du Trichrome Hematoxylin A et du Trichrome Hematoxylin B (qui forment un complexe d'hématoxyline de fer). Le cytoplasme et le muscle sont colorés par le réactif Trichrome Red, qui contient de l'écarlate de Biebrich et de la fuchsine acide. Le Trichrome Mordant élimine l'excès de rouge du collagène ; ce dernier est coloré par le Trichrome Blue, qui contient du bleu d'aniline. Le Trichrome Clarifier est un acide acétique de rinçage qui permet d'éliminer l'excès de bleu.



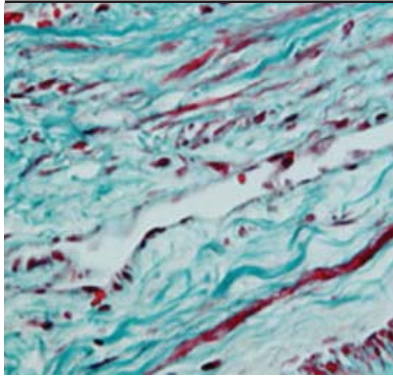
### Kit de coloration Trichrome III Green (uniquement pour NexES Special Stains)

<b>Référence</b>	860-023 05279372001																				
<b>Type</b>	Trichrome Vert (coloration de Masson modifiée)																				
<b>Témoin</b>	Foie, Rein, Peau, Côlon																				
<b>Composants/stockage</b>	<table> <tr><td>Bouin's Solution</td><td>2 à 8 °C</td></tr> <tr><td>Bouin's Solution 2</td><td>2 à 8 °C</td></tr> <tr><td>Trichrome III Hematoxylin A</td><td>2 à 8 °C</td></tr> <tr><td>Trichrome III Hematoxylin B</td><td>2 à 8 °C</td></tr> <tr><td>Trichrome III Enhancer</td><td>2 à 8 °C</td></tr> <tr><td>Trichrome III Red</td><td>2 à 8 °C</td></tr> <tr><td>Trichrome III Red 2</td><td>2 à 8 °C</td></tr> <tr><td>Trichrome III Mordant</td><td>2 à 8 °C</td></tr> <tr><td>Trichrome III Green</td><td>2 à 8 °C</td></tr> <tr><td>Trichrome III Green 2</td><td>2 à 8 °C</td></tr> </table>	Bouin's Solution	2 à 8 °C	Bouin's Solution 2	2 à 8 °C	Trichrome III Hematoxylin A	2 à 8 °C	Trichrome III Hematoxylin B	2 à 8 °C	Trichrome III Enhancer	2 à 8 °C	Trichrome III Red	2 à 8 °C	Trichrome III Red 2	2 à 8 °C	Trichrome III Mordant	2 à 8 °C	Trichrome III Green	2 à 8 °C	Trichrome III Green 2	2 à 8 °C
Bouin's Solution	2 à 8 °C																				
Bouin's Solution 2	2 à 8 °C																				
Trichrome III Hematoxylin A	2 à 8 °C																				
Trichrome III Hematoxylin B	2 à 8 °C																				
Trichrome III Enhancer	2 à 8 °C																				
Trichrome III Red	2 à 8 °C																				
Trichrome III Red 2	2 à 8 °C																				
Trichrome III Mordant	2 à 8 °C																				
Trichrome III Green	2 à 8 °C																				
Trichrome III Green 2	2 à 8 °C																				
<b>Quantité</b>	75 tests																				

#### Description

Le kit de coloration Trichrome III Green est optimisé pour être utilisé sur les automates de coloration NexES Special Stains. Ce kit est utilisé pour étudier les tissus conjonctifs, les fibres de muscle et de collagène. Le kit de coloration Trichrome III Green est une modification du Trichrome de Masson. La solution de Bouin est appliquée aux sections de tissu pour intensifier la coloration finale. Le cytoplasme et le muscle sont colorés avec le Trichrome Red, contenant du Biebrich Scarlet et de la fuchsine acide. Les noyaux sont colorés à l'hématoxyline ferrique. Après application du Trichrome III Mordant, le collagène est coloré au Trichrome III Green qui contient du vert rapide FCF. Le kit de coloration Trichrome III Green colore le collagène en vert, le muscle et les érythrocytes en rouge et les noyaux cellulaires en bleu à noir.

Référence VENTANA en noir, référence Roche en bleu.



### Kit Green for Trichrome

(uniquement pour BenchMark Special Stains)

<b>Référence</b>	860-032 065219160001
<b>Type</b>	Trichrome Vert (coloration de Masson modifiée)
<b>Témoin</b>	Foie, Rein, Peau, Côlon
<b>Composants/stockage</b>	Trichrome Green 2 à 8 °C
<b>Quantité</b>	75 tests

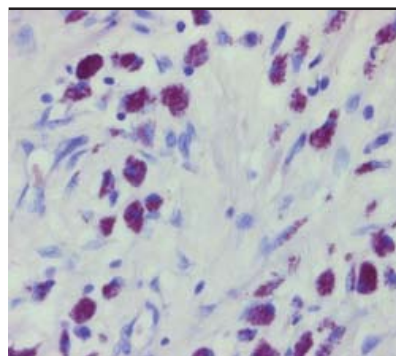
### Description

Le kit de coloration Trichrome III Green est optimisé pour être utilisé sur les automates de coloration NexES Special Stains. Ce kit est utilisé pour étudier les tissus conjonctifs, les fibres de muscle et de collagène. Le kit de coloration Trichrome III Green est une modification du Trichrome de Masson. La solution de Bouin est appliquée aux sections de tissu pour intensifier la coloration finale. Le cytoplasme et le muscle sont colorés avec le Trichrome Red, contenant du Biebrich Scarlet et de la fuchsine acide. Les noyaux sont colorés à l'hématoxyline ferrique. Après application du Trichrome III Mordant, le collagène est coloré au Trichrome III Green qui contient du vert rapide FCF. Le kit de coloration Trichrome III Green colore le collagène en vert, le muscle et les érythrocytes en rouge et les noyaux cellulaires en bleu à noir.

Référence VENTANA en noir, référence Roche en bleu.

## Coloration des microorganismes :

AFB, Jaune Alcian, GMS, Steiner

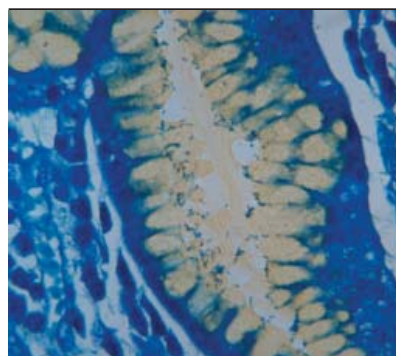


### Kit de coloration AFB III

<b>Référence</b>	860-027	05279437001
<b>Type</b>	Bacille acido-résistant (Ziehl-Neelsen modifié)	
<b>Témoin</b>	Tissu positif pour les bactéries acido-résistantes	
<b>Composants/stockage</b>	AFB Stain	15 à 30 °C
	AFB Decolorizer II	15 à 30 °C
	AFB III Blue	15 à 30 °C
<b>Quantité</b>	75 tests	

### Description

Le kit de coloration AFB III est utilisé pour mettre sélectivement en évidence des mycobactéries, ainsi que d'autres organismes et composants acido-résistants dans les tissus. Le kit de coloration AFB III est une modification de la coloration de Ziehl-Neelsen. Une solution de fuchsine phéniquée est utilisée pour colorer en rouge les organismes et composants acido-résistants. Le contre-colorant bleu d'aniline est appliqué pour fournir un fond bleu faisant contraste.



### Kit de coloration Alcian Yellow

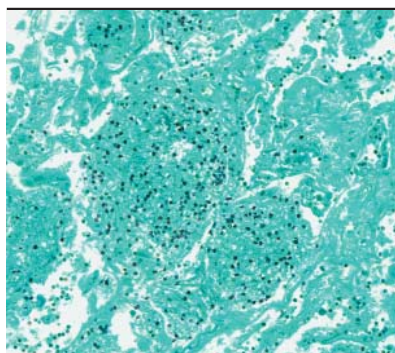
<b>Référence</b>	860-017	05279321001
<b>Témoin</b>	Tissu gastrique positif pour <i>Helicobacter pylori</i>	
<b>Composants/stockage</b>	Alcian Yellow Toluidine Blue	2 à 8 °C
	Alcian Yellow Sensitizer	2 à 8 °C
	Alcian Yellow Oxidizer	2 à 8 °C
	Alcian Yellow Stain	2 à 8 °C
	Alcian Yellow Clarifier (3 flacons*)	2 à 8 °C
<b>Quantité</b>	75 tests	

\*Remarque : Ouvrir un seul flacon de Alcian Yellow Clarifier à la fois. Chaque flacon est stable pendant un mois après son ouverture.

### Description

*Helicobacter pylori* est une bactérie à gram négatif dont on a montré qu'elle est l'agent causal de certains ulcères gastriques et duodénaux. C'est la cause la plus commune de gastrite antrale et elle a été associée au carcinome gastrique distal et à des lymphomes gastriques de faible malignité. Il a été prouvé qu'*Helicobacter pylori* peut survivre dans le milieu acide de l'estomac et que cette bactérie est capable de détruire la mucine neutre sécrétée par les cellules épithéliales de la surface. L'identification de la bactérie dans une biopsie gastrique et un traitement rapide par antibiotiques peuvent conduire à une guérison rapide du patient. Le kit de coloration Alcian Yellow colore *Helicobacter pylori* en bleu, le fond en bleu et la mucine en jaune.



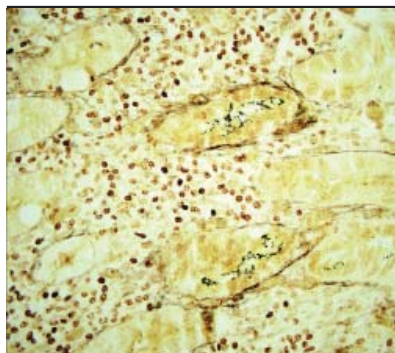


### Kit de coloration GMS II

<b>Référence</b>	860-028 05412749001	
<b>Type</b>	Méthénamine argent de Gomori (modifiée)	
<b>Témoin</b>	Tissu positif pour les champignons ou pour Pneumocystis carinii	
<b>Composants/Stockage</b>	Oxidizer	2 à 30 °C
	Neutralizer	2 à 30 °C
	Toner	2 à 30 °C
	Fixer	2 à 30 °C
	Light Green Counterstain	2 à 30 °C
	GMSII Silver A	2 à 8 °C
	GMSII Silver B (2 flacons)	2 à 8 °C
<b>Quantité</b>	75 tests	

#### Description

Le kit de coloration GMS II met sélectivement en évidence les polysaccharides dans les membranes cellulaires des champignons et d'autres organismes opportunistes, comme *Pneumocystis carinii*. Le kit de coloration GMS est une modification de la procédure de Gomori à la Méthénamine Argent. Les polysaccharides membranaires des cellules tissulaires, des champignons et des microbes sont oxydés en groupes aldéhydes par l'oxydant GMS. L'acide chromique supprime la coloration de fond plus faible des fibres de collagène et des membranes basales. Le neutralisant élimine l'acide chromique en excès. Le GMS Silver A, un réactif de nitrate d'argent, fournit les ions argent. Le GMS Silver B fournit les conditions alcalines permettant de réduire les ions argent en argent métallique. Le réactif Toner contient du chlorure d'or pour former un complexe d'or plus stable et éliminer les tons jaunes du tissu. Le fixateur, Fixer, contenant du thiosulfate, arrête la réaction et élimine l'argent non réduit de la coupe. Cette coloration vise essentiellement à distinguer les champignons pathogènes, comme *Aspergillus* et *Blastomyces*, ainsi que d'autres organismes opportunistes, comme *Pneumocystis carinii*, dans les sections de tissu. Le contre-colorant Vert lumière est appliqué pour obtenir un contraste de fond. Le kit de coloration GMS colore les champignons en noir sur fond vert clair. Les hyphes d'*Aspergillus* apparaissent comme des filaments noirs. Les organismes *Pneumocystis carinii* apparaissent comme des grappes de points noirs en forme de casque.



### Kit de coloration Steiner (uniquement pour NexES Special Stains)

Référence	860-018 05279330001		
Témoin	Tissu positif pour <i>Helicobacter pylori</i> , maladie des griffes de chat, spirochète, Legionella		
Composants/Stockage	Steiner Diffuser	2 à 8 °C	
	Steiner Enhancer	2 à 8 °C	
	Steiner Reducer	2 à 8 °C	
	Steiner Silver	2 à 8 °C	
	Steiner Diluent	2 à 8 °C	
Quantité	40 tests		

#### Description

Le kit de coloration de Steiner est optimisé pour être utilisé avec les automates de coloration NexES Special Stains. Le kit Steiner est utilisé pour étayer l'identification des microorganismes causant des infections telles que les spirochètes, *Legionella pneumophila*, *Helicobacter pylori* et d'autres bactéries. Les microorganismes seront colorés en brun foncé à noir. Le fond sera coloré en jaune or à ambre. D'autres éléments tissulaires sont colorés en jaune or à ambre; les noyaux sont colorés en ambre à brun foncé.

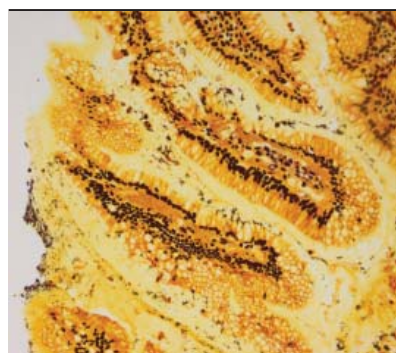
### Kit de nettoyage de Steiner (uniquement pour NexES Special Stains)

Référence	860-025 05279402001	
Composants/Stockage	Steiner Clean	Température ambiante
	Probe Cleaning Solution	Température ambiante
Quantité	10 cycles	
	Remarque : Le kit de nettoyage de Steiner doit être commandé avec le kit de coloration de Steiner. C'est un composant essentiel au bon fonctionnement du système NexES Special Stains.	

#### Description

Le kit de nettoyage de Steiner est un accessoire nécessaire dans l'utilisation du kit de coloration de Steiner sur l'automate NexES Special Stains. Le kit de nettoyage de Steiner est une solution alcoolique utilisée pour empêcher et éliminer l'accumulation de résidus de mastic naturel qui se forment au cours du dosage de Steiner dans le système automatique de coloration de lames NexES Special Stains.

Référence VENTANA en noir, référence Roche en bleu.



### Kit de coloration Steiner II (uniquement pour BenchMark Special Stains)

Référence	860-030 06521894001		
Témoin	Tissu positif pour <i>Helicobacter pylori</i> , maladie des griffes de chat, spirochète, Legionella		
Composants/Stockage	Steiner II Oxidizer		2 à 8 °C
	Steiner II Silver A		2 à 8 °C
	Steiner II Fixer		2 à 8 °C
	Steiner II Diffuser		2 à 8 °C
	Steiner II Enhancer		2 à 8 °C
	Steiner II Clean A		2 à 8 °C
	Steiner II Reducer		2 à 8 °C
	Steiner II Silver B		2 à 8 °C
	Steiner II Clean B		2 à 8 °C
Quantité	40 tests		

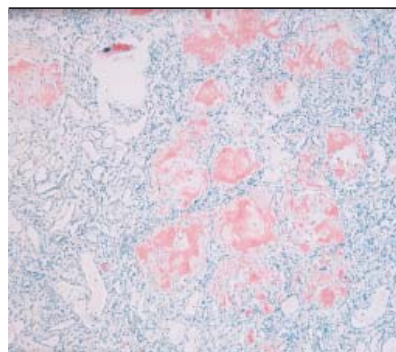
#### Description

Le kit de coloration Steiner II est optimisé pour être utilisé avec les automates de coloration BenchMark Special Stains. Le kit Steiner II est utilisé pour étayer l'identification des microorganismes causant des infections telles que les spirochètes, *Legionella pneumophila*, *Helicobacter pylori* et d'autres bactéries. Les microorganismes seront colorés en brun foncé à noir. Le fond sera coloré en jaune or à ambre. D'autres éléments tissulaires sont colorés en jaune or à ambre; les noyaux sont colorés en ambre à brun foncé.

Les micro-organismes sont mis en évidence à l'aide d'un sensibilisant qui permet une prise de l'argent plus rapide que les tissus adjacents (Steiner II Oxidizer). Le nitrate d'argent imprègne les micro-organismes (Steiner II Silver A). L'argent non lié est éliminé à l'aide du réactif Steiner II Fixer. Un diffuseur est appliqué pour assurer que l'activateur se répartit sur la lame. Les sections sont exposées au révélateur (Steiner II Reducer, Steiner II Enhancer et Steiner II Silver B), qui permet la réduction des ions d'argent en argent métallique noir et colore les autres éléments tissulaires d'une teinte entre le jaune doré et le beige.

## Autres colorations spéciales :

Rouge Congo, Giemsa, Fer



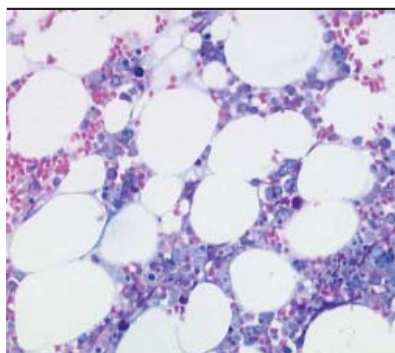
### Kit de coloration Congo Red

<b>Référence</b>	860-026 05279429001		
<b>Témoin</b>	Tissu positif pour l'amyloïde		
<b>Composants/Stockage</b>	Congo Red Stain		2 à 8 °C
	Glycine Buffer		2 à 8 °C
	Congo Red Hematoxylin		2 à 8 °C
<b>Quantité</b>	40 tests		

#### Description

Le kit de coloration Congo Red est utilisé pour mettre sélectivement en évidence l'amyloïde dans les sections de tissu. La réaction de coloration est basée sur l'application de Rouge Congo qui colore les formations de protéines atypiques (amyloïde). La forme et la taille des feuillets bêta-plissés d'amyloïde permettent aux molécules de Rouge Congo de venir s'y insérer, et elles sont maintenues dans le réseau de ces feuillets bêta-plissés. La biréfringence est une propriété intrinsèque du complexe formé entre les fibrilles d'amyloïde et les molécules de Rouge Congo. Le Rouge Congo peut aussi colorer des structures inattendues comme : la kératine, les fibres élastiques et denses de collagène. Il est nécessaire de s'appuyer aussi bien sur la coloration rouge au Rouge Congo que sur la biréfringence vert pomme sous une lumière polarisée pour trancher sans ambiguïté. L'hématoxyline est appliquée pour obtenir une coloration nucléaire bleue qui fait contraste. Le kit de coloration au Rouge Congo colore l'amyloïde en rose vif à rouge, et les noyaux en bleu. L'amyloïde peut prendre l'apparence de dépôts roses circulaires ou en forme de ruban disséminés dans le tissu. Ces dépôts ont tendance à se former particulièrement dans les parois des vaisseaux sanguins et les membranes basales. La coloration nucléaire peut varier de bleu clair à bleu foncé, selon la section et l'épaisseur de tissu (6 à 10 microns).

Référence VENTANA en noir, référence Roche en bleu.

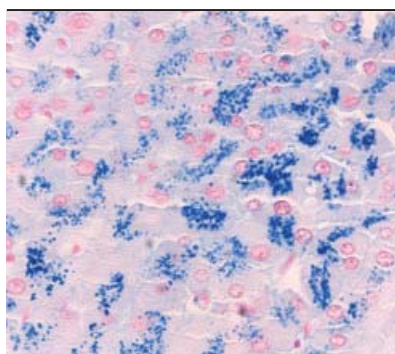


#### Kit de coloration Giemsa

<b>Référence</b>	860-006	<a href="#">05279224001</a>
<b>Témoin</b>	Moelle osseuse	
<b>Composants/Stockage</b>	Coloration de Giemsa	15 à 30 °C
<b>Quantité</b>	75 tests	

#### Description

Le kit de coloration de Giemsa permet de différencier les leucocytes dans la moelle osseuse et dans d'autres tissus hématopoïétiques (ganglions lymphatiques). Cette coloration peut aussi être utilisée pour mettre en évidence certains microorganismes, comme *Helicobacter pylori*. Une solution tampon thiazine-éosinate est utilisée pour obtenir une coloration cellulaire spécifique, avec une couleur bleue ou rose caractéristique. Le kit de coloration de Giemsa colore les leucocytes en violet, les érythrocytes en rose et les mastocytes ainsi que de nombreux autres types cellulaires en bleu caractéristique. Les noyaux sont colorés en rouge à violet. La bactérie spiralée pathogène à gram négatif, *H. pylori*, est colorée en bleu.



#### Kit de coloration Iron

<b>Référence</b>	860-009	<a href="#">05279259001</a>
<b>Témoin</b>	Foie	
<b>Composants/Stockage</b>	Iron Reagent A	15 à 30 °C
	Iron Reagent B	15 à 30 °C
	Nuclear Fast Red Counterstain	15 à 30 °C
<b>Quantité</b>	75 tests	

#### Description

Le kit de coloration Iron détecte la présence d'ions ferriques dans les tissus. Le fer est séparé des protéines par l'acide chlorhydrique. Les ions libres de fer ferrique réagissent avec le ferrocyanure de potassium pour former un cyanure ferrique insoluble, bleu vif, ou bleu de Prusse. Une contre-coloration Rouge Nucléaire est appliquée pour fournir un contraste de fond rose à rouge. Les pigments de fer sont colorés en bleu vif. Les dépôts importants de fer apparaissent en bleu foncé. Le cytoplasme est coloré en rose et les noyaux en rose à rouge.

Référence VENTANA en noir, référence Roche en bleu.

# Autres réactifs et consommables

Produit	Référence	Description	Quantité
NexES Special Stains Wash Solution (10x)	05279305001	La solution de lavage pour colorations spéciales est utilisée pour diluer les réactifs des colorations spéciales qui sont appliqués sur la lame et pour laver les lames entre les applications successives de réactif, sur le système d'automatisation de la coloration des lames VENTANA NexES Special Stains . Elle est utilisée à une concentration de 1x et doit par conséquent être diluée par 10 avant son utilisation. La qualité de l'eau utilisée pour préparer la solution de lavage pour colorations spéciales est primordiale à l'obtention de bons résultats de coloration. Il est recommandé d'utiliser de l'eau déionisée pour sa préparation.	Bouteille de 2 L (concentrée)
BenchMark Special Stains Wash Solution (10X)	06523099001	La solution de lavage BenchMark Special Stains Wash Solution est utilisée pour diluer les colorants qui sont appliqués sur la lame et pour rincer les lames entre les applications successives de réactifs, sur le système coloration VENTANA BenchMark Special Stains. Elle est utilisée à une concentration de 1x et doit par conséquent être diluée par 10 avant son utilisation. La qualité de l'eau utilisée pour préparer la solution de lavage pour colorations spéciales est primordiale à l'obtention de bons résultats de coloration. Il est recommandé d'utiliser de l'eau déionisée pour sa préparation.	Bouteille de 2 L (concentrée)
BenchMark Special Stains Deparaffinization Solution (10X)	06523102001	Cette solution est utilisée pour enlever la paraffine des coupes de tissus traitées dans l'automate de coloration de lames de VENTANA BenchMark Special Stains. Elle est utilisée à une concentration de 1x et doit par conséquent être diluée par 10 avant son utilisation.	Bouteille de 2 L (concentrée)
NexES Liquid Coverslip (Low Temperature)	05260981001	Une fine pellicule d'huile NexES Liquid Coverslip est appliquée par-dessus les réactifs aqueux sur les lames colorées dans l'automate VENTANA NexES Special Stains afin de prévenir l'évaporation des réactifs et de s'assurer que la lame est entièrement recouverte.	Bouteille de 2 L (prêt à l'emploi)
BenchMark Special Stains Liquid Coverslip	06523072001	Une fine pellicule d'huile BenchMark Special Stains Liquid Coverslip est appliquée par-dessus les réactifs aqueux sur les lames colorées dans l'automate VENTANA BenchMark Special Stains afin de prévenir l'évaporation des réactifs et de s'assurer que la lame est entièrement recouverte.	Bouteille de 2 L (prêt à l'emploi)
NexES Special Stains Cleaning Kit	05279313001	Le kit de nettoyage pour colorations spéciales est utilisé pour neutraliser et nettoyer le dispositif d'aspiration et de distribution des réactifs du système VENTANA NexES Special Stains, afin d'éliminer les dépôts résiduels. Il est recommandé d'effectuer un nettoyage à la fin de chaque journée de travail et après chaque coloration au Trichrome III Blue ou au Trichrome III Green. Composants : Cleaning Solution A, Cleaning Solution B, Cleaning Solution C	50 cycles de nettoyage
Universal Special Stains Cleaning Kit (pour BenchMark Special Stains)	06649327001	Le kit de nettoyage universel pour colorations spéciales est utilisé pour neutraliser et nettoyer le dispositif d'aspiration et de distribution des réactifs du système VENTANA BenchMark Special Stains, afin d'éliminer les dépôts résiduels. Il est recommandé d'effectuer un nettoyage à la fin de chaque journée de travail et après chaque coloration au Trichrome Blue ou au Trichrome Green.	50 cycles de nettoyage

Référence VENTANA en noir, référence Roche en bleu.

### Recommandations pour les coupes de tissu pour une utilisation sur le BenchMark Special Stains

<b>AFB</b> 3-5 µm	<b>Bleu Alcian</b> 4 µm	<b>Jaune Alcian</b> 3-5 µm	<b>Rouge Congo</b> 6-10 µm
<b>Elastic</b> 4 µm	<b>Giemsa</b> 4 µm	<b>GMS</b> 4 µm	<b>Fer</b> 4 µm
<b>Jones et Jones Vert lumière</b> 2-4 µm	<b>Mucicarmin</b> 4 µm	<b>PAS/Diastase</b> 4 µm	<b>PAS/Bleu Alcian</b> 4 µm
<b>PAS</b> 4 µm	<b>Réticuline</b> 2 à 5 µm (des sections < 4 µm peuvent causer trop de clarté ou des fibres cassées)	<b>Steiner</b>	<b>Trichrome</b> 5 µm pour les tissus (des sections < 5 µm peuvent causer des colorations trop claires et pâles) 2 à 3 µm pour des biopsies (reins/foie)

### Recommandations pour la qualité de l'eau pour une utilisation sur le BenchMark Special Stains

	Type I	Type II	Type III
Conductivité à 25 °C (microhms/cm)	0,1	1,0	10
Résistivité à 25 °C (mégaohms-cm)	10	1,0	0,1
Silicate (mg/L SiO <sub>2</sub> )	0,05	0,1	1,0
pH	—	—	5,0-8,0
Croissance bactérienne (ufc/mL)	10 (de préférence sans bactéries)	1000	n/a
Matières particulaires	filtre de 0,22 µm	n/a	n/a
Matières organiques	charbon activé	n/a	n/a

Référence VENTANA en noir, référence Roche en bleu.





## IHC & HIS |

VENTANA BenchMark ULTRA	37
VENTANA BenchMark XT	41
VENTANA BenchMark GX	45
Kits de détection	49
Anticorps primaires par pathologie	55
Anticorps primaires par ordre alphabétique	68
Anticorps d'immunofluorescence	179
Anticorps de Recherche	183
Sondes moléculaires	185
Autres réactifs et consommables	193



# VENTANA BenchMark ULTRA

## Système multimodal de coloration de lames en IHC & HIS

*VENTANA BenchMark ULTRA fait partie d'une génération d'automates de coloration IHC & HIS de plus en plus flexibles. Avec 30 tiroirs de lames individuels, un accès multimodal pour un traitement des cas urgents (STAT) en temps réel, le flux de tests est centré sur les patients. Les temps d'exécution courts permettent d'obtenir les résultats plus rapidement.*

VENTANA BenchMark ULTRA est un système multimodal qui permet de réaliser simultanément des tests IHC et HIS sur une seule plateforme à accès aléatoire et continu. Des tests à paramètres multiples tels que des colorations doubles et triples peuvent être réalisés indépendamment des autres lames, ce qui permet d'obtenir des résultats rapidement. L'automate VENTANA BenchMark ULTRA est optimisé pour fonctionner avec une gamme complète de réactifs immunohistochimiques prêts à l'emploi, ainsi qu'avec divers tests d'hybridation *in situ*, réduisant ainsi les tests moléculaires complexes à des procédures de routine automatisées. Le système VENTANA BenchMark ULTRA peut être connecté au système d'information de laboratoire (SIL) afin de gérer les informations depuis un seul ordinateur et d'accroître l'efficacité du flux de travail ainsi que la sécurité des patients.

### Matériel et logiciel flexibles brevetés.

- Trente chambres de coloration des lames, indépendantes les unes des autres, permettent de préserver l'intégrité des échantillons et d'éliminer le traitement par lots (ou en batch).
- Ajoutez ou retirez des lames à tout moment.
- Accédez aux réactifs à des intervalles fréquents.
- Intégrez les demandes de tests imprévues comme des urgences (STAT) sans interrompre les processus en cours.
- Comptez sur des alertes visuelles et sonores pour signaler l'accès aux lames et aux réactifs.
- Le capteur de détection des réactifs reconnaît rapidement et avec précision le réactif ajouté.

### Réduisez vos temps d'exécution et améliorez votre efficacité.

- Accélérez vos temps d'exécution grâce au processus de flux continu en pièce à pièce Lean Six Sigma.
- Traitez toutes les lames de chaque patient ensemble afin d'éliminer les étapes de tri.
- Visualisez le statut exact des échantillons des patients grâce à une interface graphique intuitive.

### Traitez immédiatement les urgences (STAT) et les échantillons de dernière minute.

- Répondez rapidement aux demandes de tests imprévues sans affecter les autres processus en cours.
- Ajoutez efficacement des réactifs, le cas échéant, afin de permettre un traitement immédiat.
- Assurez un accès rapide aux lames sur l'interface graphique de l'appareil des pathologistes.

### Réalisez des colorations de haute qualité.

- Optimisez la performance des anticorps et des sondes grâce à des protocoles plus flexibles.
- Réalisez efficacement des colorations IHC doubles et triples.
- Disposez dès aujourd'hui d'une nouvelle génération de tests moléculaires sur tissus.

### Éliminez les goulets d'étranglement.

- Ajoutez des échantillons tout au long de la journée pour éliminer le traitement par lots (ou en batch).
- Prolongez vos heures de clôture des demandes de tests en augmentant votre capacité de traitement ainsi que votre productivité tout au long de la journée.
- Libérez du temps aux techniciens pour qu'ils puissent réaliser les tâches à valeur ajoutée grâce à une organisation de travail basée sur les principes « Lean ».



\* lauréat 2009 du prix Medical Design Excellence Award

## Caractéristiques

### Caractéristiques générales

<b>Entièrement automatisé</b>	<ul style="list-style-type: none"> <li>Séchage, déparaffinage, prétraitement et coloration (IHC, HIS, SISH, Dual ISH, immunofluorescence, double &amp; triple IHC), contre-coloration et mode titration (application manuelle des anticorps primaires)</li> </ul>
<b>Capacité de lames</b>	<ul style="list-style-type: none"> <li>1 à 30 lames avec traitement/fonctionnalité et contrôle de température indépendants pour chaque position</li> </ul>
<b>Carrousel de réactifs</b>	<ul style="list-style-type: none"> <li>35 positions de réactifs</li> </ul>
<b>Lames</b>	<ul style="list-style-type: none"> <li>25 x 75 mm ou 26 x 76 mm (lames de verre chargées positivement)</li> </ul>
<b>Solutions tampon</b>	<ul style="list-style-type: none"> <li>Jusqu'à 7 solutions tampon différentes peuvent être chargées à tout moment sans interrompre le processus en cours</li> </ul>
<b>Déchets</b>	<ul style="list-style-type: none"> <li>Deux bonbonnes de 20 litres peuvent être changées à tout moment sans interrompre le processus en cours</li> </ul>
<b>Alimentation en eau DI</b>	<ul style="list-style-type: none"> <li>Eau de type 2 selon le NCCLS ou équivalent (appelée eau déionisée)</li> </ul>
<b>Contrôle de température</b>	<ul style="list-style-type: none"> <li>Ambiante à 100 °C</li> </ul>
<b>Modularité</b>	<ul style="list-style-type: none"> <li>Un à huit système(s) VENTANA BenchMark ULTRA (et/ou VENTANA BenchMark Special Stains et/ou VENTANA Discovery ULTRA) peuvent être contrôlés à partir d'un seul ordinateur utilisant le logiciel VENTANA System Software (VSS)</li> </ul>
<b>Configuration</b>	<ul style="list-style-type: none"> <li>À poser au sol</li> </ul>
<b>Certifications</b>	<ul style="list-style-type: none"> <li>CSA et CE</li> </ul>

### Fonctionnalités

- Plate-forme IHC/HIS automatisée. Gestion des demandes urgentes (STAT) sans affecter les lames en cours de traitement Capacité supérieure – 90 lames toutes les 8 heures
- Plus grande flexibilité des protocoles

### Conditions ambiantes requises

<b>Dégagement thermique</b>	<ul style="list-style-type: none"> <li>400 BTU/h à l'arrêt, 1 000 BTU/h en marche</li> </ul>
<b>Température ambiante</b>	<ul style="list-style-type: none"> <li>20 à 32 °C</li> </ul>
<b>Humidité</b>	<ul style="list-style-type: none"> <li>10 à 90 %, sans condensation</li> </ul>

### Caractéristiques électriques

<b>Tension</b>	<ul style="list-style-type: none"> <li>~ 230-240 / 100-120 V</li> </ul>
<b>Intensité</b>	<ul style="list-style-type: none"> <li>4/6 A</li> </ul>
<b>Fréquence</b>	<ul style="list-style-type: none"> <li>60/50 Hz</li> </ul>

### Caractéristiques physiques

<b>Dimensions (l x P x H)</b>	<ul style="list-style-type: none"> <li>111,76 cm x 84,07 cm x 158,50 cm</li> </ul>
<b>Poids</b>	<ul style="list-style-type: none"> <li>294,8 kg</li> </ul>
<b>Dégagements</b>	<ul style="list-style-type: none"> <li>Dessus 38,1 cm</li> <li>Côtés 10,2 cm</li> <li>Arrière 15,2 cm</li> </ul>

Le système VENTANA BenchMark ULTRA est destiné à la coloration automatisée de prélèvements histologiques ou cytologiques sur des lames de verre à l'aide de réactifs d'immunohistochimie ou d'hybridation in situ de la gamme VENTANA, pour un usage diagnostique *in vitro*. Il est marqué CE IVD.

Mandataire : Roche Diagnostics GmbH (Allemagne)

Lire attentivement les instructions figurant dans le manuel d'utilisation.



## Informations pour la commande

Produit	Référence	Description	Référence	Description
Système complet VENTANA BenchMark ULTRA	05465079001	Système complet, 220 V		
	05342724001	Ordinateur	05250862001	Imprimante d'étiquettes à codes-barres E-Bar II
	05280907001	Ecran plat	05247829001	Rouleau d'étiquettes vierges
	05280893001	Imprimante	05250986001	Conteneur à déchets (20 L) et chariot
	05342716001	Module de coloration	05244676001	Bonbonne graduée (20 L)
	05425485001	Kit d'accessoires n° 1	06376525001	Conteneurs pour solutions tampon
	05424577001	Kit d'accessoires n° 2	05287693001	Multiprise continentale 6 positions
Module supplémentaire VENTANA BenchMark ULTRA	05263212001	Cordon d'alimentation		
	05465117001	Module supplémentaire, 220 V		
	05342716001	Module de coloration	05250986001	Conteneur à déchets (20 L) et chariot
	05425485001	Kit d'accessoires n° 1	05244676001	Bonbonne graduée (20 L)
	05424577001	Kit d'accessoires n° 2	06376525001	Conteneurs pour solutions tampon
Logiciel VENTANA Lab Manager (VLM), CD-Rom (gestion centralisée des données)	05263212001	Cordon d'alimentation	05287693001	Multiprise continentale 6 positions
	05259002001	Ce logiciel de mise en réseau permet de gérer plusieurs systèmes de coloration à partir d'un seul poste de travail. Les clients disposant de plusieurs ordinateurs hôtes peuvent partager les réactifs et les protocoles. Les clients disposant d'un ordinateur unique peuvent ajouter un second ordinateur hôte et démarrer plusieurs cycles de coloration en même temps.		
	05247861001	Ce logiciel de mise en réseau offre une interface entre les systèmes de coloration VENTANA et le système d'information de laboratoire (SIL). Cette interface automatise la saisie des données au niveau de l'automate de coloration et envoi des mises à jour automatiques du statut des demandes de tests sur le serveur de votre SIL.		

## Accessoires pour les automates de la Série VENTANA BenchMark

Produit	Référence	Description
Portoir pour distributeurs	06265553001	Support de rangement pour distributeurs de réactifs — gris
Bonbonne graduée	05244676001	Bonbonne de 20 L pour le stockage des solutions tampon diluées
Lames de contrôle de température (10)	05424615001	Utilisées pour la fonction de chauffage des lames ; 10 lames
Chariot pour conteneur à déchets pour Série BenchMark	06141960001	Chariot à roulettes utilisé comme support pour les conteneurs à déchets des automates de la série VENTANA BenchMark.

## Imprimante d'étiquettes à codes-barres E-Bar II et ses accessoires

Produit	Référence	Description
Imprimante d'étiquettes à codes-barres E-Bar II	05250862001	Système électronique d'impression d'étiquettes à codes-barres-imprimante ~100-240 v, 50/60 Hz.
		Câble, Interface parallèle
		Fiche technique, Démarrage rapide
		Fiche technique, Informations de commande
		Cordon d'alimentation (INTL)
Kit d'étiquettes E-Bar.	05248850001	5 rouleaux de 500 étiquettes et 5 films en Mylar. Ruban d'impression non inclus.
Ruban d'impression E-Bar.	05250889001	Imprime 8 100 étiquettes.
Étiquettes	05247829001	1 rouleau de 500 étiquettes.



# VENTANA BenchMark XT

## Système automatisé de traitement de lames en IHC & HIS

*VENTANA BenchMark XT offre la flexibilité nécessaire pour vous permettre d'élargir votre gamme de tests, de traiter davantage de lames et de réduire vos temps d'exécution. Notre plateforme d'accès aléatoire entièrement automatisée peut réaliser des tests IHC et HIS simultanément, ce qui vous permet de traiter tous les cas en un seul cycle.*

### Qu'avez-VOUS à l'esprit ?

J'ai besoin de réaliser des colorations de haute qualité, pour permettre aux médecins d'établir des diagnostics précis.

- Améliorez la qualité et la reproductibilité des colorations IHC, HIS et FITC sur une plate-forme entièrement automatisée et permettant un contrôle précis du processus, depuis le séchage jusqu'à la coloration.

### J'ai besoin d'une plus grande flexibilité.

- Réalisez vos tests IHC, HIS et FITC de manière indépendante ou simultanée.
- Optimisez vos protocoles à l'aide d'options flexibles comprenant des temps et des températures d'incubation variables.

### J'ai besoin de libérer du temps aux techniciens pour qu'ils puissent réaliser les tâches à valeur ajoutée.

- Éliminez les étapes manuelles liées au séchage, au déparaffinage et au démasquage antigénique grâce à une automatisation complète.
- Simplifiez les traitements IHC et HIS grâce à une technologie d'identification par codes à barres des échantillons des protocoles de coloration et des réactifs

prêts à l'emploi.

### J'ai besoin d'atténuer les risques et de réduire le nombre d'erreurs dans mon laboratoire.

- Éliminez les risques d'erreurs grâce à une technologie d'identification par codes-barres qui contrôle la correspondance des réactifs présents sur le carrousel avec les protocoles de colorations associés aux lames des patients.



# Caractéristiques

## Caractéristiques générales

<b>Entièrement automatisé</b>	<ul style="list-style-type: none"> <li>Séchage, déparaffinage, prétraitement et coloration (IHC, HIS, SISH, Dual ISH, immunofluorescence, double &amp; triple IHC), contre-coloration et mode titration (application manuelle des anticorps primaires)</li> </ul>
<b>Porte-lames BenchMark XT</b>	<ul style="list-style-type: none"> <li>1 à 30 lames avec contrôle de température indépendant pour chaque position</li> </ul>
<b>Carrousel de réactifs</b>	<ul style="list-style-type: none"> <li>35 positions de réactifs</li> </ul>
<b>Lames</b>	<ul style="list-style-type: none"> <li>25 x 75 mm ou 26 x 76 mm (lames de verre chargées positivement)</li> </ul>
<b>Solutions tampon</b>	<ul style="list-style-type: none"> <li>Jusqu'à 7 solutions tampon différentes dans des réservoirs de 3 à 6 litres à bord de l'automate</li> </ul>
<b>Alimentation en eau DI</b>	<ul style="list-style-type: none"> <li>Eau de type 2 selon le NCCLS ou équivalent (appelée eau désionisée)</li> </ul>
<b>Contrôle de température</b>	<ul style="list-style-type: none"> <li>37 à 100 °C ± 2,0 °C</li> </ul>
<b>Modularité</b>	<ul style="list-style-type: none"> <li>Un à huit système(s) VENTANA BenchMark XT, VENTANA BenchMark GX, VENTANA NexES Special Stains, VENTANA DISCOVERY ou VENTANA Discovery XT peuvent être contrôlés à partir d'un seul ordinateur (à l'exception de VENTANA BenchMark ULTRA, VENTANA DISCOVERY ULTRA et VENTANA BenchMark Special Stains)</li> </ul>
<b>Configuration</b>	<ul style="list-style-type: none"> <li>À poser au sol</li> </ul>
<b>Certifications</b>	<ul style="list-style-type: none"> <li>CSA et CE</li> </ul>

## Particularités

- Technologie entièrement automatisée depuis le séchage jusqu'à la coloration et la contre-coloration
- 90 lames toutes les 8 heures
- plate-forme à accès aléatoire – traitements HIS et IHC simultanés

## Conditions ambiantes requises

<b>Dégagement thermique</b>	<ul style="list-style-type: none"> <li>400 BTU/h à l'arrêt, 1 000 BTU/h en marche</li> </ul>
<b>Température ambiante</b>	<ul style="list-style-type: none"> <li>20 à 32 °C</li> </ul>
<b>Humidité</b>	<ul style="list-style-type: none"> <li>10 à 90 %, sans condensation</li> </ul>

## Caractéristiques électriques

<b>Tension</b>	<ul style="list-style-type: none"> <li>~ 230-240 / 100-120 V</li> </ul>
<b>Intensité</b>	<ul style="list-style-type: none"> <li>4/6 A</li> </ul>
<b>Fréquence</b>	<ul style="list-style-type: none"> <li>60/50 Hz</li> </ul>

## Caractéristiques physiques

<b>Dimensions (l x P x H)</b>	<ul style="list-style-type: none"> <li>88,9 cm x 66,0 cm x 153,0 cm</li> </ul>
<b>Poids</b>	<ul style="list-style-type: none"> <li>175 kg</li> </ul>
<b>Dégagements</b>	<ul style="list-style-type: none"> <li>Dessus 38,1 cm</li> <li>Côtés 10,2 cm</li> <li>Arrière 15,2 cm</li> </ul>

Le système VENTANA BenchMark XT est destiné à la coloration automatisée de prélèvements histologiques ou cytologiques sur des lames de verre à l'aide de réactifs d'immunohistochimie ou d'hybridation in situ de la gamme VENTANA, pour un diagnostic *in vitro*. Il est marqué CE IVD.

Mandataire : Roche Diagnostics GmbH (Allemagne)

Lire attentivement les instructions figurant dans le manuel d'utilisation.

## Informations pour la commande

Produit	Référence	Description	Référence	Description
Système complet VENTANA BenchMark XT	05281229001	Système complet, 220 V		
	05264979001	Ordinateur	05263212001	Cordon d'alimentation
	05280907001	Ecran plat	05250862001	Imprimante d'étiquettes à codes-barres E-Bar II
	05280893001	Imprimante	05247829001	Rouleau d'étiquettes vierges
	05265231001	Module de coloration	05250986001	Conteneur à déchets (20 L) et chariot
	05256146001	Kit d'accessoires n° 1	05244676001	Bonbonne graduée (20 L)
	05256577001	Kit d'accessoires n° 2	05287693001	Multiprise continentale 6 positions
			06376517001	Conteneurs de solutions tampon XT/LT
Module supplémentaire VENTANA BenchMark XT	05281237001	Module supplémentaire, 220 V		
	05265231001	Module de coloration	05287693001	Multiprise continentale 6 positions
	05256146001	Kit d'accessoires n° 1	06376517001	Kit d'expédition des bouteilles, BenchMark XT/LT
	05256577001	Kit d'accessoires n° 2	05250986001	Conteneur à déchets (20 L) et chariot
	05263212001	Cordon d'alimentation	05244676001	Bonbonne graduée (20 L)
Logiciel VENTANA Lab Manager (VLM), CD-Rom (gestion centralisée des données)	05259002001	Ce logiciel de mise en réseau permet de gérer plusieurs systèmes de coloration à partir d'un seul poste de travail. Les clients disposant de plusieurs ordinateurs hôtes peuvent partager les réactifs et les protocoles. Les clients disposant d'un ordinateur unique peuvent ajouter un second ordinateur hôte et démarrer plusieurs cycles de coloration en même temps.		
Logiciel VENTANA Interface Point (VIP), CD-Rom (ouverture à la connexion au SIL)	05247861001	Ce logiciel de mise en réseau offre une interface entre les systèmes de coloration VENTANA et le système d'information de laboratoire (SIL). Cette interface automatise la saisie des données au niveau de l'automate de coloration et envoie des mises à jour automatiques du statut des demandes de tests sur le serveur de votre SIL.		

## Accessoires pour les automates de la Série VENTANA BenchMark

Produit	Référence	Description
Portoir pour distributeurs	06265553001	Support de rangement pour distributeurs de réactifs — gris
Bonbonne graduée	05244676001	Bonbonne de 20 L pour le stockage des solutions tampon diluées
Lames de contrôle de température (10)	05424615001	Utilisées pour les tester individuellement de la fonction de chauffage des lames ; 10 lames
Chariot pour conteneur à déchets pour Série BenchMark.	06141960001	Chariot à roulettes utilisé comme support pour les conteneurs à déchets des automates de la série VENTANA BenchMark.

## Imprimante d'étiquettes à codes-barres E-Bar II et ses accessoires

Produit	Référence	Description
Imprimante d'étiquettes à codes-barres E-Bar II	05250862001	Système électronique d'impression d'étiquettes à codes-barres – imprimante ~100-240 v, 50/60 Hz.
		Câble, Interface parallèle
		Fiche technique, Démarrage rapide
		Fiche technique, Informations de commande
		Cordon d'alimentation (INTL)
		Films en Mylar pour E-Bar (5 films/paquet)
		Ruban d'impression, E-Bar
		Alimentation
		Style de nettoyage des têtes d'impression
		Kit d'étiquettes E-Bar
Kit d'étiquettes E-Bar	05248850001	5 rouleaux de 500 étiquettes et 5 films en Mylar. Ruban d'impression non inclus.
Ruban d'impression E-Bar	05250889001	Imprime 8 100 étiquettes.
Étiquettes	05247829001	1 rouleau de 500 étiquettes.



# BenchMark<sup>®</sup> GX



Ventana Medical Systems, Inc.  
TUCSON, AZ 85737

TUCSON, AZ 85737



# VENTANA BenchMark GX

## Système automatisé de traitement de lames

*Le système automatisé de coloration des lames VENTANA BenchMark GX offre la flexibilité nécessaire pour vous permettre d'effectuer une large gamme de tests, de traiter un grand nombre de lames et de réduire vos temps d'exécution. Cette solution sophistiquée et élégante vous permet de gérer plusieurs systèmes depuis un seul ordinateur.*

### Efficacité

L'automate de coloration de lames VENTANA BenchMark GX est un système entièrement automatisé qui offre la flexibilité dont vous avez besoin pour élargir votre gamme de tests, traiter plus de lames, et réduire la durée d'exécution des travaux. De plus, plusieurs systèmes peuvent-être contrôlés depuis un seul ordinateur.

### Qualité

Améliorez la qualité, la constance et la reproductibilité de vos colorations dans un milieu réactionnel contrôlé et avec une cinétique optimale.

### Flexibilité

Automatisez une partie ou toutes les étapes de préparation des lames depuis le séchage jusqu'à la contre-coloration. Traitez vos lames SISH, IHC, HIS ou FITC et optimisez vos protocoles grâce à des options flexibles.



## Caractéristiques

### Caractéristiques générales

<b>Entièrement automatisé</b>	<ul style="list-style-type: none"> <li>Séchage, déparaffinage, prétraitement et coloration (IHC, HIS, SISH, Dual ISH, immunofluorescence, double &amp; triple IHC), contre-coloration et mode titration (application manuelle des anticorps primaires)</li> </ul>
<b>Porte-lames BenchMark GX</b>	<ul style="list-style-type: none"> <li>1 à 20 lames avec contrôle de température indépendant pour chaque position</li> </ul>
<b>Carrousel de réactifs</b>	<ul style="list-style-type: none"> <li>25 positions de réactifs</li> </ul>
<b>Lames</b>	<ul style="list-style-type: none"> <li>25 x 75 mm ou 26 x 76 mm (lames de verre chargées positivement)</li> </ul>
<b>Solutions tampon</b>	<ul style="list-style-type: none"> <li>Jusqu'à 7 solutions tampon différentes dans des réservoirs de 3 à 6 litres à bord de l'automate</li> </ul>
<b>Alimentation en eau DI</b>	<ul style="list-style-type: none"> <li>Eau de type II selon le NCCLS ou équivalent (appelée eau déionisée)</li> </ul>
<b>Contrôle de température</b>	<ul style="list-style-type: none"> <li>37 à 95 °C ± 2,0 °C</li> </ul>
<b>Modularité</b>	<ul style="list-style-type: none"> <li>Un à huit système(s) VENTANA BenchMark GX, VENTANA BenchMark XT, VENTANA NexES Special Stains VENTANA DISCOVERY ou VENTANA DISCOVERY XT peuvent être contrôlés à partir d'un seul ordinateur (à l'exception de VENTANA BenchMark ULTRA, VENTANA DISCOVERY ULTRA et VENTANA BenchMark Special Stains)</li> </ul>
<b>Configuration</b>	<ul style="list-style-type: none"> <li>À poser au sol</li> </ul>
<b>Certifications</b>	<ul style="list-style-type: none"> <li>CSA et CE</li> </ul>

### Particularités

- Technologie entièrement automatisée depuis le séchage jusqu'à la coloration et la contre-coloration
- 60 lames toutes les 8 heures

### Conditions ambiantes requises

<b>Dégagement thermique</b>	<ul style="list-style-type: none"> <li>1 200 BTU/h en marche</li> </ul>
<b>Température ambiante</b>	<ul style="list-style-type: none"> <li>15 à 30 °C</li> </ul>
<b>Humidité</b>	<ul style="list-style-type: none"> <li>10 à 90 %, sans condensation</li> </ul>

### Caractéristiques électriques

<b>Tension</b>	<ul style="list-style-type: none"> <li>~ 200-240 / 100-120 V</li> </ul>
<b>Intensité</b>	<ul style="list-style-type: none"> <li>2/4 A</li> </ul>
<b>Fréquence</b>	<ul style="list-style-type: none"> <li>60/50 Hz</li> </ul>

### Caractéristiques physiques

<b>Dimensions (l x P x H)</b>	<ul style="list-style-type: none"> <li>Module de coloration : 40,5 cm x 54,6 cm x 34,0 cm</li> <li>Module des fluides automatisé : 50,8 cm x 54,6 cm x 38,1 cm</li> <li>Élément bas : 50,8 cm x 54,6 cm x 52,1 cm</li> </ul>
<b>Poids</b>	<ul style="list-style-type: none"> <li>Module de coloration : 25 kg</li> <li>Module des fluides automatisé : 26,4 kg</li> <li>Élément bas : 13,6 kg</li> </ul>
<b>Dégagements</b>	<ul style="list-style-type: none"> <li>Dessus 38,1 cm</li> <li>Côtés 10,2 cm</li> <li>Arrière 15,2 cm</li> </ul>

Le système VENTANA BenchMark GX est destiné à la coloration automatisée de prélèvements histologiques ou cytologiques sur des lames de verre à l'aide de réactifs d'immunohistochimie ou d'hybridation in situ de la gamme VENTANA pour un diagnostic *in vitro*. Il est marqué CE IVD.

Mandataire : Roche Diagnostics GmbH (Allemagne)

Lire attentivement les instructions figurant dans le manuel d'utilisation.

## Informations pour la commande

Produit	Référence	Description	Référence	Description
Système complet VENTANA BenchMark GX	Système complet, 220 V			
	0564979001	Ordinateur	05263212001	Cordon d'alimentation
	05280907001	Ecran plat	05250862001	Imprimante d'étiquettes à codes-barres E-Bar II
	05280893001	Imprimante	05247829001	Rouleau d'étiquettes vierges
	05894662001	Module de coloration	05250986001	Conteneur à déchets (20 L) et chariot
	05894638001	AFM	05287693001	Multiprise continentale 6 positions
	05894654001	Module des déchets	05266017001	Kit d'accessoires
	05894689001	Tiroir	05865379001	Conteneurs de solutions tampon
Module supplémentaire VENTANA BenchMark GX	Module supplémentaire, 220 V			
	05894662001	Module de coloration	05250986001	Conteneur à déchets (20 L) et chariot
	05894638001	AFM	05287693001	Multiprise continentale 6 prises
	05894654001	Module des déchets	05266017001	Kit d'accessoires
	05894689001	Tiroir	05865379001	Kit d'expédition des bouteilles
			05244676001	Bonbonne graduée (20 L)
Logiciel VENTANA Lab Manager (VLM), CD-Rom (gestion centralisée des données)	05259002001	Ce logiciel de mise en réseau permet de gérer plusieurs systèmes de coloration à partir d'un seul poste de travail. Les clients disposant de plusieurs ordinateurs hôtes peuvent partager les réactifs et les protocoles. Les clients disposant d'un ordinateur unique peuvent ajouter un second ordinateur hôte et démarrer plusieurs cycles de coloration en même temps.		
Logiciel VENTANA Interface Point (VIP), CD-Rom (ouverture à la connexion au SIL)	05247861001	Ce logiciel de mise en réseau offre une interface entre les systèmes de coloration VENTANA et le système d'information de laboratoire (SIL). Cette interface automatise la saisie des données au niveau de l'automate de coloration et envoie des mises à jour automatiques du statut des demandes de tests sur le serveur de votre SIL.		

## Accessoires pour les automates de la Série VENTANA BenchMark

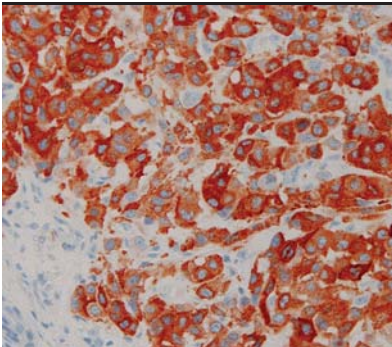
Produit	Référence	Description
Portoir pour distributeurs	06265553001	Support de rangement pour distributeurs de réactifs — gris
Bonbonne graduée	05244676001	Bonbonne de 20 L pour le stockage des solutions tampons diluées
Lames de contrôle de température (10)	05424615001	Utilisées pour les tester individuellement la fonction de chauffage des lames ; 10 lames
Chariot pour conteneur à déchets pour Série BenchMark.	06141960001	Chariot à roulettes utilisé comme support pour les conteneurs à déchets des automates de la série VENTANA BenchMark.

## Imprimante d'étiquettes à codes-barres E-Bar II et ses accessoires

Produit	Référence	Description
Imprimante d'étiquettes à codes-barres E-Bar II	05250862001	Système électronique d'impression d'étiquettes à codes-barres – imprimante ~100-240 v, 50/60 Hz. Câble, Interface parallèle Cordon d'alimentation (INTL) Ruban d'impression, E-Bar Stylo de nettoyage des têtes Fiche technique, Démarrage rapide Fiche technique, Informations de commande Films en Mylar pour E-Bar (5 films/paquet) Alimentation Kit d'étiquettes E-Bar
Kit d'étiquettes E-Bar	05248850001	5 rouleaux de 500 étiquettes et 5 films en Mylar. Ruban d'impression non inclus.
Ruban d'impression E-Bar	05250889001	Imprime 8 100 étiquettes.
Étiquettes	05247829001	1 rouleau de 500 étiquettes.

# Kits de détection

## Kits de détection AEC

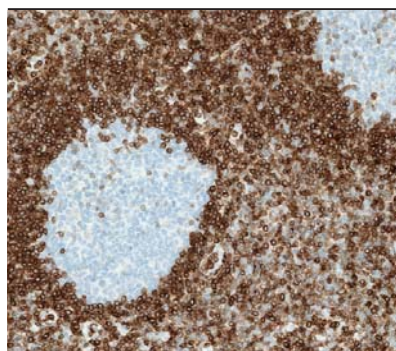
	Kit de détection AEC		IHC ✓	HIS
	Référence	760-020 05266041001		
	Quantité	250 tests		
	Statut	IVD		
	Composants	Inhibitor Biotinylated Ig Streptavidin HRP AEC AEC H202		

### Description

Le kit de détection AEC de base est un système biotine-streptavidine indirect utilisé pour la détection d'anticorps primaires de souris et de lapin. Ce kit est destiné à être utilisé sur des tissus fixés au formol et inclus en paraffine ou des tissus congelés. Le chromogène AEC produit un précipité de couleur rouge foncé qui se détecte facilement au microscope optique. Tous les réactifs sont fournis pré-dilués et prêts à l'emploi afin de faciliter leur utilisation sur des automates de coloration des lames de la série VENTANA BenchMark. Remarque : Les dépôts d'AEC sont solubles dans les solvants organiques. Il est nécessaire d'utiliser un milieu de montage aqueux.



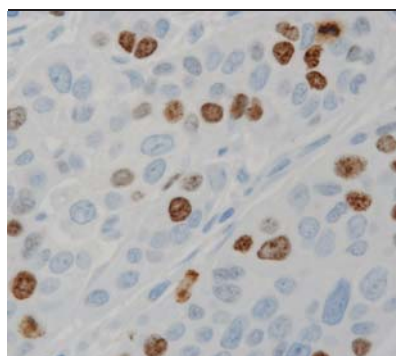
## Kits de détection DAB



Kit de détection OptiView DAB IHC		IHC ✓	HIS
Référence	760-700 06396500001		
Quantité	250 tests		
Statut	IVD		
Composants	OptiView Peroxidase Inhibitor OptiView HQ Universal Linker OptiView HRP Multimer OptiView DAB OptiView H2O2 OptiView Copper		

### Description

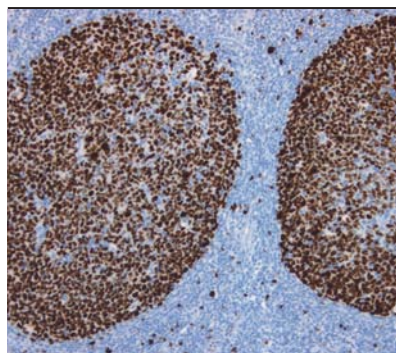
Le kit de détection OptiView DAB IHC est un système sans biotine indirect utilisé pour la détection d'anticorps primaires IgG et IgM de souris ainsi que d'anticorps primaires de lapin. Le système de détection OptiView utilise un système d'haptènes non endogènes breveté afin d'offrir une meilleure sensibilité et une meilleure spécificité. Le logiciel exclusif d'OptiView offre à l'utilisateur un contrôle étendu des protocoles IHC sur des automates de coloration des lames de la série VENTANA BenchMark. Ce contrôle permet d'adapter le système de détection OptiView à tous les besoins, de la détection d'antigènes à très faible expression à la réduction des temps de cycles. Tous les réactifs sont fournis pré-dilués et prêts à l'emploi afin de faciliter leur utilisation sur des automates de coloration des lames de la série VENTANA BenchMark.



Kit de détection <i>ultra</i> View Universal DAB		IHC ✓	HIS
Référence	760-500 05269806001		
Quantité	250 tests		
Statut	IVD		
Composants	<i>ultra</i> View Universal DAB Inhibitor <i>ultra</i> View Universal HRP Multimer <i>ultra</i> View Universal DAB Chromogen <i>ultra</i> View Universal DAB H <sub>2</sub> O <sub>2</sub> <i>ultra</i> View Universal DAB Copper		

### Description

*ultra*View Universal DAB est un système de détection fondé sur une technologie utilisant un multimère et destiné à la détection spécifique et sensible d'anticorps primaires de souris et de lapin. Ce kit ne contient pas de biotine et élimine ainsi toute coloration non spécifique due à la biotine endogène. *ultra*View Universal DAB consiste en une chimie robuste qui fournit un fond net pour une visualisation sensible et spécifique de l'antigène cible, et qui est particulièrement utile pour la détection des antigènes présents en faible concentration. Le complexe anticorps primaire-anticorps marqué à la HRP est visualisé grâce à la DAB qui produit un signal cible marron/noir. Ce système de détection est optimisé pour une utilisation sur les automates de coloration de la série VENTANA BenchMark. Tous les réactifs sont fournis pré-dilués et prêts à l'emploi afin de faciliter leur utilisation sur un automate de coloration des lames de la série VENTANA BenchMark.



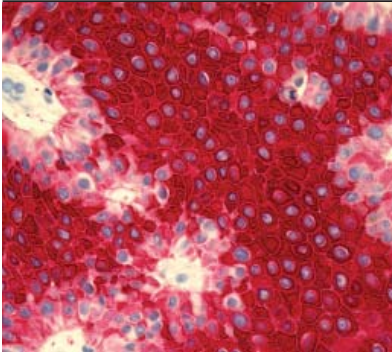
Kit de détection iView DAB		IHC ✓	HIS
Référence	760-091 05266157001		
Quantité	250 tests		
Statut	IVD		
Composants	iVIEW Inhibitor iVIEW Biotinylated Ig iVIEW Streptavidin HRP iVIEW DAB iVIEW DAB H2O2 iVIEW Copper		

### Description

Le kit de détection iVIEW DAB est un système biotine-streptavidine indirect permettant la détection d'anticorps primaires de souris et de lapin. Le chromogène DAB produit un précipité de couleur marron foncé qui se détecte facilement au microscope optique. Tous les réactifs sont fournis pré-dilués et prêts à l'emploi afin de faciliter leur utilisation sur un automate de coloration des lames de la série VENTANA BenchMark.

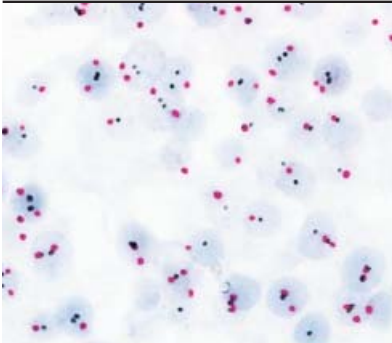
Référence Ventana en noir, référence Roche en bleu. Les produits figurant sur cette page sont à usage en diagnostic *in vitro* (IVD).

## Kits de détection Fast Red

	Kit de détection <b>ultraView Universal Alkaline Phosphatase Red</b>		IHC ✓	HIS
	Référence	760-501 05269814001		
	Quantité	250 tests		
	Statut	IVD		
	Composants	ultraView Red Alkaline Phosphatase ultraView Red Enhancer ultraView Red Naphthol ultraView Red Fast Red A ultraView Red Fast Red B		

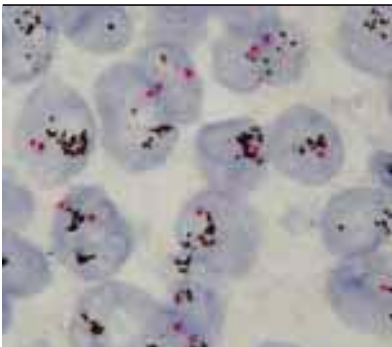
### Description

*ultraView Universal Red* est un système de détection fondé sur une technologie utilisant un multimère et destiné à la détection spécifique et sensible d'anticorps primaires de souris et de lapin. Ce kit ne contient pas de biotine et élimine toute coloration non spécifique due à la biotine endogène. *ultraView Universal Red* consiste en une chimie robuste qui fournit un fond net pour une visualisation sensible et spécifique de l'antigène cible, et qui est particulièrement utile pour la détection des antigènes présents en faible concentration. Le complexe anticorps primaire-anticorps marqué à la phosphatase alcaline est visualisé grâce au Fast Red/au naphthol qui produit un signal cible rouge vif. Ce système de détection est optimisé pour une utilisation sur les automates de coloration de la série VENTANA BenchMark. Tous les réactifs sont fournis pré-dilués et prêts à l'emploi afin de faciliter leur utilisation sur un automate de coloration des lames de la série VENTANA BenchMark.

	Kit de détection <b>ultraView RED ISH DIG</b>		IHC	HIS ✓
	Référence	800-505 05907128001		
	Quantité	100 tests		
	Statut	IVD		
	Composants	ultraView Red ISH DIG Mouse anti-DIG Antibody ultraView Red ISH DIG Multimer ultraView Red ISH DIG pH Enhancer ultraView Red ISH DIG Naphthol ultraView Red ISH DIG Fast Red		

### Description

Le kit de détection *ultraView Red ISH DIG* est un système sans biotine indirect permettant la détection de sondes marquées à la DIG. Ce kit est destiné à l'identification des cibles par hybridation *in situ* (ISH) chromogénique rouge sur des coupes de tissus fixés au formol et inclus en paraffine, colorées sur des automates de coloration des lames de la série VENTANA BenchMark. L'interprétation clinique de toute coloration ou de l'absence de coloration, doit être appuyée par un examen histologique et une évaluation des témoins appropriés. L'évaluation doit être réalisée par un professionnel qualifié en fonction des antécédents cliniques du patient ainsi que des autres tests diagnostiques. Tous les réactifs sont fournis pré-dilués et prêts à l'emploi afin de faciliter leur utilisation sur des automates de coloration des lames de la série VENTANA BenchMark.

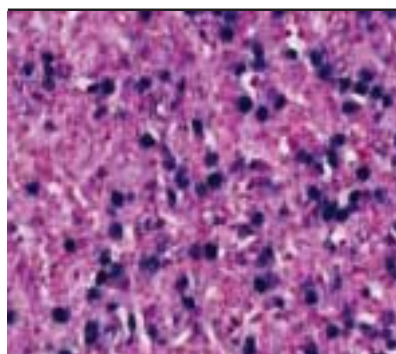
	Kit de détection <b>ultraView Alkaline Phosphatase (AP) Red ISH</b>		IHC	HIS ✓
	Référence	800-504 05278929001		
	Quantité	100 tests		
	Statut	IVD		
	Composants	ultraView AP Red ISH HybReady ultraView AP Red ISH Multimer ultraView AP Red ISH pH Solution ultraView AP Red ISH Enhancer ultraView AP Red ISH Fast Red ultraView AP Red ISH Naphthol		

### Description

Le kit de détection *ultraView Alkaline Phosphatase (AP) Red ISH* est un système sans biotine indirect permettant la détection d'anticorps anti-DNP de lapin. Ce kit, en association avec un anticorps de liaison, permet d'identifier les cibles marquées au DNP par hybridation *in situ* (HIS) sur des coupes de tissus fixés au formol et inclus en paraffine, en produisant un dépôt de couleur permanente rouge au niveau du site d'interaction sonde-cible facilement détectable au microscope optique. Le kit de détection *ultraView AP Red ISH* repose sur une technologie utilisant un multimère et peut s'utiliser en complément du kit de détection *ultraView SISH* pour réaliser des colorations de routine ISH à deux couleurs. Tous les réactifs sont fournis pré-dilués et prêts à l'emploi afin de faciliter leur utilisation sur des automates de coloration des lames de la série VENTANA BenchMark.

Référence Ventana en noir, référence Roche en bleu. Les produits figurant sur cette page sont à usage en diagnostic *in vitro* (IVD).

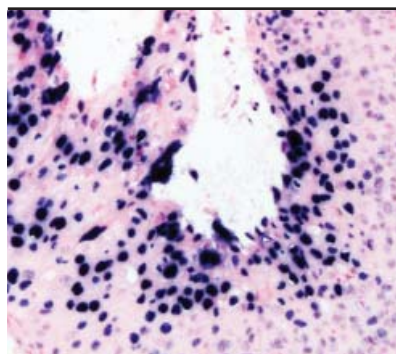
## Kits de détection NBT/BCIP



Kit de détection ISH iVIEW Blue		IHC	HIS ✓
Référence	800-092 05278511001		
Quantité	200 tests		
Statut	IVD		
Composants	iVIEW Blue Biotinylated Ig ISH iVIEW Blue Anti-Fluorescein iVIEW Blue Streptavidin Alkaline Phosphatase iVIEW Blue Enhancer iVIEW Blue NBT iVIEW Blue BCIP		

### Description

Le kit de détection ISH iView Blue est un système biotine-streptavidine indirect permettant la détection de sondes marquées à la fluorescéine. Ce kit est destiné à être utilisé sur des coupes de tissus fixés au formol et inclus en paraffine. Le kit de détection ISH iView Blue utilise une réaction chromogène entre l'enzyme phosphatase alcaline et son substrat NBT/BCIP, qui produit un dépôt de couleur permanente bleue intense au niveau du site d'interaction sonde-cible, facilement détectable au microscope optique. Tous les réactifs sont fournis pré-dilués et prêts à l'emploi afin de faciliter leur utilisation sur des automates de coloration des lames de la série VENTANA BenchMark.

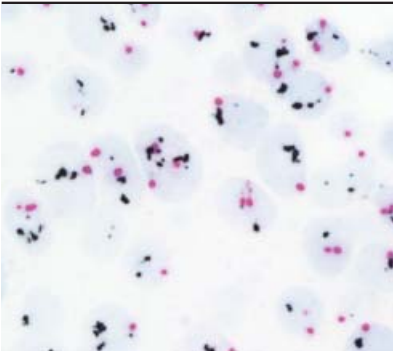


Kit de détection ISH iVIEW Blue Plus		IHC	HIS ✓
Référence	760-097 05266181001		
Quantité	100 tests		
Statut	IVD		
Composants	ISH iVIEW Blue Plus HybReady ISH iVIEW Blue Plus anti-DNP ISH iVIEW Blue Plus Amp iVIEW Blue Plus Biotinylated Ig iVIEW Blue Plus Streptavidin Alkaline Phosphatase iVIEW Blue Plus Enhancer iVIEW Blue Plus NBT iVIEW Blue Plus BCIP		

### Description

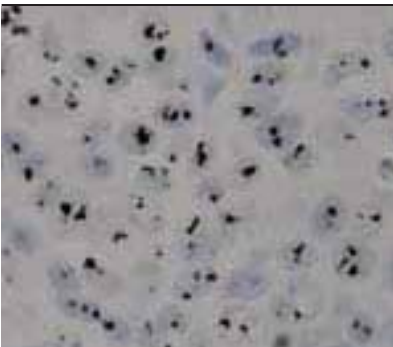
Le kit de détection ISH iVIEW Blue Plus est un système biotine-streptavidine indirect permettant la détection de sondes marquées au DNP. Ce kit est destiné à être utilisé sur des coupes de tissus fixés au formol et inclus en paraffine. Le kit de détection ISH iVIEW Blue Plus utilise une réaction chromogène entre l'enzyme phosphatase alcaline et son substrat NBT/BCIP, qui produit un dépôt de couleur permanente bleue intense au niveau du site d'interaction sonde-cible, facilement détectable au microscope optique. Tous les réactifs sont fournis pré-dilués et prêts à l'emploi afin de faciliter leur utilisation sur des automates de coloration des lames de la série VENTANA BenchMark.

## Kits de détection argentiques

	Kit de détection <i>ultraView</i> SISH DNP		IHC	HIS ✓
	Référence	800-098 <a href="#">05907136001</a>		
	Quantité	100 tests		
	Statut	IVD		
	Composants	<i>ultraView</i> Silver ISH DNP Rabbit anti-DNP Antibody <i>ultraView</i> Silver ISH DNP HRP <i>ultraView</i> Silver ISH DNP Chromogen A <i>ultraView</i> Silver ISH DNP Chromogen B <i>ultraView</i> Silver ISH DNP Chromogen C		

### Description

Le kit de détection *ultraView* SISH DNP est un système sans biotine indirect permettant la détection de sondes marquées au DNP. Ce kit est destiné à l'identification des cibles par hybridation *in situ* à l'argent (SISH) sur des coupes de tissus fixés au formol et inclus en paraffine, colorées sur des automates de coloration des lames de la série VENTANA BenchMark. L'interprétation clinique de toute coloration ou de l'absence de coloration, doit être appuyée par un examen histologique et une évaluation des témoins appropriés. L'évaluation doit être réalisée par un professionnel qualifié en fonction des antécédents cliniques du patient ainsi que des autres tests diagnostiques. Tous les réactifs sont fournis pré-dilués et prêts à l'emploi afin de faciliter leur utilisation sur des automates de coloration des lames de la série VENTANA BenchMark.

	Kit de détection <i>ultraView</i> SISH		IHC	HIS ✓
	Référence	780-001 <a href="#">05271967001</a>		
	Quantité	100 tests		
	Statut	IVD		
	Composants	<i>ultraView</i> SISH HRP <i>ultraView</i> SISH HybReady <i>ultraView</i> Silver Chromogen A <i>ultraView</i> Silver Chromogen B <i>ultraView</i> Silver Chromogen C		

### Description

Le kit de détection *ultraView* SISH est un système sans biotine indirect permettant la détection d'anticorps primaires de lapin. Ce kit est destiné à l'identification des cibles par hybridation *in situ* (HIS) sur des coupes de tissus fixés au formol et inclus en paraffine. Ce kit doit être utilisé avec la sonde ADN INFORM HER2, la sonde ADN INFORM TOP2A, la sonde ADN INFORM EGFR, la sonde ADN INFORM MET, la sonde INFORM Chromosome 7 et la sonde INFORM Chromosome 17. Tous les réactifs sont fournis pré-dilués et prêts à l'emploi afin de faciliter leur utilisation sur des automates de coloration des lames de la série VENTANA BenchMark.

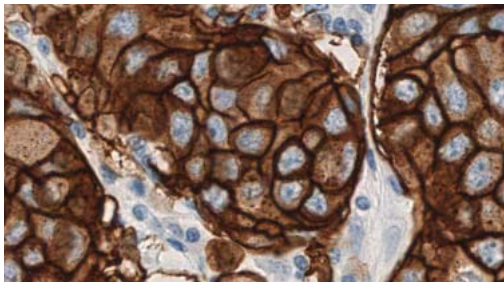
Référence Ventana en noir, référence Roche en bleu. Les produits figurant sur cette page sont à usage en diagnostic *in vitro* (IVD).



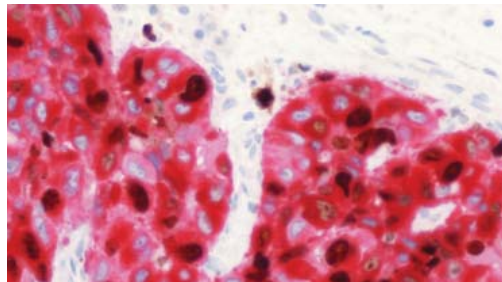


# Anticorps primaires

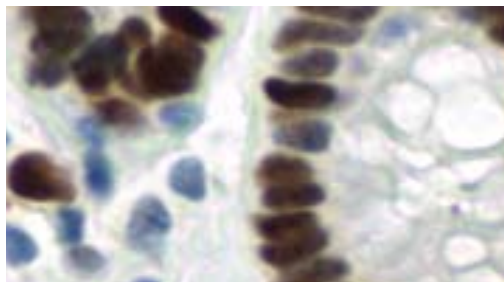
par pathologie



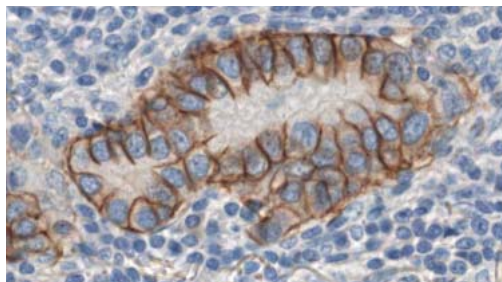
Diagnostic du cancer du sein



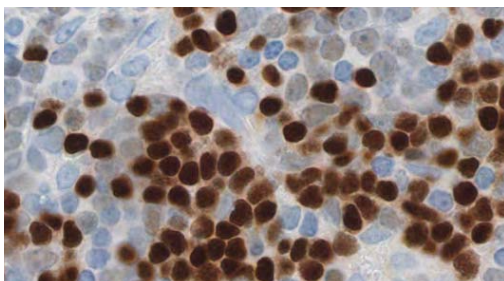
Diagnostic du cancer de la peau



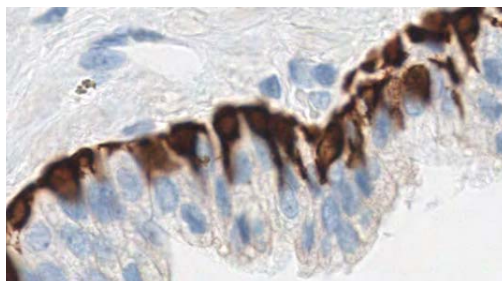
Diagnostic du cancer gastro-intestinal et  
colorectal



Diagnostic du cancer du poumon

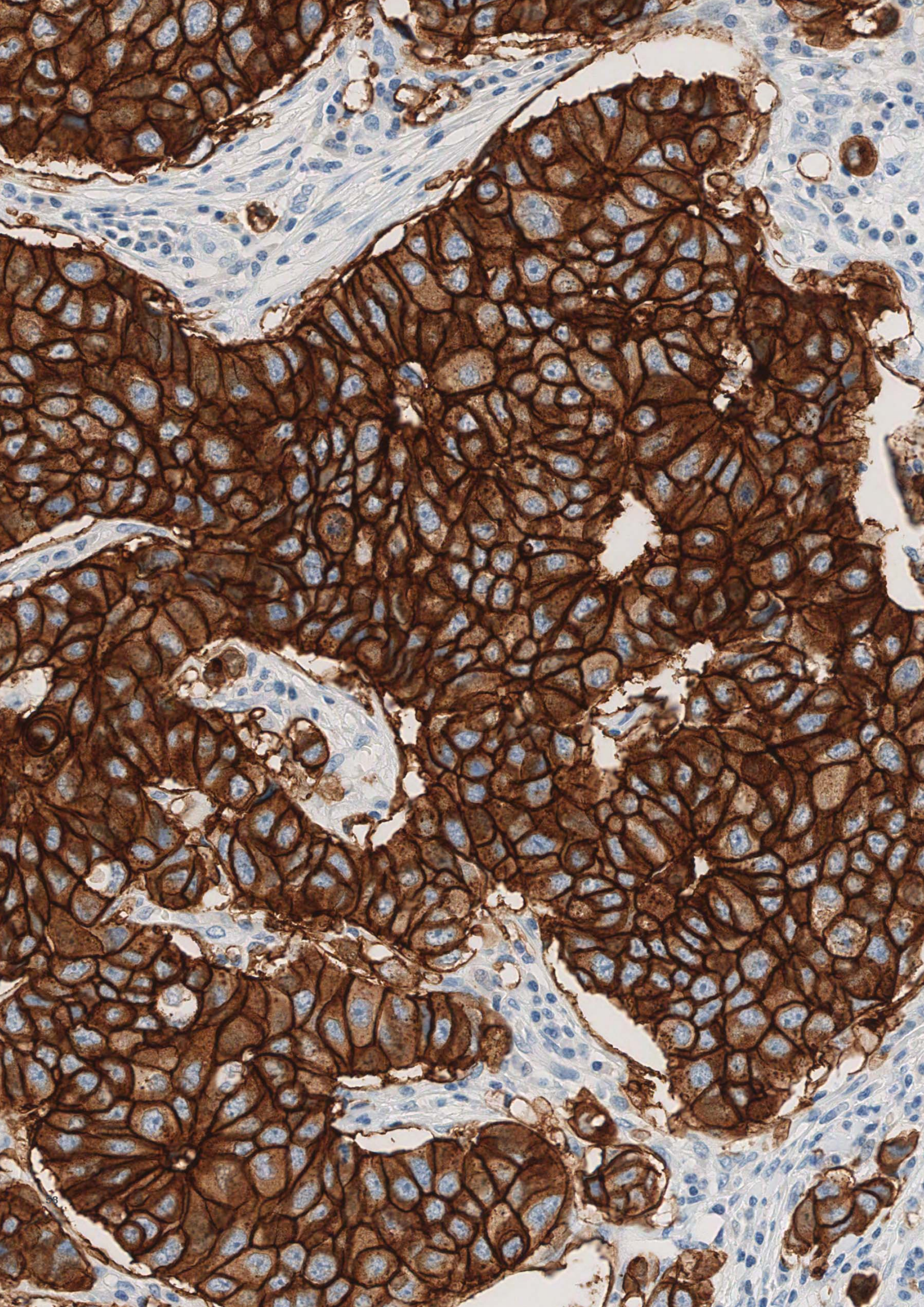


Diagnostic du lymphome



Diagnostic du cancer de la prostate







# Diagnostic du cancer du sein

*Découvrez notre gamme complète pour le diagnostic du cancer du sein.*

## Marqueurs fondamentaux des tumeurs mammaires

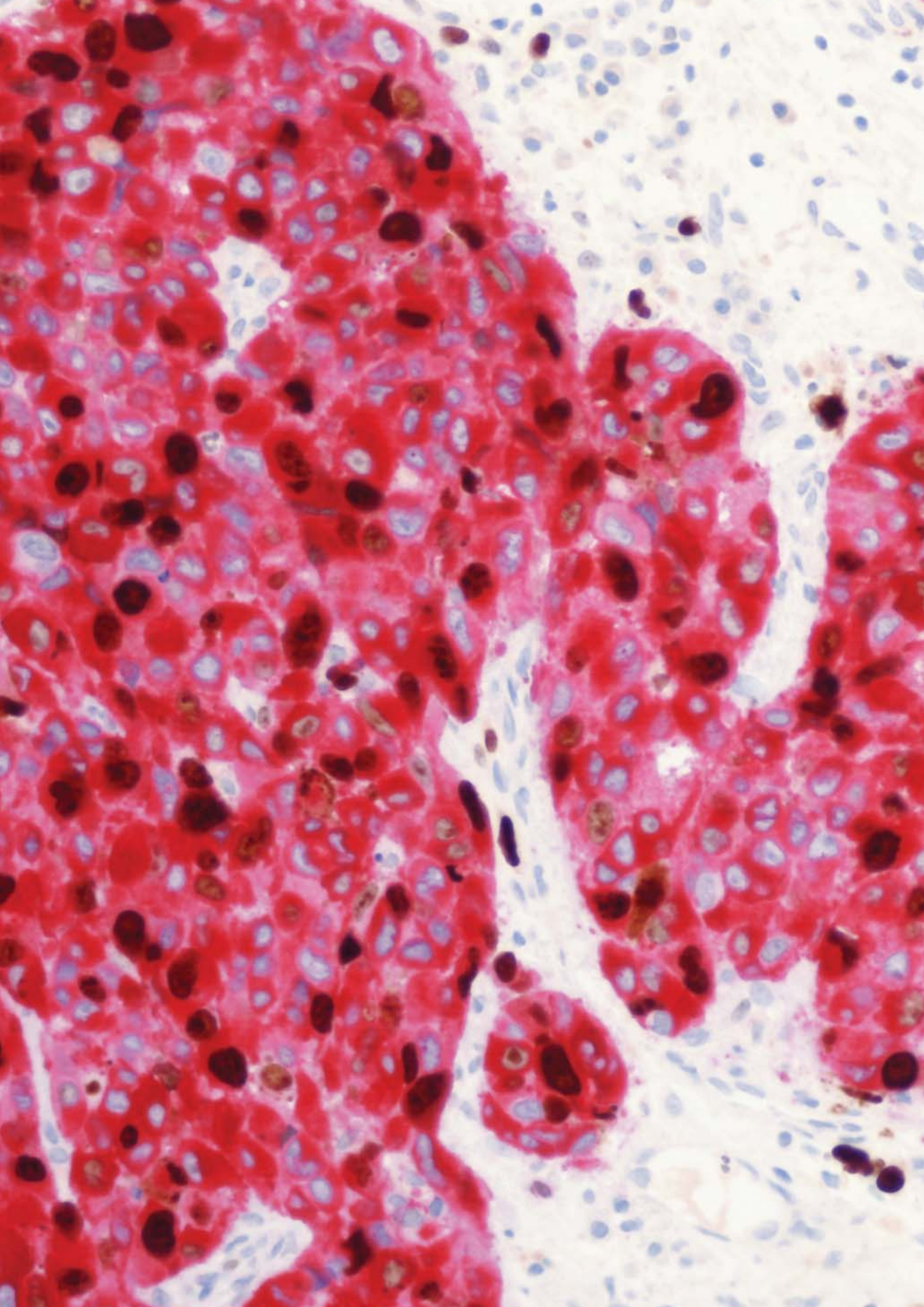
- $\alpha$ -actine du muscle lisse (1A4)
- Cytokératine 5/6 (D5/16B4)
- E-cadhérine (36)
- E-cadhérine (EP700Y)
- Récepteur de l'œstrogène (SP1)
- GCDFP-15 (EP1582Y)
- HER-2/*neu* (4B5)
- Ki-67 (30-9)
- p120 (98)
- Récepteur de la progestérone (1E2)

## Autres marqueurs importants des tumeurs mammaires

- Bêta-caténine (14)
- Calponine-1 (EP798Y)
- MUC1 (H23)
- p53 (BP-53-11)
- p53 (DO-7)
- p63 (4A4)

## Marqueurs émergents des tumeurs mammaires

- IGF-1R (G11)
- TAG-72 (B72.3)
- Topoisomérase IIa (JS5B4)



# Diagnostic du cancer de la peau

*Découvrez notre gamme complète de tests dermatologiques.*

## Marqueurs fondamentaux des tumeurs cutanées

- CD30 (Ber-H2)
- CD34 (QBEnd/10)
- CD45 (2B11&PD7/26)
- CD45 (RP2/18)
- Cytokératine, Pan (AE1/AE3 & PCK26)
- Facteur XIIIa (AC-1A1)
- Facteur XIIIa (EP3372)
- MART-1/melan A (A103)
- Mélanosome (HMB45)
- S100 (4C4.9)
- S100 (polyclonal)

## Autres marqueurs importants des tumeurs cutanées

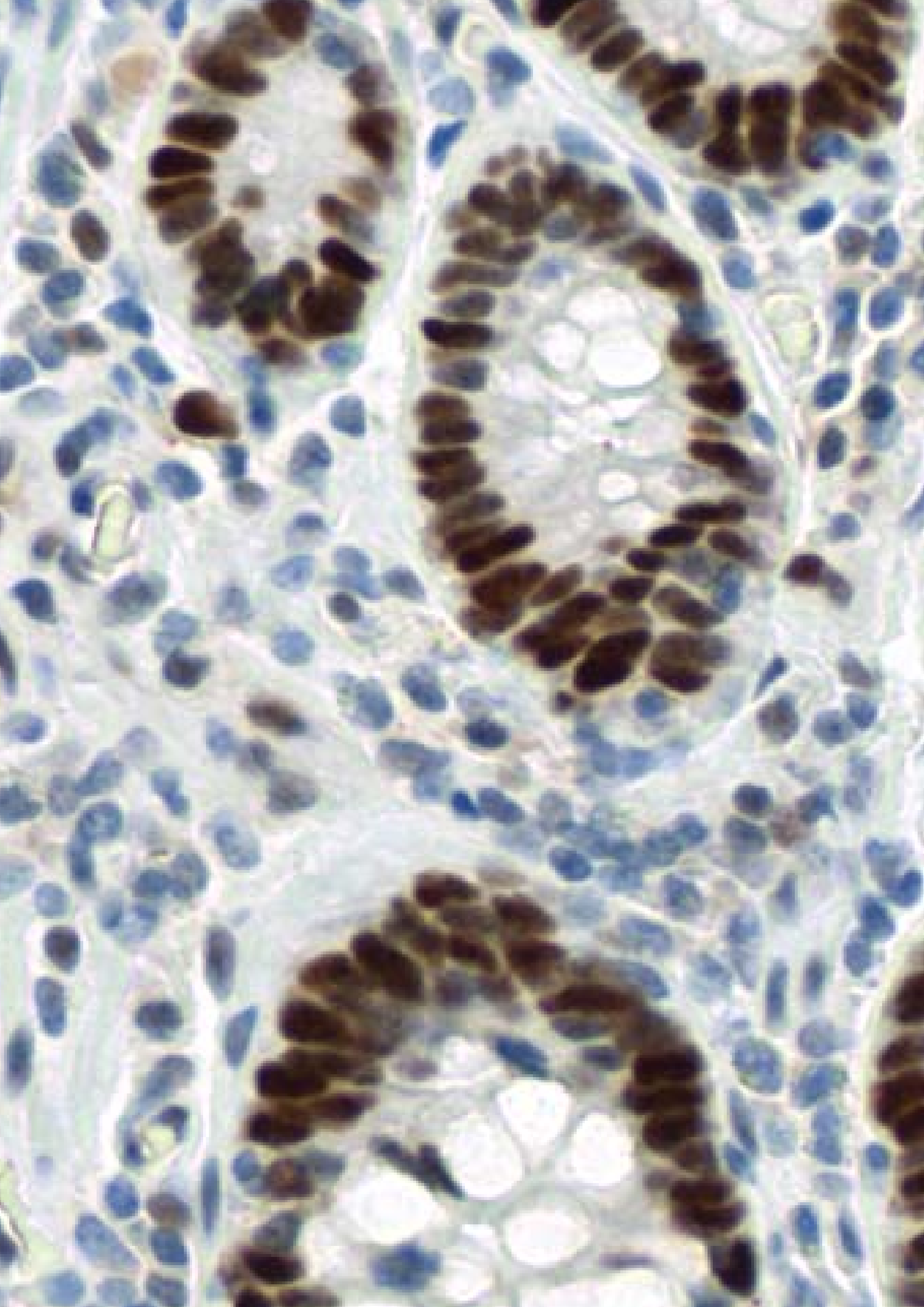
- CD1a (EP3622)
- CD4 (SP35)
- CD7 (SP94)
- CD8 (SP57)
- CD68 (KP-1)
- NGFR (MRQ-21)
- Tyrosinase (T311)

## Marqueurs émergents des tumeurs cutanées

- MITF (C5/D5)
- MAA (Antigène associé au mélanome) (KBA.62)
- MAA (Antigène associé au mélanome) (PNL2)

Les produits figurant sur cette page sont réservés à un usage en diagnostic *in vitro* (IVD).





# Diagnostic du cancer gastro-intestinal et colorectal

*Découvrez nos solutions diagnostiques pour le cancer gastro-intestinal (CGI) et colorectal (CCR).*

## Marqueurs fondamentaux du CGI et du CCR

- Bêta-caténine (14)
- c-KIT (9.7)
- CD2 (MRQ-11)
- CDX-2 (EPR2764Y)
- CEA (CEA31)
- Chromogranine A (LK2H10)
- COX-2 (SP21)
- Cytokératine 7 (SP52)
- Cytokératine 20 (SP33)
- ERA (Antigène lié aux épithéliums) (MOC-31)
- *Helicobacter pylori* (SP48)
- S100 (4C4.9)
- S100 (polyclonal)
- Synaptophysine (MRQ-40)
- Villine (CWBB1)

## Marqueurs d'instabilité microsatellitaire

- MLH1 (M1)
- MSH2 (G219-1129)
- MSH6 (44)
- PMS2 (EPR3947)

## Autres marqueurs importants du CGI et du CCR

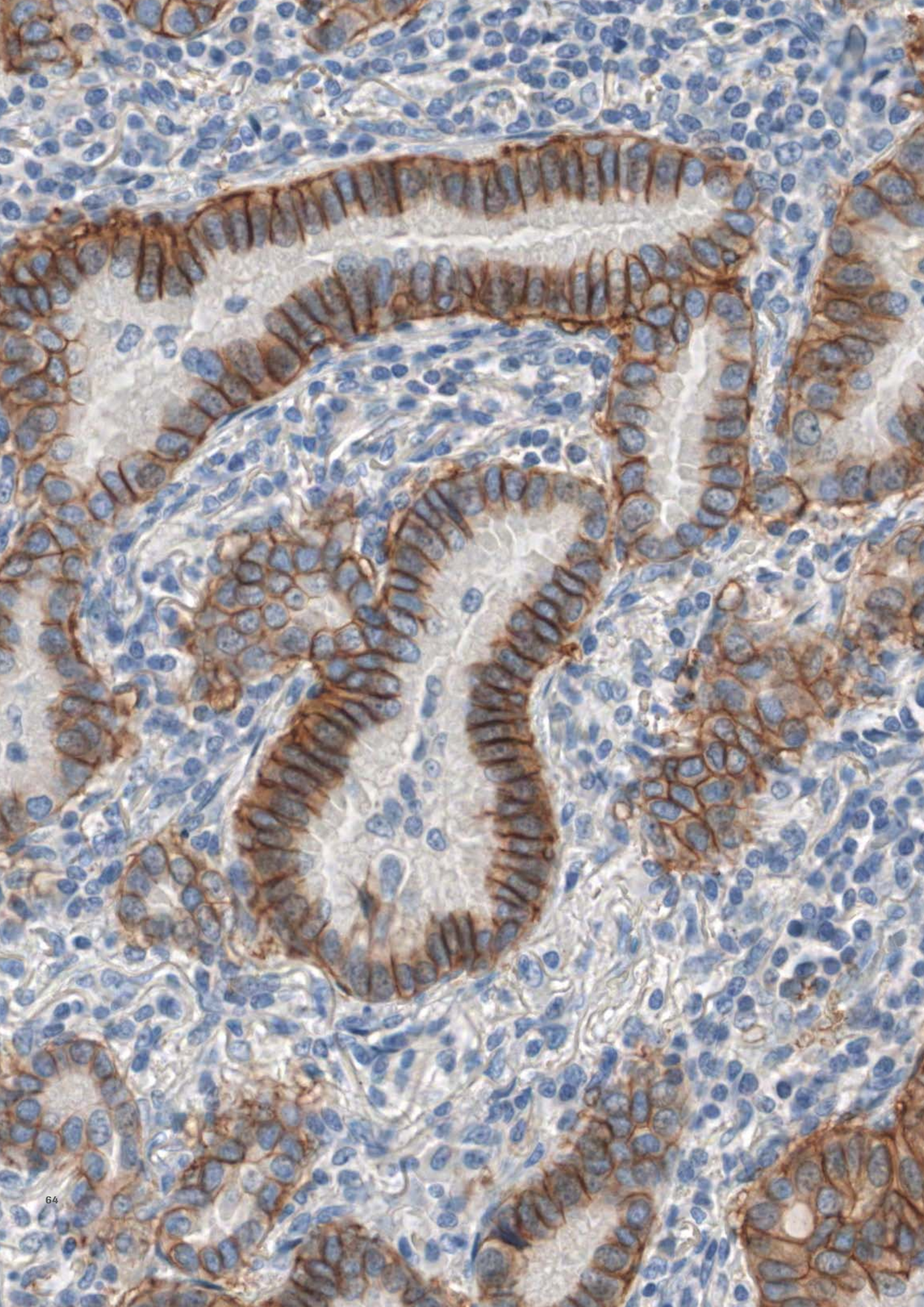
- CD45 (RP2/18)
- Kappa (polyclonal)
- Lambda (polyclonal)
- p53 (DO-7)
- p63 (4A4)
- Actine du muscle lisse (1A4)

## Marqueurs émergents du CGI et du CCR

- MUC2 (MRQ-18)
- MUC5AC (MRQ-19)
- MUC6 (MRQ-20)

Les produits figurant sur cette page sont réservés à un usage en diagnostic *in vitro* (IVD).







# Diagnostic du cancer du poumon

*Nos marqueurs peuvent vous aider à prendre des décisions thérapeutiques de façon éclairée.*

## Marqueurs fondamentaux des tumeurs bronchiques

- Chromogranine A (LK2H10)
- Cytokératine 5/6 (D5/16B4)
- Cytokératine 7 (SP52)
- Cytokératine 20 (SP33)
- Synaptophysine (MRQ-40)
- TTF-1 (Facteur-1 de transcription de la thyroïde) (8G7G3/1)

## Autres marqueurs importants des tumeurs bronchiques

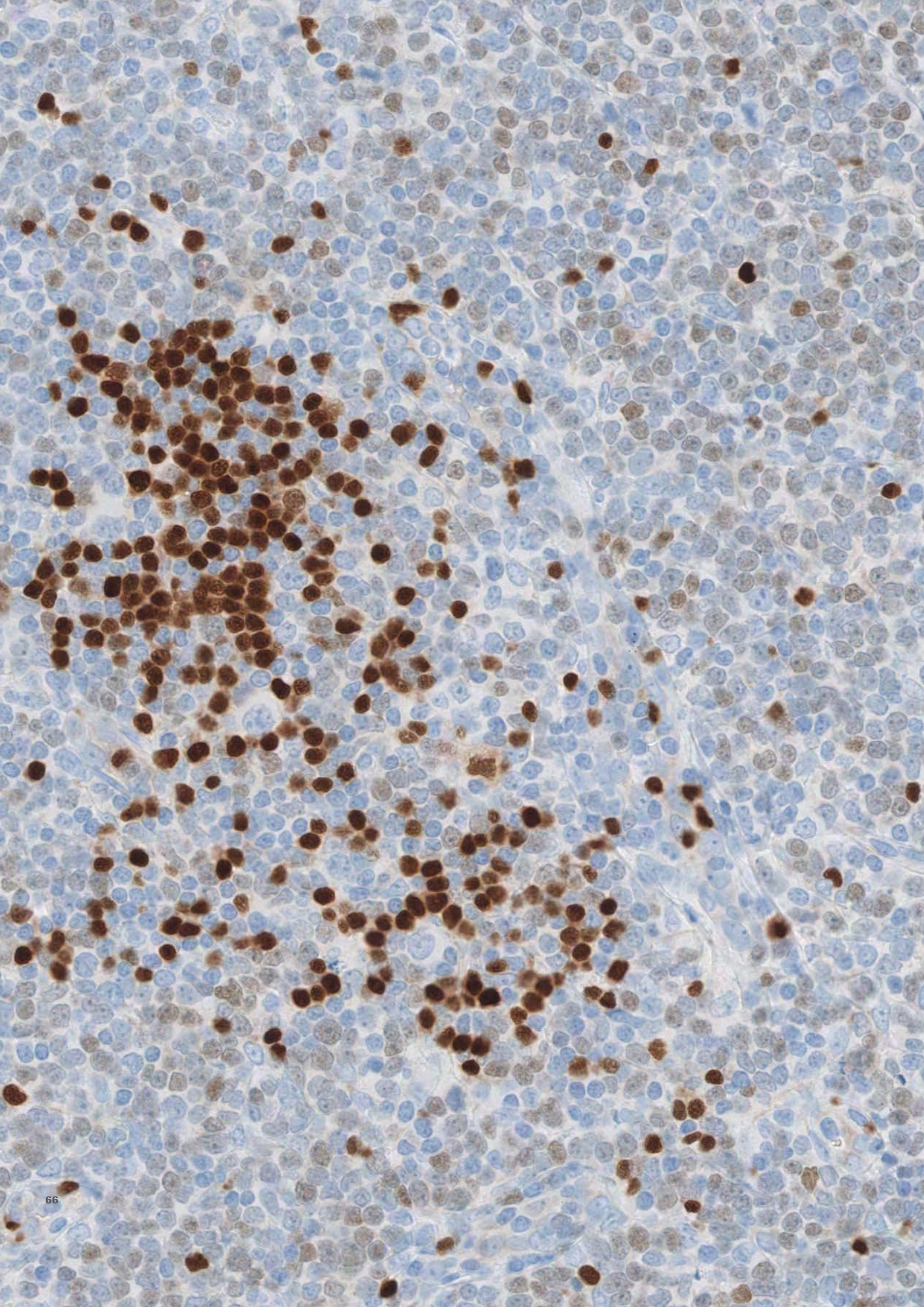
- Calrétinine (SP65)
- CEA (CEA31)
- CD99 (O13)
- EGFR (3C6)
- Ep-CAM (Ber-EP4)
- ERA (Antigène lié aux épithéliums) (MOC-31)
- Ki-67 (30-9)
- WT1 (6F-H2)

## Marqueurs émergents des tumeurs bronchiques

- c-MET (SP44)
- IGF-1R (G11)
- MUC1 (H23)
- Napsine A (polyclonal)

Les produits figurant sur cette page sont réservés à un usage en diagnostic *in vitro* (IVD).







# Diagnostic des lymphomes

*Notre offre complète de tests vous aide à prendre des décisions thérapeutiques grâce à des marquages sensibles et de qualité constante auxquelles les patients et vous-même pouvez vous fier.*

## Marqueurs fondamentaux des lymphomes

- bcl-2 (124)
- CD3 (2GV6)
- CD5 (SP19)
- CD10 (SP67)
- CD15 (MMA)
- CD20 (L26)
- CD23 (SP23)
- CD30 (Ber-H2)
- CD45 (2B11&PD7/26)
- CD45 (RP2/18)
- CD68 (KP-1)
- CD138 (B-A38)
- Cycline D1 (SP4-R)

## Marqueurs émergents des lymphomes

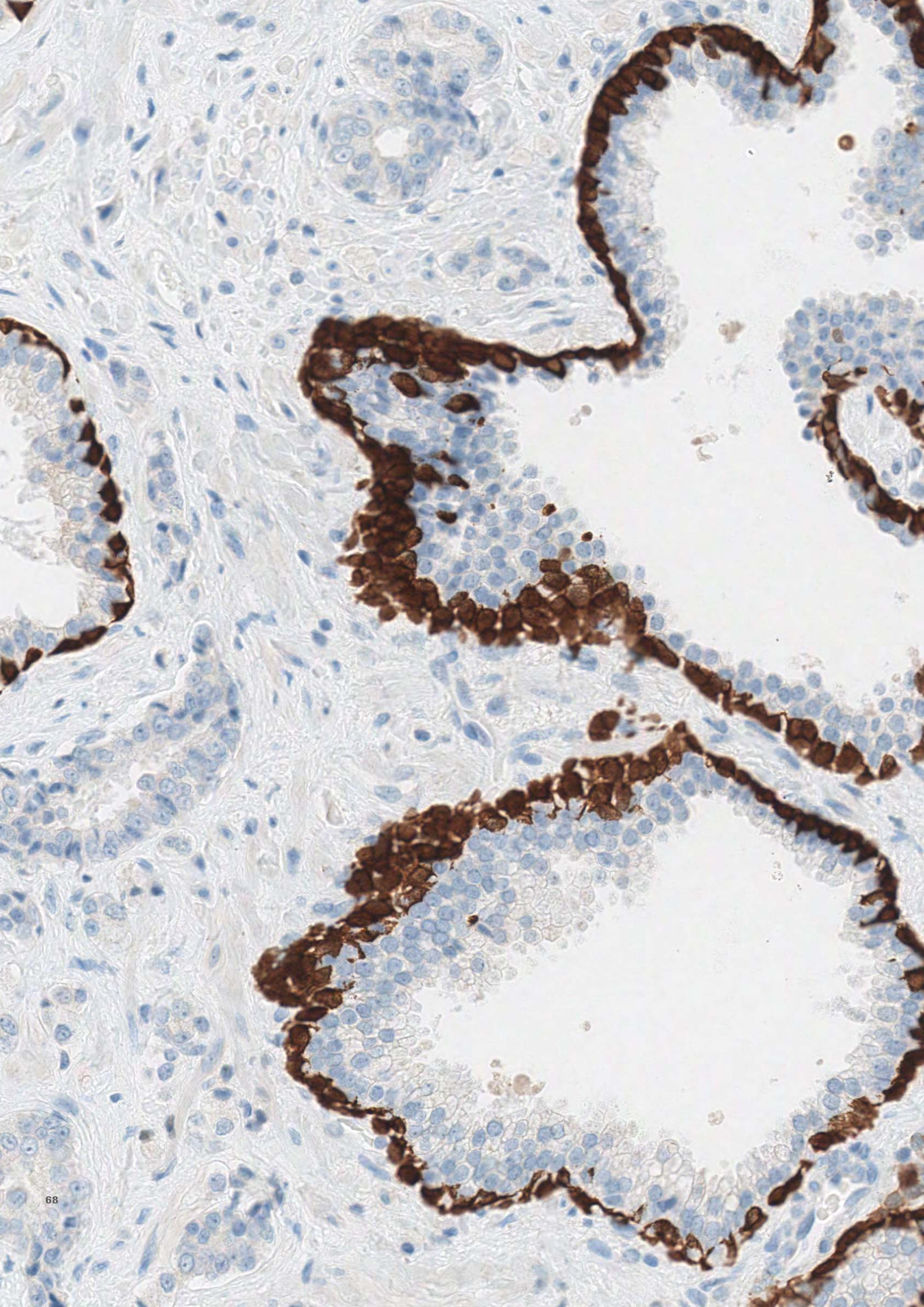
- BOB.1 (SP92)
- CD19 (SP119)
- CD22 (SP104)
- CD71 (MRQ-48)
- HGAL (MRQ-49)
- LMO2 (1A9-1)
- PD-1 (MRQ-22)
- T-bet (MRQ-46)

## Autres marqueurs importants des lymphomes

- ALK1 (ALK01)
- bcl-6 (GI191E/A8)
- CD1a (EP3622)
- CD4 (SP35)
- CD7 (SP94)
- CD8 (SP57)
- CD56 (MRQ-42)
- CD79a (SP18)
- Kappa (polyclonal)
- Lambda (polyclonal)
- MUM1 (MRQ-43)
- PAX5 (SP34)
- TdT (polyclonal)
- ZAP-70 (2F3.2)

Les produits figurant sur cette page sont réservés à un usage en diagnostic *in vitro* (IVD).







# Diagnostic du cancer de la prostate

*Au cours de la période de dépistage par dosage du PSA, on estime que 50 % des patients atteints d'un cancer de la prostate sont surtraités. Notre anticorps ERG à usage en IVD fournit des informations supplémentaires qui vous permettent d'établir un diagnostic en toute confiance.*

## Marqueurs fondamentaux des tumeurs prostatiques

- Cocktail de marqueurs des cellules basales (34betaE12 + 4A4)
- Cytokératine (34betaE12)
- Cytokératine 5/6 (D5/16B4)
- p63 (4A4)
- PSA (polyclonal)
- PSAP (PASE/4LJ)

## Marqueurs émergents des tumeurs prostatiques

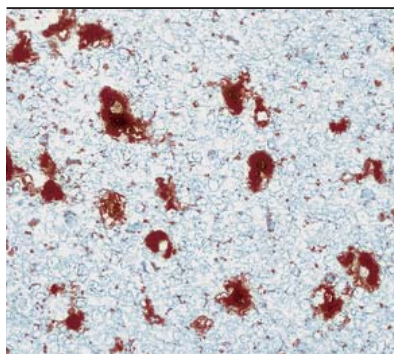
- ERG (EPR3864)

Les produits figurant sur cette page sont réservés à un usage en diagnostic *in vitro* (IVD).



# Anticorps primaires

## par ordre alphabétique



### a-1-antichymotrypsine (ACT)

(polyclonal)

Référence	760-2604 <a href="#">05267196001</a>
Type	Polyclonal de lapin
Témoin	Tumeurs histiocytaires
Localisation	Cytoplasmique
Quantité	50 tests

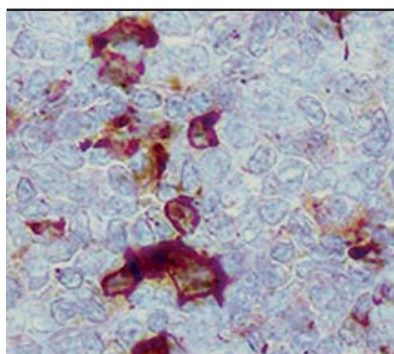
Histiocytes bénins

#### Description

L'anticorps primaire polyclonal de lapin a-1-antichymotrypsine réagit avec les histiocytes et les néoplasmes histiocytaires. Il est principalement utilisé pour définir la présence de l'antigène a-1-antichymotrypsine dans les histiocytes et les tumeurs histiocytaires. Dans le granulome éosinophilique et l'histiocytose maligne, l'intensité et la distribution de la réaction pour ce marqueur sont hétérogènes. En revanche, dans les histiocytomes fibreux, on peut observer une réaction diffuse homogène.

#### Références

1. Isaacson P, et al., Lancet. 2:964-965, 1979.
2. Palmer PE, et al., Am J Clin Pathol. 62:350-354, 1974.
3. Palmer PE, et al., Cancer. 45:1424-1431, 1980.
4. Kindblom LG, et al., Hum Pathol. 13:834-840, 1982.
5. Raintoft I, et al., Hum Pathol. 10:419-424, 1979.



### a-1-antitrypsine (AAT)

(polyclonal)

Référence	760-2605 <a href="#">05267200001</a>
Type	Polyclonal de lapin
Témoin	Amygdale, ganglion lymphatique, appendice
Localisation	Cytoplasmique
Quantité	50 tests

Histiocytes bénins

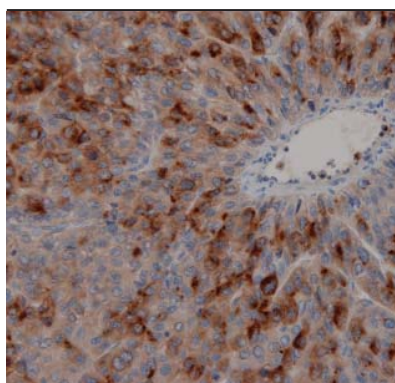
#### Description

L'anticorps primaire polyclonal de lapin a-1-antitrypsine (AAT) est considéré comme très utile pour l'étude du déficit héréditaire en AAT, des tumeurs hépatiques bénignes et malignes, et des tumeurs du sinus endodermique. La coloration positive à a-1-antitrypsine peut également être utilisée pour détecter les lésions bénignes et malignes de nature histiocytaire. Avec de bons résultats en termes de sensibilité et de spécificité, cet anticorps est un outil de dépistage utile chez les patients atteints d'une cirrhose cryptogénique ou d'une autre forme d'hépatopathie présentant une fibrose portale d'étiologie incertaine.

#### Références

1. Isaacson P, et al., Lancet. 2:964-965, 1979.
2. Palmer PE, et al., Am J Clin Pathol. 62:350-354, 1974.
3. Palmer PE, et al., Cancer. 45:1424-1431, 1980.
4. Kindblom LG, et al., Hum Pathol. 13:834-840, 1982.
5. Raintoft I, et al., Hum Pathol. 10:419-424, 1979.

Référence Ventana en noir, référence Roche en bleu. Les produits figurant sur cette page sont à usage en diagnostic *in vitro* (IVD).



### a-1-fœtoprotéine (AFP) (polyclonal)

<b>Référence</b>	760-2603 <a href="#">05267188001</a>
<b>Type</b>	Polyclonal de lapin
<b>Témoin</b>	Foie fœtal
<b>Localisation</b>	Cytoplasmique
<b>Quantité</b>	50 tests

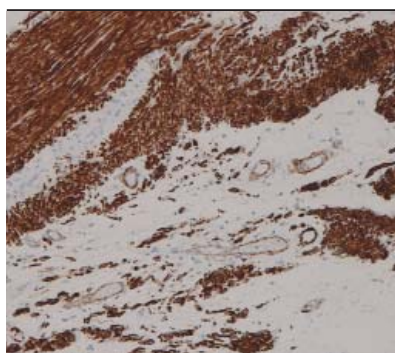
Carcinome hépatocellulaire

#### Description

L'anticorps primaire polyclonal de lapin AFP produit une coloration positive dans les hépatocytes de foie fœtal et dans l'hépatome. Dans la mesure où seules des traces d'AFP sont observées dans le sérum adulte, des taux élevés suggèrent l'existence d'une lésion hépatique bénigne ou maligne, d'une tumeur du sinus endodermique ou de l'une des quelques autres tumeurs habituellement rencontrées. Conjointement avec des taux sériques élevés, la présence de l'AFP a été démontrée par des tests immunohistochimiques dans les tumeurs du sinus endodermique à localisation gonadique et extra-gonadique, les hépatopathies malignes et quelques autres néoplasmes. La plupart des fixateurs ne dénaturent pas cet antigène.

#### Références

1. Jacobsen GK, et al., Am J Surg Pathol. 5:257-66, 1981.
2. Peyrol S, et al., Digestion. 18:351-370, 1978.
3. Tsung SH, et al., Arch Pathol Lab Med. 101:572-574, 1977.
4. Goodman ZD, et al., Cancer. 55:124-135, 1985.
5. Roth LM, et al., Cancer. 37:812-820, 1976.



### Actine, musculaire (HUC1-1)

<b>Référence</b>	760-2502 <a href="#">05266882001</a>
<b>Type</b>	Monoclonal de souris
<b>Témoin</b>	Muscle squelettique
<b>Localisation</b>	Cytoplasmique
<b>Quantité</b>	50 tests
<b>Isotype</b>	IgG <sub>1</sub>

Muscle lisse colique et vasculaire

#### Description

L'anticorps primaire monoclonal de souris actine musculaire (HUC 1-1) peut être utilisé pour faciliter l'identification des cellules de lignée myocytaire normale et anormale et constituer une aide au diagnostic des tumeurs anaplasiques. L'anticorps actine musculaire (HUC 1-1) est dirigé contre un épitope présent sur les isoformes musculaires de l'actine mais pas sur les isoformes cytoplasmiques. Du point de vue ultrastructural, l'actine est constituée de microfilaments cytoplasmiques organisés en réseau diffus qui caractérisent les cellules musculaires. Les anticorps monoclonaux spécifiques aux actines musculaires ont permis de localiser les différents types cellulaires avec précision. Le clone HUC 1-1 montre des caractéristiques immunocytochimiques et biochimiques similaires à celles rapportées pour le clone HHF35. Dans les coupes de tissus, l'aspect et la localisation (cardiaque, squelettique ainsi que dans les muscles lisses et les cellules myoépithéliales) de la coloration pour HHF35 correspond à peu près à la réactivité observée pour la desmine.

#### Références

1. Sawtell NM, et al., Cell Motil Cytoskeleton. 11(4):318-25, 1988.
2. True LD, Atlas of Diag Immunohistopathology. 1990; JB Lippincott Company Philadelphia.
3. Tsukada T, et al., Am J Pathol. 126(1):51-60, 1987.
4. Tsukada T, et al., Am J Pathol. 127(2):389-402, 1987.
5. Elias JM, Immunohistopathology. ASCP Press, Chicago, 1990.



### Actine, musculaire spécifique

(HHF35)

<b>Référence</b>	760-2601 <a href="#">05267161001</a>
<b>Type</b>	Monoclonal de souris
<b>Témoin</b>	Muscle squelettique
<b>Localisation</b>	Cytoplasmique
<b>Quantité</b>	50 tests
<b>Isotype</b>	IgG <sub>1</sub> /K

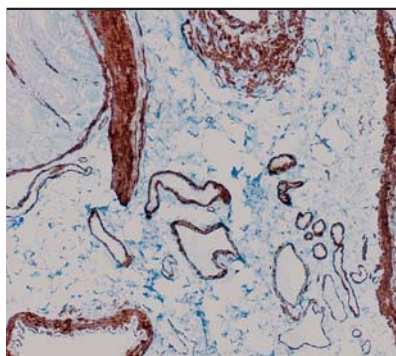
Muscle squelettique

#### Description

L'actine est un composant majeur du cytosquelette. Cet anticorps reconnaît l'actine du squelette, du cœur et des cellules de muscle lisse. Il ne réagit pas avec les autres cellules mésenchymateuses à l'exception du myoépithélium. L'actine peut être décomposée d'après ses points isoélectriques en trois composants distincts : alpha, bêta et gamma par ordre croissant des points isoélectriques. L'anticorps actine musculaire spécifique reconnaît les isotypes alpha et gamma de tous les groupes musculaires. Les cellules non musculaires telles que les cellules endothéliales vasculaires et les tissus conjonctifs ne réagissent pas. Les cellules néoplasiques de tissu non musculaire telles que les carcinomes, les mélanomes et les lymphomes sont également négatives. Cet anticorps est utile pour l'identification d'éléments de cellules rhabdoïdes.

#### Références

1. Gown AM, et al., Am J Pathol. 125:191, 1986.
2. Schmidt R, et al., Am J Pathol. 131:199, 1988.
3. Azumi N, et al., Modern Pathology. 1:469-474, 1988.



### Actine, muscle lisse

(1A4)

<b>Référence</b>	760-2833 <a href="#">05268303001</a>
<b>Type</b>	Monoclonal de souris
<b>Témoin</b>	Appendice, utérus
<b>Localisation</b>	Cytoplasmique
<b>Quantité</b>	50 tests
<b>Isotype</b>	IgG

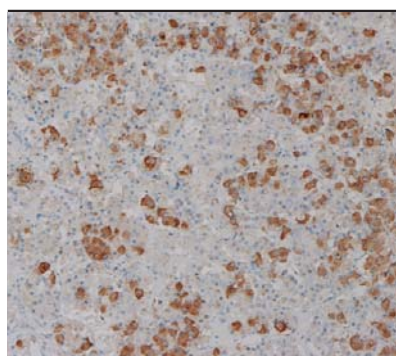
Colique et sanguine

#### Description

L'actine est un composant majeur du cytosquelette et est présente dans tous les types de cellule. L'actine peut être décomposée d'après ses points isoélectriques en trois composants distincts : alpha, bêta et gamma par ordre croissant des points isoélectriques. L'anticorps actine du muscle lisse ne présente pas de coloration avec les muscles cardiaque ou squelettiques mais réagit par contre avec les cellules myofibroblastiques et myoépithéliales. Cet anticorps peut être utilisé en association avec l'anticorps actine musculaire spécifique pour distinguer les léiomyosarcomes des rhabdomyosarcomes. Dans la plupart des cas de rhabdomyosarcome, cet anticorps donne des résultats négatifs tandis que l'anticorps actine musculaire spécifique est positif dans les rhabdomyoblastes. Les léiomyosarcomes réagissent à la fois avec l'anticorps actine du muscle lisse et l'anticorps actine musculaire spécifique.

#### Références

1. Cooke PH, J Cell Biol. 68:539-556, 1976.
2. Skalli O, et al., J Cell Biol. 103:2787-2796, 1986.
3. Gown AM, et al., J Cell Biol. 100:807-813, 1985.
4. Kuroda M, Biochem Biophys Acta. 843:20-213, 1985.
5. Lazarides E, J Histochem Cytochem. 223:507-528, 1975.



### Adrénocorticotrophine (ACTH)

(polyclonal)

<b>Référence</b>	760-2708 <a href="#">05268176001</a>
<b>Type</b>	Polyclonal de lapin
<b>Témoin</b>	Hypophyse normale
<b>Localisation</b>	Cytoplasmique
<b>Quantité</b>	50 tests

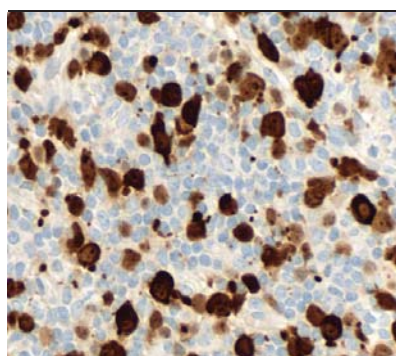
Hypophyse

#### Description

ACTH est un marqueur utile pour la classification des tumeurs hypophysaires. Il réagit avec les cellules productrices d'ACTH (corticotrophes). Il peut également réagir avec d'autres tumeurs (certains carcinomes pulmonaires à petites cellules par exemple) qui provoquent des syndromes paranéoplasiques en sécrétant de l'ACTH.

#### Références

1. Pizarro CB, et al., Braz J Med Biol Res. 37(2):235-43, 2004
2. Viacava P, et al., J Endocrinol Invest. 26(1):23-8, 2003.
3. Kageyama K, et al., Am J Med Sci. 324(6):326-30, 2002.
4. Fan X, et al., J Histochem Cytochem. 50(11):1509-16, 2002
5. Japon MA, et al., J Clin Endocrinol Metab. 87(4):1879-84, 2002.



### ALK1, CONFIRM

(ALK01)

<b>Référence</b>	800-2918 <a href="#">05278783001</a>
<b>Type</b>	Monoclonal de souris
<b>Témoin</b>	Lymphome anaplasique à grandes cellules
<b>Localisation</b>	Cytoplasmique, nucléaire
<b>Quantité</b>	50 tests
<b>Isotype</b>	IgG <sub>3</sub> /K

Lymphome anaplasique à grandes cellules

#### Description

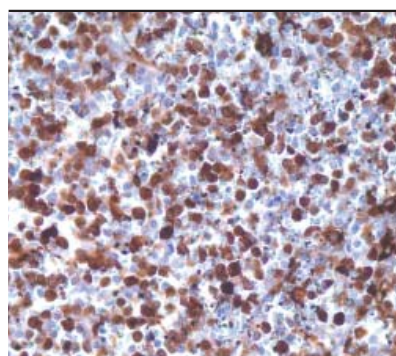
L'anticorps primaire monoclonal de souris CONFIRM ALK1 (ALK01) reconnaît un épitope résistant au formol et présent à la fois dans la protéine p80, identifiée comme une protéine hybride de la protéine kinase (ALK) exprimée par le lymphome anaplasique, et dans la nucléophosmine (NPM), ainsi que dans les protéines ALK normales de 200 kD. L'anticorps ALK1 (ALK01) peut également reconnaître toutes les protéines chimériques ALK résultant de translocations variantes impliquant le gène ALK situé sur le chromosome 2. L'anticorps ALK1 (ALK01) reconnaît des degrés variables de l'expression d'ALK à la fois dans le cytoplasme et le noyau des cellules de lymphome anaplasique. L'expression de la protéine ALK est très spécifique des lymphomes anaplasiques, à l'exception d'une faible expression dans certaines cellules normales du système nerveux central dont les neurones, les cellules gliales et les cellules endothéliales. L'expression d'ALK peut également être observée dans des tumeurs myofibroblastiques inflammatoires et de rares rhabdomyosarcomes.

#### Références

1. Pulford K, et al., Blood. 89(4):1394-404, 1997.
2. Griffin CA, et al., Cancer Res. 59(12):2776-80, 1999.
3. Falini B, et al., Am J Pathol. 153(3):875-86, 1998.

Référence Ventana en noir, référence Roche en bleu. Les produits figurant sur cette page sont à usage en diagnostic *in vitro* (IVD).





### Annexine A1

(MRQ-3)

**Référence** 760-4435 [05973945001](#)

**Type** Monoclonal de souris

**Témoin** Leucémie à tricholeucocytes

**Localisation** Cytoplasmique, membranaire

**Quantité** 50 tests

**Isotype** IgG<sub>1</sub>

Rate, leucémie à tricholeucocytes

### Description

L'annexine (ANXA1) est fortement exprimée dans la membrane cellulaire et parfois dans le cytoplasme des cellules tumorales de 97 % des échantillons issus de patients atteints d'une leucémie à tricholeucocytes. En revanche, les lymphomes B autres que la leucémie à tricholeucocytes, y compris le lymphome splénique à lymphocytes villeux et les formes variantes de leucémie à tricholeucocytes (telle que définie par les critères morphologiques, phénotypiques et cliniques actuels), sont négatifs à ANXA1. Dans une étude de Falini et al., l'immunodétection d'ANXA1 montrait une sensibilité et une spécificité de 100 % pour la leucémie à tricholeucocytes. Les lymphocytes B normaux de différents tissus lympho-hématopoïétiques étaient négatifs à ANXA1. Dans cette étude, l'expression d'ANXA1 dans les cellules myéloïdes, les macrophages ou une sous-population de lymphocytes T servait de témoin positif. Ces observations ont permis de valider, au niveau protéique, les résultats de profilage de l'expression génique dans la leucémie à tricholeucocytes en montrant qu'ANXA1 est systématiquement exprimée dans ce type de leucémie, mais pas dans les autres lymphomes B. Des résultats négatifs à ANXA1 ont également été observés chez des patients atteints d'un lymphome splénique à lymphocytes villeux, d'une forme variante de leucémie à tricholeucocytes, d'une leucémie prolifératoire, d'un lymphome de la zone marginale ou d'un lymphome lymphoplasmocytoïde. Ainsi, ANXA1 est une molécule spécifique à la leucémie à tricholeucocytes qui peut être utilisée pour différencier cette maladie des autres lymphomes B. Wang et al. ont montré qu'une expression élevée d'ANXA1 était fréquente dans les adénocarcinomes de l'œsophage et de la jonction gastro-œsophagienne, qu'elle était liée à un stade T plus avancé ainsi qu'à la présence d'une métastase à distance, et qu'elle représentait un facteur de pronostic indépendant pour la survie du patient.

### Références

- Falini B, et al., Lancet. 363(9424):1869-70, 2004. Erratum dans : Lancet. 363(9427):2194, 2004.
- Wang KL, et al., Clin Cancer Res. 12(15):4598-604, 2006.
- Xia SH, et al., Oncogene. 21(43):6641-8, 2002.
- Dreier R, et al., Histochem Cell Biol. 110(2):137-48, 1998.



### Basal Cell Cocktail

(34βE12+4A4)

**Référence** 790-4536 [06364497001](#) (50 tests);

790-1010 [06419445001](#) (250 tests)

**Type** Monoclonaux de souris

**Témoin** Cellules basales normales de tissu prostatique

**Localisation** 4A4 = noyau, 34βE12 = cytoplasme

**Quantité** 50 tests (790-4536), 250 tests (790-1010)

**Isotype** IgG<sub>2a</sub>/K

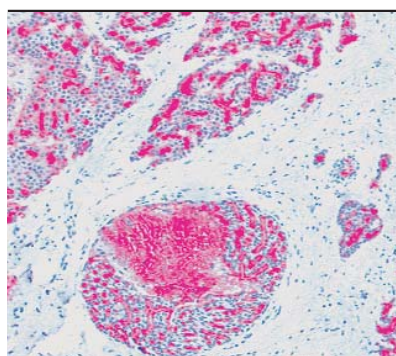
Carcinome prostatique

### Description

Le cocktail de marqueurs des cellules basales (34βE12+p63) VENTANA à base d'anticorps primaires monoclonaux de souris est un cocktail d'anticorps constitué de p63 (4A4) et de kératine (34βE12). L'anticorps p63 (4A4) réagit avec la molécule de p63 dans le noyau des cellules basales prostatiques et de l'urothélium humain. L'anticorps kératine (34βE12) réagit avec les cytokeratines 1, 5, 10 et 14 et colore le cytoplasme des cellules basales prostatiques humaines. Ce cocktail d'anticorps peut être utilisé en tant qu'aide à la différenciation des lésions prostatiques bénignes et malignes.

### Références

- Shah RB, et al., Am J Clin Pathol. 122:517-523, 2004.
- Zhou M, et al., Am J Surg Pathol. 27:365-371, 2003.
- Shah RB, et al., Am J Surg Pathol. 26:1161-1168, 2002.
- Yang A, et al., Mol Cell. 2:305-316, 1998.
- Dairkee SH, et al., J Natl Cancer Inst. 80:691-695, 1988.
- Gown AM, et al., Amer J Clin Pathol. 84:413-424, 1985.



### BCA-225

(Cu-18)

Référence	760-2607 <a href="#">05267226001</a>
Type	Monoclonal de souris
Témoin	Carcinome mammaire
Localisation	Cytoplasmique
Quantité	50 tests
Isotype	IgG <sub>1</sub>

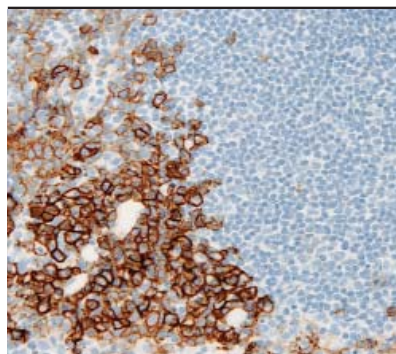
Carcinome mammaire in situ et invasif

### Description

L'anticorps primaire monoclonal de souris BCA-225 (Cu-18) reconnaît un type de carcinome mammaire humain lié à la glycoprotéine BCA-225 (220-225 kD). Cette protéine diffère en termes de taille et de distribution des autres antigènes du carcinome mammaire. Contrairement à d'autres anticorps dirigés contre les antigènes du carcinome mammaire, cet anticorps ne réagit pas avec les tissus bénins ou malins du côlon, de l'estomac, de la prostate, du foie, du pancréas, de la glande thyroïde ou parotide. Les adénocarcinomes du poumon, de l'ovaire et de l'endomètre présentent également une coloration avec cet anticorps.

### Références

1. Ceriani RL, et al., Monoclonal Ab's and Breast Cancer Boston, Martinus, Nijhoff, 1985.
2. Mesa-Tejada R, et al., Am J Pathol. 130:305-314, 1988.
3. Loy TS, et al., Am J Clin Pathol. 96(3):326-9, 1991.
4. Ma CK, et al., Am J Clin Pathol. 99(5):551-7, 1993.



### bcl-2, CONFIRM

(124)

Référence	790-4464 <a href="#">05986826001</a>
Type	Monoclonal de souris
Témoin	Lymphocytes B de la zone du manteau, lymphocytes T des zones interfolliculaires de l'amygdale
Localisation	Cytoplasmique
Quantité	50 tests
Isotype	IgG <sub>1</sub>

Lymphome

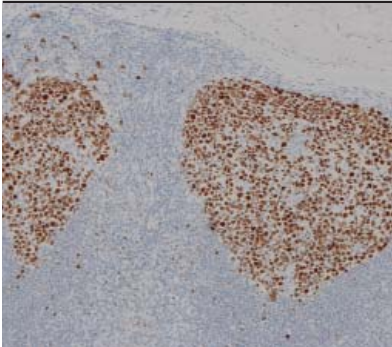
### Description

L'anticorps primaire monoclonal de souris CONFIRM bcl-2 (124) est dirigé contre la bcl-2 humaine, exprimée par les lymphocytes B de la zone du manteau et les lymphocytes T des zones interfolliculaires. Cet anticorps présente une coloration cytoplasmique et peut être utilisé pour faciliter l'identification des lymphomes folliculaires et des lymphomes diffus à grandes cellules, ainsi que pour différencier les lymphomes folliculaires des ganglions lymphatiques réactionnels.

### Références

1. Chao DT, et al., Annu Rev Immunol. 16:395-419, 1998.
2. Pezzella F, et al., N Engl J Med. 329:690-4, 1993.
3. Campos L, et al., Blood. 81:3091-6, 1993.



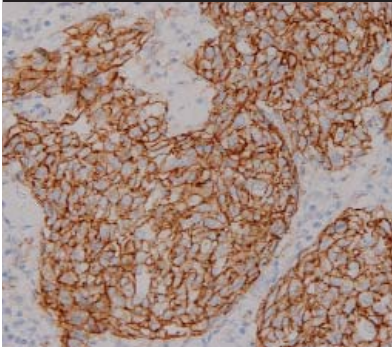
	<b>bcl-6</b> (GI191E/A8)
	<b>Référence</b> 760-4241 <a href="#">05269008001</a>
	<b>Type</b> Monoclonal de souris
	<b>Témoin</b> Amygdale, ganglion lymphatique
	<b>Localisation</b> Nucléaire
	<b>Quantité</b> 50 tests
	<b>Isotype</b> IgG <sub>1</sub>
Amygdale	

**Description**

bcl-6 est un gène régulateur de la transcription qui code pour une protéine à doigts de zinc nucléaire de 706 acides aminés. Les anticorps dirigés contre cette protéine colorent les cellules des centres germinaux dans les follicules lymphoïdes, les cellules folliculaires et interfolliculaires dans le lymphome folliculaire, les lymphomes diffus à grandes cellules B et le lymphome de Burkitt, ainsi que la majorité des cellules de Reed-Sternberg dans la maladie de Hodgkin nodulaire à prédominance lymphocytaire. En revanche, l'anticorps primaire monoclonal de souris bcl-6 (GI191E/A8) colore rarement le lymphome à cellules du manteau et le lymphome de type MALT. L'expression de bcl-6 est observée dans 45 % environ des lymphomes anaplasiques à grandes cellules CD30+ mais est systématiquement absente dans d'autres lymphomes T périphériques.

**Références**

- |  |   |
|--|---|
| 1. Dogan A, et al., Am J Surg Pathol. 24(6):846-852, 2000. | 3. Kraus Md, et al., Am J Surg Pathol. 24(8):1068-78, 2000. |
| 2. Shaffer AL, et al., Immunity. 13:199-212, 2000.         | 4. Carbone A, et al., Blood. 90(6):2445-2450, 1997.         |

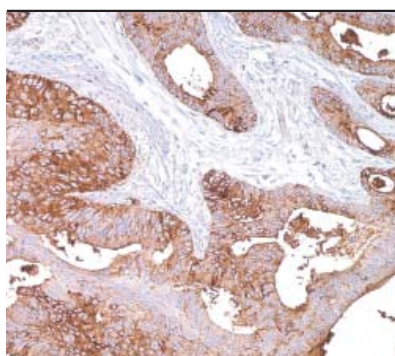
	<b>Bêta-caténine</b> (14)
	<b>Référence</b> 760-4242 <a href="#">05269016001</a>
	<b>Type</b> Monoclonal de souris
	<b>Témoin</b> Fibromatose mammaire ou abdominale
	<b>Localisation</b> Nucléaire
	<b>Quantité</b> 50 tests
	<b>Isotype</b> IgG <sub>1</sub>
Carcinome mammaire	

**Description**

La bêta-caténine est une protéine de 92 kD normalement présente dans l'espace cytoplasmique sous-membranaire de la cellule. Cette protéine est liée à la E-cadhérine et peut être essentielle pour la fonction de cette dernière. Des mutations dans le gène bêta-caténine entraînent une accumulation de cette protéine dans les noyaux. Il a été démontré qu'une accumulation nucléaire de cette protéine était présente en cas de lésions fibromateuses mammaires et abdominales. Elle est, par conséquent, utile pour différencier ce type de lésion des autres lésions à cellules fusiformes pouvant survenir dans ces régions du corps. L'accumulation nucléaire de la bêta-caténine a également été démontrée dans le carcinome colorectal.

**Références**

- |  |  |
|--|--|
| 1. Alman BA, et al., Am J Pathol. 151(2):329-34, 1997. | 3. Kuhnen C, et al., Pathol Rex Pract. 196(5):299-304, 2000. |
| 2. Li C, et al., Am J Pathol. 153(3):709-14, 1998.     | 4. Abraham SC, et al., Hum Pathol. 33(1):39-46, 2002.        |

**BG8, Lewis<sup>y</sup>**

(F3)

<b>Référence</b>	760-4450 <a href="#">05973767001</a>
<b>Type</b>	Monoclonal de souris
<b>Témoin</b>	Adénocarcinome pulmonaire
<b>Localisation</b>	Cytoplasmique
<b>Quantité</b>	50 tests
<b>Isotype</b>	IgG <sub>1</sub>

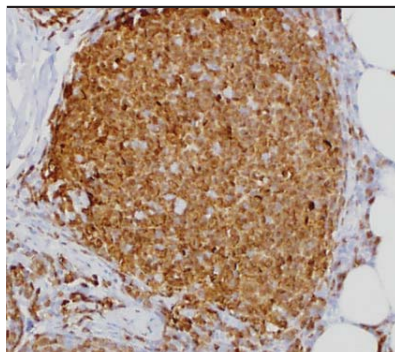
Adénocarcinome colique

**Description**

Les antigènes de groupe sanguin ont été étudiés en tant que marqueurs discriminants potentiels entre les adénocarcinomes pulmonaires et les mésothéliomes épithélioïdes. Lewis<sup>y</sup> semble être le seul d'entre eux à montrer des résultats valables. BG8 est issu de la lignée de cancer pulmonaire SK-LU-3 et sa capacité à distinguer les adénocarcinomes pulmonaires des mésothéliomes épithélioïdes a été décrite pour la première fois par Jordan et al. en 1989. Trois groupes ont depuis présenté leurs résultats. Ces études portaient sur 231 cas d'adénocarcinome pulmonaire et 197 cas de mésothéliome épithélioïde. La sensibilité et la spécificité pour l'adénocarcinome pulmonaire étaient toutes deux de 93 %. Yaziji et al. ont rapporté que la sensibilité des antigènes non mésothéliaux pour l'adénocarcinome était fonction des organes, BG8 ayant montré une sensibilité de 98 % dans le groupe de cancer du sein et de 100 % dans le groupe de cancer du poumon. La spécificité des antigènes non mésothéliaux (non liés au mésothéliome épithélioïde) pour l'adénocarcinome était de 98 % pour BG8. Une analyse de régression logique leur a permis de conclure qu'une batterie de trois anticorps immunohistochimiques comprenant la calrétinine, BG8 et MOC-31 fournirait une sensibilité et une spécificité de 96 % pour distinguer le mésothéliome épithélioïde des adénocarcinomes de différentes origines (poumon, ovaire, sein, estomac).

**Références**

- Davidson B, et al., Virchows Arch. 435(1):43-9, 1999.
- Jordan D, et al., Am J Pathol. 135(5):931-7, 1989.
- King JE, et al., Histopathology. 48(3):223-32, 2006. Review.
- Marchevsky AM, et al., Appl Immunohistochem Mol Morphol. 15(2):140-4, 2007.
- Ordóñez NG, et al., Am J Surg Pathol. 27(8):1031-51, 2003.
- Ordóñez NG, et al., Am J Surg Pathol. 24(4): 598-606, 2000.
- Pan CC, et al., Appl Immunohistochem Mol Morphol. 13(4):347-52, 2005.
- Yaziji H, et al., MMol Pathol. 19(4):514-23, 2006.

**BOB.1**

(SP92)

<b>Référence</b>	760-4593 <a href="#">06433308001</a>
<b>Type</b>	Monoclonal de lapin
<b>Témoin</b>	Amygdale
<b>Localisation</b>	Nucléaire, cytoplasmique
<b>Quantité</b>	50 tests

Lymphome folliculaire

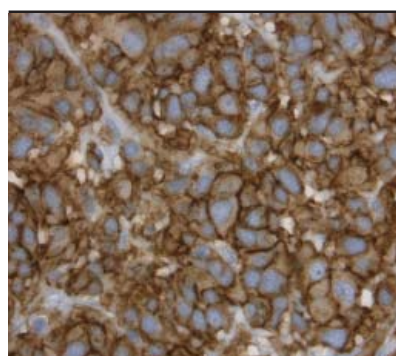
**Description**

BOB.1 (SP92) est utilisé en tant qu'aide pour l'identification des lymphocytes B des centres germinaux et des cellules du manteau, ainsi que pour la différenciation des lymphomes dans le cadre d'une évaluation réalisée par un pathologiste qualifié en fonction de la batterie d'anticorps, des antécédents cliniques du patient et des autres tests diagnostiques.

**Références**

- Steimle-Grauer SA, et al. Virchows Arch. 442:284-293, 2003.
- Valsami S, Pappa V, et al. Haematologica. 92(10):1343-50, 2007.
- Stein H, et al. Blood. 97:496-501, 2001.
- Hertel CB, et al. Oncogene. 21:4908-4920, 2002.
- Pileri SA, et al. Am J Pathology. 162:243- 253, 2003.
- Hoefnagel JJ, et al. Modern Pathology. 19 :1270-1276, 2006.
- Greiner A, et al. Am J Pathol. 156:501-507, 2000.
- Kuroda H, et al. Breast Cancer. 14(3):317-22, 2007.
- Saez A-I, et al. Mod Pathol. 15(3):21-220, 2002.
- Loddenkemper C, et al. J Pathol. 202:60-69, 2004.
- Hoeller S, et al. Histopathology. 56, 217- 228, 2010.
- Browne P, et al. Am J Clin Pathol 120:767-777, 2003.
- Gibson SE, et al. Am J Clin Pathol. 126:916-924, 2006.

Référence Ventana en noir, référence Roche en bleu. Les produits figurant sur cette page sont à usage en diagnostic *in vitro* (IVD).

**c-KIT (CD117), PATHWAY APPROUVÉ PAR LA FDA**

(9.7)

**Référence** 790-2951 05278317001**Type** Monoclonal de lapin**Témoin** TSGI, peau, sein**Localisation** Cytoplasmique, membranaire**Quantité** 50 tests**Isotype** IgG

Membranaire — TSGI

**Description :**

L'anticorps primaire monoclonal de lapin PATHWAY c-KIT (9.7) est destiné à la détection qualitative de la protéine KIT dans les tumeurs stromales gastro-intestinales (TSGI). Il est indiqué comme une aide à la sélection des patients atteints d'une TSGI dans le cadre d'une évaluation réalisée par un pathologiste qualifié en fonction des antécédents cliniques du patient, de la morphologie de la tumeur et des autres tests diagnostiques. Il peut être utilisé, suite à un diagnostic de TSGI, en tant qu'aide à la sélection des patients atteints d'une TSGI pour lesquels un traitement par le mésylate d'imatinib (Gleevec/Glivec) serait envisageable. L'anticorps PATHWAY c-KIT (9.7) est optimisé pour une utilisation sur les automates de coloration de la série VENTANA BenchMark ainsi que pour une application manuelle en association avec le kit de détection iVIEW DAB et ses accessoires. L'interprétation clinique de toute coloration ou de l'absence de coloration, doit être appuyée par des études morphologiques et une évaluation des témoins appropriés. L'évaluation doit être réalisée par un pathologiste qualifié en fonction des antécédents cliniques du patient et des autres tests diagnostiques.

**Rôle des mutations du gène KIT dans le développement des TSGI :**

Dans leur publication de référence de 1998, le Dr Hirota et ses collègues ont non seulement établi que les TSGI exprimaient KIT, mais que des mutations du gène KIT étaient présentes dans ces tumeurs. De plus, ils ont montré que les isoformes mutantes de KIT qui en résultaient présentaient une activité kinase en l'absence du facteur Steel, le ligand naturel de KIT. Ces observations ont été confirmées par un nombre croissant de groupes et il est à présent établi que les mutations de KIT sont présentes dans > 85 % des TSGI. La majorité des mutations survient dans l'exon 11 (65-70 % des TSGI) et comprennent toute une variété de délétions, d'insertions, de mutations ponctuelles ou de combinaisons de celles-ci. Une insertion/réduplication de six paires de bases dans l'exon 9 est observée dans 15 % environ des TSGI, celles-ci étant presque exclusivement localisées dans l'intestin grêle. Des mutations surviennent également dans les exons 13 et 17, mais de façon beaucoup plus rare. Indépendamment de l'exon impliqué, les mutations du gène KIT dans les TSGI sont invariablement des mutations qui ne décalent pas le cadre de lecture et qui, lorsqu'elles sont clonées et exprimées *in vitro*, présentent une activation constitutive de la kinase. De plus, une phosphorylation de KIT est systématiquement détectable dans les extraits tumoraux de TSGI, ce qui confirme le rôle direct de KIT dans la signalisation intracellulaire.

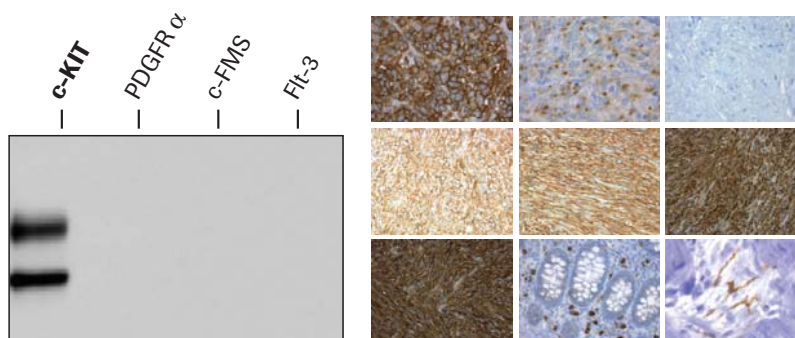
**Signification clinique :**

Les TSGI apparaissent principalement dans l'estomac (60 %) et l'intestin grêle (25 %), mais peuvent également survenir dans le rectum (5 %), l'œsophage (5 %) et divers autres endroits (5 %), dont l'appendice, la vésicule biliaire, le mésentère et l'omentum. L'âge des patients touchés varie de l'adolescence à plus de 90 ans, mais la majorité d'entre eux sont âgés, le pic de fréquence se situant autour de 60 ans. Une légère prédominance a été observée chez les hommes dans la plupart des études. Il n'existe pas de chiffres précis quant à l'incidence réelle des TSGI, mais on estime qu'environ 4 500 nouveaux cas sont diagnostiqués chaque année aux États-Unis. En 1998, le Dr Seichi Hirota (Université d'Osaka) et le Dr Lars-Gunnar Kindblom (Université de Göteborg) ont chacun observé de façon indépendante que les TSGI exprimaient le récepteur tyrosine kinase KIT (CD117). Leurs observations ont permis de fournir une indication quant aux cellules susceptibles d'être à l'origine des TSGI, c'est-à-dire les cellules interstitielles de Cajal (CIC). Ces cellules dendritiques et peu apparentes sont largement réparties dans la muscularis propria de l'œsophage, de l'estomac, de l'intestin grêle et du côlon. Elles jouent un rôle important dans la motilité intestinale en régulant les contractions induites par les ondes lentes. À l'instar des TSGI, les CIC expriment KIT et la majorité d'entre elles sont positives à CD34. L'hypothèse selon laquelle les TSGI sont pathogénétiquement liées aux CIC dans la paroi intestinale, telle que l'ont suggéré le Dr Hirota et le Dr Kindblom, est désormais largement admise. Des études ultérieures menées par un grand nombre de laboratoires distincts ont confirmé que KIT était le marqueur le plus spécifique des TSGI. La protéine KIT est immunodétectable à la surface et/ou dans le cytoplasme des cellules tumorales de TSGI dans 90 % des cas environ.

**Très sensible et spécifique :**

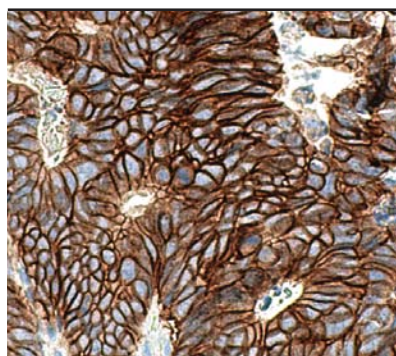
Le clone 9.7 PATHWAY c-KIT bénéficie d'une grande sensibilité et spécificité grâce à la technologie scientifiquement avancée des anticorps monoclonaux de lapin. Dirigée contre le domaine c-terminal de la protéine c-KIT, PATHWAY c-KIT reconnaît à la fois les formes sauvage et mutante de la protéine c-KIT. PATHWAY c-KIT (9.7) se lie spécifiquement à un antigène situé dans les régions membranaires et cytoplasmiques des mastocytes, des cellules interstitielles de Cajal (CIC) et des cellules de TSGI. La performance avancée de l'anticorps monoclonal de lapin PATHWAY c-KIT et la procédure standardisée de préparation des lames permettent d'aider le pathologiste à différencier clairement les résultats positifs des résultats négatifs dans ce test qualitatif. Ci-après figurent des exemples de coloration pour c-KIT réalisée à l'aide de PATHWAY c-KIT dans des tissus de TSGI et des tissus physiologiques (intestin).

Comme on le voit ci-contre, le PATHWAY c-KIT (9.7) présente la bande double caractéristique et spécifique de 140-145 kD dans les lysats de cellules GIST 822. Il ne présente pas de réaction croisée avec les lysats de récepteurs homologues à activité tyrosine kinase PDGFR alpha, c-FMS ou Flt-3.



## Références

- Blechman J, et al., J. Biol. Chem. 228(6):4399-4406, 1993.
- Corless C, et al., Am. J. of Pathol. 160:1567-1572, 2002.
- Fletcher C, et al., Human Pathol. 33:459-465, 2002.
- Heinrich MC, et al., J. Clin. Oncol. 20:1692-703, 2002.
- Heinrich M, et al., Proceedings of ASCO. 21:2a(abstract #6), 2002.
- Hirota S, et al., Int. J. Clin. Oncol. 6:1-5, 2001.
- Hirota S, et al., Science. 279:577-80, 1998.
- Hirota S, et al., Am. J. Surg. Pathol. 24:326-7, 2000.
- Isozaki K, et al., Am. J. of Pathol. 157:1581-5, 2000.
- Kindblom LG, et al., Am. J. Pathol. 152:1259-69, 1998.
- Maeyama H, et al., Gastroenterology. 120:210-5, 2001.
- Miettinen M, et al., Virchows Arch. 438:1-12, 2001.
- Nishida T, et al., Nat. Genet. 19:323-4, 1998.
- Rubin BP, et al., Int. J. Surg. Pathol. 8:5-10, 2000.
- Rubin BP, et al., Cancer Res. 61:8118-8121, 2001.
- Taniguchi M, et al., Cancer Res. 59:4297-300, 1999.
- Yarden Y, et al., EMBO Journal. 6:3341-3351, 1987.



## c-MET (Total), CONFIRM (SP44)

Référence	790-4430 <a href="#">05571219001</a>
Type	Monoclonal de lapin
Témoin	Rein, carcinome gastrique, carcinome pulmonaire non à petites cellules
Localisation	Cytoplasmique, membranaire
Quantité	50 tests

Carcinome colique

## Description

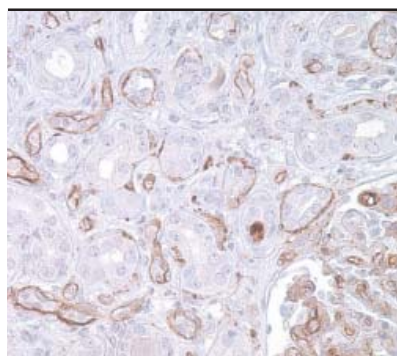
L'anticorps primaire monoclonal de lapin CONFIRM Total c-MET (SP44) est dirigé contre un épitope membranaire et/ou cytoplasmique présent dans les cellules humaines tumorales ou épithéliales saines. Cet anticorps peut être utilisé en tant qu'aide à l'identification des cellules normales et néoplasiques exprimant c-MET.

## Références

- Prat M, et al., Int J Cancer. 49(3):323-328, 1991.
- Comoglio PM, et al., Nature Reviews Drug Disc. 7(6):504-516, 2008.
- Lutterbach B, et al., Cancer Research. 67(5):2081-2088, 2007.
- Engelman JA, et al., Science. 316(5827):1039-1043, 2007.

Référence Ventana en noir, référence Roche en bleu. Les produits figurant sur cette page sont à usage en diagnostic *in vitro* (IVD).



**C3d**

(polyclonal)

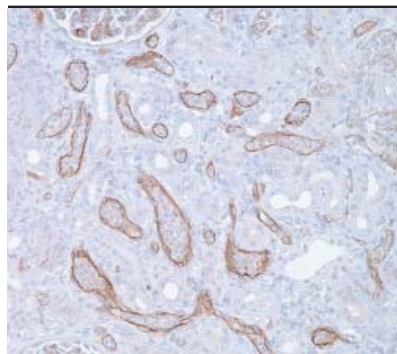
<b>Référence</b>	760-4522 06419143001
<b>Type</b>	Polyclonal de lapin
<b>Témoin</b>	Greffon rénal suite à un rejet aigu
<b>Localisation</b>	Membranaire, cytoplasmique
<b>Quantité</b>	50 tests
<b>Isotype</b>	IgG

**Description**

Le composant du complément C3 joue un rôle central dans l'activation du système du complément. Son activation est requise tant pour la voie d'activation classique que pour la voie d'activation alternative du complément. Un dépôt de C3d dans les capillaires péritubulaires (CPT) du greffon rénal est caractéristique d'un RA (rejet aigu) avec une probabilité élevée de perte ultérieure du greffon. L'anticorps C3d, associé à l'anticorps C4d, peut être utilisé en tant qu'outil pour le diagnostic du RA et la justification d'un traitement anti-rejet rapide et agressif.

**Références**

- |  |   |
|--|---|
| 1. Bickerstaff A, et. al., Am J Pathol, 173:347-357, 2008. | 3. Eggertsen G, et. al, APMIS, 109:825-834, 2001.       |
| 2. Kuypers DR, et. al., Transplantation, 76:102-108, 2003. | 4. Pfaltz K, et. al., J Cutan Pathol. 37:654-658, 2010. |

**C4d**

(polyclonal)

<b>Référence</b>	760-4436 05973937001
<b>Type</b>	Polyclonal de lapin
<b>Témoin</b>	Ganglion lymphatique, amygdale, rein (greffon rejeté)
<b>Localisation</b>	Membranaire, cytoplasmique
<b>Quantité</b>	50 tests
<b>Isotype</b>	IgG

Rein, rejet aigu

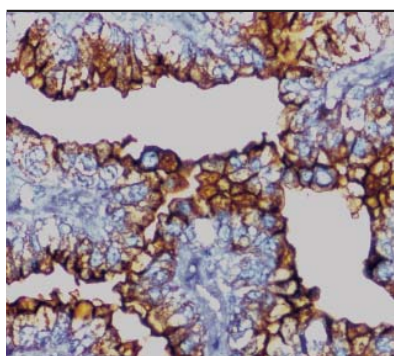
**Description**

C4d est un fragment stable de clivage résultant de l'activation classique du complément, qui se lie de façon covalente à l'endothélium et à la membrane basale après l'activation de la voie classique par des anticorps. En tant que marqueur établi de rejet aigu d'allogreffe rénale médié par les anticorps et avec sa propension à se lier à l'endothélium, ce composant peut être détecté dans les capillaires péritubulaires aussi bien dans le rejet chronique d'allogreffe rénale que dans le rejet hyperaigu, le rejet vasculaire aigu, le rejet cellulaire aigu et le cas-limite de rejet. Il s'est avéré être un facteur prédictif significatif de la survie du greffon rénal et constitue, par conséquent, une aide au traitement du rejet aigu.

**Références**

- |  |  |
|--|--|
| 1. Jianghua C, et al., Clin Transplant. 19(6):785-91, 2005.        | 5. Seemayer CA, et al., Nephrol Dial Transplant. 22(2):568-76, 2007. |
| 2. Kayler LK, et al., Transplantation. 85(6):813-20, 2008.         | 6. Bouron-Dal Soglio D, et al., Hum Pathol. 39(7):1103-10, 2008.     |
| 3. Ranjan P, et al., Nephrol Dial Transplant. 23(5):1735-41, 2008. |  |
| 4. Nadasdy GM, et al., Hum Pathol. 36(11):1178-85, 2005.           |  |



**CA 19-9****(121SLE)**

<b>Référence</b>	760-2609 <a href="#">05267242001</a>
<b>Type</b>	Monoclonal de souris
<b>Témoin</b>	Côlon, glande salivaire
<b>Localisation</b>	Cytoplasmique
<b>Quantité</b>	50 tests
<b>Isotype</b>	IgM

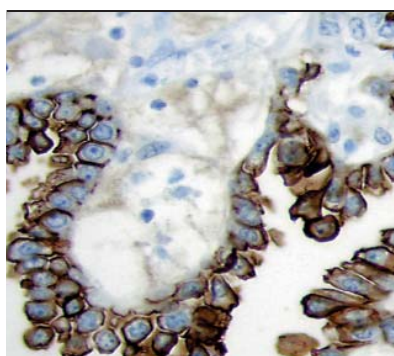
Carcinome gastro-intestinal malin

**Description**

L'antigène CA 19-9 est fortement exprimé dans les adénocarcinomes gastro-intestinaux (gastriques, pancréatiques et coliques) et les carcinomes muco-épidermoïdes des glandes salivaires. En général, l'anticorps primaire monoclonal de souris CA 19-9 (121SLE) ne réagit pas avec les carcinomes mammaires, rénaux et prostatiques.

**Références**

1. Gatalica Z, et al., Applied IHC. 2(3):205-211, 1994.
2. Encabo G, et al., Bulletin Cancer (Paris). 73:256-9, 1986.
3. Basso D, et al., Med Sci Res. 17:13-4, 1989.
4. Tabuchi Y, et al., Cancer. 66:1529-33, 1990.

**CA 125****(OC125)**

<b>Référence</b>	760-2610 <a href="#">05267269001</a>
<b>Type</b>	Monoclonal de souris
<b>Témoin</b>	Carcinome ovarien
<b>Localisation</b>	Cytoplasmique, membranaire
<b>Quantité</b>	50 tests
<b>Isotype</b>	IgG <sub>1</sub> /K

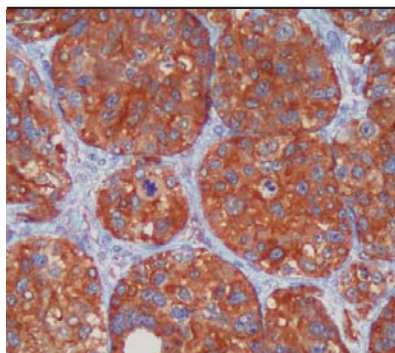
Adénocarcinome séreux de l'ovaire

**Description**

CA-125 réagit avec les cellules malignes de l'épithélium ovarien. L'antigène est résistant au formol, ce qui permet la détection du cancer de l'ovaire par immunohistochimie, bien que ce type de cancer soit généralement surveillé par dosage sérique de cette protéine. CA-125 réagit également avec les antigènes du carcinome des vésicules séminales et du lymphome anaplasique.

**Références**

1. Dabawat S, et al., Int J Gyn Path. 2:275-285, 1983.
2. Davis H, et al., Cancer Res. 46:6143-6148, 1986.
3. Nouwen E, et al., Cancer Res. 46:866-876, 1986.
4. Quirk J, et al., J Obst Gyn. 159:644-649, 1988.
5. Fukazawa I, et al., Gynecol Obstet. 243:41-50, 1988.



### Calcitonine (polyclonal)

<b>Référence</b>	760-2611 <a href="#">05267277001</a>
<b>Type</b>	Polyclonal de lapin
<b>Témoin</b>	Carcinome médullaire de la thyroïde
<b>Localisation</b>	Cytoplasmique
<b>Quantité</b>	50 tests

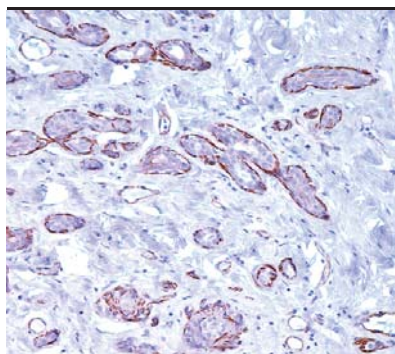
Carcinome médullaire de la thyroïde

#### Description

La coloration immunohistochimique avec l'anticorps primaire polyclonal de lapin calcitonine s'est avérée être une méthode efficace pour mettre en évidence les cellules sécrétrices de calcitonine dans la thyroïde. L'hyperplasie des cellules C et les carcinomes médullaires de la thyroïde présentent une coloration positive à la calcitonine. Des études portant sur la calcitonine ont permis d'identifier un large spectre d'anomalies dans la prolifération des cellules C.

#### Références

1. Copp DH, et al., Endocrinology. 70:638-649, 1962.
2. Kameda Y, et al., Cell Tissue Res. 206:403-415, 1980.
3. Coombes RC, et al., Lancet. 1:1080-1083, 1974.
4. Dayal Y, et al., Cancer. 43:1331-1338, 1979.
5. DeLellis RA, et al., Am J Clin Pathol. 7(4):587-294, 1978.



### Caldesmone (E89)

<b>Référence</b>	760-4375 <a href="#">05463459001</a>
<b>Type</b>	Monoclonal de lapin
<b>Témoin</b>	Muscle lisse intestinal, œsophagien, utérin
<b>Localisation</b>	Cytoplasmique
<b>Quantité</b>	50 tests
<b>Isotype</b>	IgG

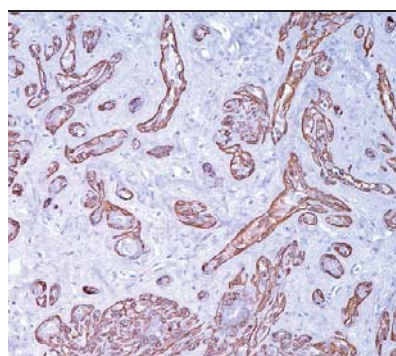
Sein, adénose sclérosante

#### Description

La caldesmone est une protéine régulatrice, présente dans le muscle lisse ainsi que dans d'autres tissus, qui interagit avec l'actine, la myosine, la tropomyosine et la calmoduline. L'anticorps primaire monoclonal de lapin caldesmone (E89) permet de marquer le muscle lisse ainsi que les tumeurs du muscle lisse, à différenciation myofibroblastique et myoépithéliale. L'anticorps caldesmone a également été utilisé pour différencier le mésothéliome épithélioïde du carcinome papillaire séreux de l'ovaire.

#### Références

1. Comin CE, et al., Am J Surg Pathol. 31(8): 1139-48, 2007.
2. Watanabe K, et al., Hum Pathol. 30(4): 392-6, 1999.
3. McCluggage WC, Adv Anat Pathol. 11(3): 162-71, 2004.
4. Miettinen M, et al., Arch Pathol Lab Med. 130(10): 1466-78, 2006.
5. Comin CE, et al., Am J Surg Pathol. 30(4): 463-9, 2006.



### Calponine-1

(EP798Y)

Référence	760-4376 05435684001
Type	Monoclonal de lapin
Témoin	Muscle lisse intestinal, œsophagien, utérin
Localisation	Cytoplasmique
Quantité	50 tests
Isotype	IgG

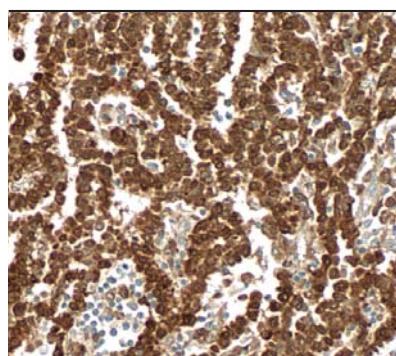
Sein, adénose sclérosante

#### Description

La calponine est un polypeptide de 34 kD qui interagit avec l'actine, la tropomyosine et la calmoduline. Elle est impliquée dans le mécanisme de contraction des muscles lisses et se trouve uniquement dans le tissu musculaire lisse. L'anticorps primaire monoclonal de lapin calponine-1 (EP798Y) s'est avéré utile pour différencier les lésions sclérosantes mammaires bénignes du carcinome. Des résultats positifs à la calponine ont également été observés dans le myoépithéliome malin et l'adénome pléomorphe des glandes salivaires, ainsi que dans l'histiocytome fibreux malin angiomatoïde.

#### Références

- Wang NP, et al., Appl Immunohistochem. 5(3):141-151, 1997.
- Nagao T, et al., Cancer. 83(7):1292-9m, 1998.
- Savara AT, et al., Mod Pathol. 10(11):1093-1100, 1997.
- Fanburg-Smith JC, et al., Hum Pathol. 30(11):1336-43, 1999.
- Hornick JL, et al., Am J Surg Pathol. 27(9): 1183-96, 2003.
- Werling RW, et al., Am J Surg Pathol. 27(1): 82-90, 2003.



### Calrétinine, CONFIRM

(SP65)

Référence	790-4467 05992184001
Type	Monoclonal de lapin
Témoin	Mésothéliome, appendice sain
Localisation	Cytoplasmique, nucléaire
Quantité	50 tests

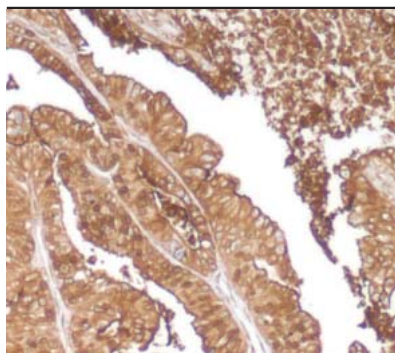
Plevre, mésothéliome malin

#### Description

L'anticorps primaire monoclonal de lapin CONFIRM calrétinine (SP65) est dirigé contre la calrétinine, une protéine liant le calcium qui est exprimée par le mésothélium normal et réactionnel, les glandes eccrines de la peau, les cellules de Sertoli des testicules, les cellules stromales ovariennes et les cellules corticosurrénales. Cet anticorps présente une coloration nucléaire et cytoplasmique et peut être utilisé pour faciliter l'identification du mésothéliome ainsi que la distinction entre le mésothéliome et l'adénocarcinome.

#### Références

- Kuznicki J, et al., Biochem J. 308(Pt 2):607-612, 1995.
- Andressen C, et al., Cell Tissue Res. 271:181-208, 1993.
- Rogers JH, J Cell Biol. 105(3):1343-53, 1987.
- Lugli A, et al., Hum Pathol. 34(10):994-1000, 2003.
- Cao QJ, et al., Int J Gynecol Pathol. 20:346-52, 2001.
- Oates J, et al., Histopathology. 36(4):341-7, 2000.
- Dogliani C, et al., Am J Surg Pathol. 20:1037-46, 1996.
- Nagel H, et al., Pathol Res Pract. 194:759-64, 1998.
- Ordenez NG, Mod Pathol. 11:929-33, 1998.
- Leers MP, et al., Histopathology. 32:209-16, 1998.
- McCluggage WG, et al., Histopathology. 38(5):403-8, 2001.
- Nogales FF, et al., Int J Gynecol Pathol. 21(1):34-40, 2002.
- Cappello F, et al., Pathology. 33(2):142-8, 2001.
- Attanoos RL, et al., Histopathology. 37(3):224-31, 2000.
- Gotz V, et al., Am J Surg Pathol. 23:701-11, 1999.



### Antigène carcinoembryonnaire (CEA) (CEA31)

<b>Référence</b>	760-4594 <a href="#">06433316001</a>
<b>Type</b>	Monoclonal de souris
<b>Témoin</b>	Adénocarcinome colique, muqueuse colique
<b>Localisation</b>	Cytoplasmique
<b>Quantité</b>	50 tests
<b>Isotype</b>	IgG <sub>1</sub>

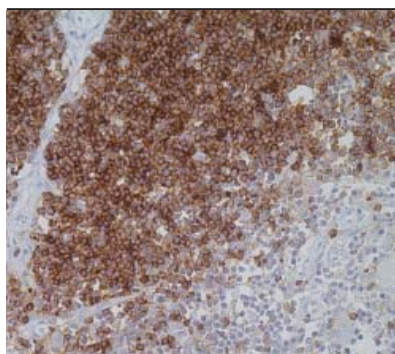
Carcinome colorectal

#### Description

L'anticorps primaire monoclonal de souris CEA (CEA31) est utilisé en tant qu'aide pour l'identification et le diagnostic des adénocarcinomes dans le cadre d'une évaluation réalisée par un pathologiste qualifié en fonction de la batterie d'anticorps, des antécédents cliniques du patient et des autres tests diagnostiques.

#### Références

- Go, VLW et al. Cancer. 37:562-566, 1976.
- Delellis, RA et al. Am J Clin Pathol 50:587-594, 1978.
- Kamino, H et al. Cancer. 61:1142-1148, 1988.
- Tron, V et al. Arch Pathol Lab Med. 111:291-293, 1987.
- Abutailly, AS et al. J Clin Pathol. 55(9):662-8, 2002.
- Bhatnagar, J et al. Anticancer Res. 22(3):1849-57, 2002.
- Carella, R et al. Am J Surg Pathol. 25(1):43-50, 2001.
- Lagandijk, JH et al. J Clin Pathol. 52(4):283-90, 1999.



### CD1a (EP3622)

<b>Référence</b>	760-4525 <a href="#">06419160001</a>
<b>Type</b>	Monoclonal de lapin
<b>Témoin</b>	Thymus
<b>Localisation</b>	Membranaire
<b>Quantité</b>	50 tests
<b>Isotype</b>	IgG <sub>1</sub>

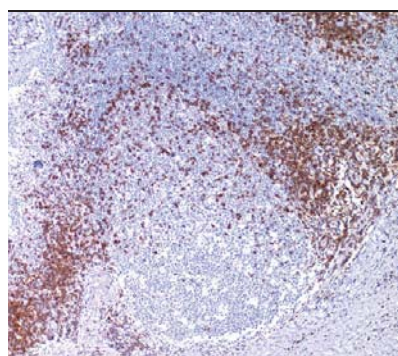
#### Description

Il a été démontré que CD1a, une protéine de 43 à 49 kD, était exprimée sur les cellules dendritiques et les thymocytes corticaux. Les cellules de Langerhans de la peau et certains épithéliums expriment également cette protéine. Cet antigène est exprimé sur les cellules constituant l'histiocytose à cellules de Langerhans et le sarcome à cellules de Langerhans. L'anticorps primaire monoclonal de lapin CD1a (EP3622) est utilisé pour différencier divers types de lymphomes cutanés (à lymphocytes T) des lymphomes B et des pseudo-lymphomes.

#### Références

- Angel CE, et al., Blood. 113:1257-67, 2009.
- Emile JF, et. al., Am J Surg Pathol. 19:636-641, 1995.
- Stefano AP, et. al., Br J Haematol. 105:394-41, 1999.
- Han X, et. al., Am J Clin Pathol, 127:578-544, 2007.
- Pomplun S, et. al., Histopathol, 40:152-158, 2002.
- Alexiev BA, et. al., Diagnostic Pathology, 2:13, 2007.
- Adachi Y, et. al., Pathol Intl., 58 :169-173, 2008.



**CD2**

(MRQ-11)

<b>Référence</b>	760-4377 05463467001
<b>Type</b>	Monoclonal de souris
<b>Témoin</b>	Amygdale, ganglion lymphatique
<b>Localisation</b>	Cytoplasmique, membranaire
<b>Quantité</b>	50 tests
<b>Isotype</b>	IgG <sub>1</sub> /K

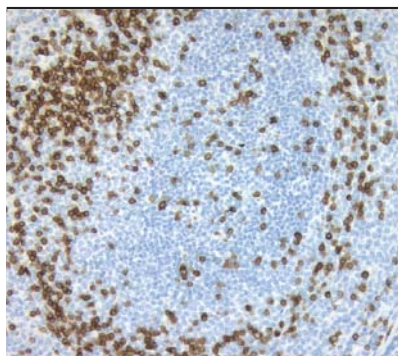
Amygdale

**Description**

CD2 est l'un des premiers antigènes spécifiques de la lignée T à apparaître au cours de la différenciation des lymphocytes T et seule une très faible quantité de lymphocytes CD2+ peut être observée dans la moelle osseuse. Il est présent dans tous les lymphocytes T et lymphocytes NK mais pas dans les lymphocytes B ni dans aucune de toutes les autres populations de cellules. CD2 peut être considéré comme un antigène pan-T et constitue, par conséquent, un outil utile pour l'identification de presque tous les lymphocytes T normaux. Il est également très utile pour l'évaluation des tumeurs malignes lymphoïdes dans la mesure où il est exprimé dans la majorité des lymphomes et leucémies développés à partir de précurseurs ou de lymphocytes post-thymiques, mais pas dans les néoplasmes à lymphocytes B (Foon & Todd, 1986). À l'instar d'autres antigènes pan-T, CD2 peut être détruit de façon aberrante dans certaines populations de lymphocytes T néoplasiques, en particulier dans les lymphomes T périphériques. De rares cas de néoplasme à lymphocytes B porteurs d'immunoglobulines de surface capables de former spontanément des rosettes E ont été décrits, mais ces réactions ne sont pas médiées par le récepteur CD2 (Knowles, 1989).

**Références**

1. Aguilera NS, et al., Arch Pathol Lab Med. 130(12):1772-9, 2006.
2. Barrionuevo C, et al., Appl Immunohistochem Mol Morphol. 15(1):38-44, 2007.
3. Bovenschen HJ, et al., Br J Dermatol. 153(1):72-8, 2005.
4. Foon KA, et al., Blood. 68:1-31, 1986.
5. Gonzalez L, et al., Journal of Comparative Pathology. 125:41-7, 2001.

**CD3, CONFIRM**

(2GV6)

<b>Référence</b>	790-4341 05278422001
<b>Type</b>	Monoclonal de lapin
<b>Témoin</b>	Amygdale, rate
<b>Localisation</b>	Cytoplasmique, membranaire
<b>Quantité</b>	50 tests

Amygdale

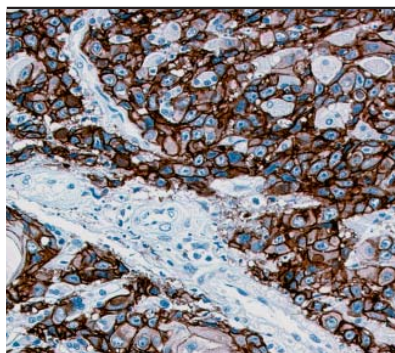
**Description**

L'anticorps primaire monoclonal de lapin CONFIRM CD3 (2GV6) est dirigé contre la chaîne epsilon non glycosylée de la molécule CD3 humaine. CD3 est exprimé dans la membrane et le cytoplasme des lymphocytes T normaux et néoplasiques. L'antigène CD3 est d'abord détectable dans les thymocytes précoces et son apparition représente probablement l'un des premiers signes d'engagement dans la lignée T. Cet anticorps permet de détecter à la fois les lymphocytes T normaux et néoplasiques.

**Références**

1. Chetty R, et al., J Pathol. 173(4): 303-307, 1994.
2. Clark EA, et al., Immunology Today. 10(7): 225-28, 1989.
3. Clevers H, et al., Eur J Immunol. 18(5): 705-710, 1988.
4. Clevers H, et al., Ann Rev of Immunology. 6: 629-662, 1988.
5. Campana D, et al., J Immunol. 138(2): 648-655, 1987.
6. Dennings SM, et al., Oxford University Press, Oxford-New York-Tokyo, 1987: 144-147.
7. Beverley PC, et al., Eur J Immunol. 11(4): 329-334, 1981.
8. Meuer SC, et al., Nature. 303(5920): 808-810, 1983.
9. Mason DY, et al., J Clin Pathol. 42:1194-1200, 1989.



**CD4, CONFIRM**

(SP35)

<b>Référence</b>	790-4423 <a href="#">05552737001</a>
<b>Type</b>	<b>Monoclonal de lapin</b>
<b>Témoin</b>	Amygdale, foie
<b>Localisation</b>	Membranaire
<b>Quantité</b>	50 tests

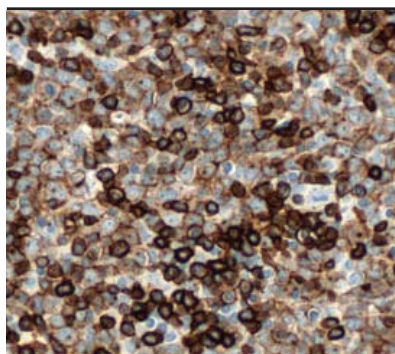
Lymphome

**Description**

L'anticorps primaire monoclonal de lapin CONFIRM CD4 (SP35) est destiné à la détection qualitative de CD4 dans des coupes de tissus humains sains et néoplasiques. CD4 est présent sur les lymphocytes T auxiliaires-inducteurs qui reconnaissent l'antigène présenté par les molécules du CMH de classe II. Les résultats de coloration positifs à CD4 peuvent faciliter l'identification des lymphomes T et de la sous-population de lymphocytes T dits lymphocytes T auxiliaires-inducteurs dans les tissus sains.

**Références**

1. Reinherz EL, et al. Proc. Natl. Acad. Sci. USA. 76(8):4061-5, 1979.
2. Brady RL, et al. Curr. Topics Microbiol. Immunol. 205:1-18, 1996.
3. Doyle C, et al. Nature. 330(6145):256-9, 1987.
4. Dalgleish AG, et al., Nature. 312(5996):763-7, 1984.
5. Garcia-Herrera A, et al., J Clin Oncol. 26(20):3364-71, 2008.
6. Maddon PJ, et al., Cell. 42(1):93-104, 1985.

**CD5, CONFIRM**

(SP19)

<b>Référence</b>	790-4451 <a href="#">05929903001</a>
<b>Type</b>	<b>Monoclonal de lapin</b>
<b>Témoin</b>	Amygdale, lymphome
<b>Localisation</b>	Cytoplasmique, membrane cellulaire
<b>Quantité</b>	50 tests

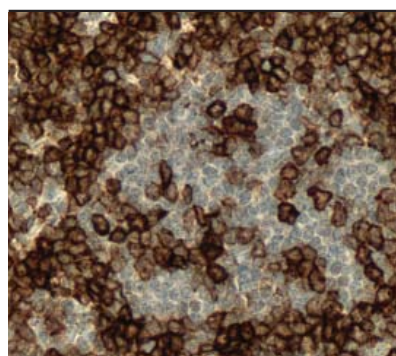
Lymphome

**Description**

L'anticorps primaire monoclonal de lapin CONFIRM CD5 (SP19) est dirigé contre le CD5 humain, exprimé sur la membrane plasmique de presque tous les lymphocytes T humains et de la sous-population B1a des lymphocytes B humains présents dans les zones du manteau folliculaire, la moelle osseuse et le sang périphérique. La coloration de CD5 est couramment utilisée dans le cadre de plusieurs tests immunohistochimiques pour permettre la sous-classification des lymphocytes T et B. L'anticorps CD5 peut être utilisé pour faciliter l'identification des lymphomes T et de certains lymphomes B, y compris le lymphome à cellules du manteau.

**Références**

1. Dalloul A, Autoimmun. 8:349-353, 2009.
2. Dono M, et al., Int J Biochem Cell Biol. 36:2105-2111, 2004.
3. De Leon ED, et al., Mod Pathol. 11:1046-1051, 1998.
4. Cabezudo E, et al., Hematologica. 84:413-418, 1999.
5. Matolcsy A, et al., Am J Pathol. 147:207-216, 1995.
6. Suguro M, et al., Cancer Sci. 97:868-874, 2006.

**CD7****(SP94)**

<b>Référence</b>	790-4558 <a href="#">06537847001</a>
<b>Type</b>	<b>Monoclonal de lapin</b>
<b>Témoin</b>	Amygdale, thymus
<b>Localisation</b>	Membranaire
<b>Quantité</b>	50 tests
<b>Isotype</b>	Ig de lapin

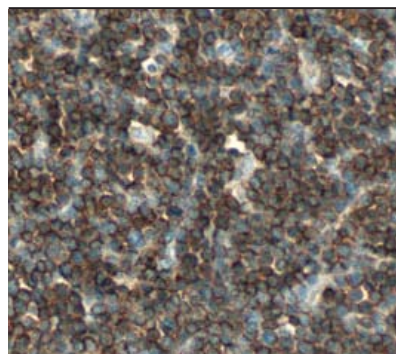
Lymphome T

**Description**

L'anticorps primaire monoclonal de lapin CD7 (SP94) est dirigé contre CD7, une glycoprotéine transmembranaire de 40 kD présente dans les thymocytes et les lymphocytes T matures. L'anticorps CD7 (SP94) peut être utilisé pour faciliter l'identification des lymphomes T.

**Références**

1. Sempowski GD, et al. Crit Rev Immunol. 19:331-348, 1999.
2. Cotta AC, et al. Appl Immunohistochem Molec Morphol. 14: 291-295, 2006.
3. Al Saati T, et al. Appl Immunohistochem Molec Morphol. 9: 289-296, 2001.
4. Ormsby A, et al. J Am Acad Dermatol. 45:405-413, 2001.
5. Inaba T, et al. Leuk Lymphoma. 42:1161-1171, 2001.

**CD8, CONFIRM****(SP57)**

<b>Référence</b>	790-4460 <a href="#">05937248001</a>
<b>Type</b>	<b>Monoclonal de lapin</b>
<b>Témoin</b>	Amygdale, lymphome T
<b>Localisation</b>	Membrane cellulaire
<b>Quantité</b>	50 tests

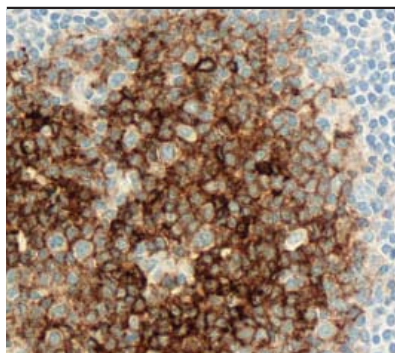
Lymphome T

**Description**

L'anticorps primaire monoclonal de lapin CONFIRM CD8 (SP57) est destiné à la détection qualitative de CD8 dans des coupes de tissus humains sains et néoplasiques. La glycoprotéine CD8 est présente sur les lymphocytes T cytotoxiques/suppresseurs qui reconnaissent l'antigène présenté par les molécules du CMH de classe I. Les résultats de coloration positifs à CD8 peuvent faciliter l'identification des lymphomes T et de la sous-population de lymphocytes T dits lymphocytes T cytotoxiques/suppresseurs dans les tissus sains.

**Références**

1. Reinherz EL, et al., Immunol Today. 4:5-8, 1983.
2. Reinherz EL, et al., Nature. 294:168-170, 1981.
3. Perussia B, et al., J Immunol. 131:223-231, 1983.
4. Bierer BE, et al., Ann Rev Immunol. 7:579-599, 1989.

**CD10**

(SP67)

<b>Référence</b>	790-4506 <a href="#">05857856001</a>
<b>Type</b>	Monoclonal de lapin
<b>Témoin</b>	Amygdale
<b>Localisation</b>	Membranaire, cytoplasmique
<b>Quantité</b>	50 tests
<b>Isotype</b>	Ig de lapin

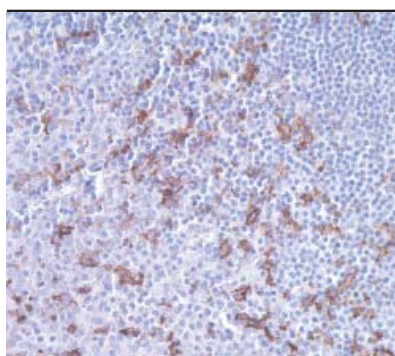
Lymphome

**Description**

L'anticorps primaire monoclonal de lapin CD10 (SP67) est dirigé contre la molécule CD10 ou CALLA (common acute lymphoblastic leukaemia antigen), exprimée à la surface des cellules lymphoïdes précoces et sur divers tissus non lymphoïdes dont les cellules myoépithéliales mammaires, les canalicules biliaires, les fibroblastes, les bordures en brosse des tubules rénaux et l'épithélium de l'intestin grêle. Cet anticorps présente une coloration membranaire et/ou cytoplasmique et peut être utilisé pour faciliter l'identification du lymphome de Burkitt et du lymphome folliculaire, ainsi que la classification de certains carcinomes tels que le carcinome à cellules rénales.

**Références**

1. Gregory CD, et al. Apoptosis. 4:11-20, 1999.
2. Shipp MA, et al. Proc Natl Acad Sci USA. 85:4819-4823, 1988.
3. Kaufmann O, et al. Am J Clin Pathol. 111:117-122, 1999.
4. Shipp MA, et al. Proc Natl Acad Sci USA. 86:297-301, 1989.
5. Arber DA, et al. Appl Immunohistochem. 5:125-140, 1997.
6. Chu P, et al. Appl Immunohistochem & Molec Morphol. 8:257-262, 2000.
7. Avery A, et al. Am J Surg Pathol. 24:203-210, 2000.

**CD14**

(EPR3653)

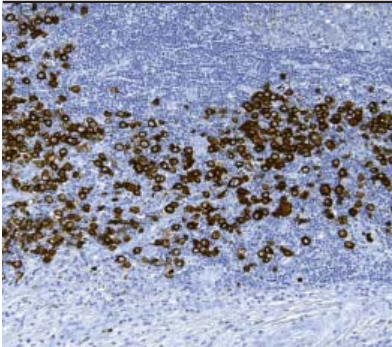
<b>Référence</b>	760-4523 <a href="#">06419151001</a>
<b>Type</b>	Monoclonal de lapin
<b>Témoin</b>	Amygdale
<b>Localisation</b>	Membranaire, cytoplasmique
<b>Quantité</b>	50 tests
<b>Isotype</b>	IgG

**Description**

CD14 est une protéine de surface principalement exprimée sur les monocytes/macrophages. Elle se lie à la protéine liant le lipopolysaccharide et il a été démontré récemment qu'elle se liait aux cellules apoptotiques. L'anticorps CD14 permet de marquer les cellules de Küpffer présentes dans les sinusoides hépatiques. Dans les tissus lymphoïdes, il permet de colorer distinctement les cellules dendritiques. La plupart des autres tissus sains sont négatifs. Cet anticorps permet de marquer les monocytes-macrophages et les cellules de Langerhans dans l'histiocytose à cellules de Langerhans. Les cellules tumorales sont positives à CD14 dans la leucémie monocyttaire et les lymphomes histiocytaires vrais. Les histiocytes sinusoidaux expriment CD14 et CD169, tandis que ces marqueurs sont absents dans la plupart des autres cellules dérivées de monocytes présentes dans les ganglions lymphatiques réactionnels. L'anticorps CD14 permet de marquer de nombreux lymphomes diffus à grandes cellules B ainsi que le lymphome splénique de la zone marginale, mais pas les autres lymphomes B.

**Références**

1. Gregory CD, et al., Apoptosis. 4:11-20, 1999.
2. Larregina AT, et al., Nature Immunol. 2:1151-1158, 2001.
3. Ziegler-Heitbrock HW, et al., Immunol Today. 14:121-125, 1993.
4. Steiniger B, et al., Immunology. 92:307-316, 1997.
5. Buckley PJ, et al., Am J Pathol. 128:505-520, 1987.
6. Hartnell A, et al., Blood. 97:288-296, 2001.
7. Marmey B, et al., Hum Pathol. 37:68-77, 2006.
8. Hsiao CH, et al., J Formos Med Assoc. 105:701-707, 2006.
9. Qubaja M, et al., Vichows Arch. 454:411-419, 2009.

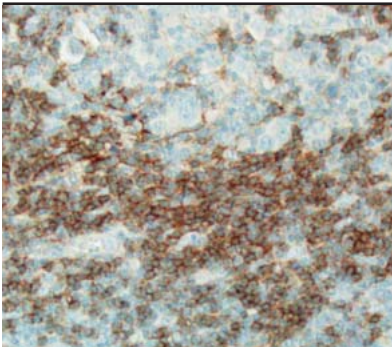
	<b>CD15, CONFIRM</b> (MMA)
	<b>Référence</b> 760-2504 <a href="#">05266904001</a>
	<b>Type</b> Monoclonal de souris
	<b>Témoin</b> Lymphome de Hodgkin
	<b>Localisation</b> Cytoplasmique, membranaire
	<b>Quantité</b> 50 tests
	<b>Isotype</b> IgM
Lymphome de Hodgkin, cellules de Reed-Sternberg	

**Description**

Les anticorps dirigés contre CD15 produisent normalement une forte coloration dans la membrane de surface des granulocytes et de leurs précurseurs, des monocytes, d'une sous-population de macrophages tissulaires et des lymphocytes T activés. L'anticorps primaire monoclonal de souris CONFIRM CD15 (MMA) réagit également avec les cellules de Reed-Sternberg de la maladie de Hodgkin et, en raison de sa capacité à reconnaître un antigène carbohydraté, avec différents types de carcinomes. En revanche, il ne réagit pas avec les mésothéliomes malins. Les anticorps dirigés contre CD15 sont utilisés dans un cadre diagnostique pour (1) appuyer un diagnostic de leucémie aiguë myéloïde, (2) aider au diagnostic de la maladie de Hodgkin et (3) aider à distinguer les adénocarcinomes faiblement différenciés des mésothéliomes malins.

**Références**

1. Pinkus GS, et al., Am J Pathol. 119:244-252, 1985.

	<b>CD19</b> (SP110)
	<b>Référence</b> 790-4587 <a href="#">06434681001</a>
	<b>Type</b> Monoclonal de lapin
	<b>Témoin</b> Amygdale, ganglion lymphatique
	<b>Localisation</b> Membranaire
	<b>Quantité</b> 50 tests
	Leucémie lymphocytaire aiguë B

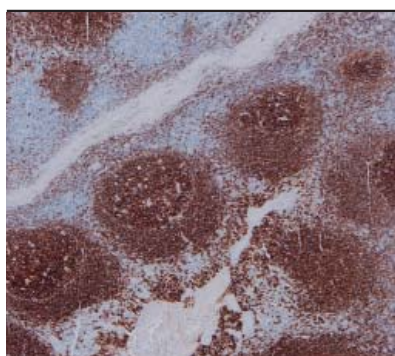
**Description**

L'anticorps primaire monoclonal de lapin CD19 (SP110) est dirigé contre la protéine CD19. Cet anticorps peut être utilisé pour détecter la protéine CD19 standard et ses variantes dans la grande majorité des lymphomes B dont le lymphome folliculaire, le lymphome diffus à grandes cellules B et le lymphome de Burkitt.

**Références**

- |   |   |
|---|---|
| 1. Mehra R, et al. Mod Path. 20:538-544, 2007.        | 5. Masir N, et al. Histopath. 2006;48:239-246.    |
| 2. Tedder T, et al. Immunol Today. 15:437-442, 1994.  | 6. Kraj M, et al. Leuk Res. 35:169-176, 2011.     |
| 3. Scheuermann R, et al. Leuk Lym. 18:385-397, 1995.  | 7. Hultin LE, et al. Cytometry. 14:196-204, 1993. |
| 4. Ginaldi L, et al. J Clin Pathol. 51:364-369, 1998. | 8. Foss H, et al. Blood. 94:3108-31013, 1999.     |



**CD20, CONFIRM**

(L26)

<b>Référence</b>	760-2531 <a href="#">05267099001</a>
<b>Type</b>	Monoclonal de souris
<b>Témoin</b>	Amygdale, ganglion lymphatique
<b>Localisation</b>	Membranaire
<b>Quantité</b>	50 tests
<b>Isotype</b>	IgG <sub>2a</sub> /K

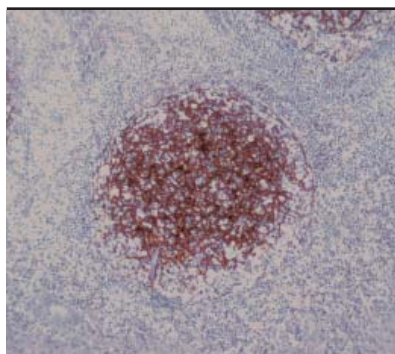
Amygdale

**Description**

L'anticorps primaire monoclonal de souris CONFIRM CD20 (L26) se lie spécifiquement aux antigènes situés dans la membrane plasmique et les régions cytoplasmiques des lymphocytes B normaux et pouvant également être exprimés dans les cellules de Reed-Sternberg. CD20 est une phosphoprotéine qui se trouve à la surface des lymphocytes B normaux et malins et qui agirait comme un récepteur lors de l'activation et de la différenciation des lymphocytes B. Les plasmocytes sont négatifs à CD20. L'anticorps CD20 (L26) peut être utilisé pour détecter les lymphocytes B du sang périphérique, des ganglions lymphatiques, de la rate, de l'amygdale et de la moelle osseuse. Il est également utilisé pour la classification d'une majorité de tumeurs malignes à lymphocytes B, dont beaucoup de leucémies aiguës et de leucémies lymphocytaires chroniques.

**Références**

1. Coles FB, et al., Mod Pathol. 1(4): 274-278, 1988.

**CD21**

(2G9)

<b>Référence</b>	760-4245 <a href="#">05269059001</a>
<b>Type</b>	Monoclonal de souris
<b>Témoin</b>	Amygdale, ganglion lymphatique
<b>Localisation</b>	Membranaire
<b>Quantité</b>	50 tests
<b>Isotype</b>	IgG <sub>2a</sub>

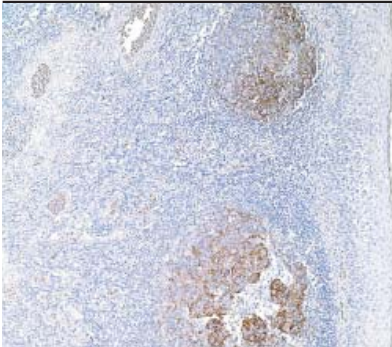
Amygdale, centre germinal

**Description**

L'antigène CD21 est une glycoprotéine membranaire intégrale ayant un poids moléculaire de 145 kD. L'anticorps primaire monoclonal de souris CD21 (2G9) est utile pour l'identification de la matrice de cellules dendritiques folliculaires présente dans le tissu amygdalien et les ganglions lymphatiques normaux. Cet anticorps permet également de marquer les tumeurs/sarcomes à cellules dendritiques folliculaires. L'antigène n'est pas présent sur les lymphocytes T, les monocytes et les granulocytes.

**Références**

- |  |   |
|--|---|
| 1. Dillon KM, et al., J Clin Pathol. 55(10):791-4, 2002.         | 5. Biddle DA, et al., Modern Pathology. 15:50-58, 2002.   |
| 2. Pileri SA, et al., Histopathology. 41:1-29, 2002.             | 6. Cheuk W, et al., Am J Surg Pathol. 25(6):721-31, 2001. |
| 3. Kunihiro M, et al., J Histochem Cytochem. 50:1475-1485, 2002. | 7. Chang KC, et al., J Pathol. 201(3):404-12, 2003.       |
| 4. Herrmann LM, et al., Am J Pathol. 162:1075-1081, 2003.        | 8. Chan AC, et al., Histopathol. 38(6):510-8, 2001.       |

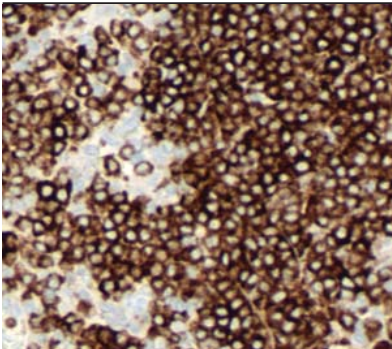
	<b>CD21</b> (EP3093)
	<b>Référence</b> 760-4438 <a href="#">05973902001</a>
	<b>Type</b> Monoclonal de lapin
	<b>Témoin</b> Ganglion lymphatique, amygdale
	<b>Localisation</b> Cytoplasmique, membranaire
	<b>Quantité</b> 50 tests
	<b>Isotype</b> IgG <sub>1</sub>
Hypertrophie amygdalienne	

#### Description

L'antigène CD21 est une glycoprotéine membranaire intégrale ayant un poids moléculaire de 140 kD. L'anticorps primaire monoclonal de lapin CD21 (EP3093) est utile pour l'identification de la matrice de cellules dendritiques folliculaires présente dans le tissu amygdalien et les ganglions lymphatiques normaux. Cet anticorps permet également de marquer les tumeurs/sarcomes à cellules dendritiques folliculaires. L'antigène n'est pas présent sur les lymphocytes T, les monocytes et les granulocytes.

#### Références

1. Dillon KM, et al. J Clin Pathol. 55(10):791-4, 2002.
2. Pileri SA, et al. Histopathology. 41(1):1-29, 2002.
3. Maeda K, et al. J Histochem Cytochem. 50(11):1475-1485, 2002.
4. Herrmann LM, et al. Am J Pathol. 162(4):1075-1081, 2003.
5. Biddle DA, et al. Modern Pathology. 15(1):50-58, 2002. Erratum dans : Mod Pathol. 15(4):475, 2002.

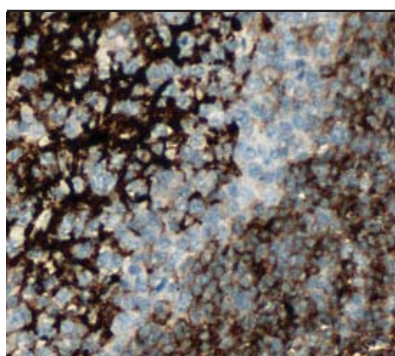
	<b>CD22</b> (SP104)
	<b>Référence</b> 790-4588 <a href="#">0639117001</a>
	<b>Type</b> Monoclonal de lapin
	<b>Témoin</b> Amygdale, lymphome
	<b>Localisation</b> Membranaire, cytoplasmique
	<b>Quantité</b> 50 tests
Amygdale	

#### Description

L'anticorps primaire monoclonal de lapin CD22 (SP104) est dirigé contre CD22, une glycoprotéine membranaire intégrale de type 1. L'anticorps CD22 (SP104) présente une coloration membranaire et/ou cytoplasmique et peut être utilisé pour faciliter l'identification des lymphomes B.

#### Références

1. Townsend MJ, et al. Immunol Rev. 237:264-283, 2010.
2. Poe JC, et al. Nature Immunol. 5:1078-1087, 2004.
3. Tedder TF, et al. Annu Rev Immunol. 15:481-504, 1997.
4. Polson Ag, et al. Leukaemia. 24:1566-1573, 2010.
5. Boue DR, et al. Blood. 71:1480-1486, 1988.

**CD23, CONFIRM**

(SP23)

<b>Référence</b>	790-4408 <a href="#">05479258001</a>
<b>Type</b>	Monoclonal de lapin
<b>Témoin</b>	Amygdale
<b>Localisation</b>	Cytoplasmique
<b>Quantité</b>	50 tests
<b>Isotype</b>	IgG <sub>1</sub>

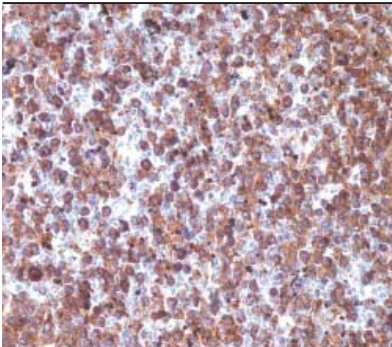
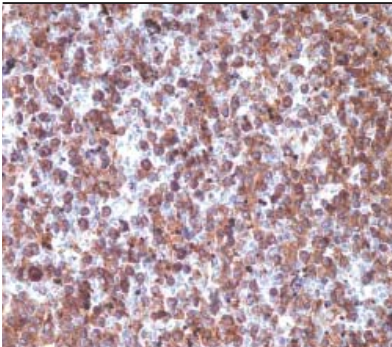
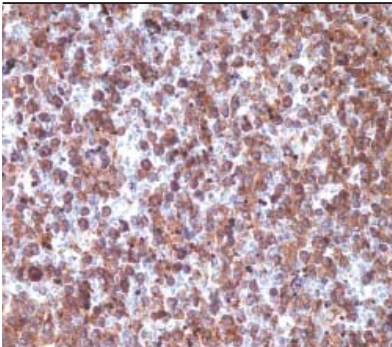
Amygdale saine

**Description**

L'expression de CD23 a été détectée dans les cellules néoplasiques de leucémies lymphocytaires chroniques à cellules B et de lymphomes à petits lymphocytes B. De même, certaines leucémies à tricholeucocytes et certains lymphomes diffus à grandes cellules B sont positifs à CD23. En général, CD23 n'est pas présent sur les lymphomes à cellules du manteau. En conséquence, la coloration de CD23 peut être utilisée pour la classification des lymphomes lymphocytaires à petits lymphocytes (généralement positifs) et des lymphomes à cellules du manteau (généralement négatifs).

**Références**

1. Kaiserlian D, et al., Immunology. 80:90-95, 1993.
2. Aubry JP, et al., The CD23 antigen is the human lymphocyte receptor for IgE. Dans : McMichael AJ, Beverley PCL, Cobbold S, Crumpton MJ, Gilks W, Gotch FM, et al. Leukocyte Typing III, White Cell Differentiation Antigens. Oxford University Press, Oxford, 1987: 417-419.
3. Kikutani H, et al., CD23 is a low affinity Fcε receptor (FcεR): regulation of FcεR expression. Dans : McMichael AJ, Beverley PCL, Cobbold S, Crumpton MJ, Gilks W, Gotch FM, et al. Leukocyte Typing III, White Cell Differentiation Antigens. Oxford University Press, Oxford, 1987: 419-422.
4. Pallesen G. The distribution of CD23 in normal human tissues and in malignant lymphomas. Dans : McMichael AJ, Beverley PCL, Cobbold S, Crumpton MJ, Gilks W, Gotch FM, et al. Leukocyte Typing III, White Cell Differentiation Antigens. Oxford University Press, Oxford, 1987: 383-386.

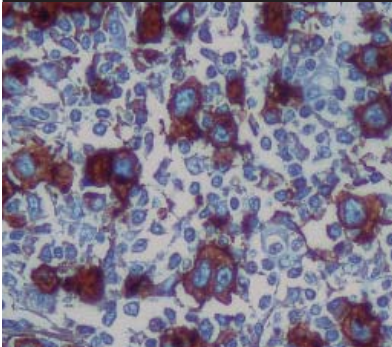
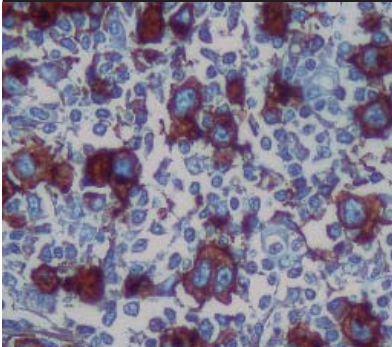
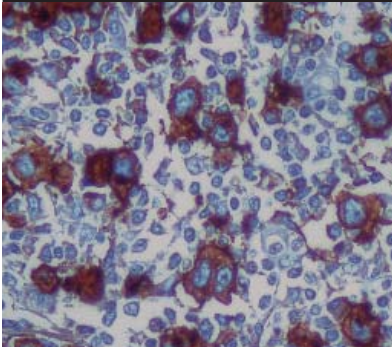
	<b>CD25</b> (4C9)
	<b>Référence</b>
	760-4439 <a href="#">05973899001</a>
	<b>Type</b>
	Monoclonal de souris
	<b>Témoin</b>
	Lésions de mastocytose, intestin grêle
	<b>Localisation</b>
	Cytoplasmique, membranaire
	<b>Quantité</b>
	50 tests
	<b>Isotype</b>
	IgG <sub>2b</sub>
Rate, leucémie à tricholeucocytes	

### Description

Selon le système de classification de l'Organisation mondiale de la Santé, le principal critère indiquant une atteinte de la moelle osseuse dans la mastocytose systémique (MS) est la présence d'agrégats denses (> 15 cellules) de mastocytes. L'expression de CD25, un récepteur de faible affinité de l'interleukine 2 (IL-2), constitue un outil diagnostique fiable pour distinguer les agrégats de cellules mastocytaires néoplasiques des simples réactions prolifératives, et par conséquent est récemment devenue un critère mineur dans le diagnostic de la MS. Hahn et al. ont démontré que la coloration aberrante des amas de mastocytes par l'anticorps CD25 dans les biopsies gastro-intestinales constituait un bon indicateur diagnostique de MS. L'anticorps CD25 s'est aussi avéré utile pour identifier des mastocytes dans des biopsies de peau provenant de cas d'urticaire pigmentaire, qui est un facteur prédictif pour la MS. L'évaluation quantitative des cellules T régulatrices (Treg) dans un contexte de carcinome hépatocellulaire (CHC) a également été utilisée comme facteur prédictif indépendant de la récurrence tumorale après résection hépatique pour le CHC. De plus, le pourcentage de cellules T régulatrices infiltrantes + CD25 + FOXP3 parmi les cellules tumorales, à l'intérieur et en périphérie du parenchyme tumoral, est significativement plus élevé dans le mélanome cutané récurrent que dans le mélanome non récurrent.

### Références

1. Hahn HP, et al., Am J Surg Pathol. 31(11):1669-76, 2007.
2. Hollmann TJ, et al., Am J Surg Pathol. 32(1):139-45, 2008.
3. Miracco C, et al., Oncol Rep. 18(5):1115-22, 2007.
4. Siddiqui SA, et al., Clin Cancer Res. 13(7):2075-81, 2007.
5. Yang XH, et al., J Hepatol. 45(2):254-62, 2006.

	<b>CD30, CONFIRM</b> (Ber-H2)
	<b>Référence</b>
	790-2926 <a href="#">05278201001</a>
	<b>Type</b>
	Monoclonal de souris
	<b>Témoin</b>
	Lymphome de Hodgkin
	<b>Localisation</b>
	Membranaire
	<b>Quantité</b>
	50 tests
	<b>Isotype</b>
	IgG <sub>1</sub> /K
Lymphome de Hodgkin, cellules de Reed-Sternberg	

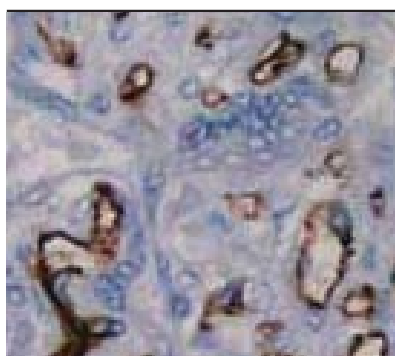
### Description

L'antigène CD30 est exprimé dans les cellules de Hodgkin mononucléées et dans les cellules de Reed-Sternberg multinucléées du lymphome de Hodgkin, ainsi que dans le lymphome anaplasique à grandes cellules. Cet anticorps produit, selon le cas, une coloration de la membrane, du cytoplasme et de l'appareil de Golgi dans les cellules de lymphome et dans les grandes cellules B et T activées, disséminées au sein des ganglions lymphatiques, de la rate, des amygdales et du thymus. Cet anticorps peut aussi colorer une petite proportion de cellules plasmatiques.

### Références

1. Froese P, et al., J Immunology. 139(6): 2081-2087, 1987.
2. Stein H, et al., Blood. 66: 848-858, 1985.
3. Stein H, et al., Int J Cancer. 30(4): 445-459, 1982.



**CD31**

(1A10)

<b>Référence</b>	760-4246 <a href="#">05269067001</a>
<b>Type</b>	Monoclonal de souris
<b>Témoin</b>	Appendice, placenta, amygdale
<b>Localisation</b>	Cytoplasmique, membranaire
<b>Quantité</b>	50 tests
<b>Isotype</b>	IgG <sub>1</sub> /K

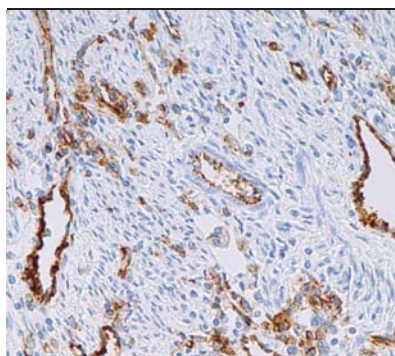
Amygdale

**Description**

CD31 est exprimé par les cellules souches du système hématopoïétique et est utilisé principalement pour identifier et concentrer ces cellules en vue d'études expérimentales, ainsi que pour des greffes de moelle osseuse. Les cellules endothéliales expriment également ce marqueur et par conséquent, des anticorps contre CD31 ont été utilisés comme outil pour identifier l'origine vasculaire des néoplasmes. La forte spécificité et la grande sensibilité de CD31 aux cellules vasculaires endothéliales ont été démontrées. On n'a pas observé de coloration des tumeurs non vasculaires (à l'exclusion des néoplasmes hématopoïétiques).

**Références**

- |  |  |
|--|--|
| 1. Parums DV, et al., J. Clin. Path. 1990; 43:752-757. | 4. Santeusano G, et al., Appl. Immunohistochem Mol. Morphol. 2003 Dec; 11(4):359-63. |
| 2. De Young BR, et al., Ap. Immuno. 1993; 1:97-100.    | 5. Alexander-Sefre F et al., J. Clin. Pathol. 2003 Oct; 56(10):786-8.                |
| 3. Alles JU, et al., J. Histo. Cyto. 1986; 34:209-214. | 6. Allison KH et al., Am. J. Surg. Pathol. 2004 Mar; 28(3):298-307.                  |

**CD31**

(JC-70)

<b>Référence</b>	760-4378 <a href="#">05463475001</a>
<b>Type</b>	Monoclonal de souris
<b>Témoin</b>	Appendice, placenta, amygdale
<b>Localisation</b>	Cytoplasmique, membranaire
<b>Quantité</b>	50 tests
<b>Isotype</b>	IgG <sub>1</sub> /K

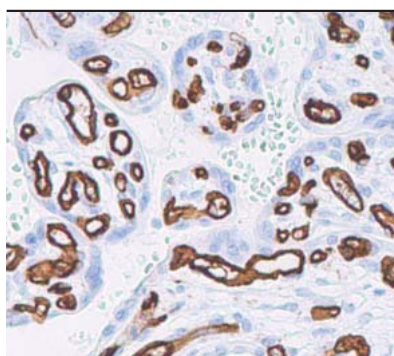
Amygdale

**Description**

CD31 est exprimé par les cellules souches du système hématopoïétique et est utilisé principalement pour identifier et concentrer ces cellules en vue d'études expérimentales, ainsi que pour des greffes de moelle osseuse. Les cellules endothéliales expriment également ce marqueur et par conséquent, des anticorps contre CD31 ont été utilisés comme outil pour identifier l'origine vasculaire des néoplasmes. La forte spécificité et la grande sensibilité de CD31 aux cellules vasculaires endothéliales ont été démontrées. On n'a pas observé de coloration des tumeurs non vasculaires (à l'exclusion des néoplasmes hématopoïétiques).

**Références**

- |  |  |
|--|--|
| 1. Parums DV, et al., J. Clin. 43(9):752-7, 1990.                      | 3. Alles JU, et al., J Histochem Cytochem. 34(2):209-14, 1986.   |
| 2. De Young BR, et al., Applied Immunohistochemistry. 1: 97-100, 1993. | 4. Alexander-Sefre F, et al., J Clin Pathol. 56(10):786-8, 2003. |

**CD34**

(QBEnd/10)

<b>Référence</b>	760-2620 <a href="#">05267323001</a>
<b>Type</b>	Monoclonal de souris
<b>Témoin</b>	Appendice, placenta, amygdale
<b>Localisation</b>	Membranaire
<b>Quantité</b>	50 tests
<b>Isotype</b>	IgG <sub>1</sub>

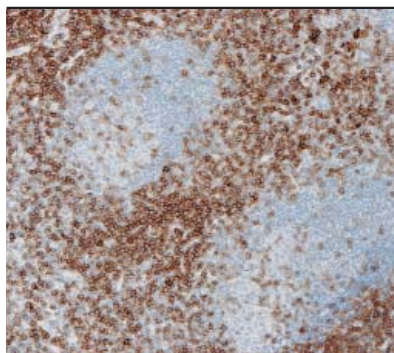
Carcinome mammaire

**Description**

L'anticorps primaire monoclonal de souris CD34 (QBEnd/10) reconnaît un antigène cellulaire de surface d'environ 110 kD exprimé sélectivement sur les cellules progénitrices hématopoïétiques humaines, y compris les lignées progénitrices myéloïde et lymphoïde, ainsi que sur un pourcentage significatif de cellules de leucémie aiguë. En plus de cette reconnaissance des cellules souches, ce marqueur est exprimé par l'endothélium vasculaire. En outre, il apparaît que les cellules endothéliales prolifératives expriment cette molécule en plus grande quantité que les cellules endothéliales non prolifératives.

**Références**

1. Civin CL, et al., London Academic Press. 818-825, 1989.
2. Fina L, et al., Blood. 75:2417-2426, 1990.
3. Sankey EA, et al., J Pathol. 43:752-757, 1990.
4. Ramani P, et al., Histopathology, 17:237-242, 1990.
5. Aziza J, et al., Am J Clin Pathol. 96:25-31, 1990.
6. Torlakovic G, et al., Arch Pathol Lab Med. 126(7):823-8, 2002.
7. Salizzoni M, et al., Transplantation. 15;76(5):844-8, 2003.
8. Fanburg-Smith JC, et al., Mod Pathol. 16(3):263-71, 2003.

**CD43**

(L60)

<b>Référence</b>	760-2511 <a href="#">05266980001</a>
<b>Type</b>	Monoclonal de souris
<b>Témoin</b>	Amygdale, ganglion lymphatique
<b>Localisation</b>	Membranaire
<b>Quantité</b>	50 tests
<b>Isotype</b>	IgG <sub>1</sub>

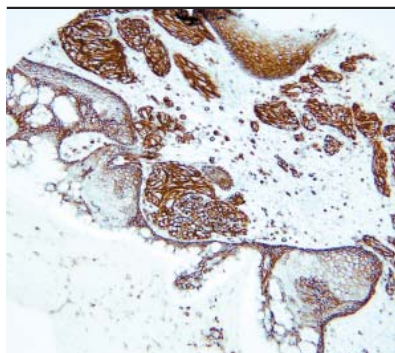
Amygdale, coloration de la membrane cytoplasmique des lymphocytes T

**Description**

CD43 (également connu comme la leucosialine ou sialophorine) est un antigène de glycoprotéine qui s'exprime sur la membrane et dans le cytoplasme des cellules T, des cellules d'origine myéloïde et de certaines cellules B. L'anticorps primaire monoclonal de souris CD43 (L60) se lie spécifiquement aux antigènes situés dans la membrane plasmique et les régions cytoplasmiques de cellules normales : granulocytes, monocytes, histiocytes, cellules T et certaines cellules B. Les tumeurs exprimant cet antigène comprennent la plupart des lymphomes à cellules T et certains lymphomes à cellules B.

**Références**

1. Strickler JG, et al., Hum Pathol. 18(8):808-14, 1987.
2. Stross WP, et al., J Clin Pathol. 42(9):953-61, 1989.

**CD44**

(SP37)

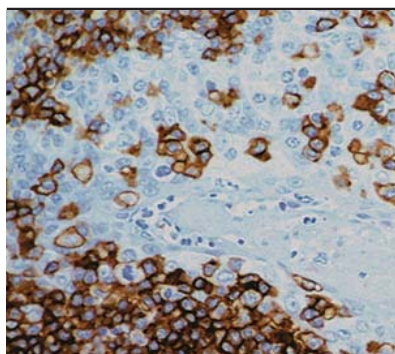
<b>Référence</b>	790-4537 <a href="#">06364985001</a>
<b>Type</b>	Monoclonal de lapin
<b>Témoin</b>	Amygdale
<b>Localisation</b>	Membranaire
<b>Quantité</b>	50 tests
<b>Isotype</b>	IgG

**Description**

L'anticorps primaire monoclonal de lapin CD44 (SP37) est dirigé contre la protéine CD44. CD44 est un récepteur transmembranaire de type I exprimé dans plusieurs types cellulaires, y compris les lymphocytes T et B, les monocytes, granulocytes, érythrocytes, fibroblastes, cellules épithéliales et mastocytes. Cet anticorps présente une coloration membranaire et peut être utilisé pour détecter la protéine CD44 standard ainsi que ses variantes, dans divers tissus néoplasiques y compris les cellules squameuses et les carcinomes urothéliaux.

**Références**

1. Aruffo A, et al., Cell. 61:1303-13,1990.
2. Hascall V, et al., Cold Spring Harbor Laboratory Press. 2008.
3. Endo K, et al., J. of Hepatology. 32:78-84, 2000.
4. Southgate J, et al., Int. J. Cancer. 62:449-456, 1995.
5. Bartolazzi A, et al., JCB. 132(6):1199-1208, 1996.

**CD45 (LCA), CONFIRM**

(RP2/18)

<b>Référence</b>	760-2505 <a href="#">05266912001</a>
<b>Type</b>	Monoclonal de souris
<b>Témoin</b>	Amygdale
<b>Localisation</b>	Membranaire
<b>Quantité</b>	50 tests
<b>Isotype</b>	IgG <sub>1</sub> /K

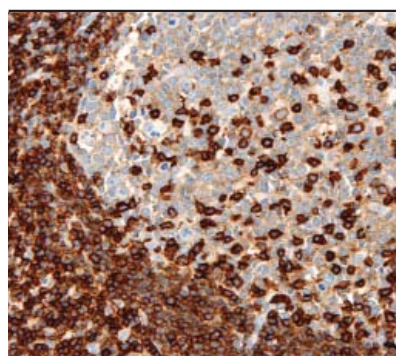
Lymphome

**Description**

CD45, LCA (antigène leucocytaire commun) est exprimé sur la membrane cytoplasmique des lymphocytes T et B, des monocytes, des macrophages, des mastocytes et faiblement sur celle des granulocytes. CONFIRM CD45, LCA (RP2/18) est un anticorps primaire monoclonal de souris dirigé contre l'épitope CD45RB qui se trouve sur la membrane des leucocytes. Il a été démontré que cet anticorps réagit avec les isoformes de 220, 205 et 190 kD de CD45.

**Références**

1. Zapata JM, et al., J Immunol. 152(8): 3852-3861, 1994.
2. Pulido R, et al., J Immunol. 140(11): 3851-3857, 1988.



### CD45 (LCA) (2B11 & PD7/26)

<b>Référence</b>	760-4279 05269423001
<b>Type</b>	Monoclonal de souris
<b>Témoin</b>	Amygdale, ganglion lymphatique
<b>Localisation</b>	Membranaire
<b>Quantité</b>	50 tests
<b>Isotype</b>	IgG <sub>1</sub> /K

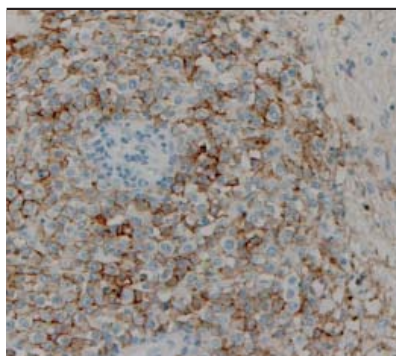
Amygdale

#### Description

L'anticorps primaire monoclonal de souris LCA (antigène leucocytaire commun) est utilisé en routine pour étayer le diagnostic différentiel des néoplasmes non différenciés, chaque fois que les données morphologiques ou cliniques suggèrent un lymphome malin. C'est un anticorps hautement spécifique, par conséquent un résultat positif constitue une très bonne indication d'origine lymphoïde ou myéloïde. Certains types de néoplasmes lymphoïdes peuvent ne pas exprimer CD45 (maladie de Hodgkin, certains lymphomes T et certaines leucémies), donc son absence ne permet pas d'exclure une tumeur hémato-lymphoïde. Cet anticorps est exprimé presque exclusivement par les cellules de lignée hémato-poïétique et il est présent dans presque tous les lymphocytes et érythrocytes de tumeurs bénignes ou malignes, ainsi que dans les précurseurs de plasmocytes.

#### Références

- |   |   |
|---|---|
| 1. Mason DY, et al., Am J Pathol. 128:1-4, 1987.      | 5. Caballero T, et al., J Clin Pathol. 48(8): 743-8, 1995.    |
| 2. Hall PA, et al., Histopathology. 13:149-160, 1988. | 6. Vasef MA, et al., Am J Clin Pathol. 108(1): 54-9, 1997.    |
| 3. Kurtin PJ, et al., Hum Path. 16:353-365, 1985.     | 7. Saxena A, et al., Am J Clin Pathol. 112(4): 495-512, 1999. |
| 4. Maluf HM, et al., Mod Pathol. 8(2): 155-9, 1995.   | 8. Kraus MD, et al., Am J Surg Pathol. (8): 1068-78, 2000.    |



### CD45R (MB1)

<b>Référence</b>	760-2624 05267340001
<b>Type</b>	Monoclonal de souris
<b>Témoin</b>	Amygdale, ganglion lymphatique
<b>Localisation</b>	Membranaire
<b>Quantité</b>	50 tests
<b>Isotype</b>	IgG <sub>1</sub>

Lymphome à grandes cellules B

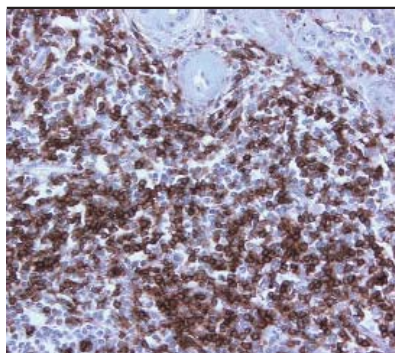
#### Description

L'anticorps CD45R colore préférentiellement les cellules B et leurs néoplasmes, mais il est moins spécifique car il peut aussi réagir avec certains lymphomes à cellules T et certaines tumeurs non lymphoïdes. L'antigène de cet anticorps se trouve dans la membrane de toutes les cellules B, à l'exception des plasmocytes et de certaines cellules T matures.

#### Références

- |   |  |
|---|--|
| 1. Hall PA, et al., J Clinical Pathology. 40:870-873, 1987. | 3. West KP, et al., J Pathology. 150:89-101, 1986.       |
| 2. Myskow MW, et al., Am J Pathology. 90:564-574, 1988.     | 4. Poppema S, et al., Am J Pathology. 127:418-429, 1987. |



**CD45RO, CONFIRM**

(UHL-1)

<b>Référence</b>	790-2930 <a href="#">05278244001</a>
<b>Type</b>	Monoclonal de souris
<b>Témoin</b>	Amygdale, ganglion lymphatique
<b>Localisation</b>	Membranaire
<b>Quantité</b>	50 tests
<b>Isotype</b>	IgG <sub>2a</sub>

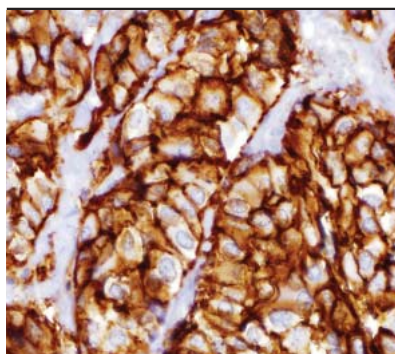
Ganglion lymphatique, normal

**Description**

CONFIRM CD45RO (UHL-1) est un anticorps primaire monoclonal de souris qui réagit surtout avec la composante p180 de la famille de l'antigène leucocytaire commun (LCA) et faiblement avec les isoformes de 190 kD et 205 kD. Ce réactif réagit avec la plupart des lymphocytes T, des macrophages et des cellules de Langerhans des tissus normaux.

**Références**

1. Berti E, et al., Am J Clin Pathol. 95(2):188-193, 1991.

**CD56**

(MRQ-42)

<b>Référence</b>	760-4596 <a href="#">06433359001</a>
<b>Type</b>	Monoclonal de lapin
<b>Témoin</b>	Cellules des îlots pancréatiques, cellules endocrines pancréatiques, neuroblastome
<b>Localisation</b>	Cytoplasmique, membranaire
<b>Quantité</b>	50 tests

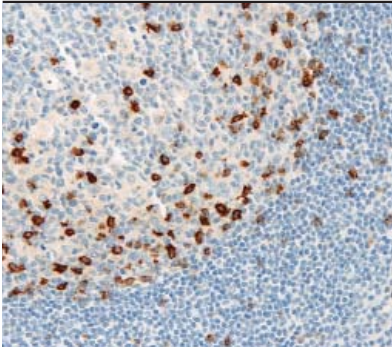
Tumeur neuroendocrine pancréatique

**Description**

L'anticorps primaire monoclonal de lapin CD56 (MRQ-42) est utilisé en tant qu'aide pour l'identification de tissus nerveux/neuroendocrines, de cellules NK (natural killer) ou de cellules T de type NK, et le diagnostic de néoplasmes associés, dans le cadre d'une évaluation réalisée par un pathologiste qualifié en fonction de la batterie d'anticorps, des antécédents cliniques du patient et des autres tests diagnostiques.

**Références**

- |  |  |
|--|--|
| 1. Gerardy-Schahn, R et al. Int J Canc Suppl 8:38-42, 1994.    | 4. Langdon, SP et al. Cancer Research. 48(21):6161-6165, 1988. |
| 2. Michalides, R et al. Int J Canc Suppl 8:34-37, 1994.        | 5. Sumi, M et al. Leuk Lymphoma. 44(1): 201-4, 2003.           |
| 3. Kibbelaar, RE et al. Euro J of Cancer. 27(4):431-435, 1991. | 6. Trejo, O et al. J Cutan Pathol. 29(7): 397-406, 2002.       |

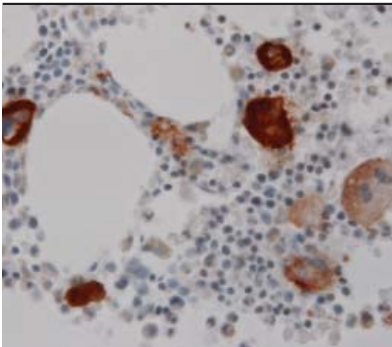
	<b>CD57</b> (NK-1)
	<b>Référence</b> 760-2626 <a href="#">05267366001</a>
	<b>Type</b> Monoclonal de souris
	<b>Témoin</b> Amygdale, ganglion lymphatique
	<b>Localisation</b> Membranaire
	<b>Quantité</b> 50 tests
	<b>Isotype</b> IgM/K
Amygdale	

**Description**

L'anticorps primaire monoclonal de souris CD57 (NK-1) marque un sous-ensemble de lymphocytes connus comme les cellules NK (natural killer). Les lymphomes folliculaires contiennent souvent beaucoup de cellules NK dans les follicules néoplasiques. NK-1 colore également les cellules neuroendocrines et les tumeurs qui en dérivent, y compris les tumeurs carcinoïdes et les médulloblastomes. On a également rapporté que NK-1 réagit avec divers types cellulaires dans des tissus non lymphoïdes.

**Références**

1. Lanier LL, et al., Journ Immun. 131(4):1789-1796, 1983.
2. Ritchie AW, et al., Clin and Exp Imm. 51(3):439-447, 1983.
3. Caillaud JM, et al., Cancer Res. 44(10):4432-4439, 1984.
4. Tucker GC, et al., Cell Differentiation. 14(3):223-230, 1984.
5. Abo T, et al., Cellular Immun. 73(2):376-384, 1982.

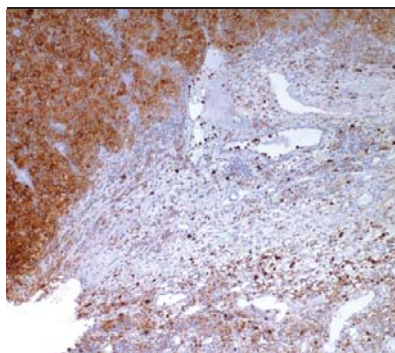
	<b>CD61</b> (2f2)
	<b>Référence</b> 760-4249 <a href="#">05269091001</a>
	<b>Type</b> Monoclonal de souris
	<b>Témoin</b> Moelle osseuse
	<b>Localisation</b> Cytoplasmique
	<b>Quantité</b> 50 tests
	<b>Isotype</b> IgG <sub>1</sub>
Moelle osseuse	

**Description**

L'anticorps primaire monoclonal de souris CD61 (2f2) marque la sous-unité IIIa d'une glycoprotéine hétérodimérique, constituée de deux sous-unités IIb et IIIa associées en une liaison non covalente, présente sur les plaquettes humaines et leurs précurseurs. Cet anticorps est utile pour identifier la différenciation mégacaryoblastique que l'on trouve dans les leucémies mégacaryoblastiques.

**Références**

1. Thiele J, et al., Eur J Haematol. 44:63-70, 1990.
2. Thiele J, et al., Virchows Archiv B Cell Pathol. 58:295-302, 1990.
3. Goldman BI, et al., Modern Pathology. 14:589-594, 2001.
4. Fox SB, et al., Histopathology. 17(1):69-74, 1990.
5. Duperray A, et al., Blood. 74(5):1603-11, 1989.
6. Campana D, et al., Leukaemia. 4(9):620-4, 1990.
7. Thiele J, et al., Anal Quant Histol. 12(4):285-9, 1990.

**CD63**

(NK1/C3)

<b>Référence</b>	760-4379 <a href="#">05463483001</a>
<b>Type</b>	Monoclonal de souris
<b>Témoin</b>	Mélanome malin
<b>Localisation</b>	Cytoplasmique, membranaire
<b>Quantité</b>	50 tests
<b>Isotype</b>	IgG <sub>1</sub> /K

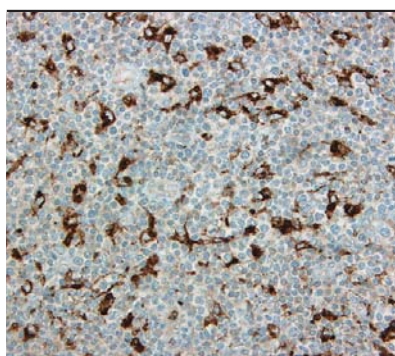
Mélanome malin dans une amygdale

**Description**

Cet anticorps réagit avec une protéine de 53 kD, qui constitue un fragment d'une famille de quatre domaines transmembranaires. À l'origine, l'antigène avait été décrit comme une protéine lysosomale membranaire caractérisée comme un antigène de surface dépendant de l'activation plaquettaire. En fait, l'antigène CD63 a une distribution diversifiée, à la surface et dans le cytoplasme de nombreux types cellulaires y compris les cellules lymphoïdes, myéloïdes, endothéliales et les mélanomes. Il s'est avéré fort utile pour identifier des mélanomes malins. Mete et al. l'ont trouvé utile pour différencier des cellules d'oncocytome rénal (OR) de cellules éosinophiles de carcinome rénal. Dans sa série de 35 oncocytomes rénaux, 94 % présentaient une distribution CD63+ apicale et/ou polaire. Dans ses 77 carcinomes rénaux à cellules éosinophiles, 96 % présentaient une coloration cytoplasmique diffuse.

**Références**

1. Azorsa DO, et al., Blood. 15:78(2):280-4, 1991.
2. Barrio MM, et al., Hybridoma. 17(4):355-64, 1998.
3. Demetrick DJ, et al., J Natl Cancer Inst. 84(6):422-9, 1992.
4. Mete O, et al., Virchows Arch. 447(6):938-46, 2005. Epub 2005 Aug 17.
5. Kwon MS, et al., Lung Cancer. 57(1):46-53, 2007. Epub 2007 Mar 12.

**CD68, CONFIRM**

(KP-1)

<b>Référence</b>	790-2931 <a href="#">05278252001</a>
<b>Type</b>	Monoclonal de souris
<b>Témoin</b>	Amygdale, ganglion lymphatique
<b>Localisation</b>	Cytoplasmique, membranaire
<b>Quantité</b>	50 tests
<b>Isotype</b>	IgG <sub>1</sub> /K

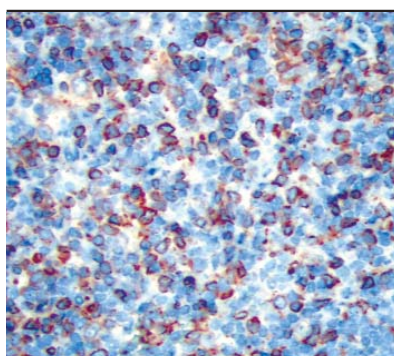
Amygdale, histiocytes

**Description**

L'anticorps primaire monoclonal de souris CONFIRM CD68 (KP-1) réagit avec une glycoprotéine intracellulaire de 110 kD associée à la membrane cellulaire des macrophages et de certains éléments myéloïdes.

**Références**

1. Facchetti F, et al., Histopathology. 19:141-5, 1991.
2. Ruco LP, et al., Am J Clin Pathol. 92:273-9, 1989.
3. Cordell JL, et al., Oxford Univ. Press-Oxford, New York 1995; 925-927.
4. Pulford KAF, et al., J Clin Pathol. 42:414-21, 1989.
5. Vergier B, et al., Blood. 95(7):2212-8, 2000.

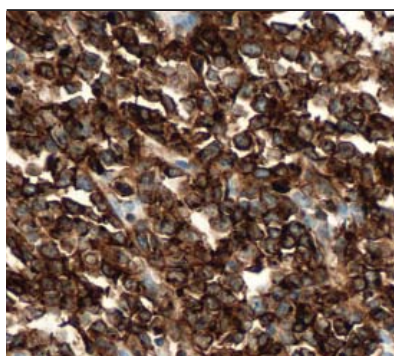
**CD71**

(MRQ-48)

<b>Référence</b>	760-4589 06433162001
<b>Type</b>	Monoclonal de souris
<b>Témoin</b>	Moelle osseuse
<b>Localisation</b>	Cytoplasmique, membranaire
<b>Quantité</b>	50 tests
<b>Isotype</b>	IgG <sub>1</sub>

**Description**

L'anticorps primaire monoclonal de souris CD71 (MRQ-48) est indiqué pour aider à l'identification des précurseurs érythroïdes de la moelle osseuse et à la détermination de la leucémie myéloïde aiguë et du syndrome myélodysplasique.

**CD79a, CONFIRM**

(SP18)

<b>Référence</b>	790-4432 05640296001
<b>Type</b>	Monoclonal de lapin
<b>Témoin</b>	Lymphome à cellules B, amygdale
<b>Localisation</b>	Cytoplasmique, membranaire
<b>Quantité</b>	50 tests

Lymphome non hodgkinien

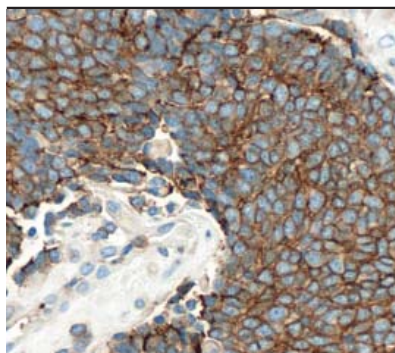
**Description**

L'anticorps primaire monoclonal de lapin CONFIRM CD79a (SP18) est destiné à détecter CD79a dans les tissus humains normaux et néoplasiques. L'anticorps CD79a est dirigé contre une protéine exprimée à la surface des lymphocytes B à toutes les étapes de maturation, depuis les précurseurs de lymphocytes B jusqu'aux plasmocytes. L'expression de CD79a peut aider à identifier la lignée B dans les lymphomes malins.

**Références**

1. Berg JM, et al., Biochemistry, 5th Ed. WH Freeman and Company, NY, 2002.
2. Chu PG, et al., Appl Immunohistochem Mol Morphol. 9(2): 97-106, 2001.
3. Bhargava P, et al., Am J Clin Pathol. 128(2):306-313, 2007.
4. Blakolmer K, et al., Mod Pathol. 13(7):766-772, 2000.
5. Mason DY, et al. Blood. 86(4):1453-9, 1995.



**CD99, CONFIRM**

(O13)

<b>Référence</b>	790-4452 <a href="#">05913594001</a>
<b>Type</b>	Monoclonal de souris
<b>Témoin</b>	Cellules des îlots pancréatiques, cellules de Sertoli du testicule
<b>Localisation</b>	Membranaire
<b>Quantité</b>	50 tests
<b>Isotype</b>	IgG <sub>1</sub>

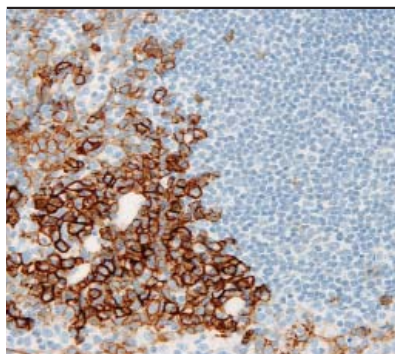
Sarcome d'Ewing

**Description**

L'anticorps primaire monoclonal de souris CONFIRM CD99 (O13) est dirigé contre l'antigène humain CD99 qui s'exprime sur les lymphocytes T, les thymocytes corticaux, les cellules de la granulosa de l'ovaire, les cellules des îlots pancréatiques, les épendymocytes du système nerveux central et les cellules de Sertoli. CD99 présente une localisation sur la membrane plasmique. Cet anticorps peut faire partie d'un panel pour étayer l'identification du sarcome d'Ewing et des tumeurs périphériques d'origine neuroectodermique associées.

**Références**

- Ambros IM, et al., Cancer. 67:1886-1893, 1991.
- Scotland K, et al., Cancer Research. 60(18):5134-5142, 2000.
- Milanezi F, et al., Histopathology. 39:578-583, 2001.
- Pelosi G, et al., Virchows Arch. 437:270-274, 2000.
- Gordon MD, et al., Mod Pathol. 11:769-773, 1998.
- Ozdemirli M, et al., Mod Pathol. 14:1175-1182, 2001.

**CD138/syndecan-1**

(B-A38)

<b>Référence</b>	760-4248 <a href="#">05269083001</a>
<b>Type</b>	Monoclonal de souris
<b>Témoin</b>	Amygdale, plasmocytome
<b>Localisation</b>	Membranaire
<b>Quantité</b>	50 tests
<b>Isotype</b>	IgG

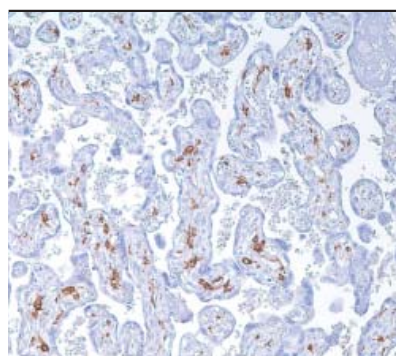
Amygdale, plasmocytes

**Description**

L'anticorps primaire monoclonal de souris CD138/syndecan-1 (B-A38) est utile pour le marquage de plasmocytes normaux et néoplasiques et de lymphomes à lymphocytes plasmocytoides. Diverses formes de maladie de Hodgkin présentent également une coloration positive pour cet anticorps.

**Références**

- Chilosi M, et al., Mod Pathol. 12(12):1101-6, 1999.
- Sebestzen A, et al., Br J Haematol. 104(2):412-9, 1999.
- Carbone A, et al., Blood. 91(3):747-55, 1998.
- Bayer-Garner IB, et al., Mod Pathol. 14(10):1052-8, 2001.
- Lampert IA, et al., Appl Immunohistochem Mol Morphol. 13(2):124-31, 2005.
- Oksanen A, et al., J Clin Pathol. 58(4):376-81, 2005.
- O'Connell FP, et al., Am J Clin Pathol. 121(2):254-63, 2004.
- Coloma L, et al., Am J Surg Pathol. 28(6):736-47, 2004.

**CD163**

(MRQ-26)

<b>Référence</b>	760-4437 05973929001
<b>Type</b>	Monoclonal de souris
<b>Témoin</b>	Tissu présentant une inflammation
<b>Localisation</b>	Cytoplasmique, membranaire
<b>Quantité</b>	50 tests
<b>Isotype</b>	IgG <sub>1</sub>

Placenta normal

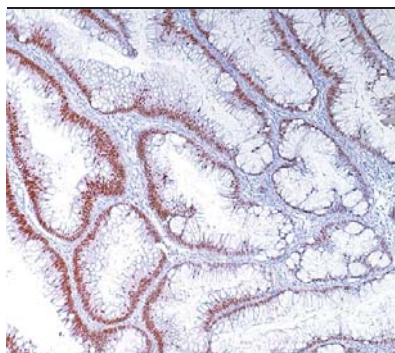
**Description**

L'anticorps monoclonal de souris CD163 (MRQ-26) a été récemment identifié comme une protéine transmembranaire régulée au cours de la phase aiguë, qui a une fonction médiatrice dans l'endocytose des complexes haptoglobine-hémoglobine. Ce récepteur est exprimé à la surface des monocytes (faible niveau d'expression) et des macrophages tissulaires [également connus comme les histiocytes] (niveau d'expression élevé). C'est un membre de la superfamille des récepteurs éboueurs riches en cystéine, codés par un gène localisé sur le chromosome humain 12p13.3. Soluble dans le plasma, CD163 fonctionne comme un signal anti-inflammatoire et remplit de nombreuses fonctions dans toute une gamme de processus pathologiques, depuis les maladies autoimmunes telles que la polyarthrite rhumatoïde jusqu'à l'athérosclérose. Des travaux antérieurs ont montré que le gène CD163 peut être régulé par les glucocorticoïdes, l'IL-10 et d'autres modulateurs de l'inflammation, et qu'il est fortement exprimé dans des tissus présentant une inflammation, ce qui étaye son rôle dans la résolution de l'inflammation. La coloration de CD163 a été utile pour distinguer les macrophages synoviaux des fibroblastes de l'intima synoviale dans le contexte de la polyarthrite rhumatoïde ; il est apparu que sa spécificité pour les macrophages était supérieure à celle de CD68, qui ne permet pas de distinguer ces types cellulaires. Des niveaux accrus de CD163 ont également été détectés chez des patients atteints d'infections microbiennes, et dans des leucémies myélomonocytaires par test ELISA. Des études de cytométrie de flux ont confirmé que l'expression de CD163 est limitée aux leucémies présentant une différenciation monocyttaire. Une autre étude récente a montré que 5 cas sur 5 de tumeurs de type synovial à cellules géantes de la colonne vertébrale étaient positives pour CD163.

**Références**

1. Backe E, et al., J Clin Pathol. 44(11):936-945, 1991.
2. Buechler C, et al., J Leukoc Biol. 67(1):97-103, 2000.
3. Hiraoka A, et al., Pathol Res Pract. 201(5):379-84, 2005.
4. Hogger P, et al., J Immunol. 161(4):1883-1890, 1998.
5. Kristiansen M, et al., Nature. 409(6817):198-201, 2001.

Référence Ventana en noir, référence Roche en bleu. Les produits figurant sur cette page sont à usage en diagnostic *in vitro* (IVD).

**CDX-2**

(EPR2764Y)

<b>Référence</b>	760-4380 <a href="#">05463491001</a>
<b>Type</b>	Monoclonal de lapin
<b>Témoin</b>	Adénocarcinome du côlon, côlon normal
<b>Localisation</b>	Nucléaire
<b>Quantité</b>	50 tests
<b>Isotype</b>	IgG

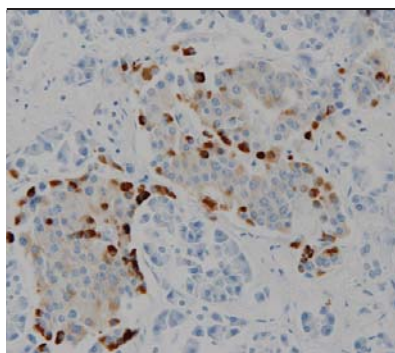
Adénome du côlon

**Description**

CDX-2 est un facteur de transcription à boîte homéotique associé à la partie caudale de l'organisme, dont l'expression chez l'adulte est normalement restreinte à l'épithélium intestinal. Il est impliqué dans le développement et la maintenance de la muqueuse intestinale. L'expression immunohistochimique de cette protéine est détectée dans les noyaux des cellules de l'épithélium intestinal normal. La perte d'expression de la protéine CDX-2 a été associée à la perte de différenciation dans les cancers colorectaux. L'anticorps primaire monoclonal de lapin CDX-2 (EPR2764Y) s'est avéré utile pour distinguer l'origine gastro-intestinale des adénocarcinomes et tumeurs carcinoïdes métastatiques. Un pourcentage élevé de carcinomes ovariens mucineux sont également positifs pour cet anticorps, ainsi que des carcinomes de la partie supérieure du tractus gastro-intestinal.

**Références**

- Levine PH, et al., Diagn Cytopathol. 34(3):191-5, 2006.
- Mazziotta RM, et al., Appl Immunohistochem Mol Morphol. 13(1):55-60, 2005.
- Saqi A, et al., Am J Clin Pathol. 123(3):394-404, 2005.
- Erickson LA, et al., Endocr Pathol. 15(3):247-52, 2004.
- Saad RS, et al., Am J Clin Pathol. 122(3):421-7, 2004.
- Kaimaktchiev V, et al., Mod Pathol. 17(11):1392-9, 2004.
- Groisman GM, et al., Int J Gynecol Pathol. 23(1):52-7, 2004.
- Moskaluk CA, et al., Mod Pathol. 16(9):913-9, 2003.
- Werling RW, et al., Am J Surg Pathol. 27(3):303-10, 2003.

**Chromogranine A**

(LK2H10)

<b>Référence</b>	760-2519 <a href="#">05267056001</a>
<b>Type</b>	Monoclonal de souris
<b>Témoin</b>	Pancréas
<b>Localisation</b>	Cytoplasmique
<b>Quantité</b>	50 tests
<b>Isotype</b>	IgG <sub>1</sub> /K

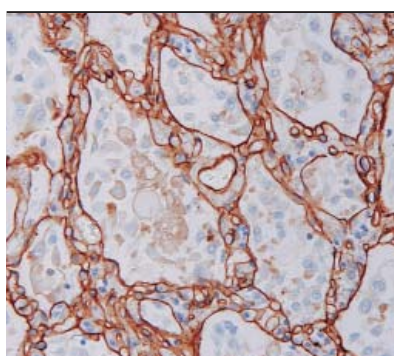
Cellules des îlots pancréatiques

**Description**

L'anticorps primaire monoclonal de souris chromogranine A (LK2H10) se lie spécifiquement à cette protéine localisée dans les granules sécrétoires des cellules neuroendocrines normales et néoplasiques. La chromogranine A est également exprimée par les cellules des glandes surrénales (médullaires), parathyroïdes, de l'hypophyse antérieure, des îlots pancréatiques, les cellules gastro-intestinales ainsi que par les cellules endocrines des bronches et les cellules parafolliculaires de la thyroïde. La chromogranine A est exprimée dans les tumeurs d'origine neuroendocrine, y compris les phéochromocytomes, adénomes pituitaires, tumeurs des îlots pancréatiques, carcinomes médullaires thyroïdiens, tumeurs carcinoïdes et carcinomes à cellules de Merkel. Cet anticorps peut être utilisé pour aider à identifier des cellules normales ou néoplasiques de lignée neuroendocrine.

**Références**

- Wilson BS, et al., Am J Clin Pathol. 115(3): 458-468, 1984.



### Collagène de Type IV

(CIV22)

<b>Référence</b>	760-2632 05267439001
<b>Type</b>	Monoclonal de souris
<b>Témoin</b>	Muscle, poumon
<b>Localisation</b>	Membrane basale
<b>Quantité</b>	50 tests
<b>Isotype</b>	IgG <sub>1</sub> /K

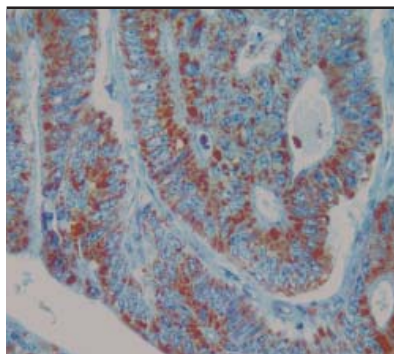
Poumon

#### Description

Le collagène de type IV est le principal composant de la lame basale, et des anticorps contre cette molécule confirment sa présence et révèlent l'apparence morphologique de la structure. La coloration des tissus normaux par cet anticorps permet d'identifier les sites des éléments mésenchymateux et des lames basales épithéliales. L'anticorps primaire monoclonal de souris CIV22 (collagène de type IV) peut également être utile dans la classification des tumeurs de tissus mous ; schwannomes, léiomyomes. Leurs homologues malins bien différenciés réagissent également habituellement avec cet anticorps. La nature vasculaire des néoplasmes, hémangiopéricytomes, angiosarcomes et hémangioendothéliomes épithélioïdes peut être révélée par cet anticorps de manière plus fiable qu'en utilisant des colorants non spécifiques (comme la réticuline argent).

#### Références

- Gould VE, et al., Pathol Annul. 11:353-386, 1976.
- McArdle JP, et al., Int J Cancer. 34:633-638, 1984.
- Sakr WA, et al., Hum Path. 18:1043-1050, 1987.
- Barsky SH, et al., Am J Surg Path. 7:667-677, 1983.



### COX-2 (Cyclo-oxygenase 2)

(SP21)

<b>Référence</b>	760-4254 05269148001
<b>Type</b>	Monoclonal de lapin
<b>Témoin</b>	Adénocarcinome du côlon
<b>Localisation</b>	Cytoplasmique
<b>Quantité</b>	50 tests
<b>Isotype</b>	IgG

Adénocarcinome du côlon

#### Description

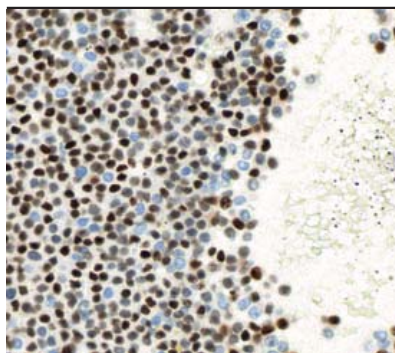
La cyclo-oxygénase 2 (COX-2) catalyse la conversion d'acide arachidonique en prostaglandine H2 dans la première étape de biosynthèse des prostaglandines, thromboxanes et prostacyclines. On a pu démontrer que l'inhibition de COX-2 par des agents anti-inflammatoires non stéroïdiens entraîne une diminution de l'angiogenèse et de la croissance tumorale, et favorise l'apoptose. La surexpression de COX-2 a été associée à une augmentation de la densité microvasculaire. On a également suggéré que la surexpression de COX-2 constitue un mauvais indicateur pronostic dans les carcinomes du côlon, du sein, du pancréas et dans l'adénocarcinome du poumon.

#### Références

- Stoehlmacker J, et al., Semin Oncol. (3)suppl 6:10-16, 2003.
- Gallo O, et al., Hum Pathol. 33(7):708-714, 2002.
- Sano H, et al., Cancer Res. 55(17):3785-9, 1995.
- Denkert C, et al., Cancer. 97(12):2978-87, 2003.
- Sheehan KM, et al., Hum Pathol. 34:1242-1246, 2003.

Référence Ventana en noir, référence Roche en bleu. Les produits figurant sur cette page sont à usage en diagnostic *in vitro* (IVD).





### Cycline D1

(SP4-R)

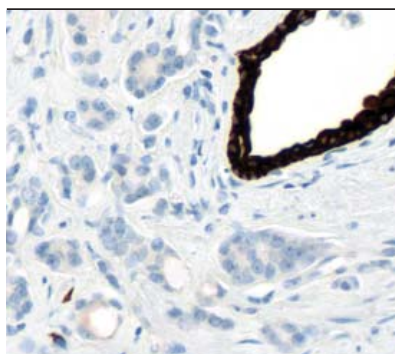
Référence	790-4508 <a href="#">05862949001</a>
Type	Monoclonal de lapin
Témoin	Amygdale
Localisation	Nucléaire
Quantité	50 tests
Isotype	IgG

#### Description

L'anticorps primaire monoclonal de lapin cycline D1 (SP4-R) est dirigé contre cette protéine, qui agit comme un régulateur clé du cycle cellulaire et s'exprime principalement pendant la phase G1 du cycle cellulaire. Cet anticorps entraîne une coloration nucléaire et peut être utilisé pour étayer l'identification du lymphome à cellules du manteau et du carcinome mammaire.

#### Références

1. Milenkovic S, et al., Cell Mol Neurobiol. 28:907-913, 2008.
2. Yang K, et al., Cell Division. 1:1-8, 2006.
3. Lesage D, et al., Int J Cancer. 115:171-176, 2005.
4. Arnold A, et al., J Clin Oncol. 23:4215-4224, 2005.
5. Dobashi Y, et al., Int J Cancer. 110:532-541, 2004.
6. Yang C, et al., Urologia Internationalis. 69:190-194, 2002.
7. Aguilera NS, et al., Am J of Path. 153:1969-76, 1998



### Cytokératine, CONFIRM

(34βE12)

Référence	790-4373 <a href="#">05479266001</a>
Type	Monoclonal de souris
Témoin	Prostate
Localisation	Cytoplasmique
Quantité	50 tests
Isotype	IgG <sub>1</sub>

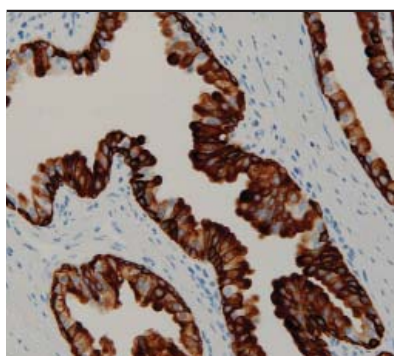
Carcinome de la prostate

#### Description

L'anticorps primaire monoclonal de souris CONFIRM Cytokeratin (34βE12) reconnaît les cytokératines 1, 5, 10 et 14 du catalogue de Moll et est utilisé pour aider à l'identification des cellules basales de la prostate et des cellules myoépithéliales du sein. Le clone 34βE12 a été caractérisé car il identifie les cytokératines de haut poids moléculaire qui se trouvent dans l'épithélium squameux et canalaire d'une grande variété de tissus de divers organes. Le clone 34βE12 réagit avec les cellules basales dans l'épithélium normal de la prostate.

#### Références

1. Gown A, et al., Amer J Clin Pathol. 84: 413-424, 1985.
2. Brawer M, et al., Canc Res. 45: 3663-3667, 1985.
3. Moll R, et al., Cell. 31: 11-24, 1982.



### Cytokératine, CONFIRM

#### (AE1)

<b>Référence</b>	760-2521 <a href="#">05267064001</a>
<b>Type</b>	Monoclonal de souris
<b>Témoin</b>	Prostate, glandes salivaires
<b>Localisation</b>	Cytoplasmique
<b>Quantité</b>	50 tests
<b>Isotype</b>	IgG <sub>1</sub>

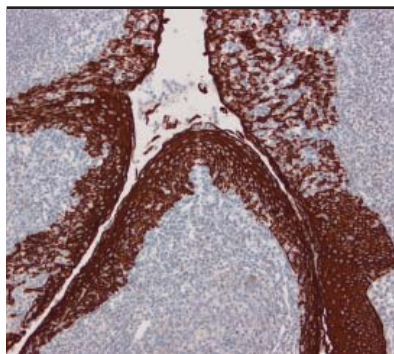
Prostate

#### Description

L'anticorps primaire monoclonal de souris CONFIRM Cytokeratin (AE1) peut être utilisé pour aider à identifier des cellules de lignée épithéliale normale et anormale, en appui dans le diagnostic des tumeurs anaplasiques. La cytokératine (AE1) reconnaît un épitope trouvé dans les cytokératines de callosités humaines ; il réagit avec les cytokératines de 40, 48, 50, 50' et 56,5 kD de la sous-famille acide. Comme des combinaisons peptidiques spécifiques de cytokératine sont associées à différentes cellules épithéliales, ces peptides sont des marqueurs importants sur le plan clinique dans la classification des carcinomes (tumeurs d'origine épithéliale) et pour distinguer les carcinomes des tumeurs malignes d'origine non épithéliale telles que les lymphomes, mélanomes et sarcomes.

#### Références

1. Robbins SL, et al., Pathol Basis of Disease 3rd Ed. W.B. Saunders, New York, 1984.
2. Woodcock-Mitchell J, et al., J Cell Biol. 95(2 Pt 1): 580-588, 1982.
3. Spagnolo DV, et al., Am J Clin Pathol. 84(6): 697-704, 1985.
4. Thomas P, et al., Hum Pathol. 18(7): 728-734, 1987.



### Cytokératine, CONFIRM

#### (AE3)

<b>Référence</b>	790-2909 <a href="#">05278040001</a>
<b>Type</b>	Monoclonal de souris
<b>Témoin</b>	Prostate, glande salivaire, vessie
<b>Localisation</b>	Cytoplasmique
<b>Quantité</b>	50 tests
<b>Isotype</b>	IgG <sub>1</sub>

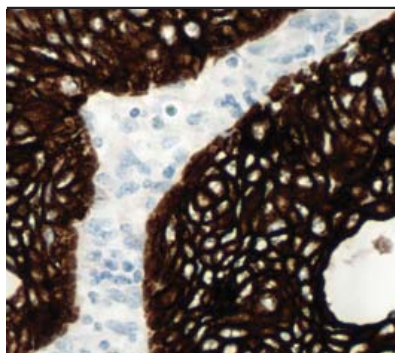
Épithélium squameux stratifié

#### Description

L'anticorps primaire monoclonal de souris CONFIRM Keratin (AE3) reconnaît les cytokératines communes de 65-67, 64, 59, 56 et 52 kD. Cet anticorps est un marqueur utilisé pour distinguer les carcinomes des tumeurs non épithéliales.

#### Références

1. Pinkus GS, et al., J. Histochem and Cytochem. 33(5): 465-473, 1985.
2. Weiss RA, et al., J Cell Biol. 98(4): 1397-1406, 1984.
3. Tseng SC, et al., Cell. 30(2): 361-372, 1982.
4. Woodcock-Mitchell J, et al., J Cell Biol. 95(2 pt 1):580-588, 1982.



### Cytokératine

#### (CAM 5.2)

<b>Référence</b>	790-4555 <a href="#">06478425001</a>
<b>Type</b>	Monoclonal de souris
<b>Témoin</b>	Carcinome du pancréas et côlon
<b>Localisation</b>	Cytoplasmique
<b>Quantité</b>	50 tests
<b>Isotype</b>	IgG

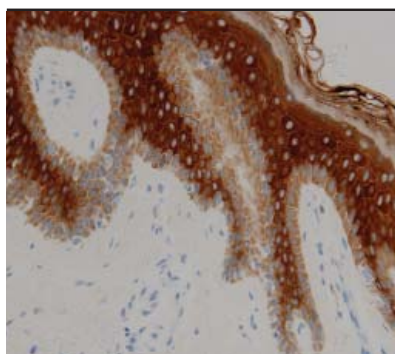
Adénocarcinome du côlon

### Description

L'anticorps primaire monoclonal de souris cytokératine (CAM 5.2) est dirigé contre les variantes cytokératine 7 et cytokératine 8 présentes sur l'épithélium sécrétoire, mais pas sur l'épithélium stratifié squameux. Cet anticorps peut être utilisé pour aider à l'identification des tumeurs d'origine épithéliale telles que le cancer colorectal, pancréatique et le cancer pulmonaire non à petites cellules, et pour distinguer les carcinomes des autres tumeurs malignes d'origine non épithéliale.

### Références

- |  |   |
|--|---|
| 1. Makin CA, et al. J Clin Pathol. 37:975-983, 1984. | 3. Quinlan RA, et al. Annals New York Academy of Sciences. 282-306, 1985. |
| 2. Chu PG, et al. Endocr Pathol. 20:1-10, 2009.      |   |



### Cytokératine (Pan)

#### (AE1/AE3 & PCK26)

<b>Référence</b>	760-2595 <a href="#">05267145001 (50 tests)</a> ; 760-2135 <a href="#">05266840001 (250 tests)</a>
<b>Type</b>	Monoclonal de souris
<b>Témoin</b>	Intestin, foie
<b>Localisation</b>	Cytoplasmique
<b>Quantité</b>	50 tests (760-2595), 250 tests (760-2135)
<b>Isotype</b>	IgG <sub>1</sub>

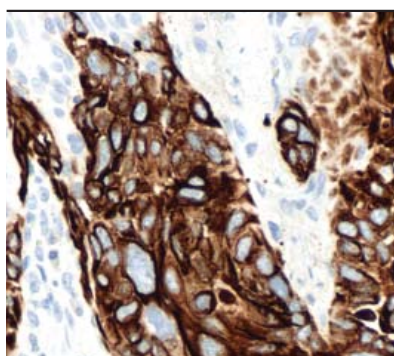
Peau

### Description

L'anticorps primaire monoclonal de souris Pan Cytokeratin (AE1/AE3/PCK26) peut être utilisé pour aider à identifier les cellules épithéliales normales et anormales, ainsi qu'à déterminer la lignée de tumeurs malignes mal différenciées. Ce cocktail d'anticorps reconnaît la plupart des cytokératines acides et toutes les cytokératines basiques, et par conséquent entraîne une coloration utile pour presque tous les tissus épithéliaux et les tumeurs qui en dérivent. Anti-Pan Keratin (AE1/AE3/PCK26) se lie spécifiquement aux antigènes localisés dans le cytoplasme des cellules épithéliales simples et complexes ; il réagit avec les cytokératines de 40, 48, 50, 50' et 56,5 kD de la sous-famille acide, et avec les cytokératines de 65-67, 64, 59, 58, 56 et 52 kD de la sous-famille basique.

### Références

- |   |  |
|---|--|
| 1. Woodcock-Mitchell J, et al., J Cell Biol. 95(2 pt 1): 580-588, 1982. | 4. Sun TT, et al., Annals NY Acad Sci. 455: 307-329, 1985. |
| 2. Spagnolo DV, et al., Am J Clin Pathol. 84(6):697-704, 1985.          | 5. Eichner R, et al., Cell Biol. 98(4): 1388-1396, 1984.   |
| 3. Lane EB, et al., Nature. 356(6366): 244-246, 1992.                   |  |



### Cytokératine 5/6

(D5/16B4)

<b>Référence</b>	790-4554 06478441001
<b>Type</b>	Monoclonal de souris
<b>Témoin</b>	Prostate et amygdale
<b>Localisation</b>	Cytoplasmique
<b>Quantité</b>	50 tests
<b>Isotype</b>	IgG <sub>1</sub>

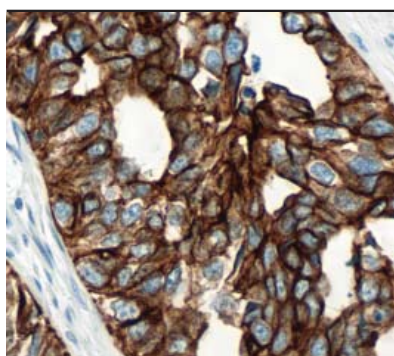
Carcinome squameux du poumon

#### Description

L'anticorps primaire monoclonal de souris cytokératine 5/6 (D5/16B4) détecte les cytokératines 5 et 6. La cytokératine 5 est exprimée dans diverses cellules épithéliales et mésothéliales, tandis que la cytokératine 6 est exprimée par l'épithélium squameux prolifératif. Cet anticorps entraîne une coloration cytoplasmique et peut être utilisé pour aider à l'identification d'un carcinome squameux, ainsi que pour distinguer les mésothéliomes malins des adénocarcinomes du poumon. La détection par cet anticorps de la cytokératine 5 dans les cellules myoépithéliales peut également servir pour aider à la détermination des tumeurs malignes du sein et de la prostate.

#### Références

1. Pu RT, et al. Diagn Cytopathol. 36:20-25, 2008.
2. Moll R, et al. Cell. 31:11-24, 1982.
3. Clover J, et al. AntiHistopathol. 31:140-143, 1997.
4. Cury PM, et al. Mod. Pathol. 13:107-112, 2000.
5. Otterbach F, et al. Histopathol. 37:232-240, 2000.
6. Trokov K, et al. Am J Clin Pathol. 132:211-220, 2009.
7. Chu PG, et al. Mod Pathol. 15:6-10, 2002.



### Cytokératine 7, CONFIRM

(SP52)

<b>Référence</b>	790-4462 05986818001
<b>Type</b>	Monoclonal de lapin
<b>Témoin</b>	Épithélium glandulaire et canalaire du poumon, glandes salivaires, tissu mammaire
<b>Localisation</b>	Cytoplasmique
<b>Quantité</b>	50 tests

Adénocarcinome du poumon

#### Description

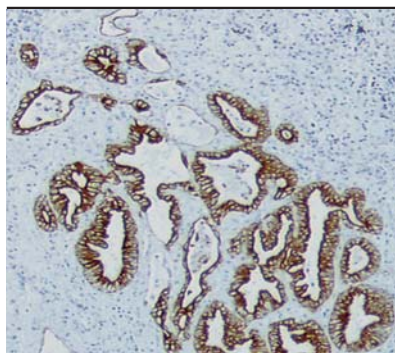
L'anticorps primaire monoclonal de lapin CONFIRM Cytokeratin 7 (SP52) est dirigé contre une protéine cytokératine de type II exprimée par la plupart des épithéliums de transition, canaux et glandulaires. La cytokératine 7 est localisée dans le cytoplasme. Cet anticorps peut être utilisé pour aider à l'identification des cellules normales et néoplasiques d'origine épithéliale ovarienne, pulmonaire et mammaire, qui expriment la cytokératine 7, et à distinguer les lignées coliques et prostatiques qui en revanche ne produisent pas de cytokératine 7.

#### Références

1. Wick MR, et al., Immunohistology of the Gastrointestinal Tract, Pancreas, Bile Ducts, Gallbladder and Liver. Diagnostic Immunohistochemistry, 2nd Edition. Philadelphia, PA. Elsevier Inc; 2006:464-465.
2. Rubin BP, et al., Euro J of Cancer Prevent. 10:77-82, 2001.
3. Wang HL, et al., Am J Surg Path. 25 (11):1380-1387, 2001.
4. Inamura K., et al., Am J Surg Pathol. 29:660-665, 2005.
5. Rekh B, et al., Diagn Pathol. 3:39-45, 2008.
6. Rossi G, et al., J Thorac Oncol. 2:115-120, 2007.
7. Sack MJ, et al., Diagn Cytopathol. 16:132-136, 1997.
8. Tsao SC, et al., Kaohsiung J Med Sci. 23:325-331, 2007.

Référence Ventana en noir, référence Roche en bleu. Les produits figurant sur cette page sont à usage en diagnostic *in vitro* (IVD).





### Cytokératine 8

(35betaH11)

<b>Référence</b>	760-2637 <a href="#">05267471001</a>
<b>Type</b>	Monoclonal de souris
<b>Témoin</b>	Prostate
<b>Localisation</b>	Cytoplasmique
<b>Quantité</b>	50 tests
<b>Isotype</b>	IgM/K

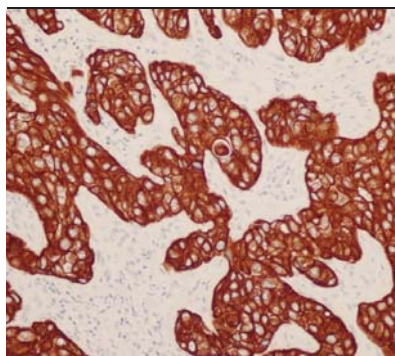
Adénocarcinome

#### Description

La cytokératine 8 réagit avec la majorité des tissus épithéliaux et des tumeurs épithéliales ; les tumeurs non squameuses sont positives pour cet anticorps, tandis que les tumeurs squameuses sont négatives. Cet anticorps colore les adénocarcinomes du sein, des ovaires, du tractus gastro-intestinal, de la thyroïde, du pancréas, du canal biliaire et des glandes salivaires. Cet anticorps ne réagit pas avec le muscle squelettique ni les cellules nerveuses.

#### Références

1. Gown AM, et al., Am J Pathol. 114:309, 1984.
2. O'Malley FP, et al., Virch Arch. A. 417:191, 1990.
3. Mahul B, et al., Arch Pathol Lab Med. Vol. 118:260-264, 1994.
4. Wojno KJ, et al., Am J Surg Pathol. 19(3):251-60, 1995.



### Cytokératine 8 & 18

(B22.1 & B23.1)

<b>Référence</b>	760-4344 <a href="#">05269776001</a>
<b>Type</b>	Monoclonal de souris
<b>Témoin</b>	Pancréas, prostate, glandes salivaires
<b>Localisation</b>	Cytoplasmique
<b>Quantité</b>	50 tests
<b>Isotype</b>	IgG <sub>1</sub>

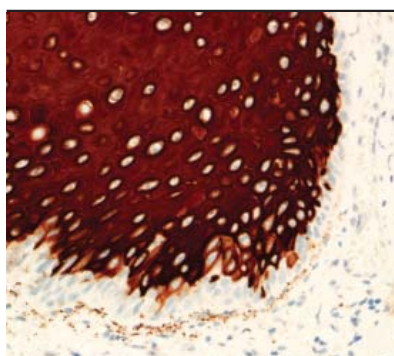
Sein

#### Description

L'anticorps primaire monoclonal de souris Cytokératines 8 & 18 (B22.1 & B23.1) est un mélange de deux anticorps primaires monoclonaux de souris. Les cytokératines 8 et 18 se trouvent dans la plupart des épithéliums simples, par exemple la thyroïde, les seins, le tractus gastro-intestinal et les voies respiratoires. Les adénocarcinomes et la plupart des carcinomes squameux de type non kératinisant sont colorés, tandis que les carcinomes squameux de type kératinisant ne le sont pas. Ce mélange est utilisé lorsque l'on essaye de démontrer la présence de cellules de Paget ; il y a très peu de kératine 18 dans l'épiderme normal et par conséquent, seules les cellules de Paget sont colorées. Cette approche facilite l'interprétation en utilisant des immunocolorations, et elle est plus sensible que l'histochimie de la mucine.

#### Références

1. Angus B, et al., Journal of Pathology. 155:377-384, 1987.
2. Corson JM., Pathol Annual 21 (part 2). 47-81, 1986.
3. Sasaki M et al., Histopathology. 32(3):199-208, 1998.



### Cytokératine 10

(SP99)

<b>Référence</b>	790-4562 06425135001
<b>Type</b>	Monoclonal de lapin
<b>Témoin</b>	Peau
<b>Localisation</b>	Cytoplasmique
<b>Quantité</b>	50 tests
<b>Isotype</b>	Ig de lapin

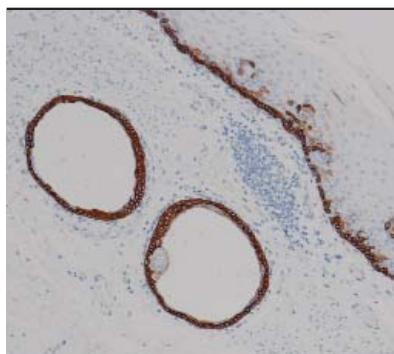
Carcinome squameux rectal

#### Description

L'anticorps primaire monoclonal de lapin cytokératine 10 (SP99) est dirigé contre la cytokératine 10, une variante de 56,5 kD de la famille des cytokératines de type 1. La cytokératine 10 est exprimée dans l'épithélium stratifié kératinisant, mais elle est absente de la couche basale dans divers organes, y compris la peau. L'anticorps cytokératine 10 (SP99) entraîne une coloration cytoplasmique et peut être utilisé en tant qu'aide dans l'identification des carcinomes squameux bien différenciés du col de l'utérus et de l'anus.

#### Références

1. Moll R, et al. Cell. 31:11-24, 1982.
2. Fillies T, et al. BMC Can. 6:1186-1194, 2006.
3. Parks JM, et al. Human Path. 41:431-437, 2010.



### Cytokératine 14

(LL002)

<b>Référence</b>	760-4251 05269113001
<b>Type</b>	Monoclonal de souris
<b>Témoin</b>	Muqueuse squameuse, carcinome squameux
<b>Localisation</b>	Cytoplasmique
<b>Quantité</b>	50 tests
<b>Isotype</b>	IgG <sub>3</sub>

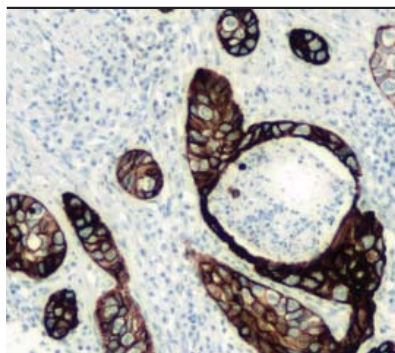
Muqueuse squameuse

#### Description

La cytokératine 14 est un polypeptide de 50 kD qui se trouve dans les cellules basales des épithéliums squameux, de certains épithéliums glandulaires, ainsi que dans les cellules myoépithéliales et mésothéliales. L'anticorps primaire monoclonal de souris cytokératine 14 (LL002) est d'une utilité prouvée pour distinguer les carcinomes à cellules squameuses des autres tumeurs épithéliales. Cet anticorps s'est aussi avéré utile pour séparer les tumeurs oncocytaires du rein de leurs homologues rénaux, ainsi que pour déterminer les carcinomes métaplasiques du sein.

#### Références

1. Reis-Filho JS, et al., Appl Immunohistochem Mol Morphol. 11(1):1-8, 2003.
2. Chu PG, et al., Histopathology. 39(1):9-16, 2001.
3. Chu PG, et al., Histopathology. 39(5):455-62, 2001.
4. Dabbs DJ, et al., Diagnostic Immunohistochemistry, Churchill-Livingstone, Philadelphia, 2002; 166-176.



### Cytokératine 17

(SP95)

Référence	790-4560 <a href="#">06373658001</a>
Type	Monoclonal de lapin
Témoin	Carcinome du col de l'utérus, peau normale
Localisation	Membranaire, cytoplasmique
Quantité	50 tests
Isotype	Ig de lapin

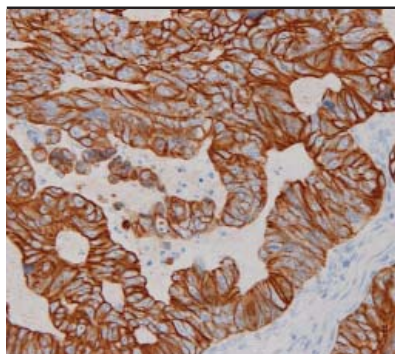
Carcinome squameux rectal

#### Description

L'anticorps primaire monoclonal de lapin cytokératine 17 (SP95) est dirigé contre cette protéine qui s'exprime dans les cellules basales des épithéliums complexes, des épithéliums glandulaires avec une composante myoépithéliale, et des épithéliums de transition et pseudostratifiés. Cet anticorps peut être utilisé pour aider à identifier des carcinomes squameux dans divers tissus, y compris le col de l'utérus, le poumon et la cavité buccale.

#### Références

1. Troyanovsky S, et al. J Cell Sci. 93:419-426, 1989.
2. Quinlan R, et al. Ann NY Acad Sci. 455:282-306, 1985.
3. Martens J, et al. Anticancer Res. 24:771-776, 2004.
4. Toyoshima T, et al. J Cancer Res. Clin. Oncol. 134:515-521, 2008.
5. Blobel G, Moll, et al. Cell Pathol. 45:407-429, 1984.
6. Rijn M, et al. Am J Pathol. 161,6:1991-1996, 2002.



### Cytokératine 19

(A53-B/A2.26)

Référence	760-4281 <a href="#">05269440001</a>
Type	Monoclonal de souris
Témoin	Carcinome du côlon et de la thyroïde
Localisation	Cytoplasmique
Quantité	50 tests
Isotype	IgG <sub>1</sub>

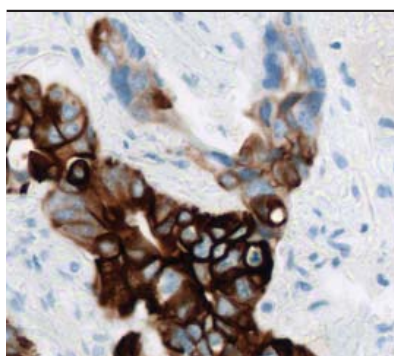
Carcinome du côlon

#### Description

L'anticorps primaire monoclonal de souris cytokératine 19 (A53-B/A2.26) réagit avec un grand éventail de tissus épithéliaux et de tumeurs épithéliales, y compris les adénocarcinomes du côlon, de l'estomac, du pancréas, du tractus biliaire, du foie et du sein. Son application la plus utile est peut-être l'identification du carcinome thyroïdien de type papillaire, bien que le carcinome folliculaire soit aussi marqué par cet anticorps dans 50 à 60 % des cas.

#### Références

1. Zubair W, et al., Hum Pathol. 30:1166-1171, 1999.
2. Judkins AR, et al., Hum Pathol. 30:1373-1376, 1999.
3. Cerilli LA, et al., Am J Clin Pathol. 118:186-193, 2002.
4. Nasser SM, et al., Cancer (Cancer Cytopathol). 90:307-11, 2000.



### Cytokératine 20, CONFIRM

(SP33)

<b>Référence</b>	790-4431 <a href="#">05587760001</a>
<b>Type</b>	Monoclonal de lapin
<b>Témoin</b>	Adénocarcinome du côlon
<b>Localisation</b>	Cytoplasmique
<b>Quantité</b>	50 tests

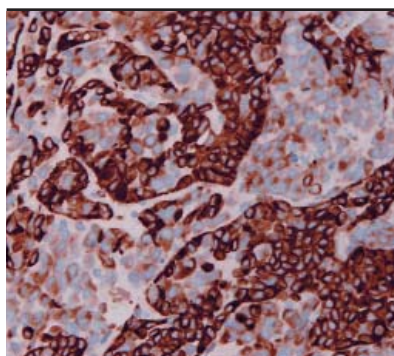
Carcinome du côlon

#### Description

L'anticorps primaire monoclonal de lapin CONFIRM Cytokeratin 20 (SP33) est dirigé contre une protéine cytokératine de type I des entérocytes matures et des cellules caliciformes de la muqueuse gastrique ou intestinale. Cet anticorps entraîne une coloration cytoplasmique et peut être utilisé pour aider à identifier les cellules normales exprimant la cytokératine 20 et les cellules néoplasiques issues de l'épithélium du côlon.

#### Références

1. Zhou Q, et al., Mol Biology of the Cell. 14(7):2959-71, 2003.
2. Moll R, et al., Differentiation. 53(2):75-93, 1993.
3. Moll R, et al., Am J of Path. 140(2):427-447, 1992.
4. Chan J, et al., Am J of Surg Path. 21(2):226-234, 1997.
5. Zhou Q, et al., J of Biol Chem. 281(24):16453-16461, 2006.
6. Kyung-Joon M, et al., Path Res and Practice. 202(7):531-535, 2006.
7. Tot T, Annals of Diag Path. 3(6):350-356, 1999.



### Desmine, CONFIRM

(DE-R-11)

<b>Référence</b>	760-2513 <a href="#">05267005001</a>
<b>Type</b>	Monoclonal de souris
<b>Témoin</b>	Intestin
<b>Localisation</b>	Cytoplasmique
<b>Quantité</b>	50 tests
<b>Isotype</b>	IgG <sub>1</sub> /K

Rhabdomyosarcome

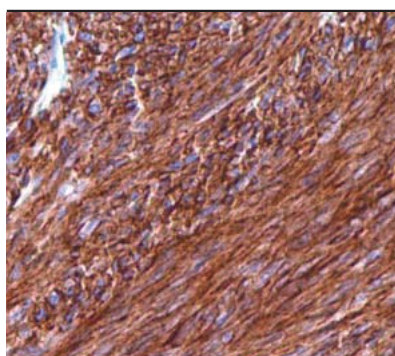
#### Description

L'anticorps primaire monoclonal de souris CONFIRM Desmin (DE-R-11) permet d'identifier les cellules musculaires normales et les tumeurs myogéniques exprimant l'antigène de la desmine. L'application la plus évidente des anticorps desmine consiste à caractériser des tumeurs myogéniques ou à reconnaître des lignées de cellules myogéniques dans des sarcomes mixtes. Parmi les tumeurs, les carcinomes ne réagissent pas avec les anticorps desmine, tandis que les léiomyosarcomes et les rhabdomyosarcomes sont positifs et d'autres sarcomes (avec certaines exceptions) sont négatifs. Les sarcomes myogéniques peuvent être classifiés comme tels à cause de leur coloration par des anticorps contre l'actine et la desmine (spécifiques) du muscle. Compte tenu des sensibilités et spécificités différentes de ces anticorps, il vaut mieux les utiliser en association.

#### Références

1. Debus E, et al., EMBO J. 2(12): 2305-2312, 1983.
2. True LD, Atlas of Diag Immuno Histopathol Lippincott Co Philadelphia, 1990.
3. Taylor RT, et al., Immunomicroscopy 2nd Edition, WB Saunders Co., Philadelphia, 1994.



**DOG1**

(SP31)

<b>Référence</b>	760-4590 <a href="#">06433109001</a>
<b>Type</b>	Monoclonal de lapin
<b>Témoin</b>	GIST (tumeur stromale gastro-intestinale)
<b>Localisation</b>	Cytoplasmique, membranaire
<b>Quantité</b>	50 tests

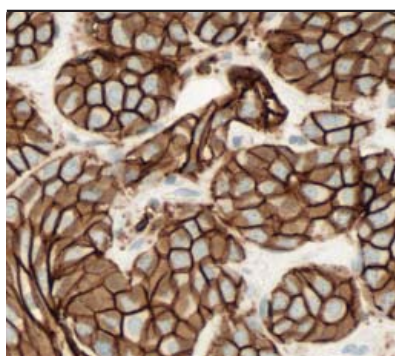
GIST (tumeur stromale gastro-intestinale)

**Description**

L'anticorps primaire monoclonal de lapin DOG1 (SP31) est utilisé en tant qu'aide pour l'identification et le diagnostic des tumeurs stromales gastro-intestinales (GIST) dans le cadre d'une évaluation réalisée par un pathologiste qualifié en fonction de la batterie d'anticorps, des antécédents cliniques du patient et des autres tests diagnostiques.

**Références**

1. Espinosa, I et al. Am J Surg Pathol. 32(2):210-8, 2008.
2. Miwa, S et al. Mutation. J Gastroen-terol. 43(7):531-7, 2008.
3. Parfitt, JR et al. Gastrointestinal. Histopathology. 52(7):816-23, 2008.
4. West, RB et al. Am J Pathol. 165(1):107-13, 2004.

**E-Cadherine**

(36)

<b>Référence</b>	790-4497 <a href="#">05905290001</a>
<b>Type</b>	Monoclonal de souris
<b>Témoin</b>	Carcinome intracanalair non infiltrant
<b>Localisation</b>	Membranaire
<b>Quantité</b>	50 tests
<b>Isotype</b>	IgG <sub>2a</sub> /k

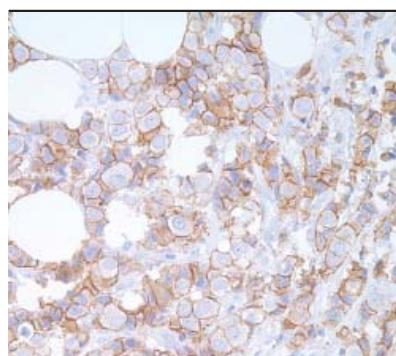
Carcinome mammaire

**Description**

L'anticorps primaire monoclonal de souris E-cadherine (36) est dirigé contre la protéine humaine transmembranaire E-cadherine qui s'exprime en tant que partie du complexe d'adhésion intercellulaire dans les tissus épithéliaux. La réduction ou la perte d'expression de l'E-cadherine est associée au carcinome invasif et peut-être à des métastases dans divers carcinomes. Cet anticorps peut être utilisé pour aider à distinguer un carcinome lobulaire *in situ* et/ou invasif d'un carcinome canalaire *in situ* et/ou invasif du sein.

**Références**

1. Berx G, et al., Breast Cancer Res. 3:289-293, 2001.
2. Van Roy F, et al., Cell Mol Life Sci. 65:3756-3788, 2008.
3. Beavon IRG., European Journal of Cancer. 36:1607-1620, 2000.
4. Siitonen SM, et al., Am J Clin Pathol. 105: 394-402, 1996.
5. Geza A, et al., Am J Clin Pathol. 115:85-98, 2001.
6. Choi YJ, et al., Mod Pathol. 21:1224-1237, 2008.
7. Qureshi HS, et al., Am J Clin Path. 125:377-385, 2006.
8. Kowalski PJ, et al., Breast Cancer Res. 5:R217-R222, 2003.
9. Abutaily AS, et al., J Pathol. 201:355-362, 2003.



### E-Cadhérine

(EP700Y)

Référence	760-4440 05973872001
Type	Monoclonal de lapin
Témoin	Pancréas, adénocarcinome du poudon, seins
Localisation	Membranaire
Quantité	50 tests
Isotype	IgG

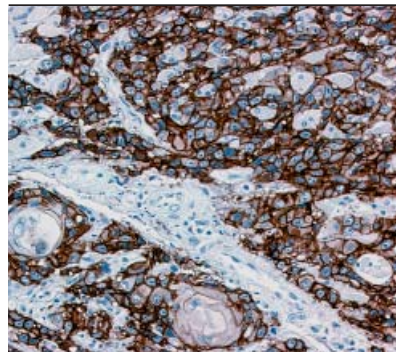
Carcinome mammaire infiltrant

#### Description

L'E-cadhérine est une protéine d'adhésion qui s'exprime dans les cellules de lignée épithéliale. L'anticorps primaire monoclonal de lapin E-cadhérine (EP700Y) colore positivement l'épithélium glandulaire ainsi que les adénocarcinomes du poudon, du tractus gastro-intestinal et des ovaires. Il s'est avéré utile pour distinguer l'adénocarcinome du mésothéliome. Une autre application consiste à différencier le cancer canalaire (qui est positif pour l'anticorps) du cancer lobulaire du sein. On a également démontré qu'il donnait une coloration positive dans certains carcinomes thyroïdiens. On a suggéré que la perte d'expression d'E-cadhérine était un mauvais facteur pronostic dans le carcinome mammaire et le carcinome du poudon non à petites cellules.

#### Références

1. Krishnadath KK, et al., J Pathol. 182(3):331-8, 1997.
2. Schofield K, et al., Cancer. 81(5):293-8, 1997.
3. Han AC, et al., Hum Pathol. 28(6):641-5, 1997.
4. Simsir A, et al., Diagn Cytopathol. 20(3):125-30, 1999.
5. Han AC, et al., Cancer. 87(2):83-6, 1999.
6. Lear MP, et al., Histopathology. 32(3):209-16, 1998.
7. Karayiannakis AG, et al., Hepatogastroenterology. 45(24):2437-42, 1998.
8. Peralta Soler A, et al., Hum Pathol. 28(6):734-9, 1997.
9. Abutaily AS, et al., J Clin Pathol. 55(9):662-8, 2002.
10. Wahed A, et al., Ann Diagn Pathol. 6(6):349-51, 2002.
11. Acs G, et al., Am J Clin Pathol. 115(1):85-98, 2001.



### EGFR (Epidermal Growth Factor Receptor) (Récepteur du facteur de croissance épidermique), CONFIRM

(3C6)

Référence	790-2988 05278341001
Type	Monoclonal de souris
Témoin	Adénocarcinome colorectal, peau
Localisation	Membranaire
Quantité	50 tests
Isotype	IgG <sub>1</sub>

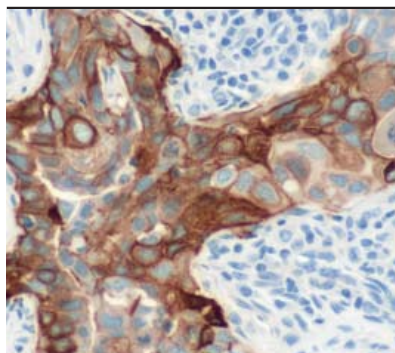
Carcinome squameux

#### Description

L'anticorps primaire monoclonal de souris CONFIRM Epidermal Growth Factor Receptor (EGFR) (3C6) est dirigé contre le domaine extracellulaire du récepteur du facteur de croissance épidermique humain (EGFR), une protéine de 170 kD. L'anticorps reconnaît aussi la variante de type III, une protéine de 145 kD. EGFR est un membre de la famille HER des récepteurs à activité tyrosine kinase. Également connu comme HER1, EGFR est structurellement apparenté à HER2, HER3 et HER4. Les membres de cette famille sont capables de former des hétérodimères pour déclencher la transduction du signal. EGFR s'exprime à de bas niveaux dans la plupart des tissus épithéliaux normaux, mais il peut être surexprimé dans les cancers du sein, du cerveau, de la vessie, du poudon, de l'estomac, de la tête et du cou, de l'œsophage, du col de l'utérus, des ovaires, de l'endomètre et particulièrement dans les carcinomes squameux.

#### Références

1. Ciardello F, et al., Eur J Cancer. 39:1348-54, 2003.



### EGFR (Epidermal Growth Factor Receptor), CONFIRM (5B7)

<b>Référence</b>	790-4347 <a href="#">05278457001</a>
<b>Type</b>	Monoclonal de lapin
<b>Témoin</b>	Peau, carcinome du poudon non à petites cellules, placenta
<b>Localisation</b>	Cytoplasmique, membranaire
<b>Quantité</b>	50 tests

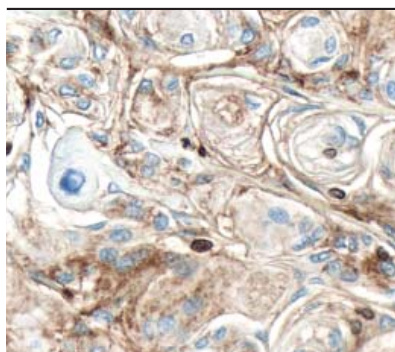
Carcinome squameux, poudon

#### Description

L'anticorps primaire monoclonal de lapin CONFIRM EGFR (5B7) est produit contre un peptide synthétique de l'extrémité carboxylique (cytoplasmique) de l'EGFR. L'épitope reconnu par l'EGFR (5B7) est associé à un domaine intracellulaire d'EGFR et par conséquent la coloration EGFR avec des anticorps qui reconnaissent des domaines extracellulaires ne correspond pas toujours à la coloration obtenue avec EGFR (5B7). EGFR est un membre de la famille HER des récepteurs à activité tyrosine kinase. Également connu comme HER1, EGFR est structurellement apparenté à HER2, HER3 et HER4. Les membres de cette famille de protéines sont capables de former des hétérodimères pour déclencher la transduction du signal. EGFR s'exprime à de bas niveaux dans la plupart des tissus épithéliaux normaux, mais il peut être surexprimé dans les cancers du sein, du cerveau, de la vessie, du poudon, de l'estomac, de la tête et du cou, de l'œsophage, du col de l'utérus, des ovaires, de l'endomètre et particulièrement dans les carcinomes squameux.

#### Références

1. Ciardello F, et al., Eur J Cancer. 39:1348-54, 2003.



### EMA (Epithelial Membrane Antigen), CONFIRM (E29)

<b>Référence</b>	790-4463 <a href="#">05878900001</a>
<b>Type</b>	Monoclonal de souris
<b>Témoin</b>	Pancréas normal
<b>Localisation</b>	Cytoplasmique, membranaire
<b>Quantité</b>	50 tests
<b>Isotype</b>	IgG <sub>2a</sub>

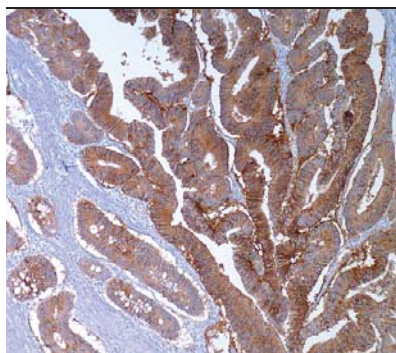
Sein, carcinome canalaire

#### Description

L'anticorps primaire monoclonal de souris CONFIRM EMA (E29) est dirigé contre un antigène de la membrane épithéliale exprimé sur la surface apicale de l'épithélium glandulaire. Cette glycoprotéine est principalement localisée sur la membrane des tissus normaux et tumoraux, bien qu'elle puisse présenter une localisation cytoplasmique dans des carcinomes moins différenciés. Cet anticorps peut être utilisé pour aider à identifier un antigène de la membrane épithéliale dans les adénocarcinomes issus de l'épithélium sécrétoire, les mésothéliomes malins, les carcinomes à cellules rénales et les méningiomes.

#### Références

- |  |  |
|--|--|
| 1. Heyderman E, et al., Br J Cancer. 52:355-361, 1985. | 5. Murakata LA, et al., Mod Pathol. 13:874-881, 2000.        |
| 2. Cordell J, et al., Br J Cancer. 52:347-354, 1985.   | 6. Schnitt SJ, et al., Amer J Surg Pathol. 10:640-649, 1986. |
| 3. Metze D, et al., J Cutan Pathol. 23:518-529, 1996.  | 7. Gupta RK, et al., Cytopathol. 11:312-321, 2000.           |
| 4. Dejmek A, et al., Cytopathol. 11:8-17, 2000.        |  |



### Ep-CAM/Antigène spécifique de l'épithélium

(Ber-EP4)

<b>Référence</b>	760-4383 05435676001
<b>Type</b>	Monoclonal de souris
<b>Témoin</b>	Épithélium prismatique, adénocarcinome
<b>Localisation</b>	Cytoplasmique
<b>Quantité</b>	50 tests
<b>Isotype</b>	IgG <sub>1</sub> /K

Carcinome du côlon

#### Description

Ep-CAM se compose de deux glycoprotéines de 34 et 39 kD, parfois appelées antigène épithélial, antigène spécifique de l'épithélium et glycoprotéine épithéliale. Les glycoprotéines sont localisées à la surface de la membrane cellulaire et dans le cytoplasme de presque toutes les cellules épithéliales, à l'exception de la plupart des épithéliums squameux, des hépatocytes, des cellules rénales de l'épithélium tubulaire proximal, des cellules pariétales de l'estomac et des cellules myoépithéliales. Cependant, on peut observer une positivité focale dans la couche basale de l'épithélium squameux endodermique (p. ex. les amygdales palatines) et du mésoderme (p. ex. le col de l'utérus). Dans les lésions hépatiques comme l'hépatite et la cirrhose, les hépatocytes deviennent fréquemment positifs pour Ep-CAM. Les cellules mésothéliales normales sont négatives pour Ep-CAM, mais peuvent exprimer une réaction ponctuelle lorsqu'elles subissent des changements réactifs. Les cellules mésenchymateuses et les cellules de la crête neurale sont négatives, à l'exception des neurones olfactifs.

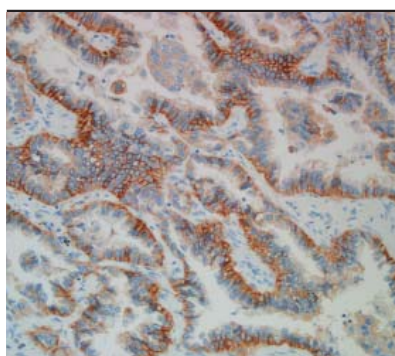
Ep-CAM est exprimé dans une vaste majorité des adénocarcinomes de la plupart des sites (50-100 % dans diverses études) ainsi que des tumeurs neuroendocrines, y compris les carcinomes à petites cellules. Les carcinomes à cellules rénales et les carcinomes hépatocellulaires sont colorés dans environ 30 % des cas. Les carcinomes squameux de l'endoderme et du mésoderme sont habituellement positifs pour Ber-EP4, alors que ceux de l'ectoderme sont négatifs. Les carcinomes basocellulaires et basosquameux sont positifs pour Ber-EP4 dans presque tous les cas. Les papillomes et carcinomes du plexus choroïde sont habituellement négatifs. Les mésothéliomes malins (épithélioïdes et biphasiques) sont positifs pour Ep-CAM dans 4 à 26 % des cas. La coloration est habituellement ponctuelle, mais peut être parfois répandue. Le sarcome synovial (épithélioïde et biphasique) et les tumeurs desmoplastiques à petites cellules rondes sont positifs pour Ep-CAM dans la plupart des cas.

Le séminome, le carcinome embryonnaire, les tumeurs vitellines et le choriocarcinome sont positivement colorés par Ber-EP4 dans une proportion mineure des cas. Parmi les tumeurs du système nerveux, la positivité pour Ep-CAM est uniquement observée dans le neuroblastome olfactif. Ep-CAM peut apporter une aide considérable pour le diagnostic différentiel des tumeurs des cavités péritonéale et pleurale. L'absence de réactivité dans la majorité des mésothéliomes malins peut être utilisée, au sein d'un panel approprié, pour différencier ce type de tumeur de l'adénocarcinome.

#### Références

1. Latza, et al., J Clin Pathol. 43:213-19, 1990.
2. Ma CK, et al., Am J Clin Pathol. 99(5):551-7, 1993.
3. Carella R, et al., Am J Surg Pathol. 25(1):43-50, 2001.
4. Ordóñez NG, Adv Anat Pathol. 13(1):16-25, 2006.
5. Ordóñez NG, Mod Pathol. 19(3):417-28, 2006.
6. Ordóñez NG, Am J Clin Pathol. 109(1):85-89, 1998.





### Epithelial Related Antigen (antigène de type épithélial) (MOC-31)

<b>Référence</b>	790-4561 <a href="#">06374409001</a>
<b>Type</b>	Monoclonal de souris
<b>Témoin</b>	Rein, sein, poumon et côlon
<b>Localisation</b>	Membranaire, cytoplasmique
<b>Quantité</b>	50 tests
<b>Isotype</b>	IgG <sub>1</sub>

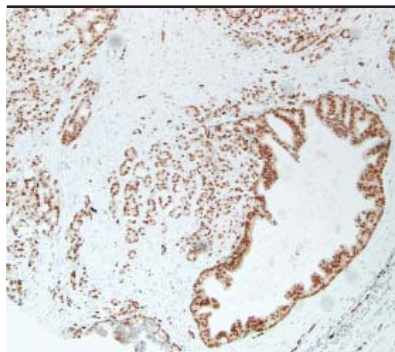
Adénocarcinome du poumon

#### Description

L'anticorps primaire monoclonal de souris Epithelial Related Antigen (MOC-31) est dirigé contre la molécule d'adhésion cellulaire épithéliale de 40 kD, l'antigène de type épithélial, exprimé dans la plupart des cellules épithéliales normales de tissus comprenant le poumon, le sein, le pancréas et le côlon. Cet anticorps entraîne une coloration membranaire et/ou cytoplasmique dans les tissus néoplasiques et normaux. L'anticorps Epithelial Related Antigen (MOC-31) peut être utilisé pour aider à différencier les adénocarcinomes des mésothéliomes du poumon.

#### Références

1. Oates J, et al. Histopathology. 36:341-347, 2000.
2. Morrison C, et al. Mod Pathol. 15:1279-1287, 2002.
3. Hecht JL, et al. Cancer Cytopathology. 108:56-59, 2005.
4. De Leij L, et al. Int J Cancer Suppl. 8:60-63, 1994.
5. Stauss H, et al. CRC Press; 2003.
6. Ordoñez N. Am J Surg Pathol. 27:1031-1051, 2003.
7. Pu RT, et al. Diagnostic Citopathology. 36:20-25, 2007.
8. Porcell AI, et al. Mod Pathol. 13:773-778, 2000.
9. King JE, et al. Histopathology. 48:223-232, 2006.
10. Winter MJ, et al. Am J Pathol. 163:2139-2148, 2003.
11. Bartnetson RJ, et al. Am J Clin Pathol. 125:67-76, 2006.



### ERG (EPR3864)

<b>Référence</b>	790-4576 <a href="#">06478450001</a>
<b>Type</b>	Monoclonal de lapin
<b>Témoin</b>	Rate
<b>Localisation</b>	Nucléaire, cytoplasmique
<b>Quantité</b>	50 tests

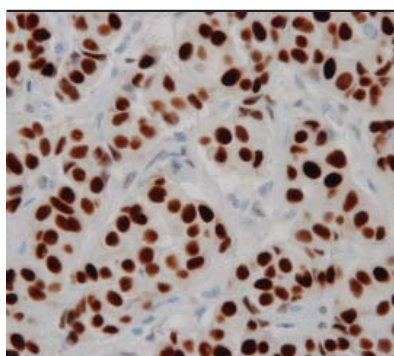
Carcinome de la prostate

#### Description

L'anticorps primaire monoclonal de lapin ERG (EPR3864) est dirigé contre l'extrémité C-terminale du facteur de régulation transcriptionnelle ETS ; cet anticorps peut détecter aussi bien la protéine ERG de type sauvage que les formes tronquées résultant du réarrangement du gène ERG. Il entraîne une coloration nucléaire et peut être utilisé pour aider à l'identification des adénocarcinomes de la prostate, grâce à la détection de la forme tronquée d'ERG.

#### Références

1. Mehra R, et al. Mod Path, 20:538-544, 2007.
2. Perner S, et al. Am J Surg Pathol, 31:882-888, 2007.
3. Carver B, et al. Nature Genet. 41(5):619-624, 2009.
4. Mosquera J-M, et al. J Pathol. 212:91-101, 2007.
5. Park K, et al. Neoplasia12, (7):590-598, 2010.



### Estrogen Receptor (Récepteur des œstrogènes) (ER), CONFIRM (SP1)

<b>Référence</b>	790-4324 <a href="#">05278406001 (50 tests)</a> ; 790-4325 <a href="#">05278414001 (250 tests)</a>
<b>Type</b>	Monoclonal de lapin
<b>Témoin</b>	Sein
<b>Localisation</b>	Nucléaire
<b>Quantité</b>	50 tests (790-4324), 250 tests (790-4325)
<b>Isotype</b>	IgG

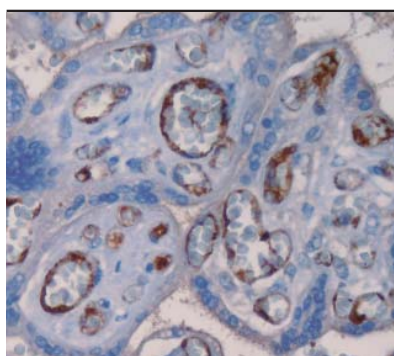
Carcinome lobulaire du sein

#### Description

L'anticorps primaire monoclonal de lapin CONFIRM Estrogen Receptor (ER) (SP1) est destiné à détecter qualitativement l'antigène du récepteur des œstrogènes (ER). L'anticorps ER (SP1) est dirigé contre un épitope présent sur la protéine ER humaine, localisée dans le noyau des cellules normales et néoplasiques qui expriment le récepteur des œstrogènes. Cet anticorps est indiqué pour aider à la gestion, au pronostic et à la prédiction des résultats de traitements pour le cancer du sein.

#### Références

- Huang Z, et al., Appl Immun Mol Morph. 13(1): 91-5, 2005.
- Stierer M, et al., Cancer Res and Treat. 36:11-21, 1995.
- PDQ. [http://icisun.nci.nih...t\\_cancer\\_Physician.html](http://icisun.nci.nih...t_cancer_Physician.html).
- Cheang M, et al., J Clin Oncol. 24:5637-5644, 2006.



### Factor VIII Related Antigen (Antigène apparenté au facteur VIII) (polyclonal)

<b>Référence</b>	760-2642 <a href="#">05267528001</a>
<b>Type</b>	Polyclonal de lapin
<b>Témoin</b>	Peau, placenta
<b>Localisation</b>	Cytoplasmique
<b>Quantité</b>	50 tests

Placenta

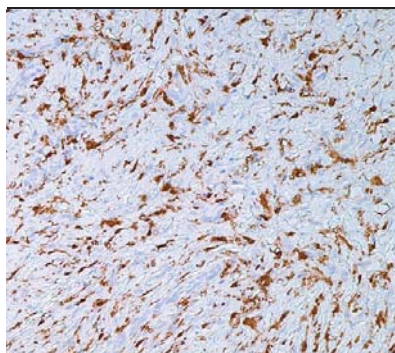
#### Description

L'anticorps primaire polyclonal de lapin contre l'Antigène apparenté au facteur VIII réagit avec les cellules endothéliales et les cellules néoplasiques du sang. Cet anticorps a aidé à établir la nature endothéliale de certaines lésions dont l'histogenèse était peu évidente, p. ex. le sarcome de Kaposi et le myxome cardiaque. Toutes les cellules endothéliales ne synthétisent (ou ne stockent) pas cette molécule ; par conséquent, il faut s'attendre à des exceptions et à ce que toutes les tumeurs de différenciation endothéliale (bénignes ou malignes) ne réagissent pas avec cet antigène.

#### Références

- Wick MR, et al., Lab Invest. 52:75A, 1985.
- Ansell J, et al., Cancer. 50:1506-1512, 1982.
- Bhawan J, et al., Cancer. 55:570-576, 1985.
- Fulling KH, et al., Cancer. 51:1107-1118, 1983.

Référence Ventana en noir, référence Roche en bleu. Les produits figurant sur cette page sont à usage en diagnostic *in vitro* (IVD).



### Factor XIIIa

(AC-1A1)

Référence	760-4384 <a href="#">05435692001</a>
Type	Monoclonal de souris
Témoin	Dermatofibrome
Localisation	Cytoplasmique
Quantité	50 tests
Isotype	IgG <sub>1</sub>

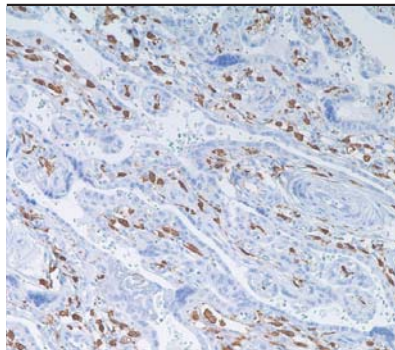
Dermatofibrome

#### Description

Le Facteur XIIIa est un proenzyme du sang qui a été identifié dans les plaquettes, les mégacaryocytes et cellules histiocytaires ou mésenchymateuses de type fibroblaste présentes dans le placenta, l'utérus et la prostate ; il est aussi présent dans les monocytes et les macrophages et dans les cellules dendritiques dermiques. L'anticorps Facteur XIIIa s'est avéré utile pour différencier les dermatofibromes (90 % +), les dermatofibrosarcomes protuberans (25 % +) et les mélanomes desmoplastiques malins (0 % +). On constate également la positivité pour le Facteur XIIIa dans les hémangioblastomes capillaires (100 % +), hémangiopéricytomes (100 % +), xanthogranulomes (100 % +), xanthomes (100 % +), carcinomes hépatocellulaires (93 % +), tumeurs glomiques (80 % +) et méningiomes (80 % +).

#### Références

1. Abenzo P, et al., Am J Dermatopathol. 15(5):429-34, 1993.
2. Anstey A, et al., Am J Dermatopathol. 16(1):14-22, 1994.
3. Glusac EJ, et al., Am J Surg Pathol. 18(6): 583-90, 1994.
4. Nemes Z, Hum Pathol. 23(7):805-10, 1992.
5. Demetris AJ, et al., Am J Surg Pathol. 21(3):263-70, 1997.
6. Horenstein MG, et al., Am J Surg Pathol. 24(7):996-1003, 2000.
7. Kraus MD, et al., Am J Dermatopathol. 23(2):104-11, 2001.
8. Dehner LP, Am J Surg Pathol. 27(5):579-93, 2003.
9. Deguchi M, et al., Arch Dermatol Res. 294(7):297-302, 2002.



### Factor XIIIa

(EP3372)

Référence	760-4441 <a href="#">05922470001</a>
Type	Monoclonal de lapin
Témoin	Dermatofibrome
Localisation	Cytoplasmique
Quantité	50 tests
Isotype	IgG

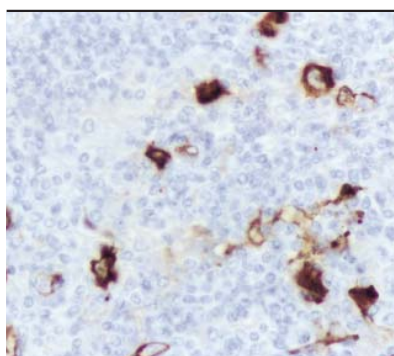
Placenta normal

#### Description

Le Facteur XIIIa est un proenzyme du sang qui a été identifié dans les plaquettes, les mégacaryocytes et cellules histiocytaires ou mésenchymateuses de type fibroblaste présentes dans le placenta, l'utérus et la prostate ; il est aussi présent dans les monocytes et macrophages et dans les cellules dendritiques dermiques. L'anticorps Facteur XIIIa s'est avéré utile pour différencier les dermatofibromes (90 % +), les dermatofibrosarcomes protuberans (25 % +) et les mélanomes desmoplastiques malins (0 % +). On constate également la positivité pour le Facteur XIIIa dans les hémangioblastomes capillaires (100 % +), hémangiopéricytomes (100 % +), xanthogranulomes (100 % +), xanthomes (100 % +), carcinomes hépatocellulaires (93 % +), tumeurs glomiques (80 % +) et méningiomes (80 % +).

#### Références

1. Abenzo P, et al., Am J Dermatopathol. 15(5):429-34, 1993.
2. Anstey A, et al., Am J Dermatopathol. 16(1):14-22, 1994.
3. Glusac EJ, et al., Am J Surg Pathol. 18(6):583-90, 1994.
4. Nemes Z, et al., Hum Pathol. 23(7):805-10, 1994.
5. Demetris AJ, et al., Am J Surg Pathol. 21(3):263-70, 1997.
6. Horenstein MG, et al., Am J Surg Pathol. 24(7):996-1003, 2000.
7. Kraus MD, et al., Am J Dermatopathol. 23(2):104-11, 2001.
8. Dehner LP, et al., Am J Surg Pathol. 27(5):579-93, 2003.
9. Deguchi M, et al., Arch Dermatol Res. 294(7):297-302, 2002.



### Fascin

(55k-2)

<b>Référence</b>	760-2702 05268117001
<b>Type</b>	Monoclonal de souris
<b>Témoin</b>	Lymphome de Hodgkin, ganglion lymphatique
<b>Localisation</b>	Cytoplasmique
<b>Quantité</b>	50 tests
<b>Isotype</b>	IgG <sub>1</sub>

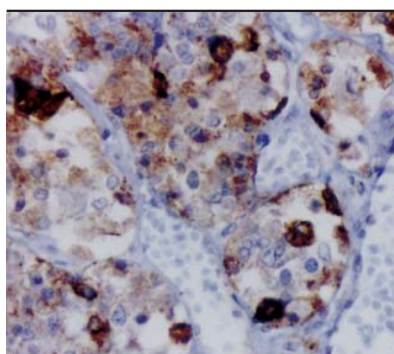
Lymphome de Hodgkin, cellules de Reed-Sternberg

### Description

L'anticorps primaire monoclonal de souris fascin (55k-2) est un marqueur très sensible des cellules de Reed-Sternberg et de leurs variantes dans la sclérose nodulaire et les formes de maladie de Hodgkin à cellularité mixte et à déplétion lymphocytaire. Les cellules lymphoïdes, myéloïdes et les plasmocytes sont toujours négatifs. Les anticorps fascin détectent la protéine dans les cellules dendritiques. Ce marqueur peut être utile pour distinguer la maladie de Hodgkin des lymphomes non hodgkiniens dans les cas difficiles. De plus, l'absence d'expression de la fascin dans les follicules néoplasiques des lymphomes folliculaires peut aider à distinguer ces lymphomes de l'hyperplasie folliculaire réactive, dans laquelle le nombre de cellules dendritiques folliculaires est normal ou augmenté.

### Références

1. Pinkus GS, et al., Am J of Pathol. 150(2):543-562, 1997.



### FSH (Follicle Stimulating Hormone) (hormone de stimulation folliculaire) (polyclonal)

<b>Référence</b>	760-2710 05268192001
<b>Type</b>	Polyclonal de lapin
<b>Témoin</b>	Hypophyse normale
<b>Localisation</b>	Cytoplasmique
<b>Quantité</b>	50 tests

Hypophyse

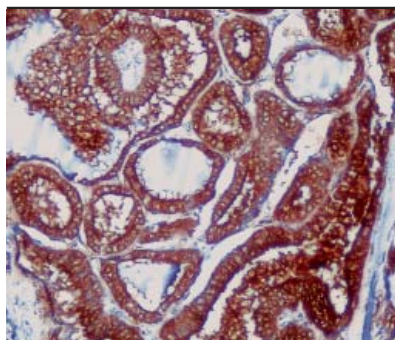
### Description

L'anticorps primaire polyclonal de lapin FSH (hormone de stimulation folliculaire) constitue un marqueur utile dans la classification des tumeurs pituitaires et dans l'étude des maladies associées à l'hypophyse. Il réagit avec les cellules productrices de FSH (gonadotropes).

### Références

- Schmid M, et al., Pathol Res Pract. 197(10):663-9, 2001.
- Uccella S, et al., Pituitary. 3(3):131-9, 2000.
- La Rosa S, et al., Virchows Arch. 437(3):264-9, 2000.
- Zheng W, et al., Gynecol Oncol. 76(1):80-8, 2000.
- Ben-Josef E, et al., J Urol. 161(3):970-6, 1999.





### Galectine-3

(9C4)

**Référence** 760-4256 [05269164001](#)

**Type** Monoclonal de souris

**Témoin** Carcinome papillaire ou folliculaire de la thyroïde

**Localisation** Cytoplasmique

**Quantité** 50 tests

**Isotype** IgG<sub>1</sub>

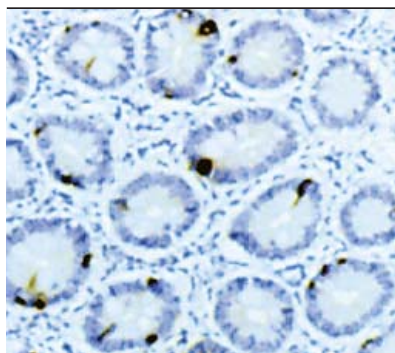
Carcinome papillaire de la thyroïde

#### Description

La galectine-3 est une lectine de 31 kD qui se lie à la bêta-galactosidase. Elle a été associée à la liaison avec la laminine, une glycoprotéine de la membrane basale. L'anticorps primaire monoclonal de souris galectine-3 (9C4) a une valeur démontrée pour différencier les tumeurs bénignes et malignes de la thyroïde, aussi bien dans des coupes d'histologie que sur du matériel de biopsie obtenu par aspiration à l'aiguille fine. L'anticorps galectine-3 a également été utile pour identifier des lymphomes anaplasiques à grandes cellules.

#### Références

1. Inohara H, et al., Cancer. 85:2475-84, 1999.
2. Herrmann ME, et al., Arch Pathol Lab Med. 126:710-713, 2002.
3. Papotti M, et al., Eur J of Endo. 147:515-521, 2002.
4. Bartolazzi A, et al., Lancet. 357:1644-50, 2001.
5. Orlandi F, et al., Cancer Res. 58:3015-3020, 1998.
6. Gasbarri A, et al., J Clin Oncol. 17:3494-3502, 1999.



### Gastrine

(polyclonal)

**Référence** 760-2643 [05267536001](#)

**Type** Polyclonal de lapin

**Témoin** Estomac

**Localisation** Cytoplasmique

**Quantité** 50 tests

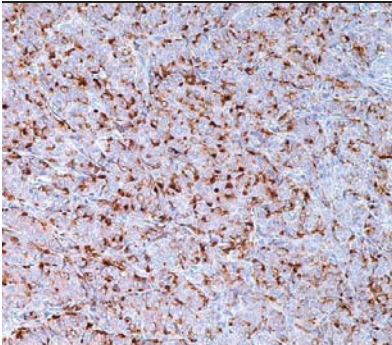
Estomac

#### Description

L'anticorps primaire polyclonal de lapin gastrine entraîne une coloration positive des cellules G de la muqueuse humaine antrale et du pylore, ainsi que des cellules produisant de la gastrine ou un analogue structural de la gastrine comme on en trouve dans l'estomac ; on n'a pas observé de coloration d'autres cellules ou types cellulaires. Cet anticorps peut réagir avec des formes sulfatées et non sulfatées de gastrine. L'anticorps présente une réaction croisée avec plus de 50 % de la forme peptidique à 8 acides aminés de la cholécystokinine.

#### Références

1. Rehfeld JF, et al., J Biol Chem. 256:10426-9, 1981.
2. Kirchner T, et al., Am J Surg Path. 11:909-17, 1987.

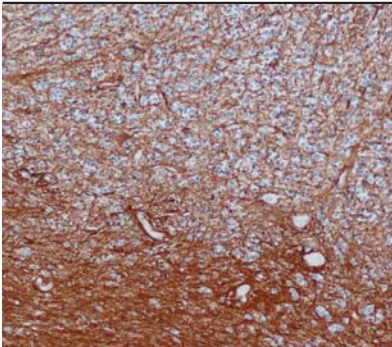
	<b>GCDFP-15</b> (EP1582Y)
	<b>Référence</b> 760-4386 05463530001
	<b>Type</b> Monoclonal de lapin
	<b>Témoin</b> Sein, carcinome mammaire
	<b>Localisation</b> Cytoplasmique
	<b>Quantité</b> 50 tests
	<b>Isotype</b> IgG
Carcinome mammaire	

### Description

GCDFP-15 est une glycoprotéine de 15 kD localisée dans l'épithélium métaplasique des glandes apocrines qui tapissent les kystes mammaires et dans les glandes apocrines de l'aisselle, de la vulve, des paupières et du méat acoustique externe. Environ 70 % des carcinomes mammaires sont colorés positivement par l'anticorps contre GCDFP-15. Les carcinomes colorectaux, ainsi que les mésothéliomes, ne sont pas colorés par cet anticorps. Les adénocarcinomes du poumon sont rarement colorés par cet anticorps.

### Références

- Mazoujian G, et al., Am J Dermatopathol. 10(1):28-35, 1988.
- Ansai S, et al., Am J Dermatopathol. 17(3):249-55, 1995.
- Mazoujian G, et al., Am J Pathol. 110(2):105-12, 1983.
- Wich MR, et al., Hum Pathol. 20(3):281-7, 1989.
- Cohen C, et al., Arch Pathol Lab Med. 117(3):291-4, 1993.
- Raju U, et al., Mod Pathol. 6(5):516-20, 1993.
- Bhargava R, et al., Am J Clin Pathol. 127:103-113, 2007.
- Tornos C, et al., Am J Surg Pathol. 29(11):1482-9, 2005.
- Takeda Y, et al., Arch Pathol Lab Med. 132(2):239-43, 2008.
- Liegl B, et al., Histopathology. 50(4):439-47, 2007.

	<b>GFAP (Glial Fibrillary Acidic Protein - protéine acide fibrillaire gliale)</b> (EP672Y)
	<b>Référence</b> 760-4345 05269784001
	<b>Type</b> Monoclonal de lapin
	<b>Témoin</b> Cerveau
	<b>Localisation</b> Cytoplasmique
	<b>Quantité</b> 50 tests
	<b>Isotype</b> IgG
Astrocytome	

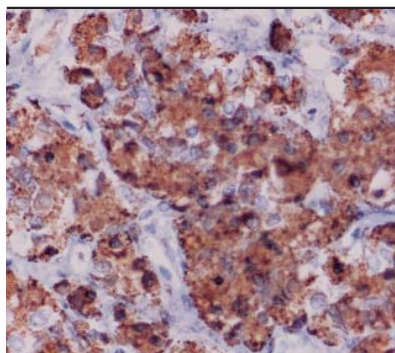
### Description

L'anticorps primaire monoclonal de lapin GFAP (EP672Y) détecte les astrocytes, cellules de Schwann, cellules satellites, cellules gliales entériques et certains groupes d'épendymocytes. Ce marqueur est utilisé principalement pour distinguer les tumeurs d'origine astrocytaire des autres tumeurs du système nerveux central.

### Références

- Viale G, et al., Virchow's Arch A Pathol Anat. 418:339-348, 1991.
- Choi BH, et al., Science. 223:407-409, 1984.
- Funata N, et al., Bull Tokyo Med Dent Univ. 32:9-18, 1985.
- Jessen KR, et al., J Neurosci. 3:2206-2218, 1983.
- Kawahara E, et al., Am J Surg Pathol. 12:115-120, 1988.
- Nagashima G, et al. Clin Neurol Neurosurg. 2002 May;104(2):125-31.
- Regner A, et al. J Neurotrauma. 2001 Aug;18(8):783-92.
- Giangaspero F, et al. Acta Neuropathol (Berl). 2002 Feb;103(2):152-6. Epub 2001 Nov 10.

Référence Ventana en noir, référence Roche en bleu. Les produits figurant sur cette page sont à usage en diagnostic *in vitro* (IVD).



### GH (Growth Hormone) (hormone de croissance)

(polyclonal)

<b>Référence</b>	760-2804 <a href="#">05268257001</a>
<b>Type</b>	Polyclonal de lapin
<b>Témoin</b>	Hypophyse normale
<b>Localisation</b>	Cytoplasmique
<b>Quantité</b>	50 tests

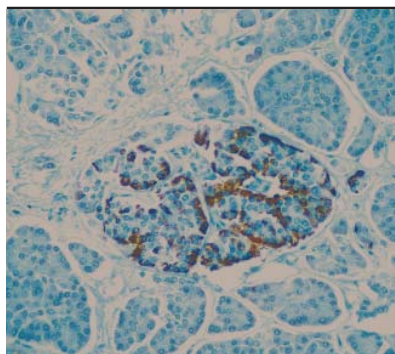
Hypophyse

#### Description

L'anticorps primaire polyclonal de lapin contre l'hormone de croissance est un marqueur utile dans la classification des tumeurs pituitaires et dans l'étude des maladies associées à l'hypophyse (acromégalie). Il réagit avec les cellules qui produisent l'hormone de croissance.

#### Références

1. Fukaya T, et al., Cancer. 45:1598, 1980.
2. Kovacs K, et al., Virch Arch Pathol Anat. 395:59, 1982.
3. Cunha KS, et al., J Clin Pathol. 56(10):758-63, 2003.
4. Chopin LK, et al., Growth Horm. IGF. Res. 12(2):126-36, 2002.
5. Matsuno A, et al., Pathol Res Pract. 197(1):13-20, 2001.
6. Garcia-Caballero T, et al., Endocrine. 12(3):265-71, 2000.



### Glucagon

(polyclonal)

<b>Référence</b>	760-2644 <a href="#">05267544001</a>
<b>Type</b>	Polyclonal de lapin
<b>Témoin</b>	Pancréas
<b>Localisation</b>	Cytoplasmique
<b>Quantité</b>	50 tests

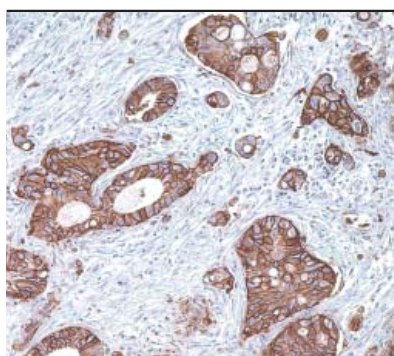
Pancréas, îlots de Langerhans

#### Description

L'anticorps primaire polyclonal de lapin glucagon détecte les cellules sécrétrices de glucagon et les tumeurs telles que les glucagonomes. Les études montrent qu'environ 80 % des glucagonomes sont malins, et ces patients ont un syndrome qui est souvent reconnu initialement par les dermatologues. Les symptômes comprennent un érythème nécrolytique migrateur ainsi que diabète, anémie, stomatite, perte de poids, thromboses veineuses fréquentes et dans certains cas diarrhée et troubles psychiatriques. Le diagnostic peut facilement être confirmé par la démonstration d'une concentration élevée de glucagon plasmatique.

#### Références

1. Unger RH, et al., N Eng J Med. 304:1518-1524, 1981.
2. Larson L, et al., Hum Pathol. 9:401-416, 1978.
3. Erlandsen SL, Williams and Wilkins, Baltimore, 40-155, 1980.
4. Friesen SR, et al., N Eng J Med. 306:580-590, 1982.



### GLUT 1

(polyclonal)

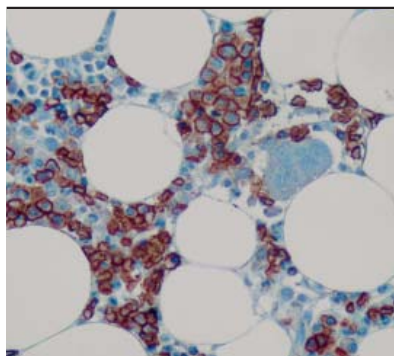
<b>Référence</b>	760-4526 06419178001
<b>Type</b>	Polyclonal de lapin
<b>Témoin</b>	Mésothéliome malin, carcinome colorectal
<b>Localisation</b>	Membranaire
<b>Quantité</b>	50 tests

#### Description

Le transporteur de glucose de type I (GLUT1), un membre prototypique de la superfamille des GLUT, réagit avec une protéine de 55 kD et est un transporteur de glucose associé à la membrane des érythrocytes. GLUT1 est un transporteur de glucose majeur dans la barrière sang-cerveau des mammifères et participe également au transport du glucose dans les cellules endothéliales du système vasculaire, des tissus adipeux et du muscle cardiaque. GLUT1 est détectable dans de nombreux tissus humains, y compris ceux du côlon, du poumon, de l'estomac, de l'œsophage et du sein. GLUT1 est surexprimé dans les cellules malignes et toute une série de tumeurs, y compris celles du sein, du pancréas, du col de l'utérus, de l'endomètre, du poumon, du mésothélium, du côlon, de la vessie, de la thyroïde, de l'os, des tissus mous et de la cavité buccale.

#### Références

1. Kato Y, et al., Mod Pathol. 20:215-220, 2007.
2. Afify A, et al., Acta Cytol. 49:621-626, 2005.
3. Parente P, et al. J Exp Clin Can Res. 27;34, 2008.
4. Zimmerman RL, et al., Cancer. 96: 53-57, 2002.



### Glycophorine A

(GA-R2 & HIR2)

<b>Référence</b>	760-4257 05269172001
<b>Type</b>	Monoclonal de souris
<b>Témoin</b>	Moelle osseuse
<b>Localisation</b>	Membranaire
<b>Quantité</b>	50 tests
<b>Isotype</b>	IgG <sub>2b</sub> /K

Moelle osseuse, éléments érythroïdes

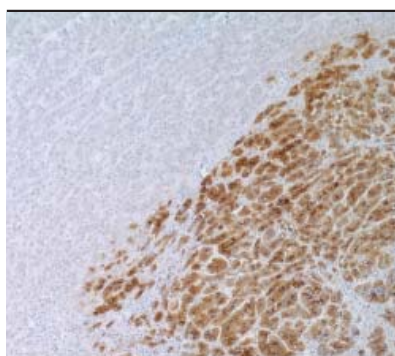
#### Description

La glycophorine A est une sialoglycoprotéine présente sur les érythrocytes humains et leur précurseurs. L'anticorps monoclonal de souris glycophorine A (GA-R2 & HIR2) a été utilisé pour caractériser le développement des cellules érythroïdes, et dans le diagnostic de la leucémie érythroïde.

#### Références

1. van der Valk P, et al., Am J Surg Pathol. 13(2): 97-106, 1989.
2. Muller M, et al., J Vet Med A Physiol Pathol Clin Med. 48(1):51-7, 2001.
3. Sadahira Y, et al., J Clin Pathol. 52(12):919-21, 1999.
4. Chang CC, et al., Am J Clin Pathol. 114(5):807-11, 2000.
5. Muller M, et al., J Vet Med A Physiol Pathol Clin Med. 48(1):51-7, 2001.





### Glypican-3

(1G12)

**Référence** 760-4442 [05973864001](#)

**Type** Monoclonal de souris

**Témoin** Carcinome hépatocellulaire

**Localisation** Cytoplasmique

**Quantité** 50 tests

**Isotype** IgG<sub>1</sub>

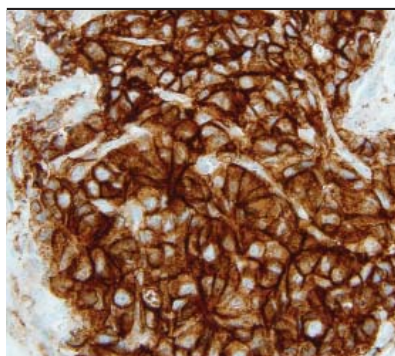
Carcinome hépatocellulaire

#### Description

Le glypican-3 (GPC3) est une protéine membranaire, ancrée dans la membrane par une molécule de glycosylphosphatidylinositol ; il en existe aussi une forme sécrétée. Récemment, GPC3 a été identifié comme un marqueur tumoral utile pour le diagnostic du carcinome hépatocellulaire (CHC), de l'hépatoblastome, du mélanome, des tumeurs germinales du testicule et de la tumeur de Wilms. Chez les patients atteints d'un carcinome hépatocellulaire, GPC3 était surexprimé dans le tissu hépatique néoplasique et son niveau sérique était élevé, alors qu'il était indétectable dans le foie normal, le foie atteint de tumeur bénigne et le sérum de donneurs sains. Il est aussi apparu que l'expression de GPC3 était plus élevée dans le tissu hépatique de patients atteints d'un carcinome hépatocellulaire que dans le foie atteint de cirrhose ou de lésions focales telles que des nodules dysplasiques et des zones d'adénome hépatique (AH) avec transformation maligne. Dans le contexte des tumeurs germinales du testicule, on trouve une surexpression de GPC3 chez certains sous-types histologiques, spécifiquement les tumeurs du sac vitellin et les choriocarcinomes. On a également trouvé un niveau élevé d'expression de GPC3 dans certains types de tumeurs embryonnaires, comme la tumeur de Wilms et l'hépatoblastome, alors que le niveau d'expression était faible à indétectable dans le tissu normal adjacent.

#### Références

1. Capurro M, et al., Gastroenterology. 125(1):89-97, 2003.
2. Coston WMP, et al., Am J Surg Pathol. 32(3):433-444, 2008.
3. Kandil D, et al., Cancer. 111(5):316-22, 2007.
4. Kakar S, et al., Arch Pathol Lab Med. 131(11):1648-54, 2007. Review.
5. Libbrecht L, et al., Am J Surg Pathol. 30(11):1405-11, 2006.



### Glypican 3

(GC33)

**Référence** 790-4564 [06483186001](#)

**Type** Monoclonal de souris

**Témoin** Placenta, carcinome hépatocellulaire

**Localisation** Cytoplasmique granulaire/Membranaire

**Quantité** 50 tests

**Isotype** IgG<sub>2a</sub>

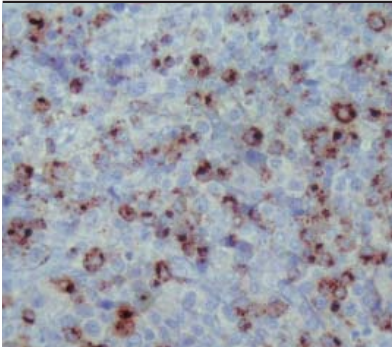
Carcinome hépatocellulaire

#### Description

L'anticorps primaire monoclonal de souris glypican 3 (GC33) est dirigé contre glypican 3, un protéoglycane à héparane sulfate. Cet anticorps peut être utilisé pour aider à différencier le carcinome hépatocellulaire du foie normal ou atteint de lésions bénignes.

#### Références

1. Akutsu, N, et al. World J Gastroenterol. 16,28;3521-3528, 2010.
2. Ishiguro, T, et al. Cancer Res. 68,23;9832-9838, 2008.
3. Capurro MI, et al. Cancer Res. 65;6245-6254, 2005.
4. Midorikawa Y, et al. Int J Cancer. 103;455-465, 2003.
5. Stigliano I, et al. Breast Cancer Res Treat. 114;251-262, 2009.

	<b>Granzyme B</b> (polyclonal)	
	<b>Référence</b>	760-4283 05269466001
	<b>Type</b>	Polyclonal de lapin
	<b>Témoin</b>	Amygdale
	<b>Localisation</b>	Cytoplasmique granulaire, lymphocytes T cytotoxiques, cellules NK (Natural Killer)
	<b>Quantité</b>	50 tests

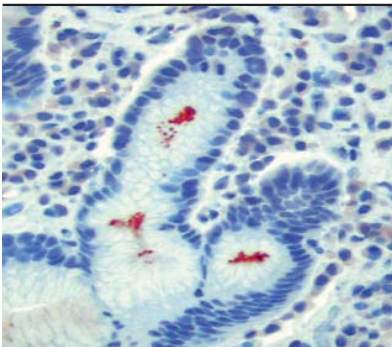
Amygdale

**Description**

Les granzymes sont des sérine-protéases qui sont stockées dans des granules lytiques spécialisées des lymphocytes T cytotoxiques et des cellules NK. L'anticorps primaire polyclonal de lapin granzyme B a été utile pour diagnostiquer les lymphomes à cellules NK, les lymphomes T ainsi que les lymphomes anaplasiques à grandes cellules. Il a été démontré que des pourcentages élevés de cellules T cytotoxiques constituaient un indicateur pronostic défavorable dans la maladie de Hodgkin.

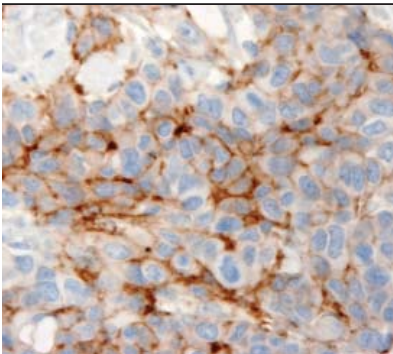
**Références**

- Oudejans JJ, et al., Blood. 89(4):1376-82, 1997.
- Oudejans JJ, et al., Am J Pathol. 148(1):233-40, 1996.
- Liu J, et al., J Dermatol. 30(10):735-41, 2003.
- Kato N, et al., Am J Dermatopathol. 25(2):142-7, 2003.
- Kummer JA, et al., Clin Exp Immunol. 100:164-172, 1995.

	<b>Helicobacter pylori, CONFIRM</b> (polyclonal)	
	<b>Référence</b>	790-4374 05926092001 (50 tests) ; 790-1009 05926084001 (250 tests)
	<b>Type</b>	Monoclonal de lapin
	<b>Témoin</b>	Muqueuse de l'estomac infectée
	<b>Localisation</b>	Paroi cellulaire de <i>H. pylori</i>
	<b>Quantité</b>	50 tests et 250 tests

Muqueuse gastrique, *H. pylori***Description**

L'anticorps primaire monoclonal de lapin CONFIRM *Helicobacter pylori* (SP48) est destiné à détecter qualitativement la présence d'*Helicobacter pylori* dans du tissu de biopsie gastrique. La coloration immunohistochimique par cet anticorps peut aider à établir un diagnostic d'infection par *Helicobacter pylori*.



HER-2/ <i>neu</i> , PATHWAY APPROUVÉ PAR LA FDA (4B5)	
Référence	790-2991 05278368001
Type	Monoclonal de lapin
Témoin	Carcinome mammaire
Localisation	Membranaire
Quantité	50 tests
Carcinome mammaire	

Description

Cet anticorps est réservé à un usage en diagnostic *in vitro*. L'anticorps primaire monoclonal de lapin PATHWAY anti-HER-2/*neu* (4B5) (PATHWAY HER-2 (4B5)) est un anticorps monoclonal de lapin destiné à un usage en laboratoire pour la détection semi-quantitative de l'antigène HER-2 sur des coupes de tissus sains et néoplasiques fixés au formol et inclus en paraffine, sur un automate de coloration immunohistochimique de lames VENTANA. Cet anticorps est indiqué comme une aide à l'évaluation des patientes atteintes d'un cancer du sein pour lesquelles on envisage un traitement par Herceptin. Remarque : toutes les patientes ayant participé à des essais cliniques avec Herceptin ont été sélectionnées à l'aide d'une méthode d'analyse pour les essais cliniques. Aucune des patientes ayant participé à ces essais cliniques n'a été sélectionnée à l'aide de l'anticorps PATHWAY anti-HER-2/*neu* (4B5). L'anticorps PATHWAY anti-HER-2/*neu* (4B5) a été comparé à l'anticorps primaire PATHWAY HER-2 (clone CB11) sur un lot d'échantillons indépendant et les résultats obtenus ont montré une concordance acceptable. La corrélation entre l'anticorps PATHWAY anti-HER-2/*neu* (4B5) et les résultats cliniques n'a pas été établie.

L'anticorps PATHWAY anti-HER-2/*neu* est un anticorps monoclonal de lapin (clone 4B5) dirigé contre le domaine interne de l'oncoprotéine c-erbB-2 (HER-2). L'oncoprotéine c-erbB-2 a été clonée et caractérisée par Akiyama et al. en 1986<sup>1</sup>. Il s'agit d'une glycoprotéine transmembranaire d'environ 185 kD qui possède une structure similaire à celle du récepteur du facteur de croissance épidermique (EGFR). Cette protéine est associée à une activité de la tyrosine kinase similaire à celle de plusieurs récepteurs de facteur de croissance ainsi qu'à celle des protéines transformantes de la famille des src. La séquence codante correspond à un domaine de liaison extracellulaire et à un domaine kinase intracellulaire. HER-2 pourrait ainsi être impliquée dans la transduction du signal et la stimulation de l'activité mitogénique.<sup>1</sup> Il a été démontré que le clone 4B5 réagissait avec une protéine de 185 kD lors de l'immunotransfert (Western Blot) de lysats de cellules SKBR3. SKBR3 est une lignée cellulaire du carcinome mammaire chez laquelle l'expression de l'ARNm de HER-2 est multipliée par 128.<sup>2</sup> La taille de la bande identifiée correspond bien à celle rapportée par Akiyama et al. pour la protéine HER-2 (185 kD).<sup>1</sup> L'immunohistochimie est utilisée depuis 1950 pour la détection d'antigènes spécifiques dans les cellules ou les tissus.<sup>3</sup> L'utilisation d'enzymes et de la peroxydase comme marqueurs immunohistochimiques a été rapportée par Nakane et Pierce en 1967.<sup>4</sup> En 1981, Hsu et al. ont constaté que la sensibilité du système de détection par le complexe avidine-biotine-peroxydase était supérieure à celle de la méthode utilisant un anticorps couplé à une enzyme.<sup>5</sup> La protéine HER-2 est exprimée à un niveau détectable par immunohistochimie dans jusqu'à 20 % des adénocarcinomes de différentes origines. Entre 15 et 30 % des carcinomes canauxaux invasifs sont positifs à HER-2.<sup>6</sup> Presque tous les cas de maladie de Paget du sein<sup>7</sup> et jusqu'à 90 % des cas de carcinome canalaire *in situ* de type comédo sont positifs.<sup>6</sup> La détection immunohistochimique de la surexpression de la protéine HER-2 est également utilisée en tant qu'aide à la détermination des patientes pour lesquelles un traitement par Herceptin est indiqué.<sup>8</sup> Les résultats des colorations sur des tissus normaux et néoplasiques, ainsi que pour 322 cas de carcinome mammaire avec l'anticorps PATHWAY HER-2 (4B5) ont été évalués par Ventana Medical Systems, Inc. Dans les tissus normaux testés, l'expression concordait avec les publications disponibles dans le sens où il n'y a pas eu de coloration cytoplasmique/membranaire spécifique inattendue, sauf pour les exceptions suivantes : deux cas d'amygdale présentant une coloration membranaire des cellules épithéliales, un cas de parathyroïde et un cas d'épithélium œsophagien. Sur les différents tissus néoplasiques testés, une coloration cytoplasmique/membranaire a été observée dans les cellules cancéreuses du sein, du côlon et de l'ovaire. Trois cent vingt-deux (322) cas de carcinome mammaire ont été évalués avec PATHWAY HER-2 (4B5) dans une étude comparative de méthodes avec PATHWAY HER-2 (CB11). Il existe une corrélation significative entre les colorations obtenues avec ces deux tests. Pour obtenir plus d'informations, veuillez consulter la section Résumé des résultats attendus. PATHWAY HER-2 (4B5), en association avec le kit de détection iVIEW DAB, utilise des anticorps secondaires biotinylés pour localiser la liaison de l'anticorps primaire PATHWAY HER-2 (4B5) (produite à l'aide d'un peptide synthétique correspondant à un site du domaine interne de la protéine HER-2). Cette étape est suivie par la liaison d'un conjugué enzyme-avidine ou enzyme/streptavidine à la biotine. Le complexe formé peut alors être visualisé à l'aide d'un produit précipitant généré par l'enzyme. L'utilisation de l'anticorps pré-dilué PATHWAY HER-2 (4B5) et des kits de détection prêts à l'emploi iVIEW DAB, en association avec un automate de coloration des lames VENTANA, réduit le risque d'erreur humaine ainsi que la part de variabilité due aux dilutions individuelles des réactifs, au pipetage manuel et à l'application manuelle des réactifs.

Référence Ventana en noir, référence Roche en bleu. Les produits figurant sur cette page sont à usage en diagnostic *in vitro* (IVD).

### Signification clinique

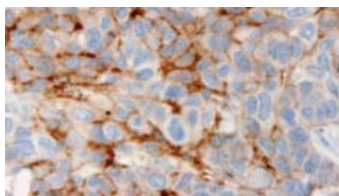
Le cancer du sein est le carcinome le plus fréquent chez la femme et représente la deuxième cause de décès liée au cancer. En Amérique du Nord, une femme sur huit est susceptible de développer un cancer du sein.<sup>9</sup> Un dépistage précoce et des traitements appropriés peuvent considérablement améliorer le taux de survie global.<sup>10</sup> Des petits échantillons de tissu peuvent aisément être utilisés en immunohistochimie (IHC) de routine, ce qui fait de cette technique, en association avec des anticorps qui détectent les antigènes importants pour le diagnostic du carcinome, un outil efficace pour aider le pathologiste à établir son diagnostic ainsi que le pronostic de la maladie. Actuellement, l'oncoprotéine *cerbB 2* (HER-2) constitue un marqueur important du cancer du sein. HER-2 est une protéine membranaire intracellulaire détectée dans la membrane cellulaire.<sup>11</sup> Elle est étroitement liée à EGFR et, à l'instar d'EGFR, possède une activité tyrosine kinase.<sup>1</sup> L'amplification génique et la surexpression correspondante de *cerbB 2* a été observée dans différents types de tumeur, dont les carcinomes mammaires.<sup>11,12</sup> Le médicament Herceptin s'est avéré bénéfique chez certaines patientes atteintes d'un cancer du sein, en arrêtant, voire même, dans certains cas, en inversant la croissance du cancer.<sup>8</sup> Ce médicament est un anticorps monoclonal humanisé qui se lie à la protéine HER-2 présente sur les cellules cancéreuses. Ainsi, seules les patientes présentant un carcinome mammaire positif à HER-2/*neu* devraient bénéficier d'un traitement par Herceptin. Les tests diagnostiques *in vitro* permettant de déterminer le statut de la protéine HER-2 dans les carcinomes mammaires aident considérablement le clinicien à déterminer la nécessité d'un traitement par Herceptin. L'interprétation des résultats de n'importe quel système de détection de HER-2 doit prendre en compte le fait que HER-2 est exprimée à la fois dans les tumeurs cancéreuses mammaires et dans les tissus mammaires sains, bien qu'à différents niveaux et avec différents profils d'expression.<sup>13</sup> Les préparations histologiques de tissus présentent l'avantage de conserver une morphologie tissulaire intacte afin de faciliter l'interprétation des échantillons positifs à HER-2. Tous les tests histologiques doivent être interprétés par un spécialiste de la morphologie des cancers du sein et/ou de la pathologie. De plus, les résultats doivent être appuyés par des études morphologiques et des témoins appropriés, et utilisés conjointement avec les autres données cliniques et biologiques.

### Références

1. Akiyama T, et al., Science 232: 1644-1646, 1986.
2. Kraus MH, et al., EMBO. 6: 605-610, 1987.
3. Coons AH, et al., J. Exp. Med. 91: 1-13, 1950.
4. Nakane PK, et al., J. Histochem. Cytochem. 14:929-931, 1967.
5. Hsu SM, et al., J. Histochem. Cytochem. 29:577-580, 1981.
6. Dickson RB, Lippman, ME, Genes, Oncogenes and Hormones. Boston, Kluwer Academic Publishers, 1992.
7. Keatings L, et al., Histopathology. 17:234-247, 1990.
8. Notice de Herceptin (Trastuzumab). Février 2005.
9. Roche PC, Immunohistochemical stains for breast cancer. Mayo Clin. Proc. 69:57-58, 1994.
10. Charpin C, et al., Br. J. Cancer. 75: 1667-1673, 1997.
11. Corbett IP, et al., J. Pathol. 161:15-25, 1990.
12. Nicholson RI, et al., Eur. J. Cancer. 29A:1018-1023, 1993.
13. DePotter CR, et al., Histopathology. 15:351-362, 1989.

### Critères d'intensité de coloration de membranes cellulaires avec PATHWAY HER-2/*neu*

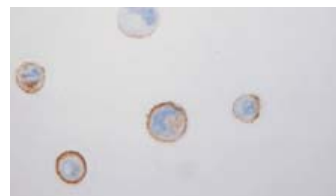
Aspect de la coloration	Score (à donner au clinicien)	Évaluation de la coloration pour HER-2
Aucune coloration membranaire n'est observée	0	Négatif
Coloration légère et partielle dans > 10 % des cellules cancéreuses avec une coloration circonférentielle rare ou absente	1+	Négatif
Coloration faible à la circonférence des membranes dans > 10 % des cellules cancéreuses mais avec un anneau de coloration membranaire fin	2+	Positif
Coloration intense à la circonférence des membranes dans > 10 % des cellules cancéreuses avec un anneau de coloration membranaire épais	3+	Positif



Coloration membranaire 1+



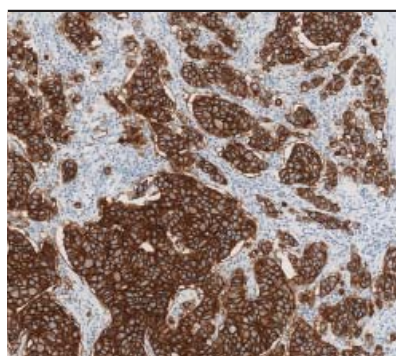
Coloration membranaire 2+



Coloration membranaire 3+

Référence Ventana en noir, référence Roche en bleu. Les produits figurant sur cette page sont à usage en diagnostic *in vitro* (IVD).





### HER2/neu, VENTANA

(4B5)

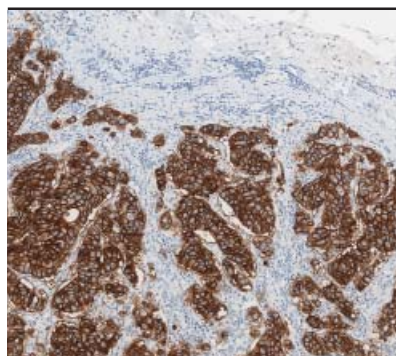
<b>Référence</b>	790-4493 <a href="#">05999570001</a>
<b>Type</b>	Monoclonal de lapin
<b>Témoin</b>	Carcinome mammaire
<b>Localisation</b>	Membranaire
<b>Quantité</b>	50 tests

#### Description

L'anticorps primaire monoclonal de lapin VENTANA HER2/neu (4B5) (VENTANA HER2 - 4B5) est destiné à la détection semi-quantitative de l'antigène HER2 sur des coupes de tissus sains et néoplasiques mammaires et gastriques fixés au formol et inclus en paraffine, sur un automate de coloration des lames VENTANA. VENTANA HER2 (4B5) est un anticorps monoclonal de lapin dirigé contre le domaine interne de l'oncoprotéine c-erbB-2 (HER2). Dans le carcinome mammaire, la protéine HER2 est exprimée à un niveau détectable par immunohistochimie dans une proportion allant jusqu'à 20 % des adénocarcinomes provenant de divers sites. La surexpression de la protéine HER2, l'amplification du gène HER2 ou les deux se produisent dans environ 15 à 25 % des cancers du sein, et sont associés à la virulence de la tumeur.<sup>1</sup> Presque tous les cas de maladie de Paget du sein<sup>2</sup> et jusqu'à 90 % des cas de carcinome canalaire *in situ* de type comédo sont positifs.<sup>3</sup> Dans les carcinomes gastriques, la protéine HER2 est exprimée à un niveau détectable par immunohistochimie dans une proportion allant jusqu'à 30 % des types intestinaux, 15 % des types mixtes et 5 % des types diffus de cancers gastriques.<sup>4</sup>

#### Références

- Slamon DJ, et al., Human breast cancer: correlation of relapse and survival with amplification of the HER2/neu oncogene. *Science* 1987;235:177-182
- Keatings L, et al., c-erbB-2 oncoprotein expression in mammary and extramammary Paget's disease: an immunohistochemical study. *Histopathology*. 17: 234-247, 1990
- Dickson RB, Lippman ME, Genes, Oncogenes and Hormones. Boston: Kluwer Academic Publishers, 1992
- Herceptin (Trastuzumab) Package Insert. Consulté en octobre 2010



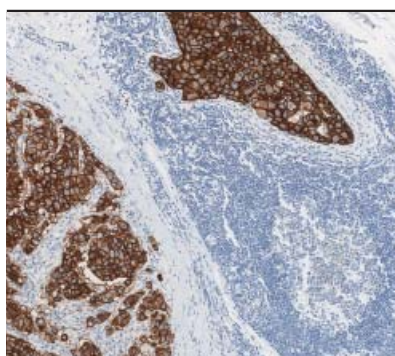
### Herpes Simplex Virus I (HSV I)

(polyclonal)

<b>Référence</b>	760-4261 <a href="#">05269237001</a>
<b>Type</b>	Polyclonal de lapin
<b>Témoin</b>	Tissu infecté
<b>Localisation</b>	Cytoplasmique, nucléaire
<b>Quantité</b>	50 tests

#### Description

Le virus herpès simplex est assez ubiquitaire et présente une assez grande variété d'aspects en pathologie humaine. Le virus herpès de type I infecte habituellement les surfaces muqueuses non génitales. Il peut affecter la peau ou les organes internes (typiquement le cerveau, le poumon, le foie, les glandes surrénales ou le tractus gastro-intestinal) des individus immunodéprimés. L'anticorps primaire polyclonal de lapin HSV I réagit avec les virus herpès de type I. Il peut y avoir une réactivité croisée avec le virus varicelle-zona à des concentrations plus élevées. Cet anticorps ne provoque pas de réactivité croisée avec le cytomegalovirus (CMV) ni avec le virus d'Epstein-Barr (EBV).



### Herpes Simplex Virus II (HSV II)

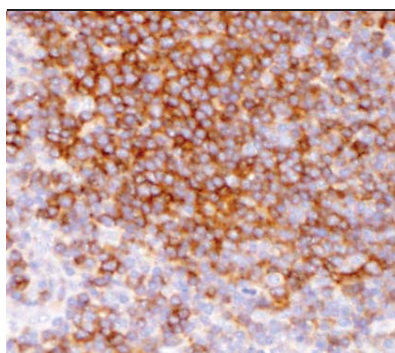
(polyclonal)

<b>Référence</b>	760-4262 <a href="#">05269245001</a>
<b>Type</b>	Polyclonal de lapin
<b>Témoin</b>	Tissu infecté
<b>Localisation</b>	Cytoplasmique, nucléaire
<b>Quantité</b>	50 tests

Lymphome folliculaire

#### Description

Le virus herpès simplex est assez ubiquitaire et présente une assez grande variété d'aspects en pathologie humaine. Le virus de type II se trouve généralement dans les régions génitales. Il peut affecter la peau ou les organes internes (typiquement le cerveau, le poumon, le foie, les glandes surrénales ou le tractus gastro-intestinal) des individus immunodéprimés. L'anticorps primaire polyclonal de lapin HSV II réagit avec les virus herpès de type II. Il peut y avoir une réactivité croisée avec le virus varicelle-zona à des concentrations plus élevées. Cet anticorps ne provoque pas de réactivité croisée avec le CMV ni avec l'EBV.



### HGAL

(MRQ-49)

<b>Référence</b>	760-4597 <a href="#">06433375001</a>
<b>Type</b>	Monoclonal de souris
<b>Témoin</b>	Amygdale, ganglion lymphatique
<b>Localisation</b>	Cytoplasmique
<b>Quantité</b>	50 tests
<b>Isotype</b>	IgG <sub>2a</sub> /K

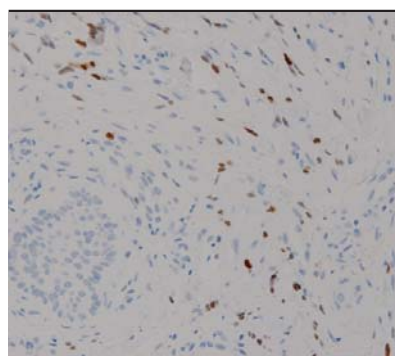
Lymphome folliculaire

#### Description

L'anticorps primaire monoclonal de souris HGAL (MRQ-49) est utilisé en tant qu'aide pour identifier les lymphomes folliculaires dans le cadre d'une évaluation réalisée par un pathologiste qualifié en fonction de la batterie d'anticorps, des antécédents cliniques du patient et des autres tests diagnostiques.

#### Références

- Natkunam, Y et al. Blood. 105:3979-3986, 2005.
- Natkunam, Y et al. Blood. 109:298-305, 2007.
- Younes, SF et al. Am J Surg Pathol. 34:1266-1276, 2010.
- Higgins, RA et al. Arch Pathol Lab Med. 132:441-446, 2008.



### HHV-8 (Virus de l'herpès humain de type 8)

(13B10)

<b>Référence</b>	760-4260 05269229001
<b>Type</b>	Monoclonal de souris
<b>Témoin</b>	Sarcome de Kaposi
<b>Localisation</b>	Nucléaire
<b>Quantité</b>	50 tests
<b>Isotype</b>	IgG <sub>1</sub>

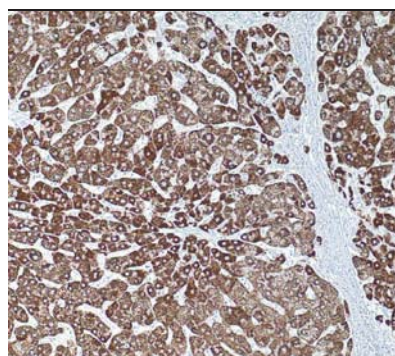
Sarcome de Kaposi

#### Description

Le virus de l'herpès humain de type 8 (HHV-8) est probablement l'agent étiologique du sarcome de Kaposi. Des séquences d'ADN du HHV-8 ont été trouvées dans des lésions du sarcome de Kaposi, des lymphomes effusifs primaires, ainsi que dans la maladie de Castleman multicentrique, par réaction en chaîne de la polymérase (PCR) et hybridation *in situ*. L'antigène nucléaire latent (LNA-1, LNA, LANA-1), également connu sous le nom de ORF73, est une protéine de 222 ou 234 kD systématiquement exprimée dans des cellules infectées par le HHV-8. L'anticorps primaire monoclonal de souris HHV-8 (13B10) entraîne une coloration immunohistochimique de la protéine de l'antigène nucléaire latent.

#### Références

1. Corbellino M, et al., AIDS Res Hum Retroviruses. 12(8):651-7, 1996.
2. Katano H, et al., Am J Pathol. 155(1):47-52, 1999.
3. Katano H, et al., J Med Virol. 59(3):346-55, 1999.
4. Katano H, et al., Mod Pathol. 13(1):77-85, 2000.
5. Kaaya E, et al., Med Oncol. 17(4):325-32, 2000.



### HSA (antigène spécifique aux hépatocytes)

(OCH1E5)

<b>Référence</b>	760-4350 05269792001
<b>Type</b>	Monoclonal de souris
<b>Témoin</b>	Foie
<b>Localisation</b>	Cytoplasmique
<b>Quantité</b>	50 tests
<b>Isotype</b>	IgG <sub>1</sub> /K

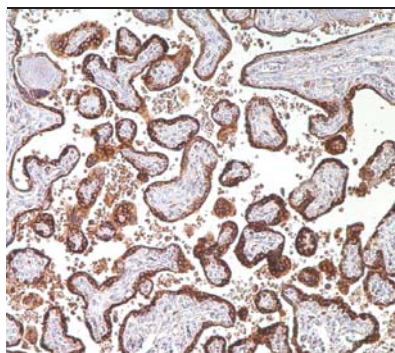
Foie

#### Description

L'anticorps primaire monoclonal de souris Hepatocyte Specific Antigen (OCH1E5), antigène spécifique aux hépatocytes, reconnaît aussi bien les tissus hépatiques normaux et malins, y compris des tumeurs telles que l'hépatoblastome, le carcinome hépatocellulaire et l'adénome hépatique. Il reconnaît aussi bien le tissu hépatique normal adulte que fœtal. La coloration présente typiquement un aspect granulaire cytoplasmique. Cet anticorps est utile pour distinguer les carcinomes hépatocellulaires présentant des caractéristiques adénoïdes des adénocarcinomes, qu'il s'agisse de lésions hépatiques primaires ou de lésions métastatiques dans le foie. En reconnaissant l'hépatoblastome, il est utile de différencier cette entité des autres tumeurs à petites cellules rondes.

#### Références

1. Minervini MI, et al., Mod Pathol. 10(7):686-692, 1997.
2. Fasano M, et al., Mod Pathol. 11(10):934-938, 1998.
3. Tsui WMS, et al., Am J Surg Pathol. 23(1): 34-48, 1999..
4. Wiecezorek T, et al., Am J Clin Pathol. 118(6):911-21, 2002.
5. Chu PG, et al., Am J Surg Pathol. 26(8):978-88, 2002.
6. Maitra A, et al., Am J Clin Pathol. 115(5):689-94, 2001.



### Gonadotrophine chorionique humaine (hCG)

(polyclonal)

<b>Référence</b>	760-2650 05267617001
<b>Type</b>	Polyclonal de lapin
<b>Témoin</b>	Placenta
<b>Localisation</b>	Cytoplasmique
<b>Quantité</b>	50 tests

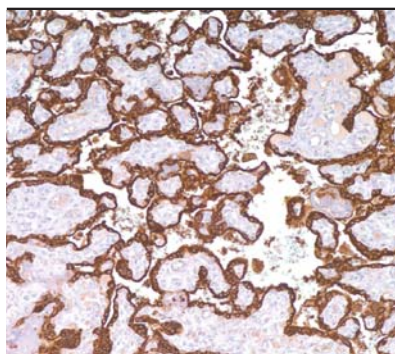
Placenta, cytotrophoblastes

#### Description

La gonadotrophine chorionique humaine (hCG) est une protéine sécrétée en grande quantité par les trophoblastes normaux. L'anticorps primaire polyclonal de lapin gonadotrophine chorionique humaine détecte les cellules et tumeurs d'origine trophoblastique, telles que le choriocarcinome. Les carcinomes à grandes cellules et adénocarcinomes du poumon sont positifs pour hCG dans 90 % et 60 % des cas respectivement. 20 % des carcinomes squameux du poumon sont positifs pour hCG. L'expression de hCG par des tumeurs non trophoblastiques peut être un indice du degré de virulence de la tumeur ; on a en effet observé que hCG pourrait jouer un rôle dans la réponse de l'hôte à une tumeur donnée.

#### Références

1. Morrish DW, et al., J Histochem Cytochem. 35:39-101, 1987.
2. Kurman RJ, et al., Cancer. 38:2404-2419, 1976.
3. Kurman RJ, et al., Int J Gyn Pathol. 3:101-12, 1984
4. Boucher LD, et al. Human Pathol. 26(11):1201-6, 1995.



### Hormone lutéotrope placentaire humaine (hPL)

(polyclonal)

<b>Référence</b>	760-4443 05973830001
<b>Type</b>	Polyclonal de lapin
<b>Témoin</b>	Placenta
<b>Localisation</b>	Cytoplasmique
<b>Quantité</b>	50 tests
<b>Isotype</b>	IgG

Placenta normal

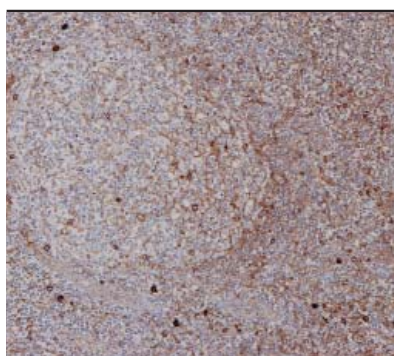
#### Description

L'hormone lutéotrope placentaire humaine (hPL), aussi connue auparavant comme la somatomammotropine chorionique humaine, est une protéine de 22 kD présentant une homologie partielle avec l'hormone de croissance. hPL est d'abord détectable dans le sérum maternel au cours de la cinquième semaine de gestation et atteint un plateau à la semaine trente-quatre. La présence de hPL a été démontrée par immunohistochimie dans les cellules syncytiotrophoblaste du choriocarcinome. On a rapporté une variante rare de tumeur trophoblastique dans le testicule, présentant une ressemblance avec une tumeur trophoblastique sur le site du placenta dans l'utérus. Elle était constituée purement de trophoblastes intermédiaires, avec une coloration diffuse pour hPL et ponctuelle pour la bêta-hCG.

#### Références

1. Shih IM, et al., Am J Surg Pathol. 28(9):1177-83, 2004.
2. Ulbright TM, et al., Am J Surg Pathol. 21(3):282-288, 1997.





### IgA (Immunoglobuline A)

(polyclonal)

<b>Référence</b>	760-2652 05267625001
<b>Type</b>	Polyclonal de lapin
<b>Témoin</b>	Amygdale, ganglion lymphatique
<b>Localisation</b>	Cytoplasmique
<b>Quantité</b>	50 tests

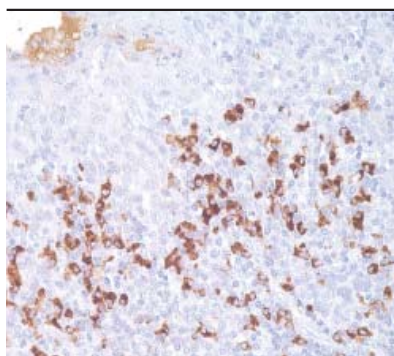
Amygdale, centre germinatif

#### Description

L'anticorps primaire polyclonal de lapin IgA réagit avec les chaînes alpha de l'immunoglobuline de surface IgA. Il est utile pour identifier les leucémies, les plasmocytomes et les lignées B dérivées de lymphomes de Hodgkin. Compte tenu de l'expression restreinte des chaînes lourdes et légères dans ces maladies, on peut démontrer qu'il s'agit d'un lymphome B grâce à des études de réarrangement génétique clonal.

#### Références

1. Arnold A, et al., New Eng J Med. 309:1593-1599, 1983.
2. Geenwich Medical Media Ltd. 217-219, 1999.
3. Hertel BF, et al., New Eng J Med. 302:1293-1297, 1980.
4. Taylor CR, et al., Arch Path Lab Med. 102:113-121, 1978.
5. Warnake R, et al., Masson Publishing USA. 203-221, 1981.



### IgD (Immunoglobuline D)

(polyclonal)

<b>Référence</b>	760-4444 05973821001
<b>Type</b>	Polyclonal de lapin
<b>Témoin</b>	Ganglion lymphatique, amygdale
<b>Localisation</b>	Cytoplasmique
<b>Quantité</b>	50 tests
<b>Isotype</b>	IgG

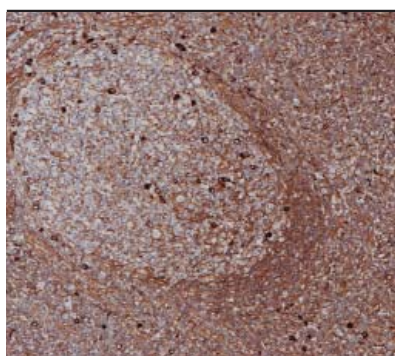
Amygdalite, plasmocytes sous-épithéliaux

#### Description

L'anticorps primaire polyclonal de lapin IgD réagit avec les chaînes delta de l'immunoglobuline de surface IgD. Cet anticorps est utile pour identifier les leucémies, les plasmocytomes et les lignées B dérivées de lymphomes (en particulier le lymphome de la zone marginale). La coloration cytoplasmique est facile à identifier sur du tissu inclus en paraffine. Les immunoglobulines de surface sont difficiles à démontrer sur des coupes de paraffine, mais peuvent être démontrées sur des coupes congelées.

#### Références

1. Campo E, et al., Am J Surg Pathol. 23(1):59-68, 1999.
2. Mori S, et al., Acta Pathol Jpn. 36(1):1429-40, 1986.
3. Oka K, et al., Acta Haematol. 90(2):84-9, 1993.
4. Bertero M, et al., J Am Acad Dermatol. 30(1):23-30, 1994.
5. Mollego M, et al., Am J Surg Pathol. 21(7):772-80, 1997.
6. Tang X, et al., Pathol Int. 45(1):34-44, 1995.
7. Gupta D, et al., Mod Pathol. 13(11):1161-6, 2000.
8. Anagnostopoulos I, et al., Histopathology. 39(6):561-5, 2001.



### IgG (Immunoglobuline G)

(polyclonal)

<b>Référence</b>	760-2653 <a href="#">05267633001</a>
<b>Type</b>	Polyclonal de lapin
<b>Témoin</b>	Amygdale, ganglion lymphatique
<b>Localisation</b>	Cytoplasmique
<b>Quantité</b>	50 tests

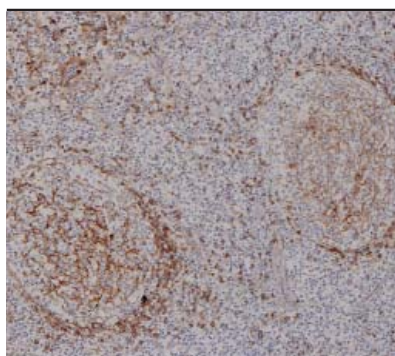
Amygdale, centre germinatif

#### Description

L'anticorps primaire polyclonal de lapin IgG réagit avec les chaînes gamma des immunoglobulines de surface IgG. Cet anticorps est utile pour identifier les leucémies, les plasmocytomes et les lignées B dérivées de lymphomes de Hodgkin. Compte tenu de l'expression restreinte des chaînes lourdes et légères dans ces maladies, on peut démontrer qu'il s'agit d'un lymphome B grâce à des études de réarrangement génétique clonal.

#### Références

1. Arnold A, et al., New Eng J Med. 309:1593-1599, 1983.
2. Geenwich Medical Media Ltd. 217-219, 1999.
3. Hertel BF, et al., New Eng J Med. 302:1293-1297, 1980.
4. Taylor CR, et al., Arch Path Lab Med. 102:113-121, 1978.
5. Warnake R, et al., Masson Publishing USA. 203-221, 1981.



### IgM (Immunoglobuline M)

(polyclonal)

<b>Référence</b>	760-2654 <a href="#">05267641001</a>
<b>Type</b>	Polyclonal de lapin
<b>Témoin</b>	Amygdale, ganglion lymphatique
<b>Localisation</b>	Cytoplasmique
<b>Quantité</b>	50 tests

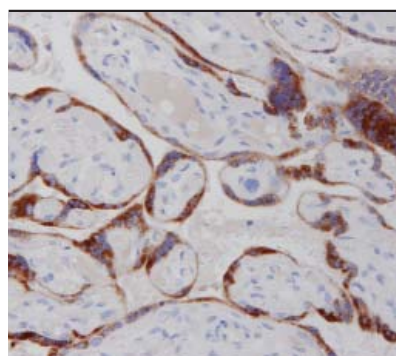
Amygdale, centre germinatif

#### Description

L'anticorps primaire polyclonal de lapin IgM réagit avec les chaînes mu des immunoglobulines de surface IgM. Les IgM comptent parmi les immunoglobulines de surface prédominantes sur les lymphocytes B. Cet anticorps est utile pour identifier les lymphomes, les plasmocytomes et les lignées B dérivées de lymphomes de Hodgkin. Compte tenu de l'expression restreinte des chaînes lourde et légère dans ces maladies, on peut démontrer qu'il s'agit d'un lymphome B grâce à des études de réarrangement génétique clonal.

#### Références

1. Arnold A, et al., New Eng J Med. 309:1593-1599, 1983.
2. Geenwich Medical Media Ltd. 217-219, 1999.
3. Hertel BF, et al., New Eng J Med. 302:1293-1297, 1980.
4. Taylor CR, et al., Arch Path Lab Med. 102:113-121, 1978.
5. Warnake R, et al., Masson Publishing, USA. 203-221, 1981.



### Inhibine, alpha

(R1)

<b>Référence</b>	760-2834 <a href="#">05268311001</a>
<b>Type</b>	Monoclonal de souris
<b>Témoin</b>	Cortex surrénal, placenta, testicules
<b>Localisation</b>	Cytoplasmique
<b>Quantité</b>	50 tests
<b>Isotype</b>	IgG <sub>2a</sub>

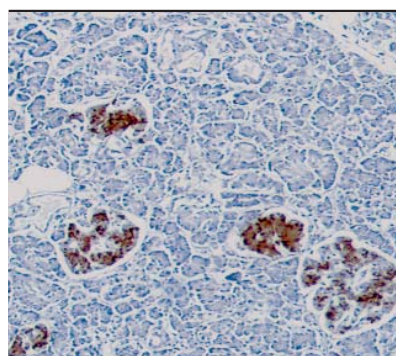
Placenta

#### Description

L'anticorps primaire monoclonal de souris inhibine alpha (R1) est dirigé contre une hormone peptidique, et son utilité a été démontrée pour distinguer les tumeurs du cortex surrénal des carcinomes rénaux. Les tumeurs du stroma et des cordons sexuels de l'ovaire, ainsi que les tumeurs trophoblastiques, présentent également une coloration cytoplasmique positive pour cet anticorps.

#### Références

1. Arora DS, et al., J Pathol. 181(4):413-8, 1997.
2. Stewart CJ, et al., Histopathology. 31(1):67-74, 1997.
3. Yamashita K, et al., Am J Obstet Gynecol. 177(6):1450-7, 1997.
4. McCluggage WG, et al., Am J Surg Pathol. 22(5):615-9, 1998.
5. Kommos F, et al., Mod Pathol. 11(7):656-64, 1998.
6. Matias-Guiu X, et al., Hum Pathol. 29(8):840-5, 1998.



### Insuline

(polyclonal)

<b>Référence</b>	760-2655 <a href="#">05267650001</a>
<b>Type</b>	Polyclonal de lapin
<b>Témoin</b>	Pancréas
<b>Localisation</b>	Cytoplasmique
<b>Quantité</b>	50 tests

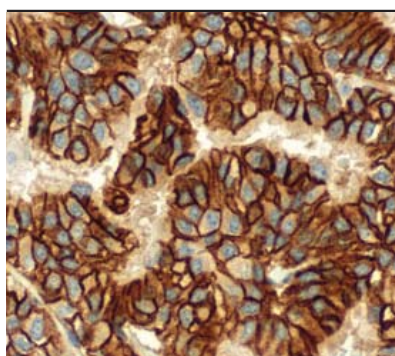
Pancréas, îlots de Langerhans

#### Description

L'insuline est produite dans les cellules bêta du pancréas. La présence d'insuline dans le cytoplasme des cellules tumorales des îlots de Langerhans est l'indicateur le plus fiable d'insulinome fonctionnel. Un stockage défectueux de l'insuline a lieu dans les insulinomes, par conséquent il faudrait procéder à la coloration de nombreuses coupes de la tumeur avec l'insuline et le peptide C.

#### Références

1. Akagi T, et al., Cancer. 47:417-424, 1981.
2. Scully RE, et al., N Eng J Med. 308:30-37, 1983.
3. Erlandsen SL, et al., Williams and Wilkins, Baltimore. 140-155, 1980.
4. Friesen SR, et al., N Eng J Med. 306:580-590, 1982.



### Insulin Growth Factor-1 Receptor (récepteur du facteur de croissance semblable à l'insuline) (IGF-1R), CONFIRM (G11)

Référence	790-4346 05278449001
Type	Monoclonal de lapin
Témoin	Carcinome mammaire, placenta
Localisation	Membranaire
Quantité	50 tests

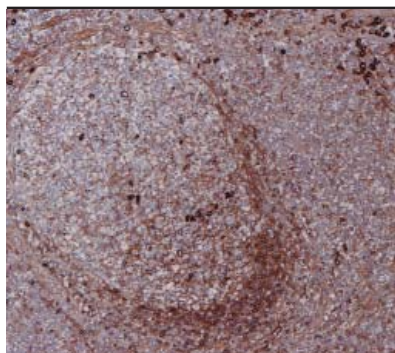
Carcinome mammaire

#### Description

L'anticorps primaire monoclonal de lapin CONFIRM IGF-1R (G11) est produit contre un peptide synthétique du domaine interne de la chaîne bêta du récepteur, proche de la région C-terminale, et il se lie à l'épitope d'IGF-1R. IGF-1R est un récepteur à tyrosine kinase de type 2, qui présente 60 % d'homologie avec le récepteur de l'insuline (IR) au niveau de la séquence des acides aminés.

#### Références

1. Samani A, et al., Endocrine Reviews, 28(1):20-47, 2007.



### Kappa, CONFIRM (polyclonal)

Référence	760-2514 05267013001
Type	Polyclonal de lapin
Témoin	Amygdale, ganglion lymphatique
Localisation	Surface membranaire et/ou cytoplasmique
Quantité	50 tests

Amygdale, centre germinatif

#### Description

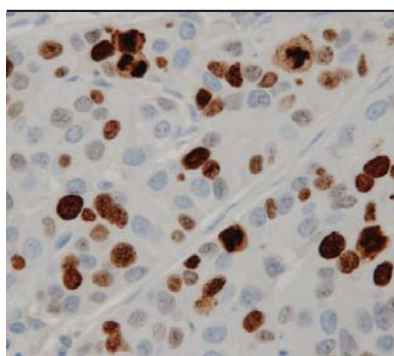
L'anticorps primaire polyclonal de lapin CONFIRM Kappa se lie spécifiquement à des antigènes localisés dans la membrane cellulaire et les régions cytoplasmiques des cellules B et des plasmocytes normaux. Les chaînes Kappa légères sont des chaînes polypeptidiques qui se combinent aux chaînes lourdes pour former les molécules d'immunoglobuline. Il existe deux classes de chaînes légères dans les immunoglobulines, les chaînes légères kappa et les chaînes légères lambda. La production de chaînes légères par les cellules lymphoïdes est génétiquement restreinte, de sorte que les molécules d'immunoglobuline produites par une cellule individuelle ne contiennent qu'une seule classe de chaîne légère. Cette restriction clonale peut être utilisée pour déterminer la nature polyclonale ou monoclonale des populations de cellules B et de plasmocytes. La clonalité étant un attribut cliniquement important pour aider à classer les lymphomes en sous-catégories, l'identification de la classe de chaîne légère a acquis une importance croissante en immunopathologie.

#### Références

1. Landaas TO, et al., Acta Path Microbiol Scand. 89(2):91-101, 1981.
2. Pangalis GA, et al., Cancer. 45(6):1334-1339, 1980.
3. Woda BA, et al., Cancer. 43(1):303-307, 1979.

Référence Ventana en noir, référence Roche en bleu. Les produits figurant sur cette page sont à usage en diagnostic *in vitro* (IVD).





### Ki-67, CONFIRM

(30-9)

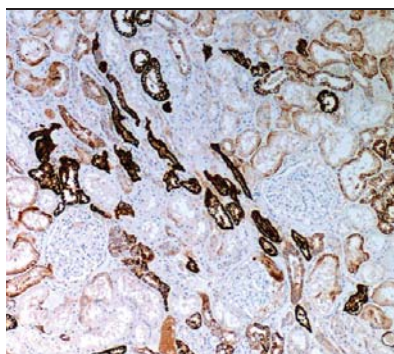
<b>Référence</b>	790-4286 <a href="#">05278384001</a>
<b>Type</b>	Monoclonal de lapin
<b>Témoin</b>	Ganglion lymphatique, amygdale
<b>Localisation</b>	Nucléaire
<b>Quantité</b>	50 tests

#### Description

L'anticorps primaire monoclonal de lapin CONFIRM Ki-67 (30-9) est dirigé contre la portion C-terminale de l'antigène Ki-67. La coloration pour Ki-67 peut aider à évaluer l'activité proliférative des tissus normaux et néoplasiques. Cet anticorps est conçu pour identifier les cellules prolifératives colorées. Ki-67 est une protéine nucléaire qui s'exprime dans les cellules prolifératives. Pendant le cycle cellulaire, l'antigène Ki-67 est exprimé au cours des phases G1, S, G2 et M, mais pas de la phase G0 de quiescence.

#### Références

1. Keng PC, et al., Radiat Oncol Investig. 6(3):120-7, 1998.
2. Rey A, et al., Arch Esp Urol. 51(2): 204-10, 1998.
3. Bacchi CE, et al., Braz J Med Biol Res. 26(7):677-87, 1993.
4. Alliegro M, et al., Exp Cell Res. 279(1):111-17, 2002.
5. Scholzen T, et al., J Cell Physiol. 182(3):311-22, 2000.



### Ksp-Cadhérine

(MRQ-33)

<b>Référence</b>	760-4387 <a href="#">05463548001</a>
<b>Type</b>	Monoclonal de souris
<b>Témoin</b>	Rein, carcinome rénal à cellules chromophobes
<b>Localisation</b>	Cytoplasmique, membranaire
<b>Quantité</b>	50 tests
<b>Isotype</b>	IgG <sub>1</sub>

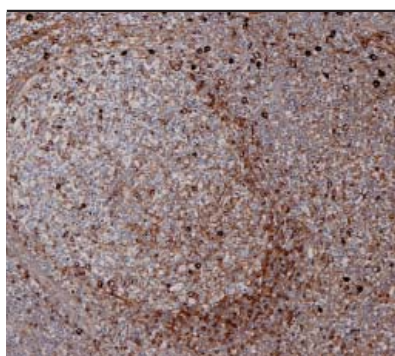
Rein

#### Description

La cadherine spécifique du rein (KSP-Cadhérine) est un nouveau membre, spécifique du rein, dans la famille des cadhérines qui sont des molécules d'adhésion cellulaire. Dans le rein, la KSP-Cadhérine se trouve exclusivement dans la membrane basolatérale des cellules tubulaires épithéliales rénales et des cellules du tube collecteur, mais pas dans les cellules glomérulaires, les cellules interstitielles ni les vaisseaux sanguins du rein. Différentes cadhérines, y compris la E-cadhérine, la cadherine-6 et la N-cadhérine, ont été examinées dans les cancers du rein, ce qui a permis de démontrer l'éventualité que la différenciation tumorale et la présence de métastases des ganglions lymphatiques soient corrélées avec la perte d'expression des cadhérines. Mazal et al. ont examiné l'intérêt d'utiliser la KSP-Cadhérine pour distinguer le carcinome rénal à cellules chromophobes de l'oncocytome. Ils ont trouvé une coloration cytoplasmique dans 96 % des 30 carcinomes chromophobes, mais seulement dans 6 % des 31 oncocytomes, ce qui les a amenés à conclure que cet anticorps est utile pour différencier les deux lésions. Shen et al. par ailleurs ont trouvé que 100 % de 13 carcinomes rénaux chromophobes et 95 % de 20 oncocytomes étaient positifs pour la KSP-Cadhérine.

#### Références

1. Mazal PR, et al., Hum Pathol. 36(1):22-8, 2005.
2. Shen SS, et al., Mod Pathol. 18(7):933-40, 2005.
3. Thedieck C, et al., Br J Cancer. 92(11):2010-7, 2005.



### Lambda, CONFIRM

(polyclonal)

<b>Référence</b>	760-2515 <a href="#">05267021001</a>
<b>Type</b>	Polyclonal de lapin
<b>Témoin</b>	Amygdale
<b>Localisation</b>	Surface membranaire et/ou cytoplasmique
<b>Quantité</b>	50 tests

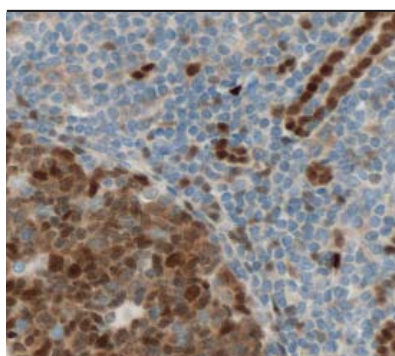
Amygdale, centre germinatif

#### Description

L'anticorps primaire polyclonal de lapin CONFIRM Lambda se lie spécifiquement à des antigènes localisés dans la membrane cellulaire et les régions cytoplasmiques des cellules B et des plasmocytes normaux. Les chaînes Lambda légères sont des chaînes polypeptidiques qui se combinent aux chaînes lourdes pour former les molécules d'immunoglobuline. Il existe deux classes de chaînes légères dans les immunoglobulines, les chaînes légères kappa et les chaînes légères lambda. La production de chaînes légères par les cellules lymphoïdes est génétiquement restreinte, de sorte que les molécules d'immunoglobuline produites par une cellule individuelle ne contiennent qu'une seule classe de chaîne légère. Cette restriction clonale peut être utilisée pour déterminer la nature polyclonale ou monoclonale des populations de cellules B et de plasmocytes. La clonalité étant un attribut cliniquement important pour aider à classer les lymphomes en sous-catégories, l'identification de la classe de chaîne légère a acquis une importance croissante en immunopathologie.

#### Références

1. Landaas TO, et al., Acta Path Microbiol Scand. 89(2):91-101, 1981.
2. Pangalis GA, et al., Cancer. 45(6):1334-1339, 1980.
3. Woda BA, et al., Cancer. 43(1):303-307, 1979.



### LMO2, CONFIRM

(1A9-1)

<b>Référence</b>	790-4368 <a href="#">05479274001</a>
<b>Type</b>	Monoclonal de souris
<b>Témoin</b>	Amygdale, ganglion lymphatique
<b>Localisation</b>	Nucléaire
<b>Quantité</b>	50 tests
<b>Isotype</b>	IgG <sub>1</sub> /K

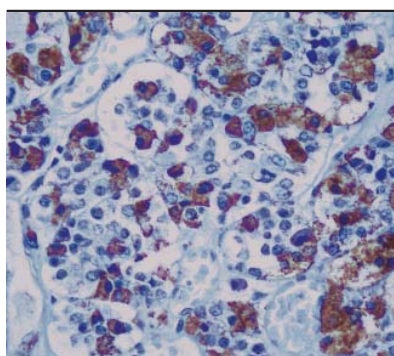
Amygdale normale

#### Description

L'anticorps primaire monoclonal de souris CONFIRM LMO2 (1A9-1) (IgG<sub>1</sub>) est dirigé contre une protéine de 24 kD de la famille des protéines à domaine LIM uniquement. LMO2 s'exprime dans les cellules B des centres germinatifs (CG) normaux et dans un sous-groupe de lymphomes B issus de centres germinatifs, ainsi que dans des lignées hématopoïétiques normales. LMO2 est essentiel pour la régulation des cellules souches hématopoïétiques et s'exprime dans des cellules précurseurs érythroïdes et myéloïdes, jouant un rôle crucial dans le développement hématopoïétique. Des études préliminaires démontrent l'expression de LMO2 dans des lymphomes B dérivant de centres germinatifs comme le lymphome folliculaire, le lymphome de Burkitt, le lymphome de Hodgkin à prédominance lymphocytaire et les néoplasmes diffus à grandes cellules B. On n'a pas constaté de coloration pour LMO2 dans les cellules B matures, les lymphomes T et les lymphomes de Hodgkin classiques.

#### Références

1. Natkunam Y, et al., Blood. 109:1636-1642, 2007.
2. Lossos I, et al., N Engl J Med. 350:1828-1837, 2004.



### Hormone lutéinisante (LH)

(polyclonal)

<b>Référence</b>	760-2802 <a href="#">05268222001</a>
<b>Type</b>	Polyclonal de lapin
<b>Témoin</b>	Hypophyse normale
<b>Localisation</b>	Cytoplasmique
<b>Quantité</b>	50 tests

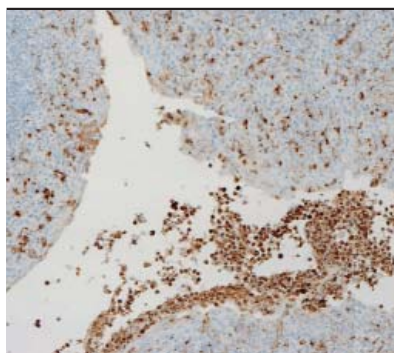
Hypophyse

#### Description

L'anticorps primaire polyclonal de lapin LH (hormone lutéinisante) est un marqueur utile dans la classification des tumeurs pituitaires et l'étude des maladies associées à l'hypophyse. Il réagit avec les cellules productrices de LH (gonadotrophes).

#### Références

1. La Rosa S, et al., Virchows Arch. 437(3):264-9, 2000.
2. Saccomanno K, et al., J Clin Endocrinol Metab. 78(5):1103-7, 1994.
3. Kovalitc JJ, J Neurooncol. 16(3):227-32, 1993.
4. Felix I, et al., Hum Pathol. 22(7):179-21, 1991.
5. Sano T et al. Virchows Arch A Pathol Anat Histopathol. 1990;417(4):361-7.



### Lysozyme

(polyclonal)

<b>Référence</b>	760-2656 <a href="#">05267668001</a>
<b>Type</b>	Polyclonal de lapin
<b>Témoin</b>	Amygdale, ganglion lymphatique
<b>Localisation</b>	Cytoplasmique
<b>Quantité</b>	50 tests

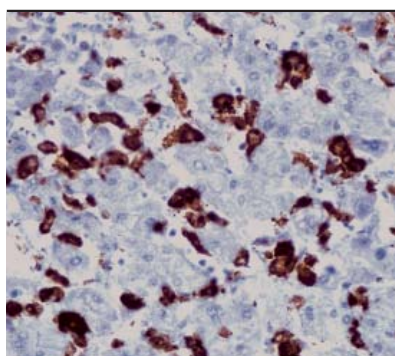
Amygdale

#### Description

L'anticorps primaire polyclonal de lapin lysozyme colore les cellules myéloïdes, les histiocytes, les granulocytes, les macrophages et les monocytes des amygdales, du côlon et de la peau chez l'homme. C'est un marqueur important qui peut démontrer la nature myéloïde ou monocyttaire de la leucémie aiguë. La nature restrictive de la coloration par l'anticorps lysozyme suggère que le lysozyme est synthétisé principalement dans les histiocytes réactifs plutôt que dans les phagocytes au repos, non stimulés. La coloration pour le lysozyme n'a pas été déterminée dans d'autres types cellulaires ou tissulaires. L'anticorps lysozyme peut aider à l'identification des tumeurs histiocytaires, des grands lymphocytes et des pathologies de la prolifération lymphocytaire.

#### Références

1. Morsky P, et al., Clin Chim Acta. 178:327-36, 1988.
2. Krugliak L, et al., Am J Hematol. 21:99-109, 1986.
3. Delaflor-Weiss E, et al., Acta Cytol. 43(6):1124-30, 1999.
4. Yuen ST, et al., Histopathology. 32(2):126-32, 1998.



### Macrophage (HAM-56)

<b>Référence</b>	760-2657 <a href="#">05267676001</a>
<b>Type</b>	Monoclonal de souris
<b>Témoin</b>	Amygdale, ganglion lymphatique
<b>Localisation</b>	Cytoplasmique
<b>Quantité</b>	50 tests
<b>Isotype</b>	IgM/K

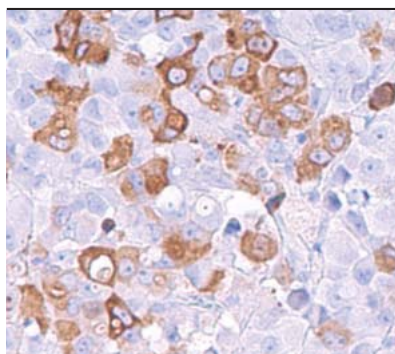
Amygdale, macrophages

#### Description

L'anticorps primaire monoclonal de souris contre les macrophages (HAM-56) réagit avec les macrophages à corps tingible, les macrophages interdigités des ganglions lymphatiques et les macrophages tissulaires, p. ex. les cellules de Kupffer du foie et les macrophages alvéolaires du poumon. Cet anticorps colore aussi une sous-population de cellules endothéliales, surtout celles des capillaires et des petits vaisseaux sanguins. L'anticorps contre les macrophages réagit avec les monocytes, mais pas avec les lymphocytes B ni T.

#### Références

1. Gown AM, et al., Am J Pathol. 125:191-207, 1986.
2. Alpers CE, et al., Am J Clin Pathol. 92:662-665, 1989.
3. Bosman C, et al., J Pediatr Hematol Oncol. 21(1):31-7, 1999.
4. Soini Y, et al., Pathol Res Pract. 186(6):759-67, 1990.



### Mammaglobine (31A5)

<b>Référence</b>	760-4263 <a href="#">05269253001</a>
<b>Type</b>	Monoclonal de lapin
<b>Témoin</b>	Carcinome mammaire
<b>Localisation</b>	Cytoplasmique
<b>Quantité</b>	50 tests
<b>Isotype</b>	IgM/K

Carcinome mammaire

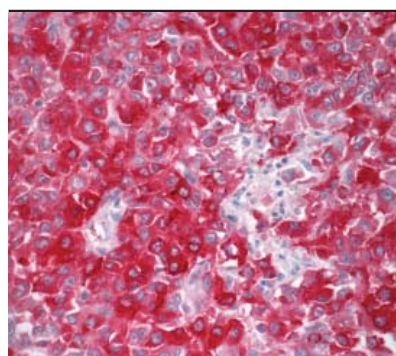
#### Description

La mammaglobine (10 kD) est une glycoprotéine du sein quelque peu apparentée à la famille des sécrétoglobines qui comprend l'utéroglobine humaine et la lipophiline. On trouve des niveaux élevés d'ARN messager de mammaglobine dans des lignées cellulaires de cancer du sein et on a démontré qu'il s'agissait d'un marqueur sensible du cancer du sein. En combinaison avec d'autres marqueurs caractéristiques du sein comme GCDFP-15, on est parvenu à une sensibilité globale de 84 % dans la détection du carcinome mammaire. L'anticorps mammaglobine peut également être utilisé pour déterminer l'origine mammaire des carcinomes métastatiques.

#### Références

1. Watson MA, et al., Cancer Research. 59:3028-3031, 1999.
2. Fleming TP, et al., Ann N Y Acad Sci. 923:78- 89, 2000.
3. Han JH, et al., Arch Pathol Lab Med. 127:1330-1334, 2003.
4. Bhargava R, et al., Am J Clin Pathol. 127(1):103-13, 2007.
5. Sasak E, et al., Breast Mod Pathol. 20 (2):208-14. 2007.
6. Wang Z, et al., Int J Clin Exp Pathol. 2(4):384-9, 2009.





### MART-1/melan A, CONFIRM

(A103)

**Référence** 790-2990 05278350001

**Type** Monoclonal de souris

**Témoin** Peau normale, mélanome

**Localisation** Cytoplasmique

**Quantité** 50 tests

**Isotype** IgG<sub>1</sub>

Mélanome

#### Description

Le mélanome est une tumeur maligne issue des mélanocytes. Les mélanocytes sont des cellules dérivées du neuroectoderme, qui migrent à partir de la crête neurale vers la peau au cours de la phase fœtale précoce, s'installent dans l'épiderme et s'intègrent à la structure complexe de la peau. L'un des aspects fonctionnels les plus importants des mélanocytes est la production de la mélanine, un pigment synthétisé en réponse aux rayons ultraviolets pour protéger les structures cutanées des dégâts provoqués par le soleil. Environ 47 700 cas de mélanomes sont diagnostiqués chaque année rien qu'aux États-Unis, et leur incidence augmente au rythme de 4,3 % par an. Dans environ 2 % des cas, la maladie est présente même s'il n'y a pas de décoloration de la peau. L'American Cancer Society estime qu'il y a actuellement 480 000 cas de mélanome aujourd'hui en Amérique et qu'ils sont responsables de 7 700 morts par an. On a rapporté que dans l'ensemble des États-Unis, de l'Europe et de l'Australie, 90 000 nouveaux cas sont diagnostiqués chaque année et qu'il en résulte 15 000 morts par an. Pour aider à diagnostiquer ces lésions potentiellement létales, des anticorps monoclonaux ont été générés contre un déterminant antigénique localisé sur une glycoprotéine qui s'exprime uniquement dans les cellules de la lignée mélanocytaire. La molécule est localisée sur la face interne des membranes des pré-mélanosomes de type 1, 2 et 3 et sert de cible potentielle pour les lymphocytes T cytotoxiques, probablement de concert avec des antigènes du complexe majeur d'histocompatibilité de type II (CMH2A). La dénomination MART-1/melan A fait spécifiquement référence à cette propriété (antigène de mélanome reconnu par les cellules T-1) et cet antigène est effectivement reconnu par les lymphocytes T.

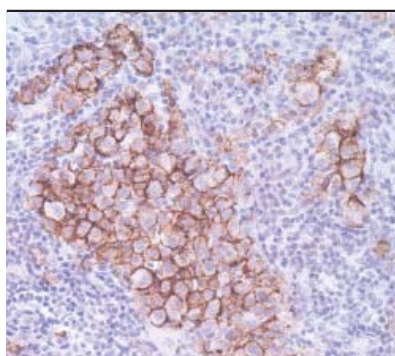
En pratique, HMB-45 et MART-1/melan A ont été largement utilisés comme agents pour confirmer l'identité mélanocytaire des tumeurs polyclonales positives pour la protéine S100. MART-1/melan et HMB-45 se comportent différemment selon la méthode de fixation du tissu employée. MART-1/melan A convient pour les tissus fixés au formol et au matériel d'archive qui nécessitent une restauration antigénique par la chaleur pour démasquer l'épitope (heat-induced epitope retrieval ou HIER). Aussi bien HMB-45 que MART-1/melan A manifestent une sensibilité accrue à la HIER, bien que l'immunoréactivité de HMB-45 soit plus forte dans les tissus fixés à l'éthanol que dans les tissus fixés au formol. La fixation prolongée dans le formol fait nettement diminuer l'immunoréactivité de HMB-45. HMB-45 présente aussi l'inconvénient d'un haut degré de non-spécificité lorsqu'il est utilisé avec des fixateurs à base de mercure.

Les deux anticorps monoclonaux diffèrent également dans leurs taux de détection du mélanome. MART-1/melan A est associé à des taux de détection positifs de 81-90 % alors que HMB-45 est associé à des taux de 75-80 % sur des mélanomes malins primaires et métastatiques. Contrairement à HMB-45, selon les rapports, MART-1/melan A entraîne une coloration cytoplasmique homogène dans les mélanomes et les nævi mélanocytaires, avec une plus forte intensité et un plus grand pourcentage d'immunopositivité dans les cellules tumorales. HMB-45 colore surtout les parties intra-épidermiques et dermiques superficielles des nævi composés. MART-1/melan A est utile pour la détection des mélanomes primaires et métastatiques, particulièrement avec une morphologie épithélioïde, cependant, son rôle est limité dans le diagnostic différentiel des mélanomes desmoplastiques.

AA Jungbluth et al. ont publié dans une étude les informations supplémentaires suivantes sur les taux de détection des mélanomes : sur 75 mélanomes métastatiques testés, 81 % étaient positifs pour A-103 et 75 % étaient positifs pour HMB-45. Parmi les cas positifs, A-103 présentait une coloration homogène dans un nombre de cas significativement plus élevé que HMB-45 (72 % contre 52 %, respectivement). Des colorations ponctuelles sur moins de 5 % des cellules tumorales ont été plus fréquemment observées avec HMB-45 (12 sur 56) qu'avec A-103 (5 sur 61).

#### Références

1. Dabbs DJ, et al., Immunohistochemistry, Churchill Livingstone, Philadelphia, 2002.
2. Leong AS-Y, et al., Diagnostic Antibodies for Immunohistology, 2nd Edition. Greenwich Medical Media Ltd., London, 2003.
3. Jungbluth AA, et al., Am J Surg Pathol. 22(5): 595-602, 1998.
4. Jungbluth AA, et al., Virchows Arch. 434:429-435, 1999.



### Antigène associé au mélanome

(KBA.62)

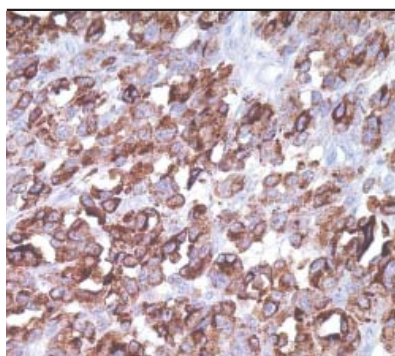
<b>Référence</b>	760-4527 06419186001
<b>Type</b>	Monoclonal de souris
<b>Témoin</b>	Mélanome
<b>Localisation</b>	Cytoplasmique
<b>Quantité</b>	50 tests
<b>Isotype</b>	IgG <sub>1</sub>

### Description

L'anticorps primaire monoclonal de souris contre l'antigène associé au mélanome (KBA.62) est un nouvel anticorps contre le mélanome. Les études à ce jour ont montré une sensibilité aux proliférations mélanocytaires similaire à celle que l'on obtient avec la coloration de la protéine S-100, ce qui est un peu plus élevé que pour HMB-45. Cela a été confirmé par une étude sur une série de 215 ganglions sentinelles. De plus, l'anticorps KBA.62 a identifié 6 patients (3 %) qui avaient des métastases confirmées des ganglions sentinelles mais étaient négatifs pour HMB-45. Dans ce contexte, la résolution apparaît meilleure que celle de la protéine S-100, du fait que l'aspect de la coloration (membranaire) est assez net.

### Références

1. Morris LG, et. al., Head Neck. 30:771-775, 2008.
2. Busam KJ, et. al., Am J Surg Pathol. 29: 400-406, 2005.
3. Rochemaix P, et. al., Mod Pathol. 16:481-490, 2003.
4. Nonaka D, et. al., Am J Clin Pathol. 127:787-791, 2003.
5. Zhe X, et. al., J Histochem Cytochem. 52:1537-1542, 2004



### Antigène associé au mélanome

(PNL2)

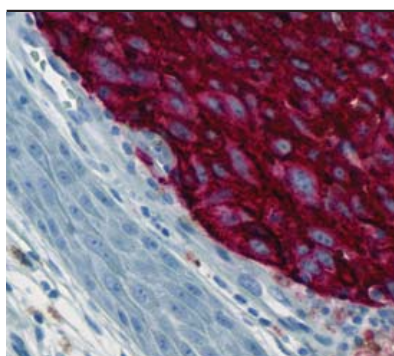
<b>Référence</b>	760-4528 06419194001
<b>Type</b>	Monoclonal de souris
<b>Témoin</b>	Mélanome
<b>Localisation</b>	Cytoplasmique
<b>Quantité</b>	50 tests
<b>Isotype</b>	IgG <sub>1</sub>

### Description

L'anticorps primaire monoclonal de souris PNL2 (antigène associé au mélanome) est un nouvel anticorps monoclonal, récemment introduit en tant que réactif immunohistochimique pour la coloration des mélanocytes et des tumeurs qui en dérivent. L'anticorps PNL2 entraîne une coloration cytoplasmique intense des mélanocytes de la peau et de la muqueuse buccale, ainsi qu'une coloration des granulocytes lorsqu'il est utilisé à des concentrations élevées. L'anticorps PNL2 marque les nævi intraépidermiques, alors que la composante dermique des nævi composés ne sont pas du tout réactives à l'anticorps PNL2. Des anticorps contre PNL2, melan-A et HMB-45 colorent la plupart des cellules de sarcome à cellules claires et quelques cellules dans les angiomyolipomes et la lymphangioléiomyomatose. Les lésions non mélanocytaires qui se sont révélées positives pour ce marqueur comprennent les tumeurs à cellules épithélioïdes périvasculaires et le schwannome mélanotique. L'anticorps PNL2 est utile dans l'identification des mélanomes et des sarcomes à cellules claires.

### Références

1. Shah RB, et. al., Am J Clin Pathol. 122:517-523, 2004.
2. Morris LG, et. al., Head Neck. 30:771-5, 2008.
3. Busam KJ, et. al., Am J Surg Pathol. 29: 400-6, 2005.
4. Rochemaix P, et. al., PNL2, Mod Pathol. 16:481-90, 2003.
5. Nonaka D, et. al., Am J Clin Pathol. 127:787-91, 2007.
6. Zhe X, et. al., J Histochem Cytochem. 52:1537-42, 2004.



### Mélanosome, CONFIRM

(HMB45)

Référence	790-4366 05479282001
Type	Monoclonal de souris
Témoin	Mélanome, peau
Localisation	Cytoplasmique
Quantité	50 tests
Isotype	IgG <sub>1</sub> /K

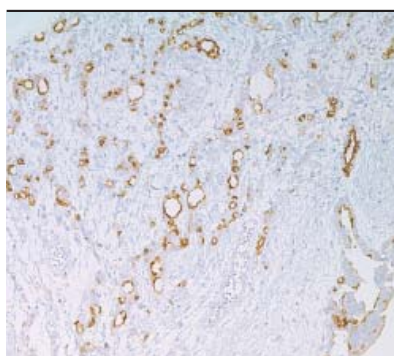
Mélanome, avec une zone montrant des mélanocytes normaux

#### Description

CONFIRM Melanosome (HMB45) est un anticorps primaire monoclonal de souris dont on a montré la réaction avec des mélanosomes immatures dans les mélanocytes fœtaux et néonataux et dans l'épithélium pigmentaire rétinien. Il ne réagit pas avec des mélanocytes adultes normaux quiescents, quel que soit leur degré de pigmentation. Dans les cellules malignes, HMB45 colore la plupart des mélanomes primaires et métastatiques. Les mélanomes malins desmoplastiques n'expriment que rarement l'antigène HMB45, peut-être parce qu'ils contiennent peu de mélanosomes et présentent une différenciation de type mésenchymateux. Les cellules tumorales non mélanocytaires ou les cellules d'origine épithéliale, réticulo-endothéliale, gliale et mésenchymateuse ne sont pas marquées, à l'exception des angiomyolipomes rénaux, un type d'hamartome mésenchymateux.

#### Références

1. Kapur R, et al., J Histochem Cytochem. 40(2):207-212, 1992.
2. Gown A, et al., Am J Pathol. 123(2):195-203, 1986.
3. Esclamado R, et al., Am J Surg. 152(4): 376-385, 1986.
4. Colombari R, et al., Virchows Archiv A Pathol Anat. 413(1):17-24, 1988.
5. Skelton H, et al., Am J Dermatopathol. 13(6): 543-550, 1991.
6. Ordonez N, et al., Am J Clin Pathol. 90(4): 385-390, 1988.
7. Pea M, et al., Pathol. 23(3): 185-188, 1991.
8. Ashfaq R, et al., Cancer. 71(10): 3091-3097, 1993.



### Cellule mésothéliale

(HBME-1)

Référence	760-4445 05973813001
Type	Monoclonal de souris
Témoin	Mésothéliome, carcinome thyroïdien
Localisation	Cytoplasmique, membranaire
Quantité	50 tests
Isotype	IgM/K

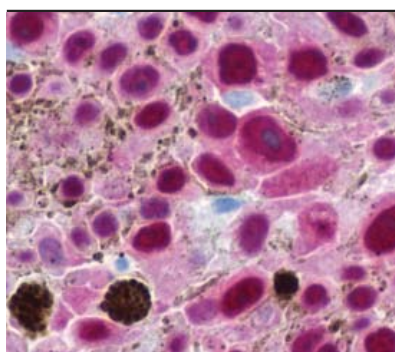
Biopsie pleurale, mésothéliome malin

#### Description

On a pu démontrer que l'anticorps primaire monoclonal de souris contre les cellules mésothéliales (HBME-1) marque les cellules mésothéliales, aussi bien bénignes que malignes (mésothéliomes malins), et par conséquent cet anticorps a été utilisé pour distinguer les mésothéliomes des adénocarcinomes d'origines diverses. Plus récemment, cet anticorps a été utilisé pour distinguer les carcinomes thyroïdiens (tant folliculaires que papillaires) des lésions bénignes de la thyroïde.

#### Références

1. Coli A, et al., J Exp Clin Cancer Res. 26(2):221-7, 2007.
2. Cabibi D, et al., Thyroid. 17(7):603-7, 2007.
3. Torregrossa L, et al., Hum Pathol. 38(10):1482-8, 2007.
4. Barroeta JE, et al., Endocr Pathol. 17(3):225-34, 2006.

**MITF, CONFIRM****(C5/D5)**

<b>Référence</b>	790-4367 <a href="#">05549175001</a>
<b>Type</b>	Monoclonal de souris
<b>Témoin</b>	Mélanome
<b>Localisation</b>	Nucléaire
<b>Quantité</b>	50 tests
<b>Isotype</b>	IgG <sub>1</sub>

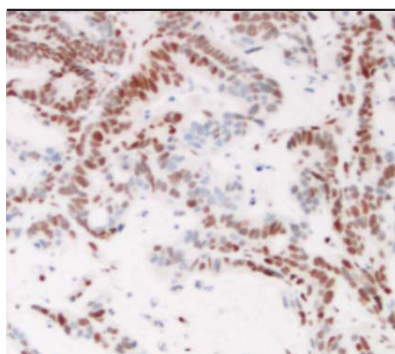
Mélanome

**Description**

L'anticorps primaire monoclonal de souris CONFIRM MITF (C5/D5) est un cocktail monoclonal de souris. Ce réactif constitué d'un cocktail d'anticorps détecte les protéines de 52 à 56 kD du facteur de transcription associé à la microphthalmie (MITF) dans les cellules exprimant le MITF des tissus normaux et néoplasiques. Cet anticorps est utilisé dans l'identification des lésions mélanotiques telles que le mélanome malin et le neurofibrome mélanotique.

**Références**

1. Tachibana M, et al., Hum Mol Genet. 3(4):553, 1994.
2. Chang KL, et al., Adv Anat Pathol. 8(5):273, 2001.
3. Widlund HR, et al., Oncogene. 22(20):3035, 2003.
4. King R, et al., Am J Pathol. 155(3):731, 1999.
5. Granter SR, et al., Appl Immunohistochem Mol Morphol. 10(1):47, 2002.
6. Dorvault CC, et al., Cancer. 93(5):337, 2001.

**MLH-1****(M1)**

<b>Référence</b>	790-4535 <a href="#">06472966001</a>
<b>Type</b>	Monoclonal de souris
<b>Témoin</b>	Côlon, sein, appendice, testicule et ovaire
<b>Localisation</b>	Nucléaire
<b>Quantité</b>	50 tests
<b>Isotype</b>	IgG <sub>2a</sub>

Carcinome du côlon

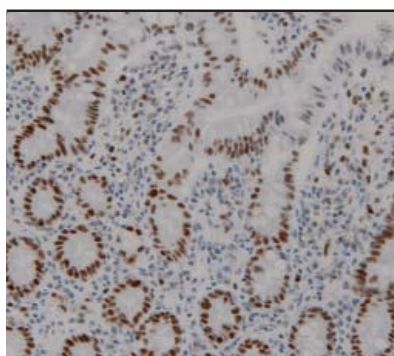
**Description**

L'anticorps primaire monoclonal de souris MLH-1 (M1) est utilisé pour identifier qualitativement la protéine humaine de réparation des mésappariements de l'ADN MLH1, qui s'exprime dans le noyau des cellules prolifératives normales. Des défauts ou de faibles niveaux d'expression de MLH1 sont associés au cancer colorectal et à d'autres cancers.

**Références**

1. Aaltonen LA, et al. N Engl J Med. 338:1481-1487, 1998.
2. Boyer J, et al. Cancer Res. 55:6063-6070, 1995.
3. Lawes, D, et al. Br J Cancer. 93:472-477, 2005.
4. Chen Y, et al. Cancer Res. 61(10):4112-2, 2001.
5. Chen Y, et al. Cancer Res. 61(10):4112-2, 2001.
6. Caldés, T. Oncol Rep. 12:621-629, 2004.
7. Ellis NA. Am J Surg Pathol. Jan 29(1):96-104, 2005.
8. Berends MJW, et al. Am J Hum Genet. 70:26-37, 2002.



**MSH2**

(G219-1129)

<b>Référence</b>	760-4265 05269270001
<b>Type</b>	Monoclonal de souris
<b>Témoin</b>	Muqueuse du côlon, carcinome du côlon
<b>Localisation</b>	Nucléaire
<b>Quantité</b>	50 tests
<b>Isotype</b>	IgG <sub>1</sub>

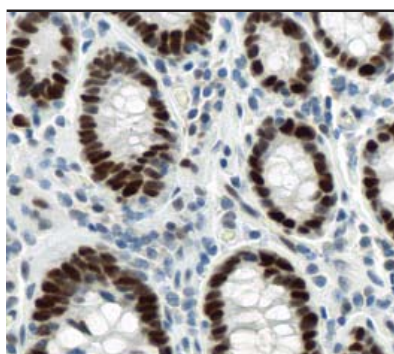
Côlon

**Description**

MSH2 est un gène de réparation des mésappariements de l'ADN qui est déficient chez une proportion élevée de patients affectés par l'instabilité des microsatellites (MSI-H). Cette découverte est associée à la pathologie autosomique dominante connue comme le cancer colique héréditaire sans polyposé (HNPCC). L'anticorps primaire monoclonal de souris MSH2 (G219-1129) est utile dans les tests de dépistage de cette maladie chez les patients et leurs familles. Les cas de cancer du côlon associés à l'instabilité des microsatellites sont associés à un meilleur pronostic que ceux chez lesquels les microsatellites sont stables.

**Références**

1. Wright CL, et al., Am J Surg Pathol. 27: 1393-1406, 2003.
2. Brueckl WM, et al., Anticancer Res. 23:1773-1778, 2003.
3. Rigau V, et al., Arch Pathol Lab Med. 127:694-700, 2003.
4. Renkonen E, et al., J Clin Oncol. 21:3629-3637, 2003.
5. Hoedema R, et al., The Am Surgeon. 69(5):387-92, 2003.
6. Christensen M, et al., Cancer. 95:2422-30, 2002.
7. Wahlberg SS, et al., Cancer Res. 62:3485-3492, 2002.
8. Lanza G, et al., Modern Pathol. 15:741-749, 2002.

**MSH6, CONFIRM**

(44)

<b>Référence</b>	790-4455 05929911001
<b>Type</b>	Monoclonal de souris
<b>Témoin</b>	Carcinome du côlon, carcinome mammaire
<b>Localisation</b>	Nucléaire
<b>Quantité</b>	50 tests
<b>Isotype</b>	IgG <sub>1</sub>

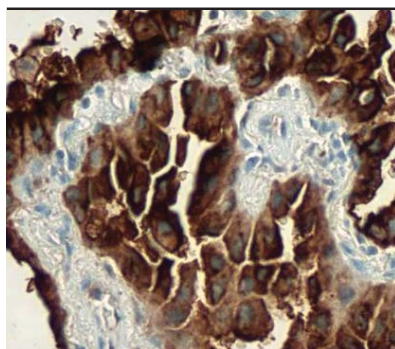
Tissu gastrique normal

**Description**

L'anticorps primaire monoclonal de souris CONFIRM MSH6 (44) est utilisé pour identifier qualitativement la protéine humaine MSH6, une protéine de réparation des mésappariements de l'ADN exprimée dans les noyaux des cellules prolifératives normales. Des défauts ou de faibles niveaux d'expression de MSH6 sont associés au cancer colorectal et à d'autres cancers.

**Références**

1. Lawes DA, Br J Cancer. 93:472-477, 2005.
2. Miyaki M, Nat Genet. 17:271-272, 1997.
3. Offit K, J Clin Oncol. 22:4449-4451, 2004.
4. Acharya S, et al., Proc Natl Acad Sci USA. 93:13629-13634, 1996.
5. Guerrette S, et al., Mol Cell Biol. 18:6616-6623, 1996.
6. Aaltonen LA, et al., N Engl J Med. 338:1481-1487, 1998.
7. Caldés, T. et al., Oncol Rep. 12:621-629, 2004.
8. Ellis NA. Am J Surg Pathol. 29(1):96-104, 2005.
9. Berends MJW, et al., Am J Hum Genet. 70:26-37, 2002.

**MUC1****(H23)**

<b>Référence</b>	790-4574 <a href="#">06316514001</a>
<b>Type</b>	Monoclonal de souris
<b>Témoin</b>	Sein, poumon, pancréas
<b>Localisation</b>	Membranaire, cytoplasmique
<b>Quantité</b>	50 tests
<b>Isotype</b>	IgG

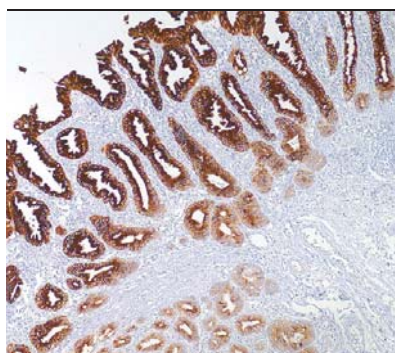
Adénocarcinome du poumon

**Description**

L'anticorps primaire monoclonal de souris MUC1 (H23) est dirigé contre la phosphoprotéine membranaire glycosylée MUC1. Cet anticorps peut être utilisé pour aider à identifier les cellules normales et néoplasiques qui expriment MUC1.

**Références**

1. Guddo F, et al. J Clin Pathol. 51:667-71, 1998.
2. Guddo F, et al. Anticancer Res. 18:1915-20, 1998.
3. Barratt-Boyes S. Cancer Immunol Immunother. 43:142-151, 1996.
4. Taylor-Papadimitriou J, et al. Trends Biotechnol. 12:227-233, 1994.

**MUC2****(MRQ-18)**

<b>Référence</b>	760-4388 <a href="#">05463556001</a>
<b>Type</b>	Monoclonal de souris
<b>Témoin</b>	Côlon, adénocarcinome du côlon
<b>Localisation</b>	Cytoplasmique
<b>Quantité</b>	50 tests
<b>Isotype</b>	IgG <sub>1</sub> /K

Côlon

**Description**

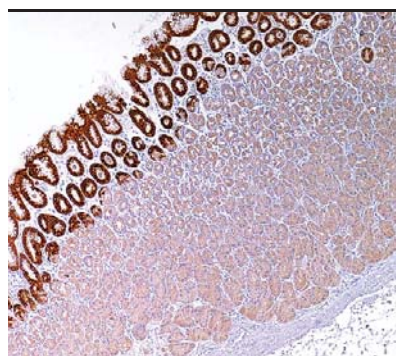
Les mucines sont des glycoprotéines de haut poids moléculaire qui constituent la composante majeure de la couche de mucus protégeant l'épithélium gastrique contre les agressions chimiques et mécaniques. Chez l'homme, on a identifié au moins 14 gènes de mucine codant pour des protéines de la famille des mucines. Ceux-ci sont désignés par MUC1, MUC2, MUC3, MUC4, MUC5AC, MUC5B, MUC6, MUC7, MUC8, MUC9, MUC11, MUC12, MUC13 et MUC16. Les mucines ont une caractéristique commune, qui est un domaine de séquences répétées en tandem, riche en résidus sérine et thréonine. Ces résidus d'acides aminés sont des sites potentiels d'O-glycosylation permettant la liaison de chaînes d'O-glycanes qui constituent jusqu'à 80 % du poids moléculaire de la glycoprotéine de mucine sous sa forme finale.

La distribution hétérogène de l'expression des mucines, y compris l'expression de la mucine intestinale MUC2, peut apporter de nouveaux éclairages sur les voies de différenciation du carcinome gastrique. La distribution de l'expression de la mucine peut également servir d'indice pour mieux comprendre le comportement biologique d'entités clinico-pathologiques distinctes liées à la localisation du cancer gastrique, à savoir la forme proximale et distale du cancer gastrique. Pinto-de-Sousa et al. ont montré, dans une étude détaillée des carcinomes gastriques évalués par rapport à l'expression de plusieurs mucines (MUC1, MUC2, MUC5AC et MUC6) que : (1) l'expression de la mucine est associée au type de tumeur (MUC5AC s'exprime dans les carcinomes diffus et infiltrants, tandis que MUC2 s'exprime dans les carcinomes mucineux) mais pas au comportement clinico-biologique des tumeurs ; (2) l'expression de la mucine est associée à la localisation de la tumeur (MUC5AC s'exprime dans le carcinome antral, tandis que MUC2 s'exprime dans le cancer du cardia), ce qui reflète indirectement les spécificités de différenciation tumorale selon la localisation de la tumeur. Les généralités suivantes s'appliquent aux modes d'expression de la mucine. Expression de MUC1 : surfaces apicales de la plupart des cellules épithéliales dans le sein, les tractus gastro-intestinal (GI), respiratoire et génito-urinaire (GU). Expression de MUC2 : spécifique des cellules caliciformes de l'intestin grêle et du côlon. Exprimée dans : 65 % des cancers du côlon, 42 % des cancers gastriques, 17 % des cancers de l'œsophage. Rare en dehors du tractus gastro-intestinal – à l'exception du carcinome mucineux du sein et du carcinome à cellules claires de l'ovaire.

**Références**

1. Chaves P, et al., Dis Oesophagus. 18(6):383-7, 2005.
2. Leteurtre E, et al., World J Gastroenterol. 12(21):3324-31, 2006.
3. Mino-Kenudson M, et al., Arch Pathol Lab Med. 131(1):86-90, 2007.
4. Mizoshita T, et al., Histol Histopathol. 22(3):251-60, 2007.
5. O'Connell FP, et al., Arch Pathol Lab Med. 129(3):338-47, 2005.
6. Park SY, et al., Arch Pathol Lab Med. 131(10):1561-7, 2007.
7. Rakha EA, et al., Mod Pathol. 18(10):1295-304, 2005.

Référence Ventana en noir, référence Roche en bleu. Les produits figurant sur cette page sont à usage en diagnostic *in vitro* (IVD).



### MUC5AC (MRQ-19)

<b>Référence</b>	760-4389 <a href="#">05463564001</a>
<b>Type</b>	Monoclonal de souris
<b>Témoin</b>	Estomac, adénocarcinome qui y sont associés
<b>Localisation</b>	Cytoplasmique
<b>Quantité</b>	50 tests
<b>Isotype</b>	IgG <sub>1</sub>

Estomac

### Description

Les mucines sont des glycoprotéines de haut poids moléculaire qui constituent la composante majeure de la couche de mucus protégeant l'épithélium gastrique contre les agressions chimiques et mécaniques. Chez l'homme, on a identifié au moins 14 gènes de mucine codant pour des protéines de la famille des mucines. Ceux-ci sont désignés par MUC1, MUC2, MUC3, MUC4, MUC5AC, MUC5B, MUC6, MUC7, MUC8, MUC9, MUC11, MUC12, MUC13 et MUC16. L'expression des gènes de mucine est régulée en fonction de la cellule et du tissu. L'estomac fournit un bon exemple d'une telle expression différentielle des gènes de mucine. MUC1 est détecté dans les cellules muqueuses de la surface de l'épithélium et de la région de l'orifice de l'antra du pylore, ainsi que dans les glandes pyloriques et oxyntiques de la région du corps gastrique. MUC5AC est fortement exprimé dans l'épithélium foveolaire du corps gastrique et de l'antra du pylore, alors que l'expression de MUC6 est limitée aux cellules à mucus du corps et aux glandes de l'antra du pylore. Les mucines présentent une expression hétérogène dans les carcinomes gastriques. Leur distribution comprend des mucines normalement exprimées dans la muqueuse gastrique (MUC1, MUC5AC et MUC6) ainsi qu'une expression de novo de la mucine intestinale MUC2. La distribution hétérogène de l'expression des mucines, y compris l'expression de la mucine intestinale MUC2, peut apporter de nouvelles précisions sur les voies de différenciation du carcinome gastrique. Pinto-de-Sousa et al. ont montré, dans une étude détaillée des carcinomes gastriques évalués par rapport à l'expression de plusieurs mucines (MUC1, MUC2, MUC5AC et MUC6) que : (1) l'expression de la mucine est associée au type de tumeur (MUC5AC s'exprime dans les carcinomes diffus et infiltrants, tandis que MUC2 s'exprime dans les carcinomes mucineux) mais pas au comportement clinico-biologique des tumeurs ; (2) l'expression de la mucine est associée à la localisation de la tumeur (MUC5AC s'exprime dans le carcinome antral, tandis que MUC2 s'exprime dans le cancer du cardia), ce qui reflète indirectement les spécificités de différenciation tumorale selon la localisation de la tumeur. Les généralités suivantes s'appliquent aux modes d'expression de la mucine :

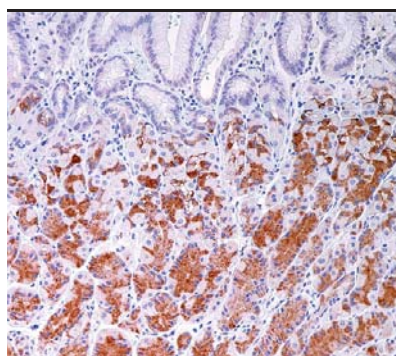
### Expression de MUC5AC :

- Préférentiellement exprimée dans l'estomac et le tractus respiratoire normaux
- Adénocarcinomes GI et pancréatobiliaires
- Carcinomes de l'œsophage (67 %)
- Carcinomes gastriques (58 %)
- Carcinomes coliques (6 à 25 %)
- Carcinomes des canaux pancréatiques (73 %)
- Cholangiocarcinomes (45 %)
- Adénocarcinomes endocervicaux (70 %)
- Adénocarcinomes de l'endomètre (22 %)
- Adénocarcinomes du poumon (14 %), distribution MUC1+/MUC2-/MUC5AC+
- Adénocarcinomes endocervicaux (50 %)
- Adénocarcinomes des canaux pancréatiques (64 %), distribution MUC1+/MUC2-/MUC5AC-
- Carcinomes mammaires canaux et lobulaires (100 %)
- Carcinomes urothéliaux (vessie) (93 %)
- Carcinomes rénaux (75 %)
- Adénocarcinomes ovariens de divers types
- La plupart des adénocarcinomes pulmonaires (81 %)
- Adénocarcinomes de l'endomètre (78 %) (un petit sous-ensemble exprime MUC5AC), distribution MUC1-/MUC2-/MUC5AC-
- Carcinome hépatocellulaire
- Corticosurrénalome
- Carcinome de la prostate

### Références

- Chaves P, et al., Dis Oesophagus. 18(6):383-7, 2005.
- Leteurtre E, et al., World J Gastroenterol. 12(21):3324-31, 2006.
- Mino-Kenudson M, et al., Arch Pathol Lab Med. 131(1):86-90, 2007.
- Mizoshita T, et al., Histol Histopathol. 22(3):251-60, 2007.
- O'Connell FP, et al., Arch Pathol Lab Med. 129(3):338-47, 2005.
- Park SY, et al., Arch Pathol Lab Med. 131(10):1561-7, 2007.
- Rakha EA, et al., Mod Pathol. 18(10):1295-304, 2005.

Référence Ventana en noir, référence Roche en bleu. Les produits figurant sur cette page sont à usage en diagnostic *in vitro* (IVD).



### MUC6 (MRQ-20)

**Référence** 760-4390 05463572001

**Type** Monoclonal de souris

**Témoin** Estomac, adénocarcinomes qui y sont associés

**Localisation** Cytoplasmique

**Quantité** 50 tests

**Isotype** IgG<sub>1</sub>

Estomac

### Description

Les mucines sont des glycoprotéines de haut poids moléculaire qui constituent la composante majeure de la couche de mucus protégeant l'épithélium gastrique contre les agressions chimiques et mécaniques. Chez l'homme, on a identifié au moins 14 gènes de mucine codant pour des protéines de la famille des mucines. Ceux-ci sont désignés par MUC1, MUC2, MUC3, MUC4, MUC5AC, MUC5B, MUC6, MUC7, MUC8, MUC9, MUC11, MUC12, MUC13 et MUC16.

L'expression des gènes de mucine est régulée en fonction de la cellule et du tissu. L'estomac fournit un bon exemple d'une telle expression différentielle des gènes de mucine. MUC1 est détecté dans les cellules muqueuses de la surface de l'épithélium et de la région de l'orifice de l'antré du pylore, ainsi que dans les glandes pyloriques et oxyntiques de la région du corps gastrique. MUC5AC est fortement exprimé dans l'épithélium foveolaire du corps gastrique et de l'antré du pylore, alors que l'expression de MUC6 est limitée aux cellules à mucus du corps et aux glandes de l'antré du pylore. Les mucines présentent une expression hétérogène dans les cancers de l'estomac. Leur distribution comprend des mucines normalement exprimées dans la muqueuse gastrique (MUC1, MUC5AC et MUC6) ainsi qu'une expression de novo de la mucine intestinale MUC2.

La distribution hétérogène de l'expression des mucines, y compris l'expression de la mucine intestinale MUC2, peut apporter de nouvelles précisions sur les voies de différenciation du carcinome gastrique. Pinto-de-Sousa et al. ont montré, dans une étude détaillée des carcinomes gastriques évalués par rapport à l'expression de plusieurs mucines (MUC1, MUC2, MUC5AC et MUC6) que : (1) l'expression de la mucine est associée au type de tumeur (MUC5AC s'exprime dans les carcinomes diffus et infiltrants, tandis que MUC2 s'exprime dans les carcinomes mucineux) mais pas au comportement clinico-biologique des tumeurs ; (2) l'expression de la mucine est associée à la localisation de la tumeur (MUC5AC s'exprime dans le carcinome antral, tandis que MUC2 s'exprime dans le cancer du cardia), ce qui reflète indirectement les spécificités de différenciation tumorale selon la localisation de la tumeur.

Les généralités suivantes s'appliquent aux modes d'expression de la mucine :

### Expression de MUC5AC :

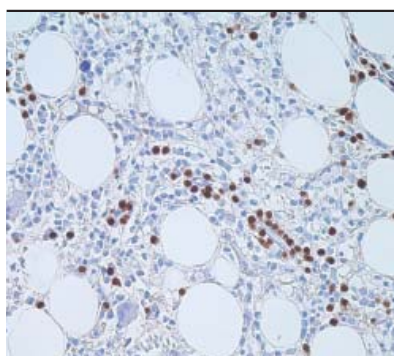
- Préférentiellement exprimée dans l'estomac et le tractus respiratoire normaux
- Adénocarcinomes GI et des voies pancréatobiliaires
- Carcinomes de l'œsophage (67 %)
- Carcinomes gastriques (58 %)
- Carcinomes coliques (6 à 25 %)
- Carcinomes des voies pancréatiques (73 %)
- Cholangiocarcinome (45 %)
- Adénocarcinomes endocervicaux (70 %)
- Adénocarcinomes de l'endomètre (22 %)
- Adénocarcinomes du poumon (14 %), distribution MUC1+/MUC2-/MUC5AC+
- Adénocarcinomes endocervicaux (50 %)
- Adénocarcinomes des canaux pancréatiques (64 %), distribution MUC1+/MUC2-/MUC5AC-
- Carcinomes mammaires canaux et lobulaires (100 %)
- Carcinomes urothéliaux (vessie) (93 %)
- Carcinomes rénaux (75 %)
- Adénocarcinomes ovariens de divers types
- La plupart des adénocarcinomes pulmonaires (81 %)
- Adénocarcinomes de l'endomètre (78 %) (un petit sous-ensemble exprime MUC5AC), distribution MUC1-/MUC2-/MUC5AC-
- Carcinome hépatocellulaire
- Corticosurrénalome
- Cancer de la prostate

### Références

1. Chaves P, et al., Dis Oesophagus. 18(6):383-7, 2005.
2. Leteurtre E, et al., World J Gastroenterol. 12(21):3324-31, 2006.
3. Mino-Kenudson M, et al., Arch Pathol Lab Med. 131(1):86-90, 2007.
4. Mizoshita T, et al., Histol Histopathol. 22(3):251-60, 2007.
5. O'Connell FP, et al., Arch Pathol Lab Med. 129(3):338-47, 2005.
6. Park SY, et al., Arch Pathol Lab Med. 131(10):1561-7, 2007.
7. Rakha EA, et al., Mod Pathol. 18(10):1295-304, 2005.

Référence Ventana en noir, référence Roche en bleu. Les produits figurant sur cette page sont à usage en diagnostic *in vitro* (IVD).





### MUM1

(MRQ-43)

**Référence** 760-4529 [06419208001](#)

**Type** [Monoclonal de lapin](#)

**Témoin** Amygdale

**Localisation** Nucléaire, cytoplasmique

**Quantité** 50 tests

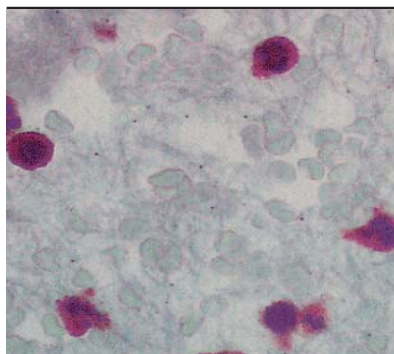
**Isotype** IgG<sub>1</sub>

#### Description

MUM1 est une protéine de 50 kD codée par le gène MUM1 ; c'est un facteur de régulation de la transcription appartenant à la famille de l'interféron. MUM1/IRF4 s'exprime dans le noyau et le cytoplasme des plasmocytes et d'un petit pourcentage des cellules B des centres germinatifs, localisées dans la « zone claire ». Cet anticorps entraîne une coloration de la protéine MUM1 qui est exprimée dans un sous-ensemble de cellules B de la zone claire des centres germinatifs, dans les plasmocytes, les cellules T activées et un vaste éventail de tumeurs hémato lymphoïdes apparentées issues de ces cellules. Par conséquent, cet anticorps est utile dans la sous-classification des tumeurs lymphoïdes malignes et constitue un excellent marqueur des cellules de Hodgkin et de Reed-Sternberg, en association avec l'anticorps CD30.

#### Références

1. Falini B, et. al., Blood. 95:2084-92, 2000.
2. Grossman A, et. al., Genomics. 37:229-33, 1996.
3. Neresh KN, Hematologica. 92:267-8, 2007.
4. Van Imhoff GW, et. al., J Clin Oncol. 34:4135-42, 2006.
5. Gualco G, et. al., Appl Immunohistochem Mol Morphol. 18:301-10, 2010.



### Myéloperoxidase (MPO)

(polyclonal)

**Référence** 760-2659 [05267692001](#)

**Type** Polyclonal de lapin

**Témoin** Moelle osseuse

**Localisation** Cytoplasmique

**Quantité** 50 tests

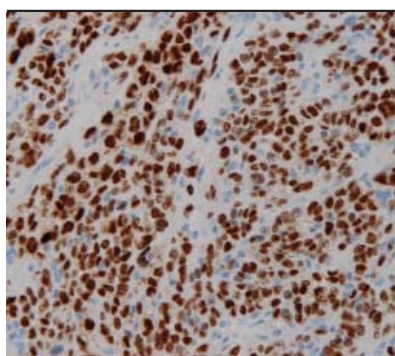
Sang périphérique, granulocytes

#### Description

L'anticorps primaire polyclonal de lapin myéloperoxydase détecte les granulocytes et les monocytes dans le sang, ainsi que les précurseurs des granulocytes dans la moelle osseuse. Cet anticorps peut détecter les populations de cellules myéloïdes dans la moelle osseuse et dans d'autres sites.

#### Références

1. Pinkus GS, et al., Mod Pathol. 4(6): 733-41, 1991.
2. Hudock J, et al., Am J Clin Pathol. 102(1): 55-60, 1994.
3. Hamoudi WH, et al., Arch Pathol Lab Med. 124(2):315-8, 2000.



### Myogénine

(F5D)

<b>Référence</b>	760-2832 <a href="#">05268290001</a>
<b>Type</b>	Monoclonal de souris
<b>Témoin</b>	Rhabdomyosarcome
<b>Localisation</b>	Nucléaire
<b>Quantité</b>	50 tests
<b>Isotype</b>	IgG <sub>1</sub> /K

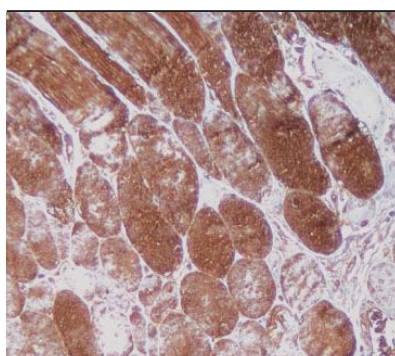
Rhabdomyosarcome

#### Description

L'anticorps primaire monoclonal de souris myogénine (F5D) entraîne une coloration nucléaire des myoblastes du tissu musculaire en développement, et est exprimé dans les noyaux des cellules tumorales de rhabdomyosarcomes et de certains léiomyosarcomes. Il peut y avoir une coloration nucléaire positive des tumeurs de Wilms.

#### Références

1. Miller JB, et al., J Cell Biol. 111(3):1149-59, 1990.
2. Wang NP, et al., Am J Pathol. 147(6):1799-810, 1995.
3. Cui S, et al., Pathol Int. 49(1):62-8, 1999.
4. Cessna MH, et al., Am J Surg Pathol. 25(9):1150-7, 2001.



### Myoglobine

(polyclonal)

<b>Référence</b>	760-2660 <a href="#">05267706001</a>
<b>Type</b>	Polyclonal de lapin
<b>Témoin</b>	Muscle squelettique
<b>Localisation</b>	Cytoplasmique
<b>Quantité</b>	50 tests

Muscle squelettique présentant des altérations dégénératives

#### Description

L'anticorps primaire polyclonal de lapin myoglobine est utile dans l'identification des tumeurs d'origine musculaire. Puisque la myoglobine se trouve exclusivement dans le muscle cardiaque et squelettique et qu'elle est absente de toutes les autres cellules du corps humain, cet anticorps peut être utilisé pour distinguer le rhabdomyosarcome des autres tumeurs des tissus mous. La coloration par l'anticorps myoglobine est également utile pour démontrer une différenciation rhabdomyoblastique dans d'autres tumeurs, comme par exemple les sarcomes neurogéniques et les tumeurs mixtes mésodermiques de l'utérus et de l'ovaire.

#### Références

1. Mukai K, et al., Am J Surg Pathol. 3:373-376, 1979.
2. Corson JM, et al., Am J Pathol. 103:384-389, 1981.
3. Kindblom LG, et al., Acta Pathol Miro. 1982; SCand C90(Sec A):167-174.
4. Brooks JJ, et al., Cancer. 50:1757-1763, 1982.
5. Kahn HJ, et al., Cancer. 50:1897-1903, 1983.



### Myosine, muscle lisse (SMMS-1)

<b>Référence</b>	760-2704 <a href="#">05268133001</a>
<b>Type</b>	Monoclonal de souris
<b>Témoin</b>	Intestin, sein
<b>Localisation</b>	Cytoplasmique
<b>Quantité</b>	50 tests
<b>Isotype</b>	IgG <sub>1</sub> /K

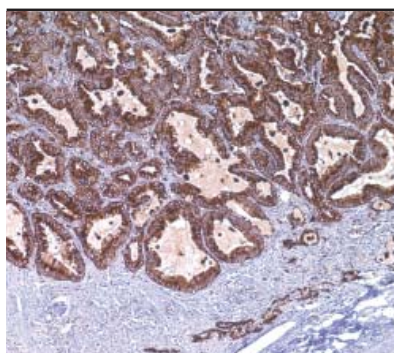
Muscle lisse vasculaire

#### Description

La chaîne lourde de la myosine du muscle lisse (SMMS-1) est une protéine cytoplasmique structurale qui constitue une composante majeure de l'appareil contractile des cellules du muscle lisse. SMMS-1 est aussi une protéine associée aux cellules myoépithéliales. L'anticorps primaire monoclonal de souris SMMS-1 est un anticorps contre la chaîne lourde de la myosine du muscle lisse qui réagit avec les viscères et les cellules du muscle lisse vasculaire chez l'homme. L'anticorps réagit aussi avec les cellules humaines myoépithéliales. Il est très utile pour distinguer les lésions sclérosantes bénignes du sein des carcinomes infiltrants dans les cas difficiles, parce qu'il entraîne une coloration intense de la couche myoépithéliale dans les lésions bénignes, alors qu'il est négatif dans les carcinomes infiltrants.

#### Références

1. Nan Ping Wang, et al., Appl Immunohistochem. 5(3):141-151.
2. Werling RW, et al., Am J Surg Pathol. 27(1):82-90, 2003.
3. Dabbs DJ, et al., Diagn Cytopathol. 20(4):203-7, 1999.
4. Agoff SN, et al., Appl Immunohistochem Mol Morphol. 9(2):164-9, 2001.



### Napsine A (Polyclonal)

<b>Référence</b>	760-4446 <a href="#">05973805001</a>
<b>Type</b>	Polyclonal de lapin
<b>Témoin</b>	Adénocarcinome du poulmon, rein
<b>Localisation</b>	Cytoplasmique
<b>Quantité</b>	50 tests
<b>Isotype</b>	IgG

Adénocarcinome du poulmon

#### Description

La napsine est une protéase aspartique similaire à la pepsine, appartenant au clan A1, variante AA de protéases. Il existe deux napsines très homologues, la napsine A et la napsine B. La napsine A s'exprime en tant que protéine à une seule chaîne, d'un poids moléculaire d'environ 38 kD. Des études immunohistochimiques ont révélé des niveaux d'expression élevés de la napsine A dans le poulmon et le rein humains, mais de faibles niveaux d'expression dans la rate. La napsine A s'exprime dans les pneumocytes de type II et dans les adénocarcinomes du poulmon. Compte tenu de son expression hautement spécifique dans l'adénocarcinome du poulmon, la napsine A est utile pour distinguer les adénocarcinomes primaires du poulmon des adénocarcinomes issus d'autres organes.

#### Références

1. Tatnell PJ, et al., FEBS Lett. 441(1):43-48, 1998.
2. Schauer-Vukasinovic V, et al., FEBS Lett. 462(1):135-9, 1999.
3. Hirano T, et al., J Cancer Res. 91(10):1015-1021, 2000.
4. Dejmek A, et al., Diagnostic Cytopathology. 35(8):493-7, 2007.
5. Jagirdar J, et al., Arch Pathol Lab Med. 132(3):384-96, 2008.
6. Suzuki A, et al., Pathol Res Pract. 201(8-9):579-86, 2005.

**Témoin négatif Ig de souris**

(MOPC21)

<b>Référence</b>	760-2014 <a href="#">05266670001</a>
<b>Type</b>	Monoclonal de souris
<b>Quantité</b>	250 tests

**Description**

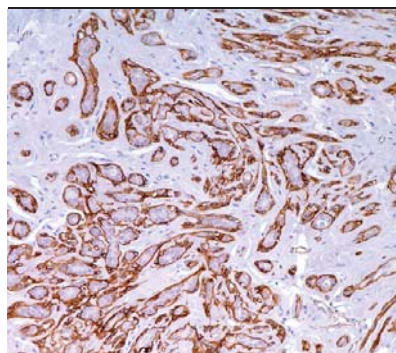
« Témoin négatif Ig de souris » n'est pas dirigé contre un épitope connu présent dans les tissus humains. Ce réactif est conçu pour être utilisé comme un témoin négatif dans la coloration qualitative de coupes de tissu fixées au formol, incluses en paraffine, sur un automate de coloration de lames VENTANA.

**Témoin négatif Ig de lapin, CONFIRM**

<b>Référence</b>	760-1029 <a href="#">05266238001</a>
<b>Type</b>	Polyclonal de lapin
<b>Témoin</b>	Amygdale, ganglion lymphatique
<b>Quantité</b>	250 tests

**Description**

« CONFIRM Témoin négatif Ig de lapin » est une immunoglobuline de lapin purifiée qui n'est pas dirigée contre un épitope connu présent dans les tissus humains. Ce réactif est conçu pour être utilisé comme témoin négatif dans l'évaluation qualitative de la coloration de fond avec les anticorps primaires de lapin.

**NGFR : Récepteur du facteur de croissance nerveuse**

(MRQ-21)

<b>Référence</b>	760-4391 <a href="#">05463599001</a>
<b>Type</b>	Monoclonal de souris
<b>Témoin</b>	Neurones, ganglions, cellules de mélanome malin, cellules myoépithéliales des canaux mammaires
<b>Localisation</b>	Cytoplasmique
<b>Quantité</b>	50 tests
<b>Isotype</b>	IgG <sub>1</sub>

Sein, adénose sclérosante

**Description**

NGFR, une glycoprotéine de 75 kD (connue également sous le nom de P-75NTR), est le premier des récepteurs de neurotrophine à avoir été isolé ; c'est un membre de la famille des récepteurs du facteur de nécrose tumorale (TNF). Elle est exprimée non seulement dans les neurones sympathiques et sensoriels, mais aussi dans diverses cellules de la crête neurale ou issues de tumeurs comme les mélanocytes, mélanomes, neuroblastomes, phéochromocytomes, neurofibromes et nævi mélanocytaires de type C. Plusieurs groupes ont montré que NGFR est un marqueur fiable des mélanomes desmoplastiques et neurotropes. Bien que la sensibilité de la coloration de NGFR dans les mélanomes desmoplastiques n'ait pas fait l'objet d'une analyse systématique, tous les cas rapportés sont positifs pour NGFR. Un examen de 9 cas de mélanomes desmoplastiques, diagnostiqués dans la section de dermatopathologie du département de dermatologie de la Boston University School of Medicine entre 2001 et 2004, a révélé que les 9 cas de mélanomes desmoplastiques étaient tous colorés positivement pour le NGFR. Toutefois, ces résultats sont en contradiction avec une étude de Huttenbach et al., selon laquelle seulement 33 % de leurs mélanomes desmoplastiques révélaient une coloration positive pour le NGFR. Cette différence souligne l'importance du choix de l'anticorps monoclonal pour obtenir des résultats cohérents. Cette propriété de coloration des cellules de mélanome desmoplastique peut être utile dans le diagnostic des cas difficiles, notamment les lésions à un stade précoce, les cas suspects dont la coloration pour S-100 est négative ou faible, et ceux qui doivent être distingués d'une cicatrice.

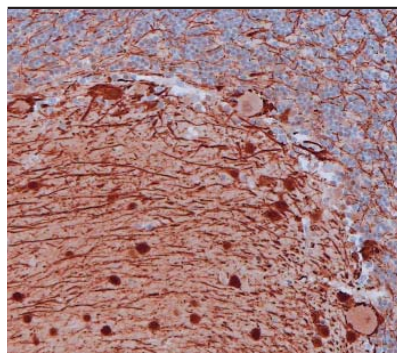
Il est maintenant apparent que l'expression de NGFR est ubiquitaire et qu'elle ne se limite pas au système nerveux ; NGFR s'exprime en effet dans des cellules matures non nerveuses comme les cellules périvasculaires, les cellules de la pulpe dentaire, les cellules dendritiques folliculaires lymphoïdes, les cellules de l'épithélium basal de la muqueuse buccale et des follicules pileux, les cellules basales de prostate et les cellules myoépithéliales. Contrairement aux récepteurs de haute affinité à activité tyrosine kinase du facteur de croissance nerveuse (TrkA, TrkB and TrkC), NGFR n'a pas d'activité tyrosine kinase intrinsèque. Des études menées sur le cancer de la prostate et le cancer urothélial suggèrent que NGFR peut agir comme un suppresseur de tumeurs, par sa régulation négative de la croissance et de la prolifération cellulaire. L'anticorps NGFR colore les cellules myoépithéliales des canaux galactophores et les fibroblastes intralobulaires de ces canaux, aidant par conséquent dans le diagnostic des tumeurs mammaires.

**Références**

1. Laskin WB, et al., Hum Pathol. 31(10):1230-41, 2000.
2. Lewis Kelso R, et al., Dermatol Surg. 32(2):177-83, 2006.
3. Liang Y, et al., J Invest Dermatol. 111(1):114-8, 1998.
4. Liang Y, et al., J Cutan Pathol. 25(4):189-98, 1998.
5. Liang Y, et al., Arch Dermatol Res. 291(1):14-21, 1999.

Référence Ventana en noir, référence Roche en bleu. Les produits figurant sur cette page sont à usage en diagnostic *in vitro* (IVD).





### Neurofilament

(2F11)

Référence	760-2661 <a href="#">05267714001</a>
Type	Monoclonal de souris
Témoin	Intestin, sein
Localisation	Cytoplasmique
Quantité	50 tests
Isotype	IgG <sub>1</sub> /K

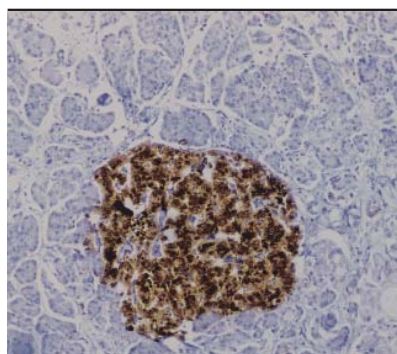
Cervelet

#### Description

L'anticorps primaire monoclonal de souris neurofilament (2F11) colore un antigène localisé dans un certain nombre de tumeurs du système nerveux, neuroendocrinien et endocrinien. Les névromes, ganglioneuromes, gangliogliomes, ganglioneuroblastomes et neuroblastomes sont colorés positivement pour les neurofilaments. Les neurofilaments sont également présents dans les paragangliomes et dans les phéochromocytomes surréniaux et extra-surréniaux. Les tumeurs carcinoïdes et les carcinomes neuroendocrines de la peau, ainsi que les carcinomes à petites cellules du poumon expriment aussi les neurofilaments.

#### Références

1. Wood JN, et al., Biosci Rep, 1:263, 1981.
2. Anderton BH, et al., Nature. 298:84, 1982.
3. Miettinen M, et al., Lab Invest. 52:429-436, 1985.
4. Van Muijen GNP, et al., Am J Pathol. 116:363-369, 1984.
5. Trojanowski JQ, et al., N Eng J Med. 313:101-104, 1985.
6. Morrison CD, et al., Semin Diagn Pathol. 17(3):204-15, 2000.
7. Dubovy SR, et al., Br J Ophthalmol. 85(8):949-51, 2001.
8. Erana-Rojas IE, et al. Ann Diagn Pathol. 6(5):265-71, 2002.



### NSE (énolase neurospécifique)

(E27)

Référence	760-2662 <a href="#">05267722001</a>
Type	Monoclonal de souris
Témoin	Pancréas
Localisation	Cytoplasmique
Quantité	50 tests
Isotype	IgG <sub>1</sub>

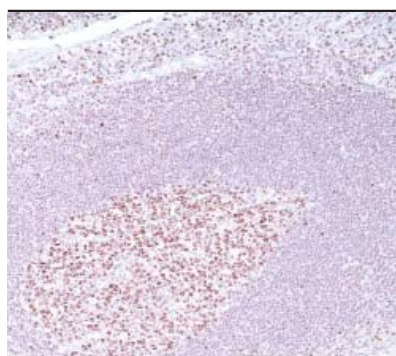
Pancréas, îlots de Langerhans

#### Description

L'énolase neurospécifique se trouve à de fortes concentrations dans les neurones et les cellules neuroendocrines du système nerveux central et périphérique ; par conséquent, l'anticorps primaire monoclonal de souris NSE (E27) réagit avec les cellules de lignée neuronale et neuroendocrine. Si des cellules néoplasiques expriment en même temps des kératines et la NSE, une différenciation neuroendocrine est probable ; cependant, l'absence d'expression de la kératine et de coloration pour NSE dans une tumeur nerveuse n'exclurait pas une différenciation neuronale ou neuroendocrine. Par conséquent, la détection de la lignée neuronale et neuroendocrine exige d'utiliser des panels comprenant la NSE ainsi que d'autres marqueurs comme la kératine, la chromogranine, la synaptophysine et les neurofilaments.

#### Références

1. Perentes E, et al., Arch Pathol Lab Med. 111:796-812, 1987.
2. Cras P, et al., Ann Neurol. 20:106-17, 1986.
3. Schmechal D, et al., Lab Invest. 52:239-242, 1985.
4. Dhillon AP, et al., Histopathology. 6:81-92, 1982.



### Oct-2 (MRQ-2)

<b>Référence</b>	760-4447 <a href="#">05973791001</a>
<b>Type</b>	Monoclonal de souris
<b>Témoin</b>	Ganglion lymphatique, amygdale
<b>Localisation</b>	Nucléaire
<b>Quantité</b>	50 tests
<b>Isotype</b>	IgG <sub>1</sub> /K

Hypertrophie des amygdales

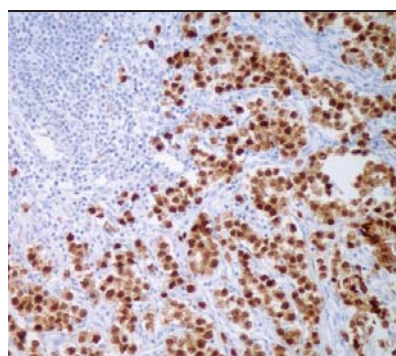
### Description

Oct-2 est un facteur de transcription de la famille à homéodomaine POU, qui se lie aux sites octamères du gène de l'Ig pour réguler les gènes spécifiques des cellules B. Ces gènes jouent un rôle dans la prolifération et la différenciation et bien qu'il y ait peu de preuves de l'expression d'Oct-2 dans les cellules T, on a montré que ce facteur participe à la régulation transcriptionnelle pendant l'activation des cellules T. L'activité d'Oct-2 dépend de la phosphorylation et de l'épissage alternatif, mais il semble que son niveau d'expression puisse être utilisé comme un marqueur de la lignée et de la différenciation lymphocytaire B. Oct-2 s'exprime à de hauts niveaux dans : les cellules B des centres germinatifs, les cellules B de la zone du manteau, les cellules B monocytoïdes et les plasmocytes. Divers lymphomes sont également positifs pour ce marqueur, y compris les suivants : leucémie lymphoïde chronique à cellules B, lymphome à cellules du manteau, lymphome folliculaire, lymphome de la zone marginale, plasmocytome, lymphome de Burkitt, lymphome diffus à grandes cellules, lymphome à cellules B riche en cellules T, lymphome de Hodgkin à prédominance de lymphocytes ganglionnaires et lymphome de Hodgkin classique.

Plusieurs études sur l'expression d'Oct-2 ont démontré un niveau d'expression faible dans les lignées cellulaires suivantes : pré-B, T, myélomonocytaires et épithéliales. Cependant, Oct-2 s'exprime fortement dans toutes les lignées de cellules B matures. L'analyse d'Oct-2 dans les lymphomes de Hodgkin (LH) primaires et les lignées cellulaires qui en dérivent a démontré de hauts niveaux d'expression et d'activité dans les cellules tumorales analysées, ce qui suggère une origine cellulaire B commune pour tous les types de lymphomes de Hodgkin.

### Références

1. Browne P, et al., Am J Clin Pathol. 120(5):767-77, 2003.
2. García-Cosío M, et al., Mod Pathol. 17(12):1531-8, 2004.
3. Gibson SE, et al., Am J Clin Pathol. 126(6):916-24, 2006.
4. Hallermann C, et al., J Am Acad Dermatol. 56(4):588-97, 2007.

**Oct-4**

(MRQ-10)

**Référence** 760-4392 05463602001**Type** Monoclonal de souris**Témoin** Séminome, dysgerminome**Localisation** Nucléaire**Quantité** 50 tests**Isotype** IgG

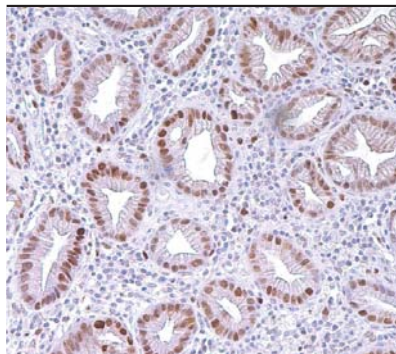
Séminome

**Description**

OCT-4 est un facteur de transcription qui joue un rôle dans la maintenance et la régulation de la pluripotence des cellules souches embryonnaires et des cellules germinales. L'immunocoloration nucléaire est hautement sensible et spécifique dans le séminome/dysgerminome, le carcinome embryonnaire et les cellules germinales du gonadoblastome. Le carcinome à cellules claires peut entrer dans le diagnostic différentiel du dysgerminome, car les deux peuvent croître dans des nids ou des tubules, contenir des cellules claires et avoir d'importants infiltrats inflammatoires (composés de lymphocytes dans le dysgerminome et de plasmocytes dans le carcinome à cellules claires). Une étude examinant la coloration pour OCT-4 dans des carcinomes à cellules claires a permis de détecter une positivité focale dans 4 tumeurs sur 14. Dans une autre étude, 49 carcinomes endométrioïdes étaient négatifs pour OCT-4. Il y a de rares cas où les dysgerminomes peuvent avoir une apparence morphologique qui se confond avec celle de tumeurs stromales des cordons sexuels, particulièrement les tumeurs mal différenciées des cellules de Sertoli. Dans deux études cependant, toutes les tumeurs stromales des cordons sexuels testiculaires et les tumeurs des cellules granuleuses de l'ovaire étaient négatives pour OCT-4.

**Références**

1. Baker PM, et al., Int J Gynecol Pathol. 24(1):39-55, 2005. Review.
2. Biermann K, et al., Histopathology. 49(3):290-7, 2006.
3. Cheng CJ, et al., J Biomed Sci. 14(6):797-807, 2007. Epub 2007 Aug 8.
4. Cools M, et al., J Clin Endocrinol Metab. 91(6):2404-13, 2006. Epub 2006 Apr 11.
5. Gidekel S, et al., Cancer Cell. 4(5):361-70, 2003.

**p21<sup>WAF1</sup>**

(DCS-60.2)

**Référence** 760-4453 05973961001**Type** Monoclonal de souris**Témoin** Carcinome du poumon non à petites cellules, côlon**Localisation** Nucléaire**Quantité** 50 tests**Isotype** IgG<sub>2a</sub>

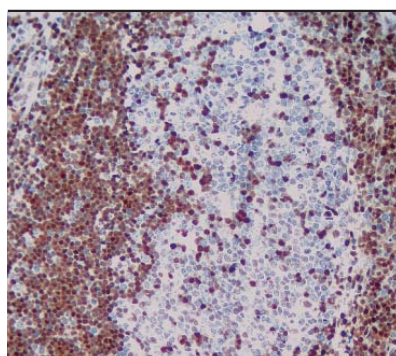
Muqueuse du côlon, polype hyperplasique

**Description**

p21 est une protéine nucléaire de 21 kD, un produit du gène <sup>WAF1</sup>/CIP1. C'est un inhibiteur de protéine kinase dépendant de la cycline de type 1A (p21, Cip1), également connu sous le nom de CDKN1A. Il est codé par le gène CDKN1A localisé sur le chromosome 6p21.2. Il fait partie d'un grand complexe de protéines nucléaires qui comprend des cyclines, des kinases dépendant des cyclines et le PCNA (antigène nucléaire de prolifération cellulaire). La progression du cycle cellulaire est régulée par les cyclines et les kinases dépendant des cyclines qui leur sont associées. p21 inhibe l'activité de chaque membre de la famille des cyclines/kinases dépendant des cyclines. L'expression de ce gène agit comme un inhibiteur du cycle cellulaire en phase G1 et elle est étroitement contrôlée par la protéine suppressive de tumeur p53. Les cellules normales présentent généralement une expression nucléaire assez intense de p21. La perte d'expression de p21 a été associée à un mauvais pronostic dans plusieurs carcinomes (gastrique, pulmonaire non à petites cellules et thyroïdien).

**Références**

1. DiGiuseppe JA, et al., Am J Pathol. 147(4):884-8, 1995.
2. Gomyo Y, et al., Cancer. 79(11):2067-2072, 1997.
3. Ikeguchi M, et al., Dig Dis Sci. 43(5):964-70, 1998.
4. Marone M, et al., Leuk Lymphoma. 43(1):51-7, 2003.
5. Kwon MS, et al., Pathol Res Pract. 202(12):849-56, 2006.
6. Merola E, et al., J Cell Physiol. 207(2):512-519, 2006.

**p27<sup>kip1</sup>****(SX53G8)**

<b>Référence</b>	760-4268 <a href="#">05269300001</a>
<b>Type</b>	Monoclonal de souris
<b>Témoin</b>	Carcinome du poumon non à petites cellules, côlon
<b>Localisation</b>	Cytoplasmique
<b>Quantité</b>	50 tests
<b>Isotype</b>	IgG <sub>1</sub> /K

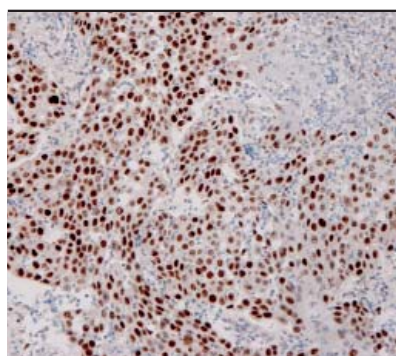
Ganglion lymphatique

**Description**

p27 est un inhibiteur de protéine kinase dépendant du cycle cellulaire, qui régule la progression de la phase G1 à la phase S en se liant aux kinases dépendant de la cycline et en les inhibant. Une faible expression de p27 a été associée à un pronostic défavorable dans les carcinomes du rein, du côlon, du sein à petites cellules, du poumon non à petites cellules, dans le carcinome hépatocellulaire, dans le myélome multiple, les métastases ganglionnaires du carcinome papillaire de la thyroïde, ainsi qu'à un phénotype plus virulent dans le carcinome du col de l'utérus.

**Références**

1. Lloyd RV, et al., Am J Pathol. 154:313-323, 1999.
2. Migita T, et al., Cancer. 94:973-9, 2002.
3. Haitel A, et al., Urology. 58:477-481, 2001.
4. Tan P, et al., Cancer Research. 57:1259-1263, 1997.
5. Esposito V, et al., Cancer Research. 57:3381-3385, 1997.
6. Khoo MLC, et al., J Clin Endocrinol Metab. 87:1814-1818, 2002.

**p53****(Bp-53-11)**

<b>Référence</b>	760-2542 <a href="#">05267102001</a>
<b>Type</b>	Monoclonal de souris
<b>Témoin</b>	Adénocarcinome de côlon
<b>Localisation</b>	Nucléaire
<b>Quantité</b>	50 tests
<b>Isotype</b>	IgG <sub>2a</sub>

Carcinome transitionnel de la vessie

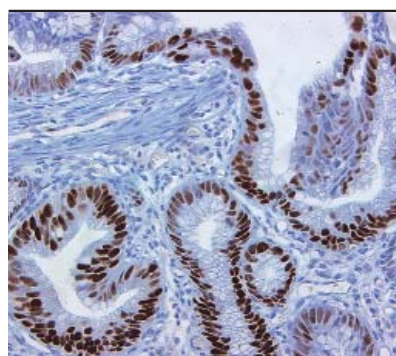
**Description**

L'anticorps primaire monoclonal de souris p53 (Bp53-11) est dirigé aussi bien contre la forme mutante que contre le type sauvage de la phosphoprotéine nucléaire p53. Très peu de cellules normales expriment p53, mais des altérations du gène suppresseur de tumeur pour p53 engendrent une surproduction de cette protéine dans les tumeurs malignes. Ce réactif peut être utilisé pour aider à identifier des cellules qui prolifèrent anormalement dans des populations de cellules néoplasiques. L'anticorps p53 (Bp53-11) se lie spécifiquement à/aux antigène(s) nucléaire(s) associé(s) à la régulation négative normale de la division cellulaire. L'expression accrue de p53 dans des cellules qui se divisent activement est une indication de perte de fonction à cause d'une mutation dans le gène p53.

**Références**

1. Mayall FG, et al., J Pathol. 168:377-381, 1992.
2. Van den Berg FM, et al., Am J Pathol. 142:381-385, 1993.



**p53, CONFIRM**

(DO-7)

<b>Référence</b>	800-2912 <a href="#">05278775001</a>
<b>Type</b>	Monoclonal de souris
<b>Témoin</b>	Adénocarcinome du côlon
<b>Localisation</b>	Nucléaire
<b>Quantité</b>	50 tests
<b>Isotype</b>	IgG <sub>1</sub> /K

Carcinome du côlon

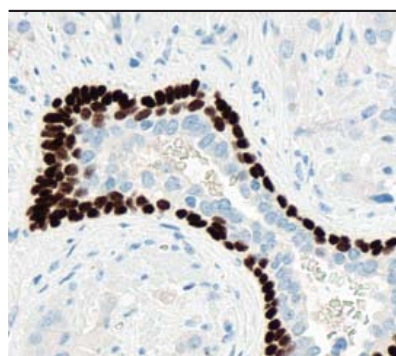
**Description**

La molécule p53 de type sauvage joue un rôle dans la transcription, le contrôle du cycle cellulaire et de nombreuses autres fonctions métaboliques. Elle est aussi un suppresseur de tumeur, arrêtant la croissance induite dans les cellules normales ; cependant, une mutation dans l'un de ses 393 acides aminés peut compromettre sa capacité de surveillance et permettre l'expression du phénotype malin. Environ 50 % de tous les cancers humains présentent une mutation dans la protéine p53. La molécule de type sauvage a une demi-vie de courte durée, est présente à de faibles concentrations et n'est généralement pas détectable par l'immunohistochimie. Parmi les mutations de p53, beaucoup augmentent sa demi-vie et provoquent une accumulation intranucléaire de la protéine mutante. C'est pourquoi dans beaucoup de tumeurs du côlon, de l'estomac, de la vessie, du sein, des poumons, des testicules et dans les mélanomes et les sarcomes des tissus mous, la protéine p53 est facilement détectable par immunohistochimie dans les cellules malignes. L'immunocoloration est fortement corrélée à la présence d'une mutation. L'anticorps primaire monoclonal de souris CONFIRM p53 (DO-7) entraîne une coloration exclusivement nucléaire, qui peut présenter une distribution hétérogène parmi les cellules.

**Références**

1. Mayall FG, et al., J Pathol. 168:377-381, 1992.

2. Van den Berg FM, et al., Am J Pathol. 142:381-385, 1993.

**p63**

(4A4)

<b>Référence</b>	790-4509 <a href="#">05867061001</a>
<b>Type</b>	Monoclonal de souris
<b>Témoin</b>	Prostate, amygdale
<b>Localisation</b>	Nucléaire
<b>Quantité</b>	50 tests
<b>Isotype</b>	IgG <sub>2a</sub> /K

Prostate

**Description**

L'anticorps primaire monoclonal de souris VENTANA p63 (4A4) est dirigé contre la molécule p63, qui est fortement exprimée dans les noyaux des cellules basales de la prostate humaine et dans les tissus urothéliaux. Cet anticorps peut être utilisé pour aider à différencier les lésions bénignes et malignes de la prostate.

**Références**

1. Yang A, et al., Mol Cell. 2:305-16, 1998.

2. Grisanzio C, et al., J Cell Biochem. 103:1354-1368, 2008.

3. Yang A, et al., Nature. 398:714-718, 1999.

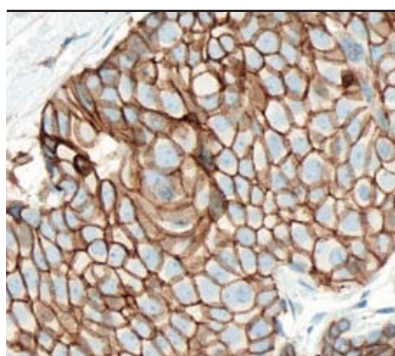
4. Signoretti S, et al., J Pathol. 157:1769-1775, 2000.

5. Wu HH, et al., Appl Immunohistochem Mol Morph. 12:285-289, 2004.

6. Shah RB, et al., Am J Surg Pathol. 26:1161-1168, 2002.

7. Weinstein MH, et al., Mod Pathol. 15:1302-1308, 2002.

8. Harton AM et al., Am J Clin Pathol. 128:80-85, 2007



### p120

(98)

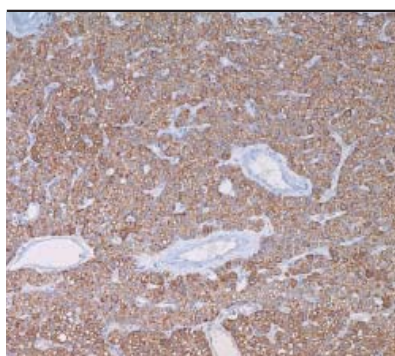
<b>Référence</b>	790-4517 <a href="#">05867088001</a>
<b>Type</b>	Monoclonal de souris
<b>Témoin</b>	Amygdale
<b>Localisation</b>	Membranaire (canaux), cytoplasmique (lobules)
<b>Quantité</b>	50 tests
<b>Isotype</b>	IgG <sub>1</sub>

### Description

L'anticorps primaire monoclonal de souris caténine p120 (98) est dirigé contre la protéine juxtamembranaire humaine p120 qui s'exprime en tant que composante du complexe d'adhésion intercellulaire dans les tissus épithéliaux. L'accumulation cytoplasmique de p120 est associée au carcinome lobulaire du sein, alors que dans les tumeurs canalaire la localisation demeure membranaire.

### Références

1. Dabbs DJ, et al., Am J Surg Pathol. 31(3):427-37, 2007.
2. Anastasiadis PZ., Biochimica et Biophysica Acta. 1773:34-46, 2007.
3. Mastracci TL, et al., Modern Pathology. 18:741-751, 2005.
4. Thoreson MA, et al., Differentiation. 70:583-589, 2002.
5. Thoreson MA, et al., J of Cell Bio. 148(1):189-201, 2000.



### PTH : Hormone parathyroïde

(MRQ-31)

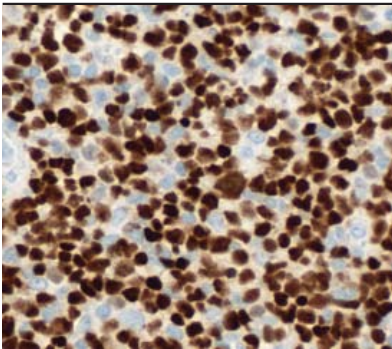
<b>Référence</b>	760-4532 <a href="#">06419224001</a>
<b>Type</b>	Monoclonal de souris
<b>Témoin</b>	Parathyroïde
<b>Localisation</b>	Cytoplasmique, membranaire
<b>Quantité</b>	50 tests
<b>Isotype</b>	IgG <sub>2a</sub>

### Description

L'anticorps primaire monoclonal de souris PTH (MRQ-31) est utile pour distinguer les hyperplasies/néoplasies parathyroïdiennes des tumeurs de la thyroïde ou métastatiques ; bien que le pathologiste se rende généralement compte de l'état d'hypercalcémie préopératoire. Parfois, lorsque le chirurgien ne fournit pas cette information, l'immunohistochimie de la PTH est essentielle. Les situations dans lesquelles les carcinomes parathyroïdiens à cellules claires sont non sécrétoires, ne présentant pas d'anomalie du métabolisme minéral, paraissent encore plus problématiques.

### Références

1. Brown E, Mineral Electrolyte Metal. 8:130-50, 1982.
2. Chen HL, et. al. Journal of Biology and Chemistry. 277:19374-81, 2002.
3. Wick MR, et. al., Seminars in Diagnostic Pathology. 14:183-202, 1997.
4. Permanetter W, et. al., American Journal of Surgical Pathology. 7:535-46, 1983.
5. Aldinger KA, et. al., Cancer. 49:388-97, 1982.
6. Murphy MN, et. al. Cancer. 58:2468-76, 1986.



PAX5, CONFIRM (SP34)	
Référence	790-4420 05552729001
Type	Monoclonal de lapin
Témoin	Amygdale, rate
Localisation	Nucléaire
Quantité	50 tests

Lymphome

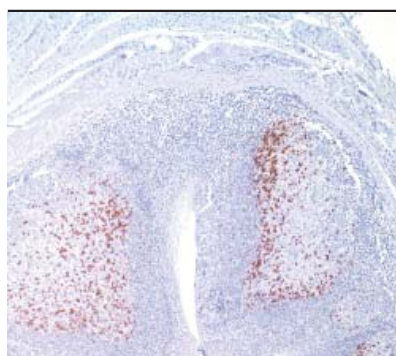
Description

L'anticorps primaire monoclonal de lapin CONFIRM PAX5 (SP34) est dirigé contre un épitope nucléaire présent dans les lymphocytes B humains. Cet anticorps peut être utilisé pour aider à identifier des cellules normales et néoplasiques de la lignée lymphocytaire B.

Références

1. Adams B, et al., Genes Dev. 6(9):1589-1607, 1992.	4. Feldman AL, et al., Adv Anat Path. 14(5):323-334, 2007.
2. Cobaleda C, et al., Nat Immunol. 8(5):463-470, 2007.	5. Jensen KC, et al., Mod Pathol. 20(8):871-877, 2007.
3. Holmes ML, et al., Immunol Cell Biol. 86(1):47-53, 2008.	6. Mhawech-Fauceglia P, et al., J Clin Pathol. 60(6):709-714, 2007.

Référence Ventana en noir, référence Roche en bleu. Les produits figurant sur cette page sont à usage en diagnostic *in vitro* (IVD).



### PD-1 (également connu comme NAT) (MRQ-22)

<b>Référence</b>	760-4448 05973783001
<b>Type</b>	Monoclonal de souris
<b>Témoin</b>	Ganglion lymphatique, amygdale
<b>Localisation</b>	Cytoplasmique
<b>Quantité</b>	50 tests
<b>Isotype</b>	IgG <sub>1</sub>

Hypertrophie des amygdales

### Description

Programmed death-1 (Mort programmée-1) (PD-1) est un membre de la superfamille des récepteurs de type CD28, à laquelle appartiennent CD28, CTLA-4 (antigène 4 associé aux lymphocytes T cytotoxiques), ICOS (costimulateur inductible) et BTLA (atténuateur des lymphocytes B et T). Ces récepteurs jouent un rôle dans la réponse immunitaire cellulaire. Par exemple, CD28 sert de récepteur de costimulation, renforçant l'activation des cellules T, tandis que CTLA-4 sert d'inhibiteur de l'activation des cellules T. PD-1 a également une fonction inhibitrice sur les cellules T et B, et il joue un rôle important dans la tolérance périphérique. Il y a au moins 2 ligands pour PD-1 : PD-L1 et PD-L2, qui sont exprimés sur une série de cellules.

CD28 s'exprime de manière constitutive sur la plupart ou l'intégralité des cellules T CD4+ et sur environ 50 % des cellules T CD8+, tandis que CTLA-4 ne s'exprime pas sur les cellules T au repos. PD-1 s'exprime aussi sur les cellules T activées, les cellules B et les cellules myéloïdes. Iwai et ses collaborateurs ont étudié la distribution microanatomique de PD-1 dans les amygdales humaines et ont découvert que PD-1 s'exprime sur la plupart des cellules T et sur un petit sous-ensemble de cellules B dans la zone claire des centres germinatifs, mais pas ailleurs dans l'amygdale. Sur cette base, on a formulé l'hypothèse selon laquelle PD-1 jouerait un rôle dans le processus de sélection clonale des centrocytes, qui a lieu dans ce site sous-anatomique des centres germinatifs.

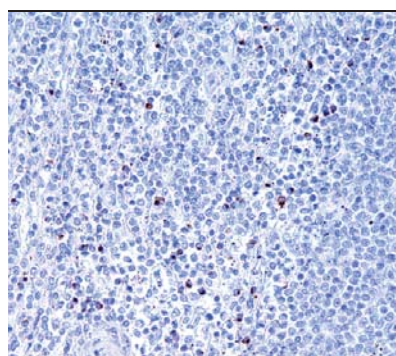
PD-1 est un nouveau marqueur du lymphome angio-immunoblastique et les résultats qu'il fournit suggèrent que cette tumeur est issue d'une origine cellulaire unique. Contrairement à CD10 et bcl-6, PD-1 est exprimé par peu de cellules B, de sorte qu'il peut être un marqueur diagnostique plus spécifique et plus utile dans le lymphome angio-immunoblastique. Il semble également colorer un pourcentage de cellules néoplasiques CD3+ plus élevé que CD10 ou bcl-6 dans le lymphome angio-immunoblastique. En outre, l'expression de PD-1 apporte une nouvelle preuve que le lymphome angio-immunoblastique est une tumeur issue des cellules T associées aux centres germinatifs. L'expression de PD-1 dans le lymphome angio-immunoblastique étaye le modèle d'oncogenèse des cellules T, selon lequel certains sous-types spécifiques de cellules T peuvent subir une transformation néoplasique et engendrer des sous-types distincts au plan histologique, immunophénotypique et clinique de néoplasies à cellules T.

### Références

1. Bolstad AI, et al., Arthritis Rheum. 48(1):174-85, 2003.
2. Dorfman DM, et al., Am J Surg Pathol. 30(7):802-10, 2006.
3. Hamanishi J, et al., Proc Natl Acad Sci U S A. 104(9):3360-5, 2007.
4. Iwai Y, et al., Immunol Lett. 83(3):215-20, 2002.
5. Kobayashi M, et al., J Rheumatol. 32(11):2156-63, 2005.
6. Konishi J, et al., Clin Cancer Res. 10(15):5094-100, 2004.
7. Mataka N, et al., Am J Gastroenterol. 102(2):302-12, 2007.

Référence Ventana en noir, référence Roche en bleu. Les produits figurant sur cette page sont à usage en diagnostic *in vitro* (IVD).





### Perforine

(MRQ-23)

<b>Référence</b>	760-4394 <a href="#">05463637001</a>
<b>Type</b>	Monoclonal de souris
<b>Témoin</b>	Amygdale, ganglion lymphatique
<b>Localisation</b>	Cytoplasmique périnucléaire
<b>Quantité</b>	50 tests
<b>Isotype</b>	IgG <sub>1</sub>

Lymphome

### Description

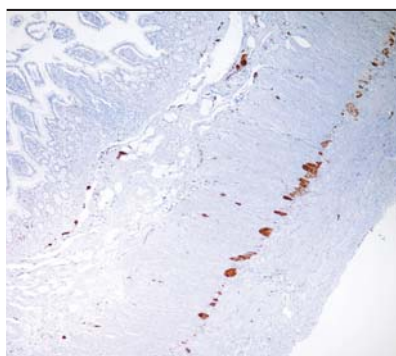
La perforine est une protéine qui forme des pores, conduisant à la lyse osmotique des cellules cibles, permettant ensuite aux granzymes de pénétrer dans les cellules cibles et d'activer l'apoptose, la mort cellulaire programmée. L'expression de la perforine s'accroît dans les cellules CD8+ activées, mais elle est constitutivement exprimée de manière très élevée et stable dans les cellules NK. L'expression de la perforine peut aussi être stimulée dans certaines cellules T CD4+ activées. Les cellules T CD8+ et les cellules NK utilisent les deux voies perforine/granzyme et Fas/FasL, tandis que les cellules T CD4+ utilisent de préférence la voie Fas/FasL.

Bien que certains chercheurs rapportent un potentiel cytolytique des cellules T CD4+, il semble plus probable que les cellules T CD8+ soient la principale population effectrice dans les maladies inflammatoires de la peau associées aux cellules Th1-. Le rôle de la cytotoxicité médiée par la perforine a été démontré dans diverses maladies autoimmunes. *Des études in vitro et in vivo* suggèrent que la cytotoxicité des lymphocytes T cytotoxiques pourrait s'effectuer par l'intermédiaire de granules cytotoxiques dans certaines pathologies inflammatoires humaines. En outre, il semble que la cytotoxicité des cellules T contre les kératinocytes soit médiée par la perforine dans certaines maladies inflammatoires de la peau.

D'autres auteurs suggèrent un rôle double pour la perforine dans la réponse allo-immune (applications pour les greffes d'organe). D'un côté, elle a une fonction cytolytique dans le rejet aigu et au contraire, elle peut être responsable d'une régulation négative de la réponse allo-immune médiée par les cellules T CD4+ et CD8+.

### Références

- Chu PG, et al., Ann Diagn Pathol. 3(2):104-33, 1999. Review.
- Bittmann I, et al., Virchows Arch. 445(4):375-81, 2004. Epub 2004 Jul 29.
- d'Amore ES, et al., Pediatr Dev Pathol. 10(3):181-91, 2007.



### PGP 9.5

(polyclonal)

<b>Référence</b>	760-4434 <a href="#">05973953001</a>
<b>Type</b>	Polyclonal de lapin
<b>Témoin</b>	Tissu nerveux, paroi intestinale (cellules intestinales de Cajal)
<b>Localisation</b>	Cytoplasmique
<b>Quantité</b>	50 tests
<b>Isotype</b>	IgG

Paroi de l'intestin grêle, péritonite

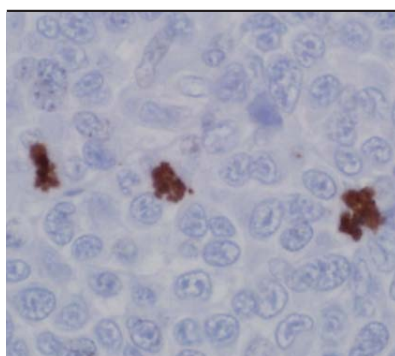
### Description

PGP 9.5 (Protein gene product 9.5), également connue comme l'ubiquitin carboxyterminal hydrolase-1, est une protéine de 27 kD initialement isolée à partir d'extraits de cerveau entier (1). On pensait à l'origine que l'expression de PGP 9.5 était strictement confinée aux neurones et aux cellules neuroendocrines (2), mais par la suite, cette protéine a été détectée dans l'épithélium tubulaire rénal distal, les spermatogonies, les cellules de Leydig, les ovocytes, les mélanocytes, l'épithélium sécrétoire prostatique, les cellules du canal d'éjaculation, l'épididyme, les cellules épithéliales mammaires, les cellules de Merkel et les fibroblastes dermiques. LK Campbell et al. ont démontré avec cet anticorps une immunocoloration sur de très nombreuses tumeurs mésoenchymateuses différentes.

### Références

- Bassotti G, et al., J Clin Pathol. 58(9):973-7, 2005.
- Campbell LK, et al., Mod Pathol. 16(10):963-9, 2003.
- Kasprzak A, et al., Pol J Pathol. 58(1):23-33, 2007. Review.
- Mahalingam M, et al., J Cutan Pathol. 28(6):282-6, 2001.
- Mahalingam M, et al., J Cutan Pathol. 33(1):51-6, 2006.

Référence Ventana en noir, référence Roche en bleu. Les produits figurant sur cette page sont à usage en diagnostic *in vitro* (IVD).



### Phosphohistone-H3 (PHH3)

(polyclonal)

<b>Référence</b>	760-4591 <a href="#">06433405001</a>
<b>Type</b>	Polyclonal de lapin
<b>Témoin</b>	Amygdale
<b>Localisation</b>	Nucléaire
<b>Quantité</b>	50 tests

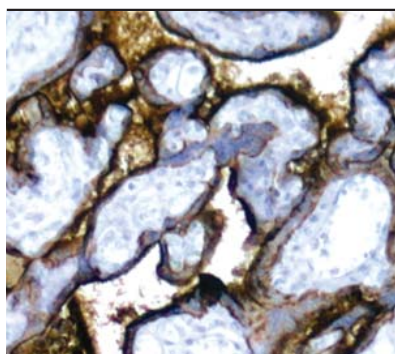
Carcinome canalaire infiltrant du sein

#### Description

L'anticorps primaire polyclonal de lapin phosphohistone-H3 est utilisé pour aider à identifier l'activité mitotique des cellules tumorales et à diagnostiquer le grade de différenciation de la tumeur dans le cadre d'une évaluation réalisée par un pathologiste qualifié en fonction des antécédents cliniques du patient et des autres tests diagnostiques.

#### Références

1. Mehra R, et al. Mod Pathol. 20:538-544, 2007.
2. Gurley, LR. Et al. J Biol Chem. 268:18431-4, 1993.
3. Hendzel, MJ, et al. J Biol Chem. 273:24470-8, 1998.
4. Colman H. et al. Am J Surg Pathol. 30:657-64, 2006.
5. Nasr MR, et al. Am J Dermatopathol. 30:117-22, 2008.
6. Kim YJ, et al. Am J Clin Pathol 128:118-25, 2007.



### Phosphatase alcaline placentaire (PLAP)

(NB10)

<b>Référence</b>	760-2664 <a href="#">05267757001</a>
<b>Type</b>	Monoclonal de souris
<b>Témoin</b>	Placenta
<b>Localisation</b>	Cytoplasmique
<b>Quantité</b>	50 tests
<b>Isotype</b>	IgG

Placenta, cytotrophoblastes

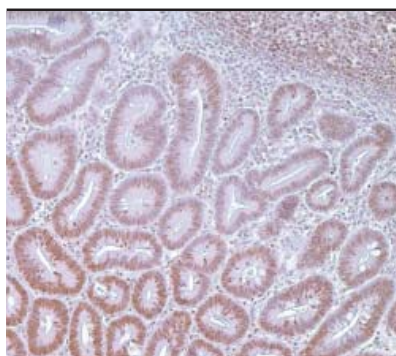
#### Description

L'anticorps primaire monoclonal de souris PLAP (NB10) provoque une immunoréaction avec les tumeurs à cellules germinales et permet de faire la distinction entre celles-ci et d'autres types de tumeurs. Des tumeurs somatiques (p. ex. des cancers du sein, du tractus gastro-intestinal, de la prostate et des voies urinaires) peuvent aussi donner des réactions immunologiques avec des anticorps contre la PLAP. La positivité pour l'anticorps PLAP en conjonction avec la négativité pour la kératine fait pencher en faveur d'un séminome plutôt que d'un carcinome. Les tumeurs à cellules germinales sont habituellement positives pour la kératine, mais elles sont systématiquement négatives dans une coloration avec un anticorps EMA (antigène de la membrane épithéliale), alors que la plupart des carcinomes sont colorés par un anticorps EMA. Cet anticorps a présenté une réactivité croisée avec la phosphatase alcaline intestinale humaine.

#### Références

1. Jacobsen GK, et al., Acta Path Microb Immuno Scand Sect A. 92:323-329, 1984.
2. Paiva J, et al., Am J Pathol. 111:156-165, 1984.
3. Burke AP, et al., Hum Path. 19:663-670, 1988.
4. Manivel JC, et al., Am J Surg Path. 11:21-29, 1987.
5. Wick MR, et al., Hum Path. 18:946-954, 1987.

Référence Ventana en noir, référence Roche en bleu. Les produits figurant sur cette page sont à usage en diagnostic *in vitro* (IVD).

**PMS2****(EPR3947)**

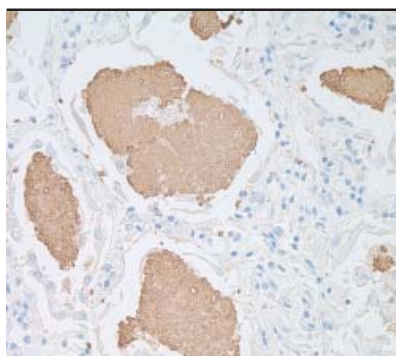
<b>Référence</b>	760-4531 <a href="#">06419216001</a>
<b>Type</b>	Monoclonal de lapin
<b>Témoin</b>	Côlon
<b>Localisation</b>	Nucléaire
<b>Quantité</b>	50 tests
<b>Isotype</b>	IgG

**Description**

L'instabilité des microsatellites (MSI) se caractérise par des altérations de courtes séquences d'ADN répétitives dans tout le génome. Elle est causée par des défauts dans le système de réparation des mésappariements des nucléotides. Biologiquement, un système de réparation défectueux entraîne une augmentation générale du taux de mutation et le développement d'un phénotype mutateur. Dans le cancer colorectal (CCR), un haut niveau d'instabilité des microsatellites a initialement été décrit dans des tumeurs de patients atteints du cancer colorectal héréditaire sans polypose (HNPCC). L'anticorps primaire monoclonal de lapin PMS2 (EPR3947) est un marqueur utile dans le diagnostic et le pronostic du cancer colorectal héréditaire sans polypose (HNPCC).

**Références**

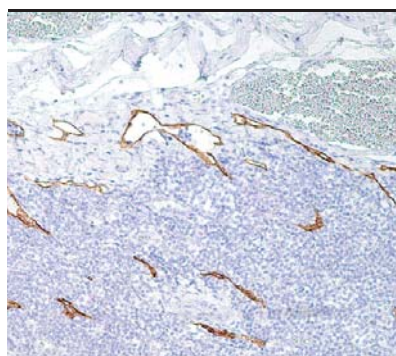
1. Hampel H, et. al., N Engl J Med. 352:1851-60, 2005.
2. Gologan A, et. al., Clin Lab Med. 25:179-96, 2005.
3. Lagerstedt Robinson K, J Natl Cancer Inst. 99:291-9, 2007
4. Hendriks YM, et. al., Gastroenterology. 130:312-22, 2006.
5. Truninger K, et. al., Gastroenterology. 128:1160-71, 2005.
6. Warusavitarne J, et al., J Colorectal Dis. 22: 739-748, 2007.
7. Gill S, et. al., Clin Cancer Res. 11:6466, 2005.

**Pneumocystis jirovecii (carinii)****(3F6)**

<b>Référence</b>	760-2665 <a href="#">05267765001</a>
<b>Type</b>	Monoclonal de souris
<b>Témoin</b>	Tissu infecté
<b>Localisation</b>	Membranaire
<b>Quantité</b>	50 tests
<b>Isotype</b>	IgM/K

**Description**

Pneumocystis jirovecii (carinii) est un organisme fongique détecté dans des tissus humains (typiquement dans le poumon des patients immunodéprimés), au stade de développement trophozoïte. L'anticorps primaire monoclonal de souris Pneumocystis jirovecii (carinii) (3F6) réagit avec un épitope de cet organisme qui est résistant au formol, à l'acide picrique, à la paraffine, ainsi qu'à l'alcool et au xylène. Aucune réactivité croisée avec d'autres organismes fongiques ou parasitaires n'a été démontrée.



## Podoplanine

(D2-40)

Référence	760-4395 05463645001
Type	Monoclonal de souris
Témoin	Ganglion lymphatique, lymphangiome
Localisation	Cytoplasmique
Quantité	50 tests
Isotype	IgG <sub>1</sub>

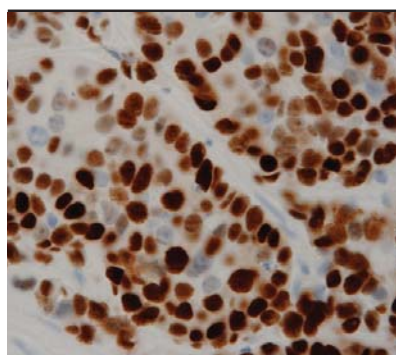
Amygdale

### Description

La podoplanine est une mucoprotéine transmembranaire (38 kD) reconnue par l'anticorps primaire monoclonal de souris D2-40. La podoplanine s'exprime sélectivement dans l'endothélium lymphatique ainsi que dans les lymphangiomes, dans les sarcomes de Kaposi et dans un sous-ensemble d'angiosarcomes avec une différenciation lymphatique probable. On a également montré que la podoplanine s'exprimait dans les mésothéliomes épithélioïdes, les hémangioblastomes et les séminomes.

### Références

- Ordenez N, Adv Anat Pathol. 13(2):83-8, 2006.
- Ordenez N, Hum Pathol. 36(4):372-80, 2005.
- Niakosari F, et al., Arch Dermatol. 141(4):440-4, 2005.
- Galambos C, et al., Pediatr Dev Pathol. 8(2):191-9, 2005.
- Fukunaga M, Histopathology. 46(4):396-402, 2005.
- Chu AY, et al., Mod Pathol. 18(1):105-10, 2005.
- Franke FE, et al., J Cutan Pathol. 31(5):362-7, 2004.
- Fogt F, et al., Oncol Rep. 11(1):47-50, 2004.
- Kahn HJ, et al., Mod Pathol. 15(4):434-40, 2002.



## Récepteur de la progestérone (RP), CONFIRM

(1E2)

Référence	790-2223 05277990001 (50 tests) ; 790-4296 05278392001 (250 tests)
Type	Monoclonal de lapin
Témoin	Sein
Localisation	Nucléaire
Quantité	50 tests (790-2223), 250 tests (790-4296)
Isotype	IgG

Carcinome canalaire du sein

### Description

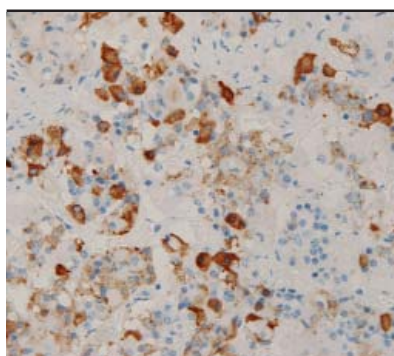
L'anticorps primaire monoclonal de lapin CONFIRM PR (1E2) est prévu pour une utilisation en laboratoire afin de détecter qualitativement l'antigène du récepteur de la progestérone dans des coupes de tissu fixées au formol, incluses en paraffine, sur un automate pour coloration de lames VENTANA, avec les kits de détection et les réactifs auxiliaires VENTANA. CONFIRM PR (1E2) est un anticorps qui reconnaît les variantes A et B du récepteur humain de la progestérone et qui est indiqué en tant qu'aide pour la gestion, le pronostic et la prédiction de l'issue thérapeutique pour le cancer du sein. Actuellement, l'un des marqueurs importants dans le cancer du sein est le récepteur de la progestérone (RP), compte tenu de son rôle déterminant dans la fonctionnalité des récepteurs aux œstrogènes présents dans les cellules mammaires cancéreuses. Pourtant, la présence du récepteur aux œstrogènes (RO) ne garantit pas une réponse à la thérapie endocrine. La moitié de toutes les patientes ayant une tumeur RO-positive ne répondent pas à cette thérapie. Dans les cellules tumorales, l'expression génétique est souvent erronée, conduisant à l'expression de variantes des protéines. On a proposé l'hypothèse selon laquelle le RO mutant, du fait qu'il ne se lie plus aux œstrogènes ou qu'il n'accomplit plus la transduction du signal, pourrait être responsable de l'échec de la thérapie endocrine. L'une des manières d'évaluer la fonctionnalité du RO présent dans un cancer du sein consiste à déterminer si les protéines régulées par le RO sont exprimées. Le récepteur de la progestérone est l'une des ces protéines, et il est utilisé depuis de nombreuses d'années pour contrôler la présence d'un RO fonctionnel.

### Références

- Bevitt DJ, Milton ID, et al., J. Pathol. 83(2):228-232, 1997.
- Dickson RB, Lippman ME, et al., Kluwer Acad. Publ. 1992; 285-286.
- Wei LL, et al., Cancer Res. 54(2):340-3, 1994.
- Dogliani C, et al., Am. J. Pathol. 137(5):999-1005, 1990.
- Greene GL, et al., Immun. Appr. Diag. and Ther. Breast Cancer. 119-135, 1987.
- Press MF, Greene GL, et al., Endocrinology. 122(3):1165-1175, 1988.
- Winborn WB, Sheridan PJ, et al., Pancreas. 2(3):289-94, 1987.
- Money SR, Muss W, et al., Surgery. 106(6):975-8, 1989.
- Roche PC, et al., Mayo Clin. Proc. 69(1):57-58, 1994.
- PDQ. [http://icisun.nci.nih...t\\_cancer\\_Physician.html](http://icisun.nci.nih...t_cancer_Physician.html).
- Horwitz KB, et al., J. Steroid Biochem. Mol. Biol. 49(4-6):295-302, 1994.
- Van Agthoven T, Timmermans M, et al., Int. J. Cancer. 63(6):790-793, 1995.

Référence Ventana en noir, référence Roche en bleu. Les produits figurant sur cette page sont à usage en diagnostic *in vitro* (IVD).





### Prolactine (polyclonal)

<b>Référence</b>	760-2803 <a href="#">05268249001</a>
<b>Type</b>	Polyclonal de lapin
<b>Témoin</b>	Hypophyse normale
<b>Localisation</b>	Cytoplasmique
<b>Quantité</b>	50 tests

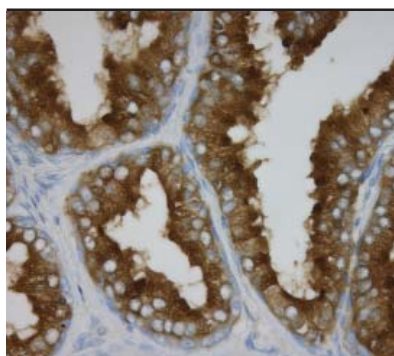
Hypophyse

#### Description

L'anticorps primaire polyclonal de lapin prolactine est un marqueur utile dans la classification des tumeurs pituitaires et l'étude des maladies de la glande pituitaire (hypophyse). Il réagit avec les cellules qui produisent la prolactine. On peut aussi trouver ces cellules productrices de prolactine dans l'épithélium de la prostate.

#### Références

1. Asa SL, et al., Arch Pathol Lab Med. 106:360, 1982.
2. Duello TM, et al., Amer J Anat. 158:463, 1980.
3. Minniti G, et al., Surg Neurol. 57(2):99-103, 2002.
4. Popadic A, et al., Surg Neurol. 51(1):47-54, 1999.
5. Nevalainen MT, et al., J Clin Invest. 99(4):618-27, 1997.



### PSA (antigène spécifique de la prostate), CONFIRM (polyclonal)

<b>Référence</b>	760-2506 <a href="#">05266939001</a>
<b>Type</b>	Polyclonal de lapin
<b>Témoin</b>	Prostate
<b>Localisation</b>	Cytoplasmique
<b>Quantité</b>	50 tests
<b>Isotype</b>	IgG

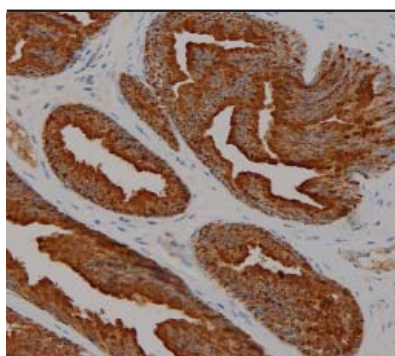
Prostate

#### Description

CONFIRM Prostate Specific Antigen (PSA) est un anticorps dirigé contre les formes libres et liées de l'antigène humain spécifique de la prostate (PSA). PSA est une sérine-protéase de 33 à 34 kD semblable à la chymotrypsine (famille de la kallikréine), exprimé spécifiquement par l'épithélium de la prostate. PSA est présent dans le cytoplasme de l'épithélium de la prostate présentant des tumeurs bénignes ou malignes. Il est utile pour l'identification de l'adénocarcinome de la prostate dans des sites métastatiques et pour différencier l'adénocarcinome de la prostate du carcinome urothélial.

#### Références

1. Nadji M, et al., Cancer. 48(5):1229-1232, 1981.
2. Oesterling JE, J Urology. 145(5):907-923, 1991.



### PSAP (phosphatase acide prostatique) (PASE/4LJ)

<b>Référence</b>	760-4272 05269342001
<b>Type</b>	Monoclonal de souris
<b>Témoin</b>	Prostate
<b>Localisation</b>	Cytoplasmique
<b>Quantité</b>	50 tests
<b>Isotype</b>	IgG <sub>1</sub>

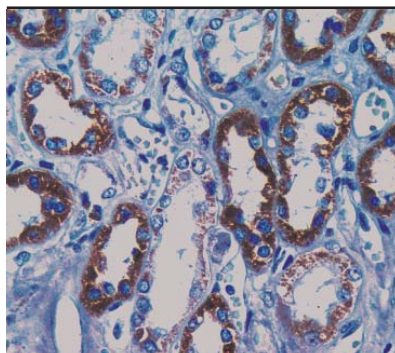
Prostate

#### Description

L'anticorps primaire monoclonal de souris PSAP (PASE/4LJ) réagit avec la phosphatase acide prostatique dans l'épithélium glandulaire de la prostate normale et hyperplasique, le carcinome de la prostate et les cellules métastatiques qui en dérivent. Ce marqueur peut être utile pour détecter le site d'origine dans les cas d'un carcinome métastatique de la prostate et il est considéré comme un marqueur plus sensible que le PSA. Cependant, il est aussi moins spécifique. Il n'en reste pas moins que la PSAP vient compléter le PSA dans le contexte clinique adéquat.

#### Références

1. Ansari MA, et al., Am J Clin Path. 76:94-98, 1981.
2. Nadji M, et al., Ann NY Acad Sci. 390:133-141, 1982.
3. Kimura N, et al., Virchows Arch A. 4:247-251, 1986.
4. Kidwai N, et al., Breast Cancer Res. 6(1):R18-23, 2004.
5. Kuroda N, et al., Pathol Int. 49(5):457-61, 1999.
6. Elgamal AA, et al., Urology. 44(1):84-90, 1994.



### Carcinome rénal (RCC) (PN-15)

<b>Référence</b>	760-4273 05269369001
<b>Type</b>	Monoclonal de souris
<b>Témoin</b>	Rein, carcinome rénal
<b>Localisation</b>	Cytoplasmique, membranaire
<b>Quantité</b>	50 tests
<b>Isotype</b>	IgG <sub>1</sub> /K

Rein

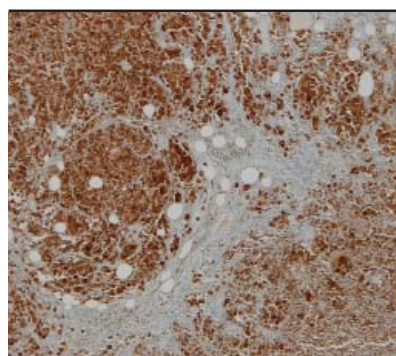
#### Description

L'anticorps primaire monoclonal de souris RCC PN-15 (carcinome rénal) reconnaît une glycoprotéine de 200 kD localisée dans la bordure en brosse du tubule rénal proximal. Cet anticorps provoque une réaction immunitaire avec environ 90 % des cellules primaires et environ 85 % des cellules métastatiques de carcinome rénal. Les autres tumeurs susceptibles de réagir avec cet anticorps sont l'adénome parathyroïde et parfois le cancer du sein. Les cellules de néphroblastome, oncocytome, néphrome mésoblastique, carcinome transitionnel et angiomyolipome ne sont pas marquées par cet anticorps.

#### Références

1. Avery AK, et al., Am J Surg Pathol. 24(2):203-210, 2000.
2. McGregor DK, et al., Am J Surg Pathol. 25(12):1485-1492, 2001.
3. Gokden N, et al., Appl Immunohistochem Mol Morphol. 11(2):116-9, 2003.
4. Ordóñez NG, et al., Human Pathology. 35(6):697-710, 2004.

Référence Ventana en noir, référence Roche en bleu. Les produits figurant sur cette page sont à usage en diagnostic *in vitro* (IVD).



### S100, CONFIRM (4C4.9)

<b>Référence</b>	790-2914 <a href="#">05278104001</a>
<b>Type</b>	Monoclonal de souris
<b>Témoin</b>	Mélanome
<b>Localisation</b>	Cytoplasmique
<b>Quantité</b>	50 tests
<b>Isotype</b>	IgG <sub>2a</sub>

Mélanome

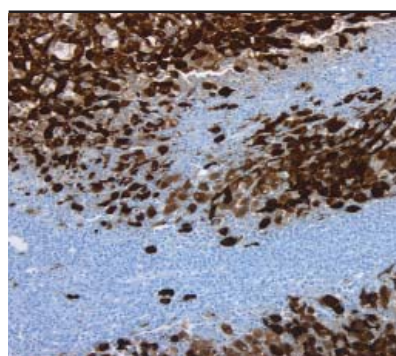
#### Description

La protéine S100 a initialement été détectée dans le tissu nerveux, et par la suite dans un certain nombre d'autres types cellulaires y compris les cellules gliales et neuronales, les cellules de Schwann, les mélanocytes et cellules naeviques, les cellules de tissu cartilagineux et adipeux, les cellules myoépithéliales et aussi les cellules de Langerhans. S100 est un marqueur sensible du mélanome. Les anticorps contre S100 colorent les mélanomes amélaniques plus intensément que les tumeurs pigmentées, et détectent les mélanomes qui sont souvent négatifs pour d'autres marqueurs mélanocytaires, comme les mélanomes desmoplastiques. Bien que S100 soit fortement sensible pour les mélanomes, beaucoup de tumeurs non mélanocytaires s'avèrent aussi positives pour S100. La protéine S100 est typiquement présente dans les cellules neuronales (cellules gliales et cellules de Schwann) et les tumeurs correspondantes.

#### Références

1. Taylor RT, et al., W.B. Saunders Co, Philadelphia, 1994.

2. Kahn HJ, et al., Amer. J. Clin. Pathol. 1983; 79(3): 341-347.



### S100, CONFIRM (polyclonal)

<b>Référence</b>	760-2523 <a href="#">05267072001</a>
<b>Type</b>	Polyclonal de lapin
<b>Témoin</b>	Mélanome
<b>Localisation</b>	Cytoplasmique
<b>Quantité</b>	50 tests

Mélanome

#### Description

L'anticorps primaire polyclonal de lapin CONFIRM S100 contient un antisérum de lapin dirigé contre un épitope situé sur la protéine S100 et il peut être utilisé pour aider à identifier des cellules normales et anormales de lignée neuronale et neuroendocrine, ainsi que pour aider dans le diagnostic des tumeurs anaplasiques.

S100 est un marqueur sensible du mélanome. Cet anticorps colore les mélanomes amélaniques plus intensément que les tumeurs pigmentées, et détecte les mélanomes qui sont souvent négatifs pour d'autres marqueurs mélanocytaires, comme les mélanomes desmoplastiques. La coloration est cytoplasmique, la proportion de cellules positives varie entre 10 et 70 pour cent ou plus.

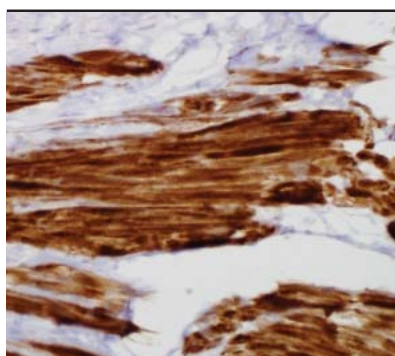
Bien que S100 soit fortement sensible pour les mélanomes, beaucoup de tumeurs non mélanocytaires s'avèrent aussi positives pour S100. La protéine S100 est typiquement présente dans les cellules neuronales (cellules gliales et cellules de Schwann) et les tumeurs correspondantes. Un avantage de l'ubiquité de protéines S100 fortement immunoréactives dans les nerfs périphériques, qui sont présentes dans presque toutes les coupes de tissus normaux ou pathologiques, est que cela fournit un témoin positif intégré pour la plupart des immunocolorations de S100.

#### Références

1. Taylor RT, et al., WB Saunders Co, Philadelphia, 1994.

2. Kahn HJ, et al., Amer J Clin Pathol. 79(3):341-347, 1983.

3. True L. Atlas of Diagnostic Immunohistopathology. 1990.



### Smootheline (R4A)

<b>Référence</b>	760-4592 <a href="#">06433278001</a>
<b>Type</b>	Monoclonal de souris
<b>Témoin</b>	Vessie, léiomyosarcome
<b>Localisation</b>	Cytoplasmique, nucléaire
<b>Quantité</b>	50 tests
<b>Isotype</b>	IgG <sub>1</sub>

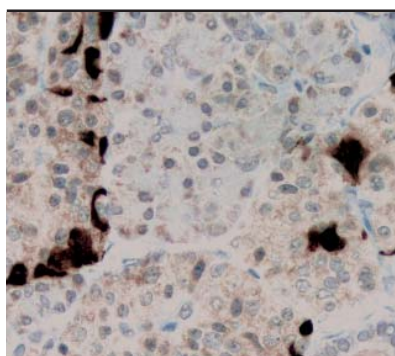
Carcinome transitionnel des voies urinaires

#### Description

L'anticorps primaire monoclonal de souris smootheline (R4A) est utilisé pour aider à distinguer les cellules en différenciation terminale du muscle lisse, les cellules des tumeurs du muscle lisse du tractus gastro-intestinal et d'autres organes, ainsi qu'à évaluer le stade du cancer de la vessie dans le cadre d'une évaluation réalisée par un pathologiste qualifié en fonction de la batterie d'anticorps, des antécédents cliniques du patient et des autres tests diagnostiques.

#### Références

1. Kramer, J et al. J Mol Med. 77:294-8, 1999.
2. van der Loop, FT et al. J Cell Biol. 134:401-411, 1996.
3. Maake, C et al. J Urol. 175:1152-1157, 2006.
4. Jimenez, RE et al. Adv Anat Pathol. 7:13-25, 2000.
5. Kuijpers, et al. Eur Urol. 52:1213-21, 2007.
6. Paner, GP et al. Am J Surg Pathol. 33:91-8, 2009.
7. Paner, GP et al. Am J Surg Pathol. 34:792-9, 2010.
8. Council, L et al. Mod Pathol. 22:639-650, 2009.
9. Coco, DP et al. Am J Surg Pathol. 33(12):1795-801, 2009.



### Somatostatine (polyclonal)

<b>Référence</b>	760-2667 <a href="#">05267781001</a>
<b>Type</b>	Polyclonal de lapin
<b>Témoin</b>	Pancréas
<b>Localisation</b>	Cytoplasmique
<b>Quantité</b>	50 tests

Pancréas

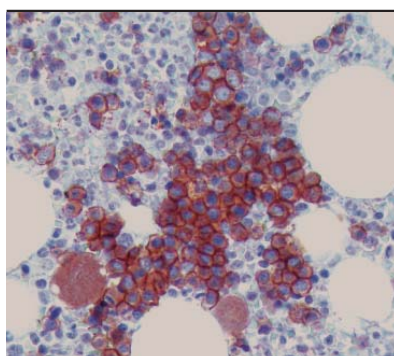
#### Description

L'anticorps primaire polyclonal de lapin somatostatine est un marqueur utile des cellules D des îlots de Langerhans. L'identification des cellules D peut servir à reconnaître l'hyperplasie et les tumeurs des îlots de Langerhans, comme les somatostatinomes. La somatostatine peut aussi se trouver dans les cellules endocrines gastro-intestinales et bronchopulmonaires, les cellules endocrines thymiques et les cellules C de la thyroïde. La somatostatine inhibe la sécrétion d'acide gastrique, les contractions de la vésicule biliaire et les sécrétions d'enzymes pancréatiques.

#### Références

1. Krejs GJ, et al., N. Eng J Med. 301:285-292, 1979.
2. Somers G, et al., Gastroenterology. 85:1192-1198, 1983.
3. Erlandsen SL, et al., Williams and Wilkins, Baltimore. 140-155, 1980.
4. Friesen SR, et al., N Eng J Med. 306:580-590, 1982.
5. Tzaneva MA, et al., Acta Histochem. 105(2):191-201, 2003.
6. Quartu M, et al., J Chem Neuroanat. 6(2):79-99, 1993.





### Spectrine

(RBC2/3D5)

<b>Référence</b>	760-4274 <a href="#">05269377001</a>
<b>Type</b>	Monoclonal de souris
<b>Témoin</b>	Moelle osseuse
<b>Localisation</b>	Membranaire
<b>Quantité</b>	50 tests
<b>Isotype</b>	IgG <sub>2b</sub> /K

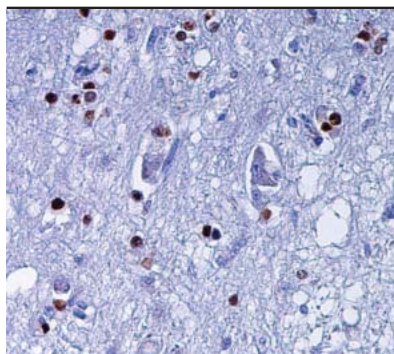
Moelle osseuse, cellules précurseurs des érythrocytes

#### Description

La spectrine est une protéine du cytosquelette qui se trouve dans les muscles, les érythrocytes et leurs précurseurs. L'anticorps primaire monoclonal de souris spectrine (RBC2/3D5) est utile dans le diagnostic des leucémies érythroïdes.

#### Références

1. Sadahira Y, et al., J Clin Pathol. 52(12):919-21, 1999.
2. Nehls V, et al., Am J Pathol. 142(5):1565-73, 1993.
3. Muller M, et al., J Vet Med A Physiol Pathol Clin Med. 48(1):51-7, 2001
4. Terada N, et al., J Anat. 190(3):397-404, 1997.



### SV40 (virus simien 40)

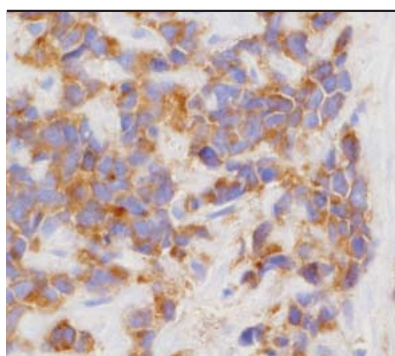
(MRQ-4)

<b>Référence</b>	760-4449 <a href="#">05973775001</a>
<b>Type</b>	Monoclonal de souris
<b>Témoin</b>	Cellules SV80 ou SV-T2, tissu infecté par SV40
<b>Localisation</b>	Nucléaire
<b>Quantité</b>	50 tests
<b>Isotype</b>	IgG <sub>1</sub>

Carcinome cérébral

#### Description

SV40, le virus simien 40, est un polyomavirus que l'on rencontre chez le singe et chez l'homme. Comme d'autres polyomavirus, SV40 est un virus à ADN capable de causer des tumeurs. On pense que SV40 supprime les propriétés transcriptionnelles du gène suppresseur de tumeur p53 chez l'homme, par l'intermédiaire du grand antigène T et du petit antigène T de SV40. On admet généralement que le grand antigène T est la principale protéine impliquée dans les processus néoplasiques, et qu'il exerce ses effets essentiellement par le biais d'une dérégulation du suppresseur de tumeur p53, qui est responsable d'initier la mort cellulaire programmée (apoptose) ou l'arrêt du cycle cellulaire quand une cellule est endommagée. Une mutation du gène p53 peut contribuer à la prolifération cellulaire incontrôlée qui conduit à une tumeur. L'hypothèse selon laquelle SV40 pourrait causer le cancer chez l'humain a été un domaine de recherche particulièrement controversé. Certaines recherches ont suggéré que SV40 est associé à des tumeurs du cerveau, des cancers des os, des lymphomes non hodgkiniens et des mésothéliomes malins. SV40 peut agir en tant qu'agent cocarcinogène avec la crocidolite pour causer le mésothéliome.



### Synaptophysine

(MRQ-40)

**Référence** 760-4595 [06433324001](#)

**Type** Monoclonal de lapin

**Témoin** Îlots de cellules pancréatiques

**Localisation** Cytoplasmique

**Quantité** 50 tests

**Isotype** IgG<sub>1</sub>

Carcinome du poumon à petites cellules

#### Description

L'anticorps primaire monoclonal de lapin synaptophysine (MRQ-40) est utilisé en tant qu'aide pour identifier des tumeurs neuroendocrines, dans le cadre d'une évaluation réalisée par un pathologiste qualifié en fonction de la batterie d'anticorps, des antécédents cliniques du patient et des autres tests diagnostiques.

#### Références

1. Navone, F et al. J Cell Biol 103:2511-2527, 1986.

2. Wiedenmann, B et al. Cell. 41:1017-1028, 1985.

3. Kayser, K et al. Path Res Pract. 183:412-417, 1988.

4. Son, EI et al. Pathol Int. 53(2):67-73, 2003.

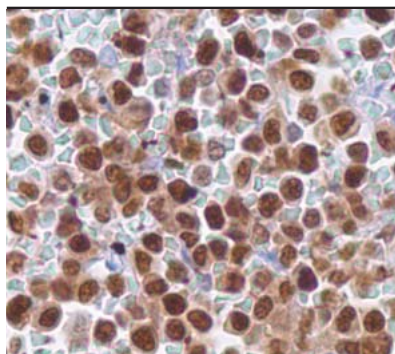
5. Conner, MG et al. Ann Diagn Pathol. 6(6):345-8, 2002.

6. Lyda, MH et al. Hum Pathol. 31(8):980-7, 2000.

7. Skacel, M et al. Appl Immunohistochem Mol Morphol. 8(3):302-9, 2000.

8. Morrison, CD et al. Semin Diagn Pathol. 17(3):204-15, 2000.

9. Kamisawa, T et al. Pathol Res Pract. 192(9):901-8, 1996.



### T-bet

(MRQ-46)

**Référence** 760-4598 [06433391001](#)

**Type** Monoclonal de lapin

**Témoin** Amygdale, leucémie à tricholeucocytes

**Localisation** Nucléaire

**Quantité** 50 tests

**Isotype** IgG<sub>1</sub>

Leucémie à tricholeucocytes

#### Description

T-bet est utilisé en tant qu'aide pour différencier la leucémie à tricholeucocytes, la maladie de Hodgkin et les leucémies lymphoblastiques à précurseurs B/lymphomes lymphoblastiques, dans le cadre d'une évaluation réalisée par un pathologiste qualifié en fonction de la batterie d'anticorps, des antécédents cliniques du patient et des autres tests diagnostiques.

#### Références

1. Szabo, SJ et al. Cell. 100(6):665-69, 2000.

2. Zhang, WX et al. Genomics. 70(1):41-8, 2001.

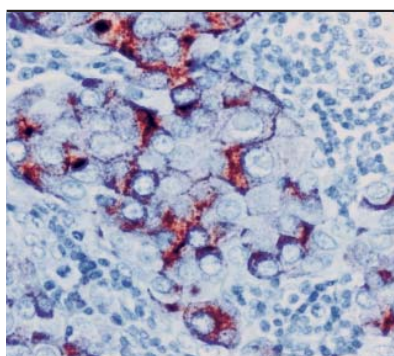
3. Johrens, K et al. Am J Surg Pathol. 31(8):1181-1185, 2007.

4. Atayar, C et al. Am J Pathol. 166:127-134, 2005.

5. Dorfman, DM et al. Am J Clin Pathol. 122:292-297, 2004.

6. Harashima, A et al. Leuk Res. 29(7):841-8, 2005.

7. Marafioti, T et al. Am J Pathol. 162:861-871, 2003.

**TAG-72**

(B72.3)

<b>Référence</b>	760-2669 05267803001
<b>Type</b>	Monoclonal de souris
<b>Témoin</b>	Carcinome mammaire
<b>Localisation</b>	Cytoplasmique
<b>Quantité</b>	50 tests
<b>Isotype</b>	IgG <sub>1</sub> /K

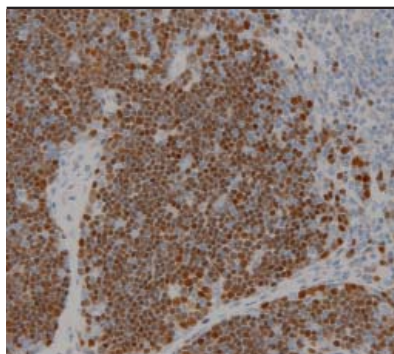
Adénocarcinome mammaire

**Description**

L'anticorps primaire monoclonal de souris TAG-72 (B72.3) reconnaît une glycoprotéine de haut poids moléculaire appelée TAG-72, présente dans les adénocarcinomes humains et, en moindre quantité, dans les tissus non tumoraux. On l'a également trouvé utile pour distinguer les mésothéliomes des adénocarcinomes, cependant de fausses réactions positives peuvent avoir lieu et par conséquent les résultats doivent être interprétés avec la plus grande circonspection.

**Références**

1. Thor A, et al., Cancer Res. 46:3118, 1986.
2. Schlom J, et al., Tumourmarker Oncology. 2:3, 1987.
3. Johnston WW, et al., Hum Pathol. 17:501-513, 1986.
4. Lundy J, et al., Ann Surg. 203:399-402, 1986.
5. Kline TS, et al., Cancer. 63:2253-2256, 1989.
6. Chhieng DC, et al., Hum Pathol. 34(10):1016-21, 2003.
7. Ordonez NG, et al., Am J Surg Pathol. 22(10):1203-14, 1998.

**TdT (désoxynucléotidyl-transférase terminale)**

(polyclonal)

<b>Référence</b>	760-2670 05267811001
<b>Type</b>	Polyclonal de lapin
<b>Témoin</b>	Lymphomes positifs pour la TdT, thymus
<b>Localisation</b>	Nucléaire
<b>Quantité</b>	50 tests

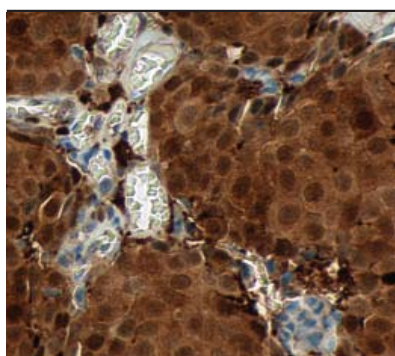
Thymus, thymocytes corticaux

**Description**

L'anticorps primaire polyclonal de lapin désoxynucléotidyl-transférase terminale (TdT) marque les thymocytes corticaux normaux et les lymphocytes primitifs. L'anticorps TdT détecte une enzyme qui se trouve dans les noyaux des cellules hématopoïétiques normales, des thymocytes corticaux normaux et dans le cytoplasme des mégacaryocytes de la moelle osseuse. L'expression de la TdT est constatée dans plus de 90 % des cas de leucémie/lymphome lymphoblastique aigu, à l'exception des leucémies aiguës lymphoblastiques à précurseurs B. On ne constate pas d'expression de la TdT dans les lymphocytes T ou B normaux matures. L'anticorps TdT est positif dans un tiers environ de tous les cas de leucémie myéloïde chronique, ce qui en fait un bon indicateur de réponse à la chimiothérapie.

**Références**

1. Elias JM, et al., TdT. A Practical Approach to Diagnosis, ASCP Press, Chicago 1990; 312-316.
2. Arber DA, et al., Am J Clin Pathol. 106(4):462-8, 1996.
3. Orazi A, et al., Mod Pathol. 7(5):582-6, 1994.
4. Suzumiya J, et al., J Pathol. 182(1):86-91, 1997.



### Thymidine Phosphorylase, CONFIRM (P-GF.44C)

<b>Référence</b>	790-4454 <a href="#">05976502001</a>
<b>Type</b>	Monoclonal de souris
<b>Témoin</b>	Astrocytes dans le cerveau normal, lymphocytes dans la rate
<b>Localisation</b>	Nucléaire, cytoplasmique
<b>Quantité</b>	50 tests
<b>Isotype</b>	IgG <sub>1</sub>

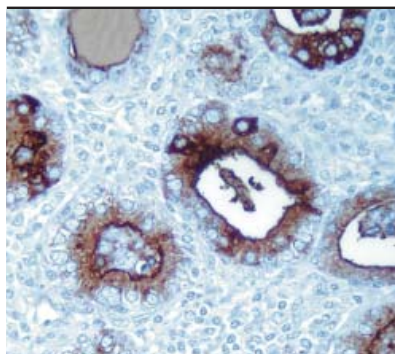
Carcinome mammaire

#### Description

L'anticorps primaire monoclonal de souris CONFIRM Thymidine Phosphorylase (P-GF.44C) reconnaît la thymidine phosphorylase humaine, un facteur angiogène exprimé à divers niveaux dans les macrophages, les cellules stromales, les cellules gliales et certaines cellules épithéliales. La thymidine phosphorylase est localisée dans le cytoplasme et/ou le noyau. Cet anticorps entraîne une coloration nucléaire et/ou cytoplasmique et peut être utilisé pour aider à détecter la thymidine phosphorylase dans les carcinomes du sein, de l'œsophage, de l'estomac, du côlon et du rectum, du pancréas, de la tête et du cou, des ovaires et des poumons.

#### Références

1. Fox SB, et al., Biochemistry. 20:3615-3621, 1981.
2. Haraguchi M, et al., Biochem Pharmacol. 74:1555-1567, 2007.
3. Desgranges C, et al., Biochem Biophys Acta. 654:211-218, 1981.
4. Yoshimura A, et al., Biochem Biophys Acta. 1034:107-113, 1990.
5. De Bruin M, et al., Cancer Ther. 4:99-124, 2006.



### Thyroglobuline (2H11+6E1)

<b>Référence</b>	760-2671 <a href="#">05267820001</a>
<b>Type</b>	Monoclonal de souris
<b>Témoin</b>	Thyroïde
<b>Localisation</b>	Cytoplasmique
<b>Quantité</b>	50 tests
<b>Isotype</b>	IgG <sub>1</sub>

Carcinome folliculaire de la thyroïde

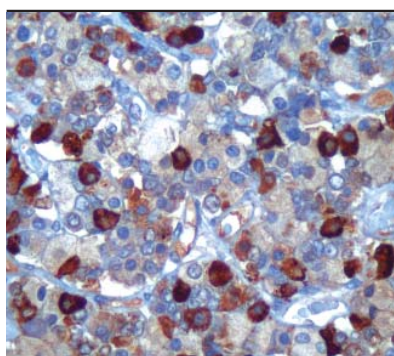
#### Description

L'anticorps primaire monoclonal de souris thyroglobuline (2H11+6E1) réagit avec la thyroglobuline humaine, comme le montre la bande unique obtenue par immunoempreinte avec un lysat de tissu thyroïdien humain. La grande majorité des carcinomes folliculaires de la thyroïde entraîne une réaction immunologique positive pour la thyroglobuline, même si elle n'est parfois que focale. Les carcinomes mal différenciés de la thyroïde sont fréquemment négatifs pour la thyroglobuline. Les adénocarcinomes d'origine non thyroïdienne ne réagissent pas avec cet anticorps.

#### Références

1. Bellet D, et al., J Clin Endocrin Metab. 56:530-533, 1983.
2. Heffess CS, et al., Cancer. 95(9):1869-78, 2002.
3. Bejarano PA, et al., Appl Immunohistochem Mol Morphol. 8(3): 189-94, 2000.
4. Judkins AR, et al., Hum Pathol. 30(11):1373-6, 1999.
5. Hammer SP, et al., Hum Pathol. 29(12):1393-402, 1998.





### TSH: Hormone thyroïdo-stimulante

(polyclonal)

<b>Référence</b>	760-2709 <a href="#">05268184001</a>
<b>Type</b>	Polyclonal de lapin
<b>Témoin</b>	Hypophyse normale
<b>Localisation</b>	Cytoplasmique
<b>Quantité</b>	50 tests

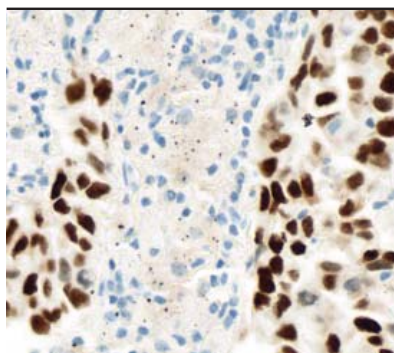
Hypophyse

#### Description

L'anticorps primaire polyclonal de lapin TSH (hormone thyroïdo-stimulante) est un marqueur utile dans la classification des tumeurs pituitaires et l'étude des maladies associées à l'hypophyse. Il réagit avec les cellules productrices de TSH (cellules thyrotropes). La TSH est une hormone pituitaire de 28 kD, qui stimule la croissance de la glande thyroïde et la production des hormones thyroïdiennes.

#### Références

1. Batanero E, et al., Brain Behav Immun. 6(3):249-64, 1992.
2. Kovalic JJ, et al., J Neurooncol. 16(3):227-32, 1993.
3. Gessl A, et al., J Clin Endocrinol Metab. 79(4):1128-34, 1994.
4. Sanno N, et al., J Clin Endocrinol Metab. 80(8):2518-22, 1995.
5. La Rosa S, et al., Virchows Arch. 437(3):264-9, 2000.



### TTF-1 : Facteur-1 de transcription de la thyroïde, CONFIRM

(8G7G3/1)

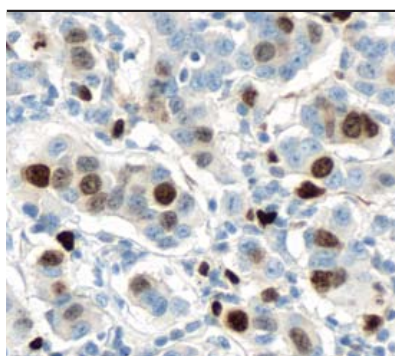
<b>Référence</b>	790-4398 <a href="#">05479312001</a>
<b>Type</b>	Monoclonal de souris
<b>Témoin</b>	Carcinome du poumon, poumon, thyroïde
<b>Localisation</b>	Nucléaire
<b>Quantité</b>	50 tests
<b>Isotype</b>	IgG <sub>1</sub>

#### Description

TTF-1 est une protéine nucléaire de 38 kD, qui appartient à la famille des facteurs de transcription à homéodomaine. Compte tenu de son expression exclusive dans les cellules épithéliales de la glande thyroïde et du poumon, TTF-1 est un anticorps utile pour la classification des tumeurs issues de ces organes. En association avec d'autres données, TTF-1 s'avère utile dans l'investigation des adénocarcinomes métastatiques d'origine inconnue. TTF-1 entraîne une coloration intranucléaire et les cellules folliculaires de la glande thyroïde normale, ainsi que les cellules du revêtement alvéolaire du parenchyme pulmonaire tiennent lieu d'excellents témoins positifs tissulaires internes.

#### Références

1. Dongfeng T, et al., Human Pathology. 34:597-604, 2003.
2. Ordenez N, American J of Surgical Pathol. 25:363-372, 2001.



### Topoisomérase IIα, CONFIRM

(JS5B4)

Référence	790-4371 <a href="#">05479339001</a>
Type	Monoclonal de lapin
Témoin	Amygdale, rate
Localisation	Nucléaire
Quantité	50 tests

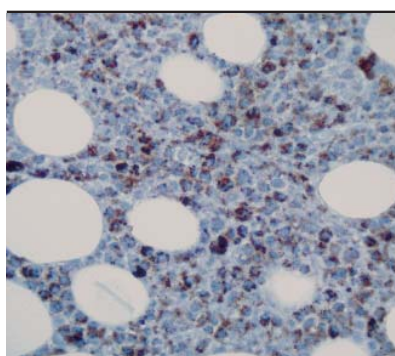
Carcinome mammaire

#### Description

CONFIRM Topoisomérase IIα (JS5B4) est un anticorps primaire monoclonal de lapin conçu pour détecter qualitativement la présence de cellules exprimant la topoisomérase IIα. Pendant le cycle cellulaire, la topoisomérase IIα s'exprime au cours des phases G1, S, G2 et M mais pas pendant la phase G0 (de quiescence). L'évaluation de la proportion de cellules positives (colorées) pour la topoisomérase IIα peut aider à estimer l'activité proliférative des tissus normaux et/ou tumoraux.

#### Références

- |   |  |
|---|--|
| 1. Kreipe H, et al., AM J Pathol. 142:3-9, 1993       | 3. Kreipe H, et al., AM J Pathol. 142:651-657, 1993.                 |
| 2. Rudolph P, et al., AM J Pathol. 147:1615-25, 1995. | 4. Kellner U, et al., J of Histochem and Cytochem. 45:251-264, 1997. |



### TRAcP (phosphatase acide résistante au tartrate)

(9C5)

Référence	760-4275 <a href="#">05269385001</a>
Type	Monoclonal de souris
Témoin	Leucémie à tricholeucocytes
Localisation	Cytoplasmique
Quantité	50 tests
Isotype	IgG <sub>2b</sub>

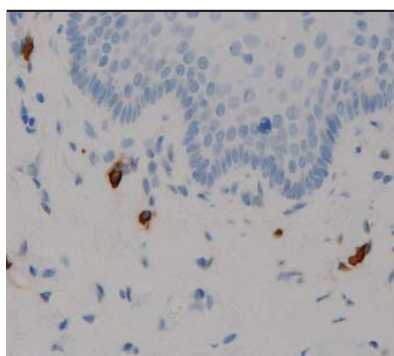
Moelle osseuse

#### Description

L'identification histochimique de la leucémie à tricholeucocytes par le biais du dosage de la phosphatase acide résistante au tartrate est un standard depuis plus de deux décennies. L'anticorps primaire monoclonal de souris TRAcP (9C5) donne un marquage hautement sensible et spécifique des cellules de la leucémie à tricholeucocytes (HCL). Les autres cellules colorées par cet anticorps sont les macrophages tissulaires et les ostéoclastes, qui expriment aussi une abondante activité TRAcP.

#### Références

- |   |  |
|---|--|
| 1. Janckila AJ, et al., Blood. 85(10):2839-44, 1995.              | 4. Janckila AJ, et al., Hybridoma. 16(2):175-82, 1997.         |
| 2. Yaziji H, et al., Am. J Clin Pathol. 104(4):397-402, 1995.     | 5. Hoyer JD, et al., Am J Clin Pathol. 108(3):308-15, 1997.    |
| 3. Janckila AJ, et al., J Histochem Cytochem. 44(3):235-44, 1996. | 6. Janckila AJ, et al., Biotech Histochem. 73(6):316-24, 1998. |



### Tryptase

(G3)

**Référence** 760-4276 05269393001

**Type** Monoclonal de souris

**Témoin** Tissu contenant des mastocytes

**Localisation** Cytoplasmique

**Quantité** 50 tests

**Isotype** IgG<sub>1</sub>

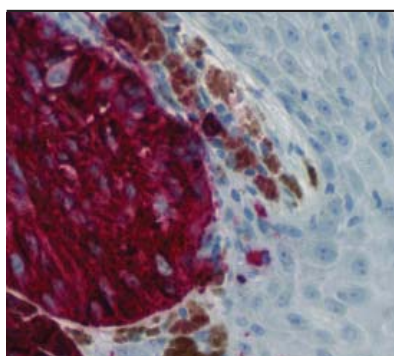
Col de l'utérus

#### Description

Les tryptases constituent une sous-famille de protéases semblables à la trypsine, stockées dans les granules de sécrétion des mastocytes et des basophiles. Une fois ces cellules activées, les enzymes sont libérées dans l'environnement extracellulaire. L'anticorps primaire monoclonal de souris tryptase (G3) est un bon marqueur des mastocytes, basophiles et des cellules qui en dérivent.

#### Références

1. Fiorucci L, et al., Cell Mol Life Sci. 61(11):1278-95, 2004.
2. Li CY, et al., Leuk Res. 25(7):537-41, 2001.
3. Jordan JH, et al., Hum Pathol. 32(5):545-52, 2001.
4. Gordon LK, et al., Clin Immunol. 94(1):42-50, 2000.
5. Aoki M, et al., Int Arch Allergy Immunol. 130(3):216-23, 2003.



### Tyrosinase, CONFIRM

(T311)

**Référence** 790-4365 05479347001

**Type** Monoclonal de souris

**Témoin** Mélanome

**Localisation** Cytoplasmique

**Quantité** 50 tests

**Isotype** IgG<sub>2a</sub>

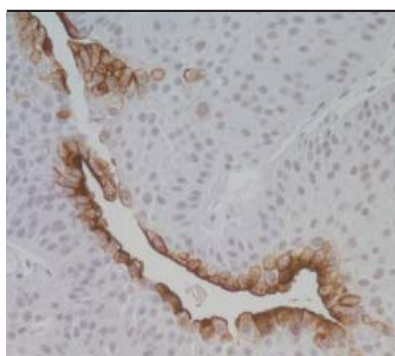
Mélanome, avec une zone présentant des mélanocytes normaux

#### Description

La tyrosinase est une enzyme intervenant dans la production des pigments de mélanine. Cette enzyme catalyse la formation de mélanine dans les cellules et par conséquent, constitue un marqueur utile de la présence de mélanocytes et des mélanosomes. En tant que marqueur de la lignée mélanocytaire, la tyrosinase est localisée dans les mélanocytes qui se trouvent à la jonction entre le derme et l'épiderme dans la peau normale ; elle n'est pas détectée dans d'autres cellules normales. On trouve également une expression de la tyrosinase dans les lésions mélanocytaires y compris les nævi bénins et la majorité des mélanomes malins primaires et métastatiques, mais pas dans les tumeurs non mélanocytaires.

#### Références

1. Chen Y, et al., Proc Natl Acad Sci USA. 92:8125-8129, 1995.
2. Jungbluth A, et al., Pathol Res Pract. 196:235-242, 2000.
3. Clarkson K, et al., J Clin Pathol. 54:196-200, 2001.
4. Kwon B, J of Invest Dermatol. 100:134S-140S, 1993.
5. Hofbauer G, et al., J Cutan Pathol. 25:204-209, 1998.



### Uroplakine III

(SP73)

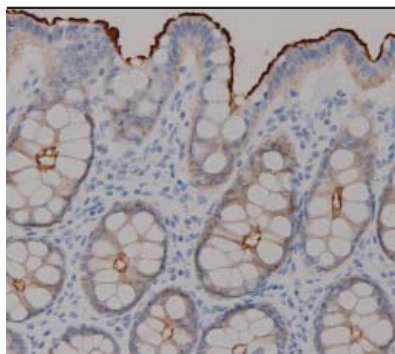
<b>Référence</b>	760-4533 <a href="#">06419232001</a>
<b>Type</b>	Monoclonal de lapin
<b>Témoin</b>	Vessie
<b>Localisation</b>	Membranaire, cytoplasmique
<b>Quantité</b>	50 tests
<b>Isotype</b>	IgG <sub>1</sub>

#### Description

Les uroplakines (UP) sont une famille de protéines transmembranaires (UP Ia, Ib, II et III) qui sont des produits de différenciation spécifiques des cellules urothéliales. Dans l'urothélium de mammifère non tumoral, les UP sont exprimées du côté de la surface luminale dans la membrane plasmique des cellules superficielles (en ombrelle), où elles forment des complexes de particules cristallines de 16 nm. Moll et al. ont rapporté que UPIII est détectable par immunohistochimie dans 29 sur 55 (soit 53 %) et 23 sur 35 (soit 66 %) carcinomes urothéliaux primaires et métastatiques, respectivement. Cependant, beaucoup de carcinomes non urothéliaux étaient négatifs pour UPIII. Les auteurs en ont conclu qu'UPIII devrait être un marqueur valable, particulièrement pour l'identification spécifique de carcinomes urothéliaux chez les patients ayant des métastases d'origine inconnue.

#### Références

- |   |  |
|---|--|
| 1. Angel CE, et al., Blood. 113:1257-67, 2009.      | 3. Olsburgh J, et al., J Pathol. 199: 41-49, 2003. |
| 2. Moll R et al., Am J Pathol. 147:1383-1397, 1995. | 4. Ohtsuka Y, et. al., BJU Int. 97:1322-6, 2006.   |



### Villine

(CWWB1)

<b>Référence</b>	760-4277 <a href="#">05269407001</a>
<b>Type</b>	Monoclonal de souris
<b>Témoin</b>	Muqueuse de l'intestin grêle, muqueuse du côlon
<b>Localisation</b>	Cytoplasmique, membranaire
<b>Quantité</b>	50 tests
<b>Isotype</b>	IgG <sub>1</sub>

Côlon

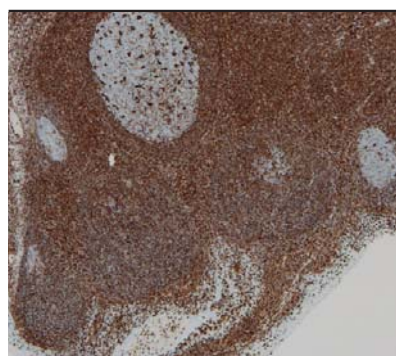
#### Description

La villine est une glycoprotéine des microvillosités de 95 kD associée à la formation de radicules dans l'épithélium de la muqueuse gastro-intestinale. L'anticorps primaire monoclonal de souris villine (CWWB1) donne un marquage de la bordure en brosse de l'épithélium de la muqueuse gastro-intestinale. Cet anticorps a été utile pour différencier l'adénocarcinome gastro-intestinal, les carcinomes neuroendocrines et les adénocarcinomes ovariens des adénocarcinomes provenant d'autres organes. Les cellules de Merkel de la peau sont également marquées par cet anticorps.

#### Références

- |   |   |
|---|---|
| 1. Werling RW, et al., Am J Surg Path. 27(3):303-310, 2003.   | 4. Lau SK, et al., Hum Pathol. 33:1175-1181, 2002.              |
| 2. Tan J, et al., Hum Pathol. 29:390-396, 1998.               | 5. Tamboli P, et al., Arch Pathol Lab Med. 126:1057-1063, 2002. |
| 3. Goldstein NS, et al., Am J Clin Pathol. 116:319-325, 2001. | 6. Zhang PJ, et al., Arch Pathol Lab Med. 123:812-816, 1999.    |





### Vimentine, CONFIRM

(V9)

<b>Référence</b>	790-2917 <a href="#">05278139001</a>
<b>Type</b>	Monoclonal de souris
<b>Témoin</b>	Ganglion lymphatique, peau
<b>Localisation</b>	Cytoplasmique
<b>Quantité</b>	50 tests
<b>Isotype</b>	IgG/K

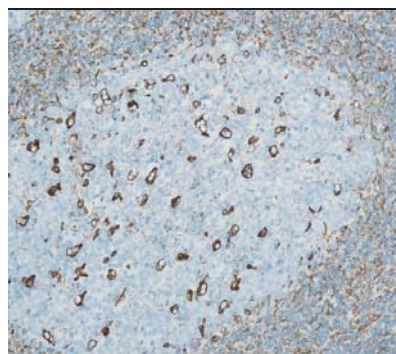
Amygdale

#### Description

L'antigène vimentine est exprimé dans les cellules endothéliales, les fibroblastes, les cellules musculaires lisses et les cellules lymphoïdes. Un certain nombre de tumeurs co-expriment la vimentine et la cytokeratine, par exemple les carcinomes thyroïdiens, les adénomes pléomorphes des glandes salivaires, les carcinomes ovariens et certains carcinomes rénaux. La coexpression de la desmine et de la vimentine a été rapportée dans un certain nombre de tumeurs des tissus mous, par exemple les rhabdomyosarcomes, léiomyosarcomes et les sarcomes alvéolaires des tissus mous.

#### Références

1. Sheibani K, et al., Am J Surg Pathol. 12(1): 28-34, 1988.
2. Azumi N, et al., Am J Clin Pathol. 88(3): 286-296, 1987.
3. Benjamin E, et al., J Pathol. 152(4): 253-263, 1987.
4. Miettinen M, et al., Arch Dermatol. 121(6): 736-741, 1985.
5. Osborn M, et al., Eur J Cell Biol. 34(1): 137-143, 1984.



### Vimentine, CONFIRM

(Vim 3B4)

<b>Référence</b>	760-2512 <a href="#">05266998001</a>
<b>Type</b>	Monoclonal de souris
<b>Témoin</b>	Intestin, foie
<b>Localisation</b>	Cytoplasmique
<b>Quantité</b>	50 tests
<b>Isotype</b>	IgG <sub>2a</sub>

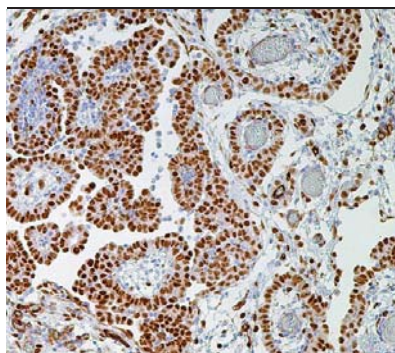
Amygdale

#### Description

La vimentine est le principal et habituellement le seul filament intermédiaire dans diverses cellules mésenchymateuses non musculaires, y compris les cellules fibroblastiques, endothéliales, les lipocytes, les cellules de Schwann et les macrophages. On peut se servir du mode d'expression des filaments intermédiaires comme d'un indice pour aider à la classification des tumeurs indifférenciées. La vimentine s'exprime dans la plupart des mélanomes malins, soit dans le site primaire, soit dans des foyers métastatiques.

#### Références

1. Weins B, Progen Biotechnik GmbH, Heidelberg, Germany, 1994.
2. Azumi N, et al., Am J Clin Pathol. 88(3): 286-296, 1987.
3. True LD, J.B. Lippincott Company, Philadelphia. 1990.
4. Taylor RT, et al., WB Saunders Company, Philadelphia. 1994.

**WT1****(6F-H2)**

<b>Référence</b>	760-4397 <a href="#">05435706001</a>
<b>Type</b>	Monoclonal de souris
<b>Témoin</b>	Mésothéliome malin, rein, testicule
<b>Localisation</b>	Nucléaire
<b>Quantité</b>	50 tests
<b>Isotype</b>	IgG <sub>1</sub> /K

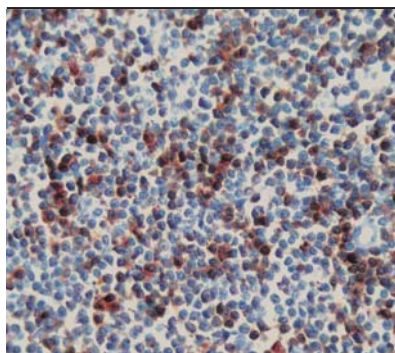
Mésothéliome

**Description**

WT1 est un gène suppresseur de tumeur, localisé sur le chromosome 11p13. La protéine de la tumeur de Wilms (WT1) a été identifiée dans des cellules mésothéliales prolifératives, dans le mésothéliome malin, le cystadénocarcinome ovarien, le gonadoblastome, le néphroblastome et les tumeurs desmoplastiques à petites cellules. Les adénocarcinomes du poumon sont rarement colorés par cet anticorps.

**Références**

1. Ordonez NG, Am J Surg Pathol. 24(4):598-606, 2000.
2. Ordonez NG, Am J Surg Pathol. 22(11):1314-1327, 1998.
3. Charles AK, et al., Histopathology. 30(4):312-4, 1997.
4. Hussong J, et al., Mod Pathol. 10(11):1101-5, 1997.
5. Barnoud R, et al., Am J Surg Pathol. 24(6):830-6, 2000.
6. Lucas DR, et al., Histopathology. 42(3):270-9, 2003.
7. Jimenez RE, et al., Am J Surg Pathol. 26(3):320-7, 2002.
8. Roberts F, et al., J Clin Pathol. 54(10):766-70, 2001.

**ZAP-70****(2F3.2)**

<b>Référence</b>	760-4278 <a href="#">05269415001</a>
<b>Type</b>	Monoclonal de souris
<b>Témoin</b>	Leucémie lymphoïde chronique, amygdale, ganglion lymphatique
<b>Localisation</b>	Cytoplasmique
<b>Quantité</b>	50 tests
<b>Isotype</b>	IgG <sub>2a</sub>

Leucémie lymphoïde chronique

**Description**

ZAP-70 est une protéine de 70 kD à activité tyrosine kinase, que l'on trouve dans les cellules T et les cellules NK. La traduction de cette protéine est contrôlée par l'intermédiaire du gène IgVH. La protéine ZAP-70 s'exprime aussi dans les cellules leucémiques d'environ 25 % des cas de leucémie lymphoïde chronique (LLC). L'expression de ZAP-70 constitue un excellent marqueur de substitution pour faire la distinction entre les sous-types de LLC à Ig mutée (négatifs pour ZAP-70) et à Ig non mutée (positifs pour ZAP-70), et peut identifier des groupes de patients aux trajectoires cliniques divergentes. Le pronostic est moins favorable pour les cas de LLC ZAP-70-positifs à Ig non mutée.

**Références**

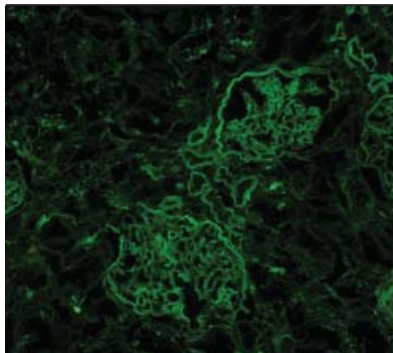
1. Wiestner A, et al., Blood. 101(12):4944-4951, 2003.
2. Crespo M, et al., N Eng J Med. 348(18):1764-1775, 2003.
3. Chen L, et al., Blood. 100(13):4609-14, 2002.

Nous nous sommes associés avec Cell Marque Corporation afin de vous offrir une large sélection d'anticorps primaires pour l'immunohistochimie. Le tableau ci-dessous recense tous les anticorps fabriqués par Cell Marque.

α-1-antichymotrypsine (ACT)	Galectine-3	PD-1
α-1-antitrypsine (AAT)	Gastrine	Perforine
α-fœtoprotéine (AFP)	GCDFP-15	PGP 9.5
Actine, musculaire spécifique	GFAP (protéine acide fibrillaire gliale)	PHH3 (histone-H3 phosphorylée)
Actine, muscle lisse	Glucagon	Phosphatase alcaline placentaire (PLAP)
Adrénocorticotrophine (ACTH)	GLUT-1	PMS2
Annexine A1	Glycophorine A	Pneumocistis jiroveci (carinii)
BCA-225	Glypicane-3	Podoplanine
bcl-6	Granzyme B	Prolactine
Bêta-caténine	GH (hormone de croissance)	PSAP (phosphatase acide prostatique)
BG8, Lewis <sup>x</sup>	HSV-1 (virus de l'herpès simplex type 1)	RCC (carcinome à cellules rénales)
BOB.1	HSV-2 (virus de l'herpès simplex type 2)	Smootheline
C3d	HGAL	Somatostatine
C4d	HHV-8 (Virus de l'herpès humain type 8)	Spectrine
CA 125	HSA (antigène spécifique aux hépatocytes)	SV40
CA 19-9	hCG (gonadotrophine chorionique humaine)	Synaptophysine (MRQ-40)
Calcitonine	hPL (hormone lactogène placentaire humaine)	T-bet
Caldesmone	IgA	TAG-72
Calponine-1	IgD	TdT (désoxynucléotidyl-transférase terminale)
CD1a	IgG	Thyroglobuline
CD2	IgM	TSH (hormone thyroïdo-stimulante)
CD14	Inhibine, alpha	TRAcP (phosphatase acide résistante au tartrate)
CD21 (2G9)	Insuline	Tryptase
CD21 (EP3093)	Ksp-cadhérine	Uroplakine III
CD25	LH (hormone lutéinisante)	Villine
CD31 (JC-70)	Lysozyme	WT1
CD31 (1A10)	Macrophage	ZAP-70
CD34	Mammaglobine	
CD45	MAA (Antigène associé au mélanome) (KBA.62)	
CD45R	MAA (Antigène associé au mélanome) (PNL2)	
CD56 (MRQ-42)	Cellule mésothéliale	
CD57	MLH1 (M1)	
CD61	MSH2	
CD63	MUC2	
CD71	MUC5AC	
CD74	MUC6	
CD-138/syndécan-1	MUM1	
CD163	Myéloperoxydase	
CDX-2	Myogénine	
CEA (CEA31)	Myoglobine	
Collagène de type IV	Myosine, muscle lisse	
COX-2 (Cyclo-oxygénase 2)	Napsine A	
Cytokératine (34bH11)	Neurofilament	
Cytokératine 8 & 18	NGFR (récepteur de facteur de croissance nerveuse)	
Cytokératine 14	NSE (énolase neuro-spécifique)	
Cytokératine 19	Oct-2	
DOG1 (SP31)	Oct-4	
E-cadhérine (EP700Y)	p21 <sup>WAF1</sup>	
Ep-CAM (antigène spécifique aux épithéliums)	p27 <sup>Kip1</sup>	
Facteur VIII (Antigène lié au facteur VIII)	PTH (hormone parathyroïde)	
Facteur XIIIa (AC-1A1)		
Facteur XIIIa (EP3372)		
Fascine		
FSH (hormone folliculo-stimulante)		

Les produits figurant sur cette page sont réservés à un usage en diagnostic *in vitro* (IVD).

# Anticorps immunofluorescents



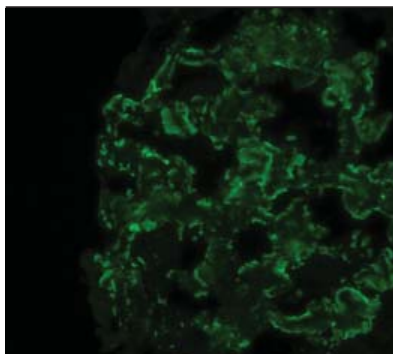
## Albumine, FITC

<b>Référence</b>	760-2699 05268087001
<b>Type</b>	Polyclonal
<b>Témoin</b>	Tissu cutané ou rénal pathologique, congelé
<b>Espèce</b>	Chèvre
<b>Quantité</b>	50 tests

Membrane basale des tubules rénaux

### Description

L'anticorps primaire FITC anti-albumine est un anticorps polyclonal de chèvre marqué à la fluorescéine et spécifiquement dirigé contre l'albumine humaine. Ce réactif doit être utilisé en association avec une batterie d'anticorps pour faciliter l'identification de l'albumine humaine dans le tissu cible (pour le diagnostic de pathologies cutanées ou rénales par exemple). FITC anti-albumine est destiné à un usage en laboratoire pour la coloration qualitative de coupes de tissus congelés sur un automate de coloration des lames VENTANA.



## C1q, FITC

<b>Référence</b>	760-2688 05267994001
<b>Type</b>	Polyclonal
<b>Témoin</b>	Tissu cutané ou rénal pathologique, congelé
<b>Espèce</b>	Chèvre
<b>Quantité</b>	50 tests

Néphropathie lupique

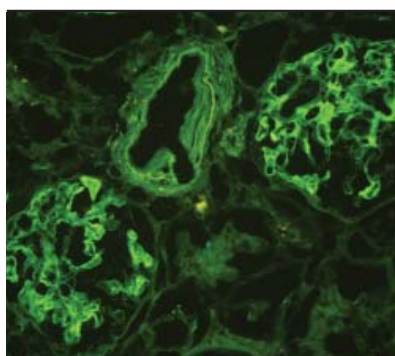
Photo reproduite avec l'aimable autorisation de Dr Lois J. Arend, Ph.D, M.D, département de pathologie et médecine de laboratoire, centre médical de l'Université de Cincinnati.

### Description

L'anticorps primaire FITC anti-C1q (complément C1q) est un anticorps polyclonal de chèvre marqué à la fluorescéine et spécifiquement dirigé contre le C1q humain. Ce réactif doit être utilisé en association avec une batterie d'anticorps pour faciliter l'identification du complément 1q dans le tissu cible de C1q (pour le diagnostic de pathologies cutanées ou rénales par exemple). FITC anti-C1q est destiné à un usage en laboratoire pour la coloration qualitative de coupes de tissus congelés sur un automate de coloration des lames VENTANA.

Référence Ventana en noir, référence Roche en bleu. Les produits figurant sur cette page sont à usage en diagnostic *in vitro* (IVD).



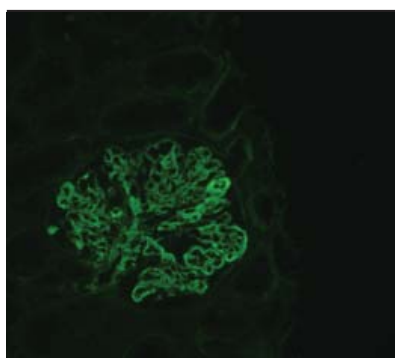
**C3, FITC**

<b>Référence</b>	760-2686 <a href="#">05267978001</a>
<b>Type</b>	Polyclonal
<b>Témoin</b>	Tissu cutané ou rénal congelé issu de cas de Lupus et contenant des dépôts de C3
<b>Espèce</b>	Chèvre
<b>Quantité</b>	50 tests

Néphropathie lupique

**Description**

L'anticorps primaire FITC anti-C3 (complément 3) est un anticorps polyclonal de chèvre marqué à la fluorescéine et spécifiquement dirigé contre le C3 humain. Ce réactif doit être utilisé en association avec une batterie d'anticorps pour faciliter l'identification du complément 3 dans le tissu cible de C3 (pour le diagnostic de pathologies cutanées ou rénales par exemple). FITC anti-C3 est destiné à un usage en laboratoire pour la coloration qualitative de coupes de tissus congelés sur un automate de coloration des lames VENTANA.

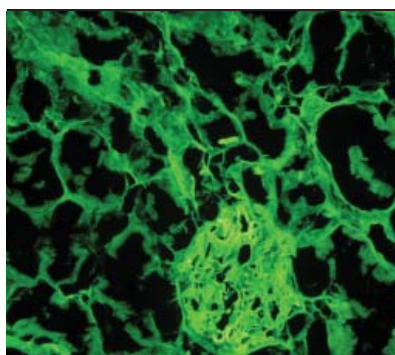
**C4, FITC**

<b>Référence</b>	760-2687 <a href="#">05267986001</a>
<b>Type</b>	Polyclonal
<b>Témoin</b>	Tissu cutané ou rénal pathologique, congelé
<b>Espèce</b>	Mouton
<b>Quantité</b>	50 tests

Glomérule

**Description**

L'anticorps primaire FITC anti-C4 (complément 4) est un anticorps polyclonal de chèvre marqué à la fluorescéine et spécifiquement dirigé contre le C4 humain. Ce réactif doit être utilisé en association avec une batterie d'anticorps pour faciliter l'identification du complément 4 dans le tissu cible de C4 (pour le diagnostic de pathologies cutanées ou rénales par exemple). FITC anti-C4 est destiné à un usage en laboratoire pour la coloration qualitative de coupes de tissus congelés sur un automate de coloration des lames VENTANA.

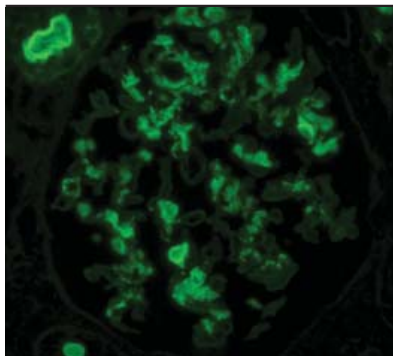
**Fibrinogène, FITC**

<b>Référence</b>	760-2685 <a href="#">05267960001</a>
<b>Type</b>	Polyclonal
<b>Témoin</b>	Placenta ou tissu congelé contenant du sang coagulé
<b>Espèce</b>	Chèvre
<b>Quantité</b>	50 tests

Rein normal

**Description**

L'anticorps primaire FITC anti-fibrinogène est un anticorps polyclonal de chèvre marqué à la fluorescéine et spécifiquement dirigé contre le fibrinogène humain. Ce réactif doit être utilisé en association avec une batterie d'anticorps pour faciliter l'identification du fibrinogène humain dans le tissu cible (pour le diagnostic de pathologies cutanées ou rénales par exemple). FITC anti-fibrinogène est destiné à un usage en laboratoire pour la coloration qualitative de coupes de tissus congelés sur un automate de coloration des lames VENTANA.

**IgA, FITC**

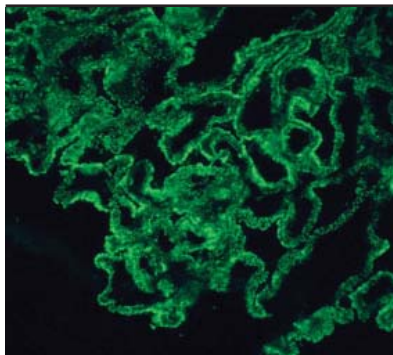
<b>Référence</b>	760-2681 <a href="#">05267927001</a>
<b>Type</b>	Polyclonal
<b>Témoin</b>	Amygdale ou ganglion lymphatique congelé(e)
<b>Espèce</b>	Chèvre
<b>Quantité</b>	50 tests

Néphropathie à IgA

Photo reproduite avec l'aimable autorisation de Dr Lois J. Arend, Ph.D, M.D, département de pathologie et médecine de laboratoire, centre médical de l'Université de Cincinnati.

**Description**

L'anticorps primaire FITC anti-IgA (immunoglobuline A) est un anticorps polyclonal de chèvre marqué à la fluorescéine et spécifiquement dirigé contre l'IgA humaine. Ce réactif doit être utilisé en association avec une batterie d'anticorps pour faciliter l'identification de l'immunoglobuline A dans le tissu cible de l'IgA (pour le diagnostic de pathologies cutanées ou rénales par exemple). FITC anti-IgA est destiné à un usage en laboratoire pour la coloration qualitative de coupes de tissus congelés sur un automate de coloration des lames VENTANA.

**IgG, FITC**

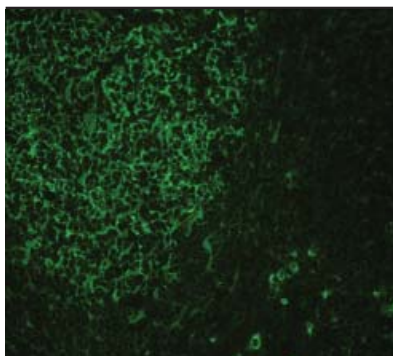
<b>Référence</b>	760-2680 <a href="#">05267919001</a>
<b>Type</b>	Polyclonal
<b>Témoin</b>	Amygdale ou ganglion lymphatique congelé(e) contenant du sang coagulé
<b>Espèce</b>	Chèvre
<b>Quantité</b>	50 tests

Glomérulopathie membraneuse

Photo reproduite avec l'aimable autorisation de Dr Lois J. Arend, Ph.D, M.D, département de pathologie et médecine de laboratoire, centre médical de l'Université de Cincinnati.

**Description**

L'anticorps primaire FITC anti-IgG (immunoglobuline G) est un anticorps polyclonal de chèvre marqué à la fluorescéine et spécifiquement dirigé contre l'IgG humaine. Ce réactif doit être utilisé en association avec une batterie d'anticorps pour faciliter l'identification de l'immunoglobuline G dans le tissu cible de l'IgG (pour le diagnostic de pathologies cutanées ou rénales par exemple). FITC anti-IgG est destiné à un usage en laboratoire pour la coloration qualitative de coupes de tissus congelés sur un automate de coloration des lames VENTANA.

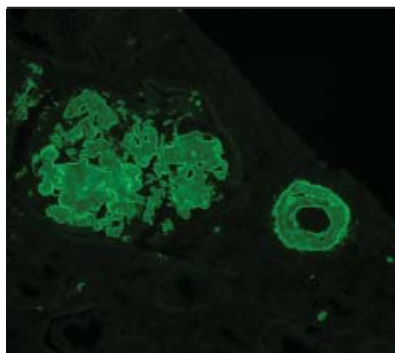
**IgM, FITC**

<b>Référence</b>	760-2682 <a href="#">05267935001</a>
<b>Type</b>	Polyclonal
<b>Témoin</b>	Amygdale ou ganglion lymphatique congelé(e)
<b>Espèce</b>	Chèvre
<b>Quantité</b>	50 tests

Plasmocytes

**Description**

L'anticorps primaire FITC anti-IgM (immunoglobuline M) est un anticorps polyclonal de chèvre marqué à la fluorescéine et spécifiquement dirigé contre l'IgM humaine. Ce réactif doit être utilisé en association avec une batterie d'anticorps pour faciliter l'identification de l'immunoglobuline M dans le tissu cible de l'IgM (pour le diagnostic de pathologies cutanées ou rénales par exemple). FITC anti-IgM est destiné à un usage en laboratoire pour la coloration qualitative de coupes de tissus congelés sur un automate de coloration des lames VENTANA.

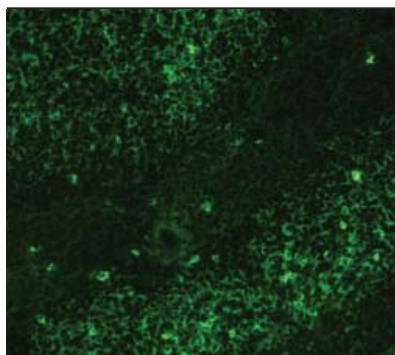


### Kappa, FITC

<b>Référence</b>	760-2683 <a href="#">05267943001</a>
<b>Type</b>	Polyclonal
<b>Témoin</b>	Amygdale ou ganglion lymphatique congelé(e) contenant du sang coagulé
<b>Espèce</b>	Chèvre
<b>Quantité</b>	50 tests

#### Description

L'anticorps primaire FITC anti-kappa est un anticorps polyclonal de chèvre marqué à la fluorescéine et spécifiquement dirigé contre les chaînes légères kappa de l'immunoglobuline humaine. Ce réactif doit être utilisé en association avec une batterie d'anticorps pour faciliter l'identification de kappa dans le tissu cible (pour le diagnostic de pathologies cutanées ou rénales par exemple). FITC anti-kappa est destiné à un usage en laboratoire pour la coloration qualitative de coupes de tissus congelés sur un automate de coloration des lames VENTANA.



### Lambda, FITC

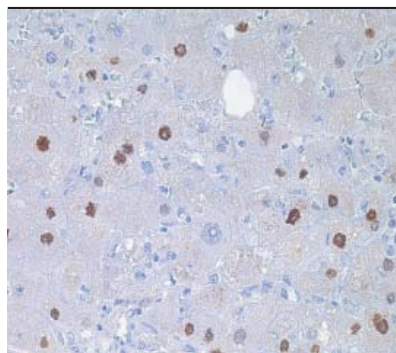
<b>Référence</b>	760-2684 <a href="#">05267951001</a>
<b>Type</b>	Polyclonal
<b>Témoin</b>	Amygdale ou ganglion lymphatique congelé(e)
<b>Espèce</b>	Âne
<b>Quantité</b>	50 tests

Photo reproduite avec l'aimable autorisation de Dr Lois J. Arend, Ph.D, M.D, département de pathologie et médecine de laboratoire, centre médical de l'Université de Cincinnati.

#### Description

L'anticorps primaire FITC anti-lambda est un anticorps polyclonal d'âne marqué à la fluorescéine et spécifiquement dirigé contre les chaînes légères lambda de l'immunoglobuline humaine. Ce réactif doit être utilisé en association avec une batterie d'anticorps pour faciliter l'identification de lambda dans le tissu cible (pour le diagnostic de pathologies cutanées ou rénales par exemple). FITC anti-lambda est destiné à un usage en laboratoire pour la coloration qualitative de coupes de tissus congelés sur un automate de coloration des lames VENTANA.

# Anticorps de recherche

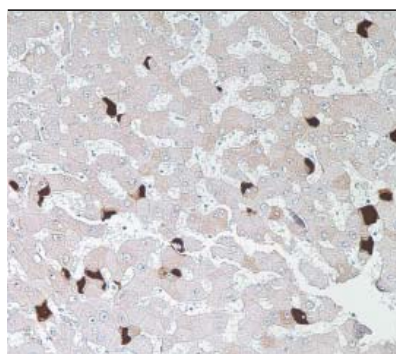


## Antigène nucléocapsidique de l'hépatite B (Polyclonal)

<b>Référence</b>	760-2646 <a href="#">05267579001</a>
<b>Type</b>	Polyclonal de lapin
<b>Statut</b>	RUO (à des fins de recherche uniquement)
<b>Quantité</b>	50 tests

### Description

L'anticorps primaire polyclonal de lapin dirigé contre l'antigène nucléocapsidique de l'hépatite B permet de marquer les noyaux cellulaires infectés par le virus de l'hépatite B, qui est fréquemment à l'origine d'hépatites entraînant une cirrhose. L'hépatite B est la deuxième cause la plus fréquente d'hépatite à transmission parentérale.



## Antigène de surface de l'hépatite B (S1-210)

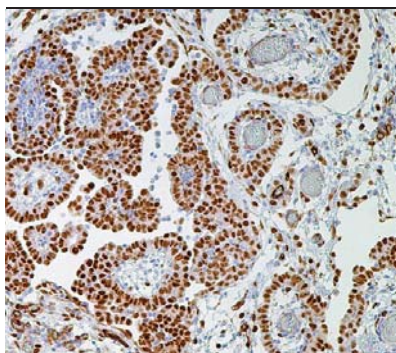
<b>Référence</b>	760-2647 <a href="#">05267587001</a>
<b>Type</b>	Monoclonal de souris
<b>Statut</b>	RUO (à des fins de recherche uniquement)
<b>Quantité</b>	50 tests

### Description

L'anticorps primaire monoclonal de souris dirigé contre l'antigène de surface de l'hépatite B permet de marquer le cytoplasme cellulaire infecté par le virus de l'hépatite B, qui est fréquemment à l'origine d'hépatites entraînant une cirrhose. L'hépatite B est la deuxième cause la plus fréquente d'hépatite à transmission parentérale.

Référence Ventana en noir, référence Roche en bleu. Les produits figurant sur cette page sont réservés à la recherche (Research Use Only, RUO).





### Antigène spécifique de la prostate (PSA)

(ER-PR8)

<b>Référence</b>	760-4271 05269334001
<b>Type</b>	Monoclonal de souris
<b>Statut</b>	RUO (à des fins de recherche uniquement)
<b>Quantité</b>	50 tests

Mésothéliome

#### Description

PSA est un antigène présent dans le tissu prostatique et dans la majorité des carcinomes prostatiques. Cet anticorps reconnaît les néoplasmes prostatiques primaires et métastatiques et, plus rarement, les tumeurs d'origine non prostatique. Ces dernières comprennent les tumeurs du sein et d'une minorité de glandes salivaires. L'antigène est une glycoprotéine de 33-34 kD qui se trouve uniquement dans les cellules épithéliales de la prostate. Une étude immunohistochimique a montré que plus de 95 % des carcinomes prostatiques présentaient une coloration avec anti-PSA8. PSA peut être mis en évidence dans le cytoplasme des cellules acineuses et canalaire du tissu prostatique sain ou cancéreux.

#### Références

1. Gallee MPW, et al., Prostate. 9:33-45, 1986.
2. Nadji M, et al., Cancer. 48(5):1229-1232, 1981.
3. Genega EM, et al., Mod Pathol. 13(11):1186-91, 2000.
4. Green LK, et al., Hum Pathol. 22(3):242-6, 1991.
5. van Krieken JH, et al., Am J Surg Pathol. 17(4):410-4, 1993.

# Sondes moléculaires

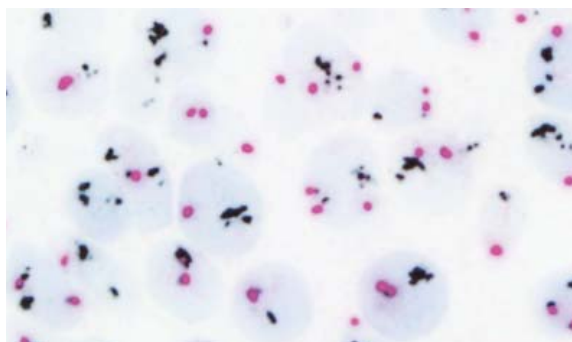
## Test par le cocktail de sondes ADN INFORM HER2 Dual ISH

Produit	Référence	Quantité
Cocktail de sondes ADN INFORM HER2 Dual ISH	800-4422	05899826001
HybReady	780-4409	05917557001
Kit de détection <i>ultraView</i> SISH DNP	800-098	05907136001
Kit de détection <i>ultraView</i> RED ISH DIG	800-505	05907128001
<i>ultraView</i> Silver Wash II	780-003	05446724001
Lames de xénogreffe 3 en 1 HER2 Dual ISH	783-4422	05640300001

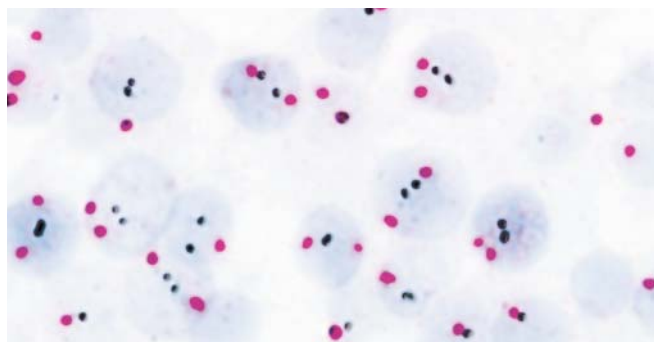
### Description

Le cocktail de sondes ADN INFORM HER2 Dual ISH est conçu pour la détection quantitative, au microscope optique, de l'amplification du gène HER2 via une hybridation *in situ* (HIS) chromogénique à deux couleurs, sur des coupes de tissus humains de cancer du sein et de l'estomac, y compris la jonction œso-gastrique, fixés au formol et inclus en paraffine, après coloration sur des automates de coloration des lames VENTANA. Le cocktail de sondes ADN INFORM HER2 Dual ISH est indiqué comme une aide à l'évaluation des patients pour lesquels on envisage un traitement par Herceptin (trastuzumab).

Le résultat obtenu avec ce produit doit être interprété par un professionnel qualifié, conjointement avec l'examen histologique, les informations cliniques pertinentes et les témoins appropriés.



Amas de HER2 et Chr17 60X, amplifié



HER2 et Chr17 60X, non amplifié

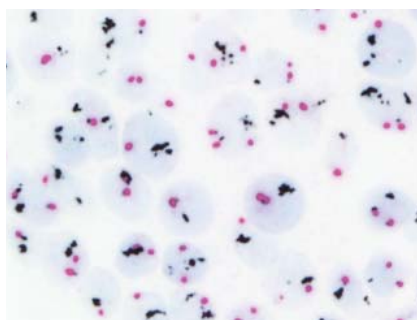
### Références

1. Gschwind A, Fischer OM, Ullrich A. The discovery of receptor tyrosine kinases: target for cancer therapy. *Nat Rev Cancer* 2004;4:361-370.
2. Muleris M, et al. Assignment of v-erb-b2 avian erythroblastic leukemic viral oncogene homolog 2 (ERBB2) to human chromosome band 17121.1 by *in situ* hybridisation. *Cytogenet Cell Genet.* 1997;76:34-5.
3. Coussens L, Yang-Feng TL, Liao YC, Chen E, Gray A, McGrath J, et al. Tyrosine kinase receptor with extensive homology to EGF receptor shares chromosomal location with neu oncogene. *Science.* 1985;230:1132-1139.
4. Slamon DJ, Godolphin W, Jones LA, et al. Studies of the HER-2/neu proto-oncogene in human breast and ovarian cancer. *Science.* 1989;244:707-712.
5. Slamon DJ, Clark GM, Wong SG, et al. Human breast cancer: correlation of relapse and survival with amplification of the HER-2/neu oncogene. *Science* 1987;235:177-182.
6. Narita M, Nakao K, Ogino N, et al. Independent prognostic factors in breast cancer patients. *Am J Surg* 1998;175:73-75.
7. O'Reilly SM, Barnes DM, Camplejohn RS, et al. The relationship between c-erbB-2 expression, S-phase fraction and prognosis in breast cancer. *Br J Cancer.* 1991;63:444-446.
8. Pegram MD, Finn RS, Arzoo K, et al. The effect of HER-2/neu overexpression on chemotherapeutic drug sensitivity in human breast and ovarian cancer cells. *Oncogene.* 1997;15:537-547.
9. Press MF, Pike MC, Chazin VR, et al. HER-2/neu expression in node-negative breast cancer: Direct tissue quantitation by computerised image analysis and association of overexpression with increased risk of recurrent disease. *Cancer Res.* 1993;53:4960-4970.

Référence Ventana en noir, référence Roche en bleu. Les produits figurant sur cette page sont à usage en diagnostic *in vitro* (IVD).

## Test par sonde ADN VENTANA HER2

Produit	Référence		Quantité
Sonde ADN VENTANA HER2	780-4495	05999588001	50 tests
Sonde INFORM Chromosome 17	780-4331	05273412001	50 tests
Anti-DNP de lapin	780-4335	05273447001	100 tests
Kit de détection <i>ultraView</i> SISH	780-001	05271967001	100 tests
Kit de détection <i>ultraView</i> Alkaline Phosphatase (AP) Red ISH	800-504	05278929001	100 tests
<i>ultraView</i> Silver Wash II	780-003	05446724001	2 L
Lames témoins de xénogreffe 3 en 1 HER2	783-4332	05276101001	10 lames
Guide d'interprétation	Veuillez contacter votre représentant commercial		



### Description

La sonde ADN VENTANA HER2 est conçue pour la détection, au microscope optique, de l'amplification du gène HER2 via une hybridation *in situ* chromogénique, à l'argent ou à coloration double, sur des coupes de tissus de cancer du sein et de l'estomac, y compris de la jonction œso-gastrique, fixés au formol et inclus en paraffine, après coloration sur des automates de coloration des lames VENTANA.

La sonde ADN VENTANA HER2 est constituée d'environ 200 000 paires de bases du gène HER2 (également appelé ERBB2 et NEU). Cette sonde marquée au DNP est conçue pour la détection de l'amplification du gène HER2, qui est observée chez un certain nombre de patientes atteintes d'un carcinome du sein invasif.<sup>1</sup> HER2/neu appartient à une famille de quatre récepteurs transmembranaires à activité tyrosine kinase intervenant dans la croissance, la différenciation et la survie des cellules.<sup>2,3</sup> Le gène HER2 est situé sur le chromosome 17 et code la protéine HER2.<sup>3,4</sup> La surexpression de la protéine HER2 ou l'amplification du gène HER2, voire les deux, sont observées dans environ 15 à 25 % des cas de cancer du sein et sont associées à un phénotype tumoral agressif.<sup>5,1</sup>

Il a récemment été démontré que 17 % des cas de tumeur gastrique invasive présentaient une amplification de HER2.<sup>6</sup> De plus, une forte corrélation entre les tests diagnostiques IHC et HIS a été démontrée pour HER2 sur des tissus tumoraux gastriques. Les critères d'évaluation correspondant aux tests IHC et HIS pour HER2 ont été publiés et diffèrent légèrement des critères d'évaluation de la tumeur mammaire.<sup>7</sup> Par conséquent, la connaissance du statut de la protéine et/ou du gène HER2 chez les patients atteints d'un cancer du sein invasif ou d'un cancer de l'estomac permet aux cliniciens de prendre des décisions éclairées et d'améliorer la prise en charge globale de leurs patients cancéreux.

La sonde ADN VENTANA HER2 est indiquée comme une aide à l'évaluation des patients pour lesquels on envisage un traitement par Herceptin (trastuzumab).

La sonde VENTANA Chromosome 17 est conçue pour la détection du statut de ploïdie du chromosome 17 via une hybridation *in situ* chromogénique, à l'argent ou à coloration double, sur des coupes de tissus humains mammaires ou gastriques fixés au formol et inclus en paraffine, après coloration sur un automate de coloration des lames VENTANA.

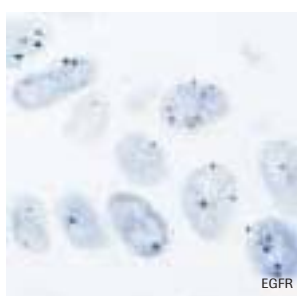
La détermination du statut génomique du chromosome 17 (autrement dit, la ploïdie) influe sur l'évaluation des patients pour lesquels on envisage un traitement par Herceptin (trastuzumab). La sonde VENTANA Chromosome 17 est une sonde oligonucléotidique synthétique de 42 paires de bases conçue pour « marquer » la région centromérique du chromosome 17 humain. Cette sonde oligonucléotidique a également une extrémité 5' riche en AT qui ne peut pas se lier et qui contient des molécules de DNP détectables grâce aux anticorps anti-DNP.

### Références

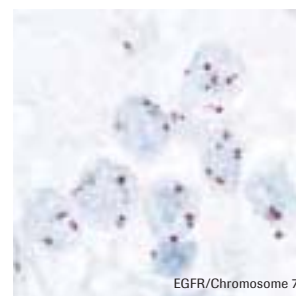
- Slamon DJ, Godolphin W, Jones LA, et al. Studies of the HER-2/ neu proto-oncogene in human breast and ovarian cancer. *Science* 1989;244:707-712.
- Gschwind A, Fischer OM, Ullrich A. The discovery of receptor tyrosine kinases: target for cancer therapy. *Nat Rev Cancer* 2004;4:361-370.
- Muleris M, et al., Assignment of v-erb-b2 avian erythroblastic leukemic viral oncogene homolog 2 (ERBB2) to human chromosome band 17121.1 by *in situ* hybridisation. *Cytogenet Cell Genet* 1997; 76:34-5.
- Coussens L, Yang-Feng TL, Liao YC, Chen E, Gray A, McGrath J, et al. Tyrosine kinase receptor with extensive homology to EGF receptor shares chromosomal location with neu oncogene. *Science* 1985;230:1132-1139.

## Test par sonde INFORM EGFR

Produit	Référence		Quantité
Sonde ADN INFORM EGFR	800-4343	<a href="#">05278902001</a>	25 tests
Sonde INFORM Chromosome 7	800-4342	<a href="#">05278899001</a>	25 tests
Anti-DNP de lapin	780-4335	<a href="#">05273447001</a>	100 tests
Kit de détection <i>ultraView</i> SISH	780-001	<a href="#">05271967001</a>	100 tests
Kit de détection <i>ultraView</i> Alkaline Phosphatase (AP) Red ISH	800-504	<a href="#">05278929001</a>	100 tests
<i>ultraView</i> Silver Wash II	780-003	<a href="#">05446724001</a>	2 L
Lames témoins de xénogreffe EGFR ISH	783-4343	<a href="#">05276110001</a>	10 lames
Guide d'interprétation	Veuillez contacter votre représentant commercial		



Cas 1 : Coloration simple (argent) d'EGFR et du chromosome 7



Cas 2 : Coloration double d'EGFR (argent) et du chromosome 7 (rouge)

### Description

La sonde ADN INFORM EGFR est conçue pour la détection quantitative, au microscope optique, du gain génomique d'EGFR via une hybridation *in situ* chromogénique à l'argent (SISH) sur des échantillons de cancer pulmonaire non à petites cellules (CPNPC) fixés au formol et inclus en paraffine, après coloration sur des automates de coloration des lames VENTANA.

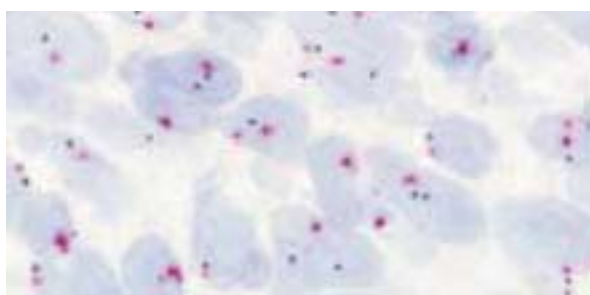
Le statut du gène EGFR est rapporté sous forme d'un nombre absolu de copies ainsi que sous forme d'un rapport du nombre moyen de copies du gène EGFR au nombre moyen de copies du chromosome 7 (Chr7) par cellule.

La visualisation du gène EGFR et du centromère du chromosome 7 est réalisée soit sur deux lames distinctes à l'aide du kit de détection par hybridation *in situ* à l'argent (SISH), soit sur une seule lame, grâce à une technique de coloration double à l'aide du kit de détection SISH pour le gène EGFR et du kit de détection Alkaline Phosphatase (AP) Red ISH pour le centromère du chromosome 7.



## Test par sonde INFORM IGF1R

Produit	Référence		Quantité
Sonde ADN INFORM IGF1R	800-4458	<a href="#">05994934001</a>	25 tests
Sonde INFORM Chromosome 15 DIG	800-4459	<a href="#">05994926001</a>	25 tests
HybReady	780-4409	<a href="#">05917557001</a>	250 doses
Kit de détection <i>ultraView</i> SISH DNP	800-098	<a href="#">05907136001</a>	100 tests
Kit de détection <i>ultraView</i> Red ISH DIG	800-505	<a href="#">05907128001</a>	100 tests
<i>ultraView</i> Silver Wash II	780-003	<a href="#">05446724001</a>	2 L
Lames de xénogreffe IGF1R ISH	783-4458	<a href="#">05994977001</a>	10 lames
Guide d'interprétation	Veuillez contacter votre représentant commercial		



Cas 1 : Non amplifié pour IGF1R  
(IGF1R en argent et Chr15 en rouge, 60X)



Cas 2 : Amplifié pour IGF1R  
(IGF1R en argent et Chr15 en rouge, 60X)

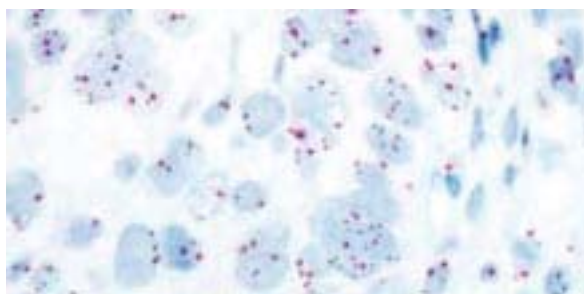
### Description

La sonde INFORM IGF1R DNP est une sonde marquée au dinitrophénol (DNP) conçue pour la détection quantitative, au microscope optique, du gain génomique d'IGF1R via une hybridation *in situ* chromogénique à l'argent (SISH) sur des coupes de tissus humains fixés au formol et inclus en paraffine, après coloration sur des automates de coloration des lames VENTANA. Le gain génomique d'IGF1R est associé au cancer pulmonaire non à petites cellules (CPNPC). Le gène IGF1R est situé sur le chromosome 15 (15q26.3) et code la protéine du récepteur de facteur-1 de croissance de type insuline.

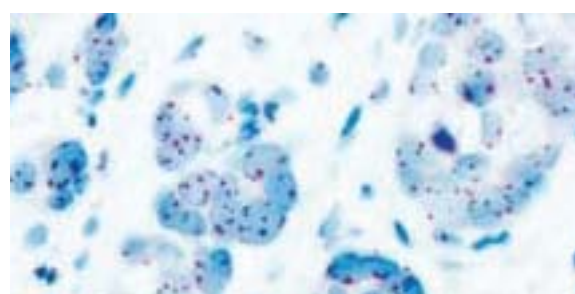
La visualisation du gène IGF1R et du centromère du chromosome 15 est réalisée soit sur des lames distinctes, à l'aide du kit de détection par hybridation *in situ* à l'argent (SISH) DNP, soit sur une seule lame, grâce à une technique de coloration double à l'aide du kit de détection SISH DNP pour le gène IGF1R et du kit de détection Red ISH DIG pour le centromère du chromosome 15.

## Test par sonde INFORM MET

Produit	Référence		Quantité
Sonde ADN INFORM MET	800-4372	<a href="#">05575311001</a>	25 tests
Sonde INFORM Chromosome 7	800-4342	<a href="#">05278899001</a>	25 tests
HybReady	780-4409	<a href="#">05917557001</a>	250 doses
Anti-DNP de lapin	780-4335	<a href="#">05273447001</a>	100 tests
Kit de détection <i>ultraView</i> SISH	780-001	<a href="#">05271967001</a>	100 tests
Kit de détection <i>ultraView</i> Alkaline Phosphatase (AP) Red ISH	800-504	<a href="#">05278929001</a>	100 tests
<i>ultraView</i> Silver Wash II	780-003	<a href="#">05446724001</a>	2 L
Lames témoins de xénotgreffe MET ISH	783-4342	<a href="#">05575303001</a>	10 lames
Guide d'interprétation	Veuillez contacter votre représentant commercial		



Cas 1 : Amplifié pour MET sur échantillon de cancer pulmonaire non à petites cellules (CPNPC)



Cas 2 : Amplifié pour MET sur échantillon de carcinome gastrique

### Description

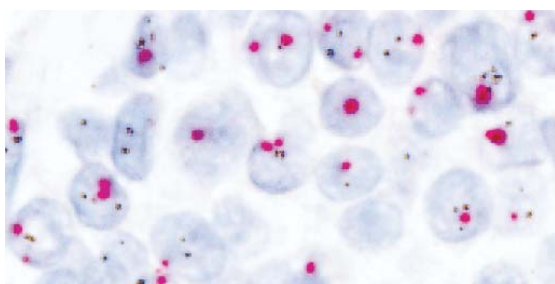
La sonde ADN INFORM MET est une sonde marquée au dinitrophénol (DNP) conçue pour la détection quantitative, au microscope optique, du gain génomique de MET (facteur de transition épithélio-mésenchymateuse) via une hybridation *in situ* chromogénique à l'argent (SISH) sur des coupes de tissus humains fixés au formol et inclus en paraffine, après coloration sur des automates de coloration des lames VENTANA. Le gain génomique de MET est associé au cancer pulmonaire non à petites cellules (CPNPC) et au cancer gastrique. La sonde ADN INFORM MET est conçue pour s'hybrider au locus du gène MET sur le chromosome 7 (q21-q31).

La visualisation du gène MET et du centromère du chromosome 7 est réalisée soit sur des lames distinctes, à l'aide du kit de détection par hybridation *in situ* à l'argent (SISH), soit sur une seule lame, grâce à une technique de coloration double à l'aide du kit de détection SISH pour le gène MET et du kit de détection Red ISH pour le centromère du chromosome 7.

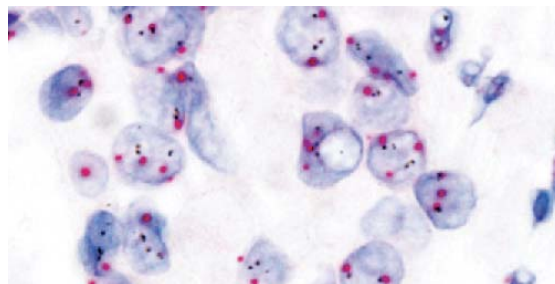
Référence Ventana en noir, référence Roche en bleu. Les produits figurant sur cette page sont à usage en diagnostic *in vitro* (IVD).

## Test par sonde INFORM TOP2A

Produit	Référence		Quantité
Sonde ADN TOP2A INFORM	800-4348	<a href="#">05584957001</a>	25 tests
Sonde INFORM Chromosome 17	780-4331	<a href="#">05273412001</a>	25 tests
HybReady	780-4409	<a href="#">05917557001</a>	250 doses
Anti-DNP de lapin	780-4335	<a href="#">05273447001</a>	100 tests
Kit de détection <i>ultraView</i> SISH	780-001	<a href="#">05271967001</a>	100 tests
Kit de détection <i>ultraView</i> Alkaline Phosphatase (AP) Red ISH	800-504	<a href="#">05278929001</a>	100 tests
<i>ultraView</i> Silver Wash II	780-003	<a href="#">05446724001</a>	2 L
Lames témoins de xénogreffe TOP2A ISH	783-4348	<a href="#">05584965001</a>	10 lames
Guide d'interprétation	Veuillez contacter votre représentant commercial		



Cas 1 : TOP2A normal



Cas 2 : Amplifié pour TOP2A

### Description

La sonde ADN INFORM TOP2A est une sonde marquée au dinitrophénol (DNP) conçue pour la détection, au microscope optique, de l'amplification ou de la délétion de TOP2A via une hybridation *in situ* chromogénique à l'argent (SISH) sur des coupes de tissus humains fixés au formol et inclus en paraffine, après coloration sur des automates de coloration des lames VENTANA. L'amplification et la délétion de TOP2A sont associées au cancer du sein invasif. Le gène TOP2A est situé sur le chromosome 17 (17q21-22) et code la protéine topoisomérase II alpha.

La visualisation du gène TOP2A et du centromère du chromosome 17 est réalisée soit sur des lames distinctes, à l'aide du kit de détection par hybridation *in situ* à l'argent (SISH), soit sur une seule lame, grâce à une technique de coloration double à l'aide du kit de détection SISH pour le gène TOP2A et du kit de détection Red ISH pour le centromère du chromosome 17.

## Sondes HPV : application aux tissus

### Sonde INFORM HPV II Family 6 (B)

<b>Référence</b>	800-2220 05278546001
<b>Quantité</b>	50 tests
<b>Statut</b>	IVD
<b>À utiliser avec</b>	Kit de détection ISH iView Blue Plus Lames de contrôle 3 en 1 HPV

#### Description

INFORM HPV II Family 6 (B) contient un cocktail de sondes génomiques marquées spécifiques du papillomavirus humain (HPV). Ce cocktail de sondes a montré une hybridation positive avec les génotypes à faible risque suivants : 6 et 11. La sonde INFORM HPV II Family 6 (B) doit être utilisée en association avec le kit de détection ISH iVIEW Blue Plus ainsi qu'avec d'autres réactifs pour permettre la coloration de tissus inclus en paraffine sur des automates de coloration des lames de la série VENTANA BenchMark.

### Sonde INFORM HPV III Family 16 (B)

<b>Référence</b>	800-4295 05278856001
<b>Quantité</b>	50 tests
<b>Statut</b>	IVD
<b>À utiliser avec</b>	Kit de détection ISH iView Blue Plus Lames de contrôle 3 en 1 HPV

#### Description

INFORM HPV III Family 16 (B) contient un cocktail de sondes génomiques marquées spécifiques du papillomavirus humain (HPV). Les cibles visées sont les génotypes génitaux fréquents du HPV qui ont été associés au cancer du col de l'utérus. Le cocktail de sondes a montré une hybridation positive avec les génotypes suivants : 16, 18, 31, 33, 35, 45, 51, 52, 56, 58 et 66. La sonde INFORM HPV III Family 16 (B) doit être utilisée en association avec le kit de détection ISH iVIEW Blue Plus ainsi qu'avec d'autres réactifs pour permettre la coloration de tissus inclus en paraffine sur des automates de coloration des lames de la série VENTANA BenchMark.



## Autres sondes moléculaires

### Sonde INFORM EBER

<b>Référence</b>	800-2842 <a href="#">05278660001</a>
<b>Quantité</b>	50 tests
<b>Statut</b>	IVD
<b>À utiliser avec</b>	Kit de détection ISH iView Blue

#### Description

La sonde INFORM EBER est une sonde oligonucléotidique marquée à la fluorescéine conçue pour la détection, au microscope optique et par hybridation *in situ*, des cellules exprimant l'ARN codé par le virus d'Epstein-Barr (EBER) sur des coupes de tissus fixés au formol et inclus en paraffine. La sonde INFORM EBER s'hybride spécifiquement aux transcrits d'ARN EBER. Les résultats positifs facilitent l'identification des cellules infectées par le virus d'Epstein-Barr.

### Sonde INFORM Kappa

<b>Référence</b>	800-2843 <a href="#">05278678001</a>
<b>Quantité</b>	50 tests
<b>Statut</b>	IVD
<b>À utiliser avec</b>	Kit de détection ISH iView Blue

#### Description

La sonde INFORM Kappa est une sonde oligonucléotidique marquée à la fluorescéine conçue pour la détection de l'ARNm cytoplasmique codant pour la chaîne légère kappa de l'immunoglobuline sur des coupes de tissus fixés au formol et inclus en paraffine. La sonde INFORM Kappa est généralement utilisée en association avec la sonde INFORM Lambda spécifique de la chaîne légère lambda de l'immunoglobuline. L'association des deux tests permet de faire la distinction entre les proliférations polyclonales (ARNm positif à kappa, positif à lambda) associées aux proliférations lymphoïdes B et plasmocytaires réactionnelles bénignes d'une part ; et les proliférations monoclonales (soit positif à kappa et négatif à lambda; soit négatif à kappa et positif à lambda) associées aux proliférations lymphoïdes B et plasmocytaires néoplasiques d'autre part.

#### Références

1. Pringle JH, et al., J. Pathol. 162(3): 197-207,1990.
2. Beck RC, et al. Diagn. Mol. Pathol. 12:14-20, 2003.
3. Euscher E, J. Gynecol Pathol. 21: 383-390, 2002.2003-03-31.
4. College of American Pathologists Laboratory Accreditation Program, Anatomic Pathology Checklist, 2001.

### Sonde INFORM Lambda

<b>Référence</b>	800-2844 <a href="#">05278686001</a>
<b>Quantité</b>	50 tests
<b>Statut</b>	IVD
<b>À utiliser avec</b>	Kit de détection ISH iView Blue

#### Description

La sonde INFORM Lambda est une sonde oligonucléotidique marquée à la fluorescéine conçue pour la détection de l'ARNm cytoplasmique codant pour la chaîne légère lambda de l'immunoglobuline sur des coupes de tissus fixés au formol et inclus en paraffine. La sonde INFORM Lambda est généralement utilisée en association avec la sonde INFORM Kappa spécifique de la chaîne légère kappa de l'immunoglobuline. L'association des deux tests permet de faire la distinction entre les proliférations polyclonales (ARNm positif à kappa, positif à lambda) associées aux proliférations lymphoïdes B et plasmocytaires réactionnelles bénignes d'une part ; et les proliférations monoclonales (soit positif à kappa et négatif à lambda; soit négatif à kappa et positif à lambda) associées aux proliférations lymphoïdes B et plasmocytaires néoplasiques d'autre part.

#### Références

1. Pringle JH, et al., J. Pathol. 162(3): 197-207,1990.
2. Beck RC, et al. Diagn. Mol. Pathol. 12:14-20, 2003.
3. Euscher E, J. Gynecol Pathol. 21: 383-390, 2002.2003-03-31.
4. College of American Pathologists Laboratory Accreditation Program, Anatomic Pathology Checklist, 2001.

# Réactifs auxiliaires

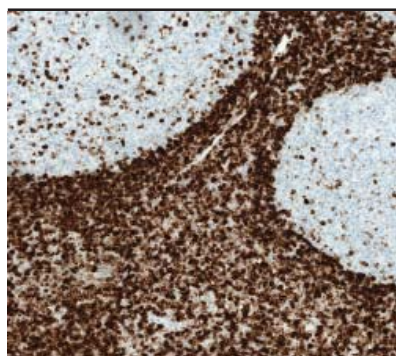
## Amplification

Kit d'amplification		IHC ✓	HIS
Référence	760-080 <a href="#">05266114001</a>		
Quantité	100 tests		

### Description

Peut être utilisé en association avec les kits de détection VENTANA IHC pour augmenter l'intensité du signal des anticorps primaires de souris et de lapin présentant une faible coloration. Les réactifs sont fournis pré-dilués et prêts à l'emploi afin de faciliter leur utilisation sur des automates de coloration des lames de la série VENTANA BenchMark.

Composants : Amplifier A, Amplifier B.



Kit d'amplification OptiView		IHC ✓	HIS
Référence	760-099 <a href="#">06396518001</a>		
Quantité	50 tests		

### Description

Le kit d'amplification OptiView ne peut être utilisé qu'avec le kit OptiView IHC DAB et permet d'augmenter considérablement la sensibilité sans réduire la spécificité. Le kit d'amplification OptiView repose sur le système d'haptènes non endogènes breveté utilisé dans le kit de base OptiView. Le logiciel exclusif d'OptiView offre un contrôle accru sur les composants du kit d'amplification OptiView en permettant d'optimiser l'intensité tout en réduisant le temps d'incubation des anticorps primaires.

Composants : OptiView Amplifier, OptiView Amplification H2O2, OptiView Amplification Multimer.

## Agents bloquants

Kit de blocage de la biotine endogène		IHC ✓	HIS
Référence	760-050 <a href="#">05266092001</a>		
Quantité	250 tests		

### Description

Le kit de blocage de la biotine endogène peut être utilisé pour réduire la coloration non spécifique due à la biotine endogène présente dans les cellules et les tissus. L'agent bloquant A (Blocker A) se lie spécifiquement à la biotine endogène présente dans le tissu tandis que l'agent bloquant B (Blocker B) sature les sites de liaison restants sur l'agent bloquant A, réduisant ainsi la coloration non spécifique. À utiliser sur les automates de coloration des lames de la série VENTANA BenchMark.

Composants : Blocker A, Blocker B.

Référence Ventana en noir, référence Roche en bleu. Les produits figurant sur cette page sont réservés à un usage en diagnostic *in vitro* (IVD).

ISH Block		IHC	HIS ✓
Référence	780-4461 <a href="#">05994918001</a>		
Quantité	100 tests		

**Description**

ISH Block est utilisé pour réduire l'hybridation non spécifique de sondes marquées par cassure-déplacement « nick translation » lors du processus d'hybridation *in situ*. Le réactif ISH Block peut être utilisé en association avec les sondes Ventana ISH et d'autres réactifs auxiliaires pour colorer les lames - sur des automates - de la série VENTANA BenchMark. Distributeur unique prêt à l'emploi.

Réactif de blocage NeuVision		IHC ✓	HIS
Référence	760-1028 <a href="#">05266220001</a>		
Quantité	250 tests		

**Description**

Solution de blocage de protéines prête à l'emploi pouvant être utilisée avec le kit de coloration nucléaire NeuVision. Elle est destinée à être utilisée pour la préparation des échantillons permettant l'interprétation par analyse d'image. Ce réactif peut être utilisé pour réduire la coloration non spécifique. À utiliser sur les automates de coloration des lames de la série VENTANA BenchMark. Distributeur unique prêt à l'emploi.

## Solutions tampons

Cell Conditioning 1 (Prétraitement des cellules CC1)		IHC ✓	HIS ✓
Référence	950-124 <a href="#">05279801001</a>		
Quantité	Bouteille de 2 L		
Format	Prêt à l'emploi		

**Description**

Solution pré-diluée et optimisée pour une utilisation sur les automates de coloration des lames VENTANA BenchMark GX et VENTANA BenchMark XT, comme étape de prétraitement pour le traitement des coupes de tissus à analyser par réaction immunohistochimique ou d'hybridation *in situ*. CC1 est un tampon à base de Tris, d'un pH légèrement basique, qui, à des températures élevées, a la propriété de casser les liaisons covalentes formées par le formol dans les tissus. La suppression de ces liaisons permet la renaturation des molécules de protéines et augmente l'accessibilité des anticorps. Ces modifications entraînent souvent un gain considérable de liaisons d'anticorps et améliorent les rapports du signal au bruit de fond.

ULTRA Cell Conditioning 1 (Prétraitement des cellules ULTRA CC1)		IHC ✓	HIS ✓
Référence	950-224 <a href="#">05424569001</a>		
Quantité	Bouteille de 2 L		
Format	Prêt à l'emploi		

**Description**

Solution pré-diluée et optimisée pour une utilisation sur les automates de coloration des lames VENTANA BenchMark ULTRA comme étape de prétraitement pour le traitement des coupes de tissus à analyser par réaction immunohistochimique ou d'hybridation *in situ*. ULTRA CC1 est un tampon à base de Tris, d'un pH légèrement basique, qui, à des températures élevées, a la propriété d'hydrolyser les liaisons covalentes formées par le formol dans les tissus. La suppression de ces liaisons permet la renaturation des molécules de protéines et augmente l'accessibilité des anticorps. Ces modifications entraînent souvent un gain considérable de liaisons d'anticorps et améliorent les rapports du signal au bruit de fond.

Cell Conditioning 2 (Prétraitement des cellules CC2)		IHC ✓	HIS ✓
Référence	950-123 <a href="#">05279798001</a>		
Quantité	Bouteille de 1 L		
Format	Prêt à l'emploi		

**Description**

Solution pré-diluée et optimisée pour une utilisation sur les automates de coloration des lames VENTANA BenchMark GX et VENTANA BenchMark XT, comme étape de prétraitement pour le traitement des coupes de tissus à analyser par réaction immunohistochimique ou d'hybridation *in situ*. CC2 est un tampon citrate, d'un pH légèrement acide, qui, à des températures élevées, a la propriété de casser les liaisons covalentes formées par le formol dans les tissus. La suppression de ces liaisons permet la renaturation des molécules de protéines et augmente l'accessibilité des anticorps. Ces modifications entraînent souvent un gain considérable de liaisons d'anticorps et améliorent les rapports du signal au bruit de fond.

ULTRA Cell Conditioning 2 (Prétraitement des cellules ULTRA CC2)		IHC ✓	HIS ✓
Référence	950-223 05424542001		
Quantité	Bouteille de 1 L		
Format	Prêt à l'emploi		

**Description**

Solution prédilué et optimisée pour une utilisation sur les automates de coloration des lames VENTANA BenchMark ULTRA, comme étape de prétraitement pour le traitement des coupes de tissus à analyser par réaction immunohistochimique ou d'hybridation *in situ*. ULTRA CC2 est un tampon citrate, d'un pH légèrement acide, qui, à des températures élevées, a la propriété d'hydrolyser les liaisons covalentes formées par le formol et le formaldéhyde dans les tissus. La suppression de ces liaisons permet la renaturation des molécules de protéines et augmente l'accessibilité des anticorps. Ces modifications entraînent souvent un gain considérable de liaisons d'anticorps et améliorent les rapports du signal au bruit de fond.

EZ Prep (10X)		IHC ✓	HIS ✓
Référence	950-102 05279771001		
Quantité	Bouteille de 2 L		
Format	Concentré		

**Description**

Solution utilisée pour enlever la paraffine des coupes de tissus et pour diluer le SSC 2X lors des lavages stringents pendant les réactions d'hybridation *in situ* (HIS) réalisées sur les automates de coloration des lames de la série VENTANA BenchMark.

Liquid Coverslip (haute température)		IHC ✓	HIS ✓
Référence	650-010 05264839001		
Quantité	Bouteille de 2 L		
Format	Prêt à l'emploi		

**Description**

Solution utilisée comme couche protectrice entre les réactifs aqueux et l'air et optimisée pour une utilisation sur les automates de coloration des lames VENTANA BenchMark GX et VENTANA BenchMark XT. Cette couche protectrice empêche l'évaporation et permet ainsi d'obtenir un milieu aqueux stable pour réaliser des réactions d'immunohistochimie ou d'hybridation *in situ*.

ULTRA LCS		IHC ✓	HIS ✓
Référence	650-210 05424534001		
Quantité	Bouteille de 2 L		
Format	Prêt à l'emploi		

**Description**

Solution utilisée comme couche protectrice entre les réactifs aqueux et l'air et optimisée pour une utilisation sur l'automate de coloration des lames VENTANA BenchMark ULTRA. Cette couche protectrice empêche l'évaporation et permet ainsi d'obtenir un milieu aqueux stable pour réaliser des réactions d'immunohistochimie ou d'hybridation *in situ*.

Tampon de réaction (10X)		IHC ✓	HIS ✓
Référence	950-300 05353955001		
Quantité	Bouteille de 2 L		
Format	Concentré		

**Description**

Solution tampon utilisée pour rincer les lames entre les différentes étapes de coloration afin d'obtenir un milieu aqueux stable pour réaliser des réactions d'immunohistochimie et d'hybridation *in situ* (HIS) sur les automates de coloration des lames de la série VENTANA BenchMark.



SSC (10X)		IHC ✓	HIS ✓
Référence	950-110 05353947001		
Quantité	Bouteille de 2 L		
Format	Concentré		

**Description**

Tampon à base de citrate de sodium et de chlorure de sodium utilisé pour les lavages stringents et le rinçage des lames entre les différentes étapes de coloration. Il permet d'obtenir un milieu aqueux stable pour réaliser des réactions d'hybridation *in situ* sur les automates de coloration des lames de la série VENTANA BenchMark. La solution SSC (10X) doit être utilisée à une concentration finale de travail 2X pour les réactions d'hybridation. L'automate de coloration des lames VENTANA dilue encore davantage la solution SSC 2X de manière automatique afin d'obtenir la concentration nécessaire pour les lavages stringents.

ultraView Silver Wash II		IHC ✓	HIS ✓
Référence	780-003 05446724001		
Quantité	Bouteille de 2 L		
Format	Prêt à l'emploi		

**Description**

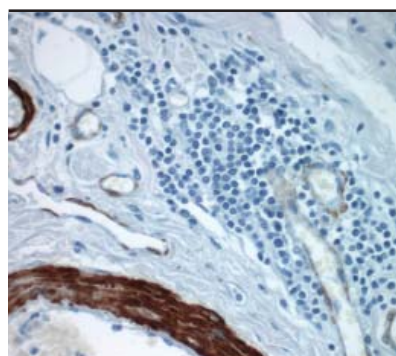
La solution *ultraView Silver Wash II* est utilisée pour rincer les lames entre les différentes étapes de coloration afin d'obtenir un milieu aqueux stable pour réaliser une réaction chromogène d'hybridation *in situ* sur les automates de coloration des lames de la série VENTANA BenchMark à l'aide du kit de détection *ultraView SISH*.

## Contre-colorants

Bluing Reagent		IHC ✓	HIS
Référence	760-2037 05266769001		
Quantité	250 tests		

**Description**

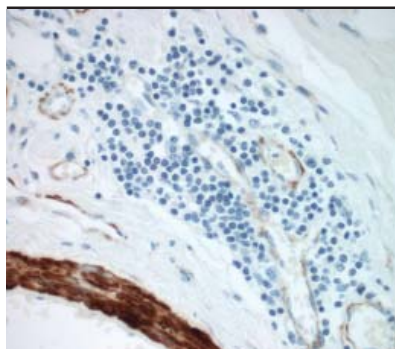
Solution prête à l'emploi qui peut être appliquée après l'hématoxyline pour changer la couleur de l'hématoxyline en bleu. À utiliser avec les automates de coloration des lames de la série VENTANA BenchMark. Un seul applicateur, facile à utiliser.



Hématoxyline		IHC ✓	HIS ✓
Référence	760-2021 05266726001		
Quantité	250 tests		

**Description**

Hématoxyline modifiée selon Gill destinée à la coloration des noyaux cellulaires sur des lames contenant des cellules issues de tissu congelé, fixé au formol et inclus en paraffine, ou de préparations cytologiques. À utiliser sur les automates de coloration des lames de la série VENTANA BenchMark. Distributeur unique prêt à l'emploi.

	<b>Hématoxyline II</b>		<b>IHC</b> ✓	<b>HIS</b> ✓
	<b>Référence</b>	790-2208 05277965001		
	<b>Quantité</b>	250 tests		

**Description**

Hématoxyline modifiée selon Mayer destinée à la coloration des noyaux cellulaires sur des lames contenant des cellules issues de tissu congelé, fixé au formol et inclus en paraffine, ou de préparations cytologiques. À utiliser sur les automates de coloration des lames de la série VENTANA BenchMark. Distributeur unique prêt à l'emploi.

<b>Kit de coloration nucléaire NeuVision</b>		<b>IHC</b> ✓	<b>HIS</b>
<b>Référence</b>	760-085 05266149001		
<b>Quantité</b>	250 tests		

**Description**

À utiliser avec des applications d'imagerie. Les réactifs sont fournis pré-dilués et prêts à l'emploi afin de faciliter leur utilisation. À utiliser sur les automates de coloration des lames de la série VENTANA BenchMark.

Composants : NeuVision Nuclear Stain, NeuVision Bluing Reagent, NeuVision Nuclear Diluent.

<b>Red Counterstain II</b>		<b>IHC</b>	<b>HIS</b> ✓
<b>Référence</b>	780-2218 05272017001		
<b>Quantité</b>	100 tests		

**Description**

Le contre-colorant RedCounterstainII permet d'obtenir une coloration à fond rose dans les noyaux et le cytoplasme de coupes de tissus fixés au formol et inclus en paraffine, afin de faciliter l'observation au microscope optique à fond clair des réactions d'hybridation *in situ* chromogénique. À utiliser sur les automates de coloration des lames de la série VENTANA BenchMark. Distributeur unique prêt à l'emploi.

## Diluants

<b>Diluant d'anticorps</b>		<b>IHC</b> ✓	<b>ISH</b> ✓
<b>Référence</b>	251-018 05261899001		
<b>Quantité</b>	Bouteille de 100 ml		

**Description**

Solution tampon protéique utilisée pour diluer les anticorps de lapin et de souris.

<b>Solution HybReady</b>		<b>IHC</b>	<b>HIS</b> ✓
<b>Référence</b>	780-4409 05917557001		
<b>Quantité</b>	250 doses		

**Description**

La solution HybReady est un tampon à base de formamide utilisé pour diluer les sondes et créer des conditions d'hybridation adéquates sur les lames pour réaliser des tests d'hybridation *in situ* (HIS) sur les automates de coloration des lames de la série VENTANA BenchMark. Distributeur unique prêt à l'emploi.

## Enzymes

Protéase 1		IHC ✓	HIS
Référence	760-2018 <a href="#">05266688001</a>		
Quantité	250 tests		

### Description

Endopeptidase (protéase alcaline) prête à l'emploi et appartenant à la famille des protéases à sérine, qui permet de couper les protéines présentes dans les coupes de tissus, permettant ainsi aux anticorps primaires de reconnaître le ou les épitope(s) cible(s) et de s'y lier. Ce réactif est destiné à la digestion enzymatique des coupes de tissus. Avec une activité protéase alcaline de 0,5 unité/ml, le réactif Protéase 1 est le prétraitement enzymatique le plus puissant actuellement disponible pour l'IHC. Distributeur unique prêt à l'emploi.

Protéase 2		IHC ✓	HIS
Référence	760-2019 <a href="#">05266696001</a>		
Quantité	250 tests		

### Description

Endopeptidase (protéase alcaline) prête à l'emploi et appartenant à la famille des protéases à sérine, qui permet de couper les protéines présentes dans les coupes de tissus, permettant ainsi aux anticorps primaires de reconnaître le ou les épitope(s) cible(s) et de s'y lier. Ce réactif est destiné à la digestion enzymatique des coupes de tissus. Avec une activité protéase alcaline de 0,1 unité/ml, le réactif Protéase 2 est le prétraitement enzymatique de puissance intermédiaire actuellement disponible pour l'IHC. Distributeur unique prêt à l'emploi.

Protéase 3		IHC ✓	HIS
Référence	760-2020 <a href="#">05266718001</a>		
Quantité	250 tests		

### Description

Endopeptidase (protéase alcaline) prête à l'emploi et appartenant à la famille des protéases à sérine, qui permet de couper les protéines présentes dans les coupes de tissus, permettant ainsi aux anticorps primaires de reconnaître le ou les épitope(s) cible(s) et de s'y lier. Ce réactif est destiné à la digestion enzymatique des coupes de tissus fixés au formol et inclus en paraffine ou de préparations de cellules entières. Avec une activité protéase alcaline de 0,5 unité/ml, le réactif Protéase 3 est le prétraitement enzymatique le plus léger actuellement disponible pour l'IHC. Distributeur unique prêt à l'emploi.

ISH Protéase 1		IHC	HIS ✓
Référence	780-4147 <a href="#">05273315001</a>		
Quantité	200 tests		

### Description

Endopeptidase (protéase alcaline) de la famille des protéases à sérine utilisée dans le processus d'hybridation *in situ* afin de perméabiliser les membranes cellulaires et d'éliminer la protéine qui entoure les séquences d'intérêt de l'ADN ou ARN cible. Ce réactif est destiné à la digestion enzymatique de coupes de tissus fixés au formol et inclus en paraffine ou de préparations de cellules entières. Avec une activité protéase alcaline de 0,5 unité/ml, le réactif Protéase 1 HIS est le prétraitement enzymatique le plus puissant actuellement disponible pour l'HIS. Distributeur unique prêt à l'emploi.

ISH Protéase 2		IHC	HIS ✓
Référence	780-4148 <a href="#">05273323001</a>		
Quantité	200 tests		

### Description

Endopeptidase (protéase alcaline) de la famille des protéases à sérine utilisée dans le processus d'hybridation *in situ* afin de perméabiliser les membranes cellulaires et d'éliminer la protéine qui entoure les séquences d'intérêt de l'ADN ou ARN cible. Ce réactif est destiné à la digestion enzymatique de coupes de tissus fixés au formol et inclus en paraffine ou de préparations de cellules entières. Avec une activité protéase alcaline de 0,1 unité/ml, le réactif Protéase 2 HIS est le prétraitement enzymatique de puissance intermédiaire actuellement disponible pour l'HIS. Distributeur unique prêt à l'emploi.

ISH Protéase 3		IHC	HIS ✓
Référence	780-4149 <a href="#">05273331001</a>		
Quantité	200 tests		

### Description

Endopeptidase (protéase alcaline) de la famille des protéases à sérine utilisée dans le processus d'hybridation *in situ* afin de perméabiliser les membranes cellulaires et d'éliminer la protéine qui entoure les séquences d'intérêt de l'ADN ou ARN cible. Ce réactif est destiné à la digestion enzymatique de coupes de tissus fixés au formol et inclus en paraffine ou de préparations de cellules entières. Avec une activité protéase alcaline de 0,02 unité/ml, le réactif Protéase 3 HIS est le prétraitement enzymatique le plus léger actuellement disponible pour l'HIS. Distributeur unique prêt à l'emploi.

Référence Ventana en noir, référence Roche en bleu. Les produits figurant sur cette page sont à usage en diagnostic *in vitro* (IVD).

## Réactifs témoins négatifs

ISH Negative Control		IHC	HIS ✓
Référence	780-2902 <a href="#">05272165001</a>		
Quantité	50 tests		

### Description

Le produit ISH Negative Control doit être utilisé pour l'évaluation du bruit de fond dans l'échantillon à étudier. Distributeur unique prêt à l'emploi.

Sonde Negative Control		IHC	HIS ✓
Référence	800-2847 <a href="#">05278716001</a>		
Quantité	50 tests		

### Description

La sonde Negative Control est constituée d'une séquence de l'extrémité utilisée dans nos sondes oligonucléotidiques et peut être utilisée comme témoin négatif pour l'évaluation du bruit de fond dans l'échantillon à étudier. Distributeur unique prêt à l'emploi.

## Réactifs témoins positifs

Sonde Alu Positive Control		IHC	HIS ✓
Référence	800-2845 <a href="#">05278694001</a>		
Quantité	50 tests		

### Description

Sonde oligonucléotidique marquée à la fluorescéine et ayant une affinité avec les séquences Alu humaines. Distributeur unique prêt à l'emploi.

Sonde Alu Positive Control II		IHC	HIS ✓
Référence	780-2221 <a href="#">05272041001</a>		
Quantité	50 tests		

### Description

Sondes marquées au DNP et utilisées pour déterminer le degré de préservation de l'ADN lors du recueil, du traitement, de la fixation et de la manipulation des échantillons. Distributeur unique prêt à l'emploi.

Sonde RNA Positive Control		IHC	HIS ✓
Référence	800-2846 <a href="#">05278708001</a>		
Quantité	50 tests		

### Description

Sonde oligonucléotidique marquée à la fluorescéine et ayant une affinité avec l'extrémité poly(A) de l'ARNm. Distributeur unique prêt à l'emploi.

Référence Ventana en noir, référence Roche en bleu. Les produits figurant sur cette page sont à usage en diagnostic *in vitro* (IVD).



## Lames témoins

### Lames témoins 4 en 1 PATHWAY HER-2

Référence 781-2991 05273510001

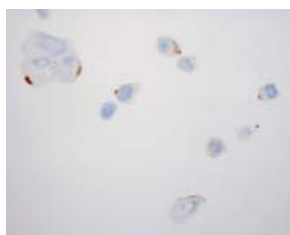
Quantité 10 lames

#### Description

Les lames témoins 4 en 1 PATHWAY HER-2 contiennent des lignées de cellules mammaires humaines cultivées, fixées au formol et incluses en paraffine. Elles sont destinées à être utilisées comme produits dosés de contrôle semi-quantitatif de la qualité, en association avec l'anticorps primaire PATHWAY HER-2 (4B5), pour la surveillance de la performance du processus de coloration immunohistochimique de c-erbB-2/HER-2 sur les automates de coloration des lames VENTANA BenchMark. L'interprétation clinique de toute coloration, ou de l'absence de coloration, doit être appuyée par des études morphologiques et une évaluation des témoins appropriés. L'évaluation doit être réalisée par un pathologiste qualifié en fonction des antécédents cliniques du patient et des autres tests diagnostiques.



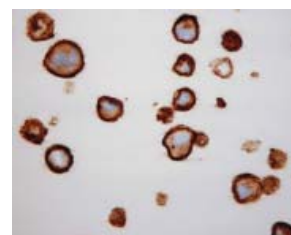
(300x)  
La lignée cellulaire témoin de niveau 0 (MCF-7) est complètement négative.



(300x)  
La lignée cellulaire témoin de niveau 1+ (T-47D) présente une coloration de niveau d'intensité 1+.



(300x)  
La lignée cellulaire témoin de niveau 2+ (MDA-MB-453) présente une coloration de niveau d'intensité 2+ et des anneaux membranaires complets sont observés dans plus de 10 % des cellules.



(300x)  
La lignée cellulaire témoin de niveau 3+ (BT-474) est une lignée cellulaire à forte expression qui présente une coloration de niveau d'intensité 3+ dans la quasi-totalité des cellules.

### Lames témoins positives à EBER

Référence 801-2842 05278953001

Quantité 10 lames

#### Description

La boîte de lames témoins positives à EBER (ARN codé par le virus d'Epstein-Barr) comprend 10 lames à utiliser comme témoins pour la détermination qualitative de la fonctionnalité de la technique d'hybridation *in situ* (HIS) sur les automates de coloration des lames de la série VENTANA BenchMark. Chaque lame contient deux culots cellulaires, l'un négatif et l'autre positif au transcrit précoce d'ARN de l'infection par l'EBV, fixés au formol neutre tamponné (NBF) à 10 %. La réaction de coloration est détectée au microscope optique.

### Lames témoins de xénogreffe EGFR ISH

Référence 783-4343 05276110001

Quantité 10 lames

#### Description

Les lames témoins de xénogreffe EGFR ISH sont destinées à être utilisées comme élément de contrôle semi-quantitatif de la qualité, en association avec la sonde ADN INFORM® EGFR et la sonde INFORM® Chromosome 7, pour la surveillance de la performance des sondes utilisées pour l'hybridation *in situ* (HIS). La réaction de coloration est détectée au microscope optique. Les tumeurs (xénogreffes) sont générées chez des souris SCID à partir de deux lignées cellulaires de carcinomes humains ayant un statut différent du gène EGFR. Les deux xénogreffes sont incluses en paraffine, coupées en lamelles et placées sur des lames chargées.

### Lames de xénogreffe 3 en 1 HER2 DUAL ISH

Référence 783-4422 05640300001

Quantité 10 lames

#### Description

Les lames de xénogreffe 3 en 1 HER2 Dual ISH sont destinées à être utilisées lors de l'installation initiale du test et/ou pour des opérations de dépannage, en association avec le cocktail de sondes ADN INFORM HER2 Dual ISH, sur les automates de coloration des lames de la série VENTANA BenchMark.

Référence Ventana en noir, référence Roche en bleu. Les produits figurant sur cette page sont à usage en diagnostic *in vitro* (IVD).

<b>Lames témoins de xénogreffe 3 en 1 HER2</b>	<b>IHC</b>	<b>HIS ✓</b>
--	------------	--------------

<b>Référence</b>	783-4332 05276101001
------------------	----------------------

<b>Quantité</b>	10 lames
-----------------	----------

**Description**

Les lames témoins de xénogreffe 3 en 1 HER2 sont destinées à être utilisées comme éléments de contrôle semi-quantitatif de la qualité, en association avec la sonde ADN INFORM HER2 et la sonde INFORM du Chromosome 17, pour la surveillance de la performance des sondes utilisées pour l'hybridation *in situ* (HIS). La réaction de coloration est détectée au microscope optique. Les tumeurs (xénogreffes) sont générées chez des souris SCID à partir de trois lignées cellulaires différentes de carcinomes humains, ayant chacune un statut différent du gène HER2 représentant la plage dynamique. Les trois xénogreffes sont incluses en paraffine, coupées en lamelles et placées sur des lames chargées.

<b>Lames de contrôle 3 en 1 HPV</b>	<b>IHC</b>	<b>HIS ✓</b>
-------------------------------------	------------	--------------

<b>Référence</b>	783-2219 05273587001
------------------	----------------------

<b>Quantité</b>	10 lames
-----------------	----------

**Description**

Les lames de contrôle du système 3 en 1 HPV sont utilisées pour s'assurer de la performance des tests automatisés de coloration HPV par hybridation *in situ*. Des témoins établis, tels que les lames de contrôle 3 en 1 HPV, doivent être traités et analysés avec tous les échantillons cliniques. La coupe CaSki est une lignée cellulaire qui contiendrait environ 200 à 400 copies du papillomavirus humain (HPV) de type 16 par cellule et la coupe HeLa est une lignée cellulaire qui contiendrait environ 10 à 50 copies du HPV de type 18 par cellule. La coupe négative C-33A est une lignée cellulaire correspondant à un carcinome cervical humain négatif au HPV.

<b>Lames de contrôle HPV Family 6 (B)</b>	<b>IHC</b>	<b>HIS ✓</b>
---	------------	--------------

<b>Référence</b>	782-2839 05273528001
------------------	----------------------

<b>Quantité</b>	10 lames
-----------------	----------

**Description**

Chaque boîte de lames de contrôle HPV Family 6 (B) contient une coupe de tissu de condylome fixé au formol et inclus en paraffine. Les lames de contrôle HPV Family 6 (B) sont conçues pour permettre à l'utilisateur de vérifier la fonctionnalité de la technique HIS sur les automates de coloration des lames de la série VENTANA BenchMark.

<b>Lames de xénogreffe IGF1R ISH</b>	<b>IHC</b>	<b>HIS ✓</b>
--------------------------------------	------------	--------------

<b>Référence</b>	783-4458 05994977001
------------------	----------------------

<b>Quantité</b>	10 lames
-----------------	----------

**Description**

Les lames de xénogreffe IGF1R ISH sont destinées à être utilisées lors de l'installation initiale du test et/ou pour des opérations de dépannage, en association avec la sonde INFORM IGF1R DNP et la sonde INFORM Chromosome 15 DIG, sur les automates de coloration des lames de la série VENTANA BenchMark.

<b>Lames témoins positives à kappa</b>	<b>IHC</b>	<b>HIS ✓</b>
--	------------	--------------

<b>Référence</b>	801-2843 05278961001
------------------	----------------------

<b>Quantité</b>	10 lames
-----------------	----------

**Description**

La boîte de lames d'échantillons positifs à kappa comprend 10 lames à utiliser comme témoins pour la détermination qualitative de la fonctionnalité de la technique par hybridation *in situ* (HIS) sur les automates de coloration des lames de la série VENTANA BenchMark. Chaque lame contient une coupe de tissu d'amygdale humaine saine fixé au formol neutre tamponné (NBF) à 10 % et inclus en paraffine. Les lames sont conçues pour permettre à l'utilisateur de confirmer la détection de l'ARN messager (ARNm) de la chaîne légère kappa de l'immunoglobuline dans les plasmocytes. La réaction de coloration est détectée au microscope optique.

Référence Ventana en noir, référence Roche en bleu. Les produits figurant sur cette page sont à usage en diagnostic *in vitro* (IVD).

<b>Lames témoins positives à lambda</b>	<b>IHC</b>	<b>HIS ✓</b>
---	------------	--------------

<b>Référence</b>	801-2844 05278970001
------------------	----------------------

<b>Quantité</b>	10 lames
-----------------	----------

**Description**

La boîte de lames d'échantillons positifs à lambda comprend 10 lames à utiliser comme témoins pour la détermination qualitative de la fonctionnalité de la technique par hybridation *in situ* (HIS) sur les automates de coloration des lames de la série VENTANA BenchMark. Chaque lame contient une coupe de tissu d'amygdale humaine saine fixé au formol neutre tamponné (NBF) à 10 % et inclus en paraffine. Les lames sont conçues pour permettre à l'utilisateur de confirmer la détection de l'ARN messenger (ARNm) de la chaîne légère lambda de l'immunoglobuline dans les plasmocytes. La réaction de coloration est détectée au microscope optique.

<b>Lames témoins de xénogreffe MET ISH</b>	<b>IHC</b>	<b>HIS ✓</b>
--	------------	--------------

<b>Référence</b>	783-4472 05575303001
------------------	----------------------

<b>Quantité</b>	10 lames
-----------------	----------

**Description**

Les lames de xénogreffe MET ISH sont destinées à être utilisées lors de l'installation initiale du test et/ou pour des opérations de dépannage, en association avec la sonde ADN INFORM MET et la sonde INFORM Chromosome 7, sur les automates de coloration des lames de la série VENTANA BenchMark.

<b>Lames témoins de xénogreffe TOP2A ISH</b>	<b>IHC</b>	<b>HIS ✓</b>
--	------------	--------------

<b>Référence</b>	783-4348 05584965001
------------------	----------------------

<b>Quantité</b>	10 lames
-----------------	----------

**Description**

Les lames témoins de xénogreffe TOP2A ISH sont conçues pour servir de témoins au niveau du système afin de démontrer que le système de réactifs fonctionne comme prévu. La réaction de coloration est détectée au microscope optique. Les tumeurs (xénogreffes) sont générées chez des souris SCID à partir de trois lignées cellulaires de carcinomes humains ayant un statut différent du gène TOP2A. Les trois xénogreffes sont incluses en paraffine, coupées en lamelles et placées sur des lames chargées.

## Distributeurs remplissables /Prep Kits

### Prep Kits 50 tests

Produit	Référence	
Prep Kit 50 tests n° 501	783-3457	05275814001
Prep Kit 50 tests n° 502	783-3458	05275822001
Prep Kit 50 tests n° 503	783-3459	05275849001
Prep Kit 50 tests n° 504	783-3460	05275857001
Prep Kit 50 tests n° 505	783-3461	05275865001
Prep Kit 50 tests n° 506	783-3462	05275873001
Prep Kit 50 tests n° 507	783-3463	05275881001
Prep Kit 50 tests n° 508	783-3464	05275890001
Prep Kit 50 tests n° 509	783-3465	05275903001
Prep Kit 50 tests n° 510	783-3466	05275911001
Prep Kit 50 tests n° 511	783-3467	05275920001
Prep Kit 50 tests n° 512	783-3468	05275938001
Prep Kit 50 tests n° 513	783-3469	05275946001
Prep Kit 50 tests n° 514	783-3470	05275954001
Prep Kit 50 tests n° 515	783-3471	05275962001
Prep Kit 50 tests n° 516	783-3472	05275989001
Prep Kit 50 tests n° 517	783-3473	05275997001
Prep Kit 50 tests n° 518	783-3474	05276004001
Prep Kit 50 tests n° 519	783-3475	05276012001
Prep Kit 50 tests n° 520	783-3476	05276039001
Prep Kit 50 tests n° 521	783-3477	05276047001
Prep Kit 50 tests n° 522	783-3478	05276055001
Prep Kit 50 tests n° 523	783-3479	05276063001
Prep Kit 50 tests n° 524	783-3480	05276071001
Prep Kit 50 tests n° 525	783-3481	05276080001

### Prep Kits 100 tests

Produit	Référence	
Prep Kit 100 tests n° 1	783-2851	05273617001
Prep Kit 100 tests n° 2	783-2852	05273625001
Prep Kit 100 tests n° 3	783-2853	05273633001
Prep Kit 100 tests n° 4	783-2854	05273641001
Prep Kit 100 tests n° 5	783-2855	05273650001
Prep Kit 100 tests n° 6	783-2856	05273668001
Prep Kit 100 tests n° 7	783-2857	05273676001
Prep Kit 100 tests n° 8	783-2858	05273684001
Prep Kit 100 tests n° 9	783-2859	05273692001

Produit	Référence	
Prep Kit 100 tests n° 10	783-2860	05273706001
Prep Kit 100 tests n° 11	783-2861	05273714001
Prep Kit 100 tests n° 12	783-2862	05273722001
Prep Kit 100 tests n° 13	783-2863	05273749001
Prep Kit 100 tests n° 14	783-2864	05273757001
Prep Kit 100 tests n° 15	783-2865	05273765001
Prep Kit 100 tests n° 16	783-2866	05273773001
Prep Kit 100 tests n° 17	783-2867	05273781001
Prep Kit 100 tests n° 18	783-2868	05273790001
Prep Kit 100 tests n° 19	783-2869	05273803001
Prep Kit 100 tests n° 20	783-2870	05273811001
Prep Kit 100 tests n° 21	783-2871	05273820001
Prep Kit 100 tests n° 22	783-2872	05273838001
Prep Kit 100 tests n° 23	783-2873	05273846001
Prep Kit 100 tests n° 24	783-2874	05273854001
Prep Kit 100 tests n° 25	783-2875	05273862001
Prep Kit 100 tests n° 26	783-2876	05273889001
Prep Kit 100 tests n° 27	783-2877	05273897001
Prep Kit 100 tests n° 28	783-2878	05273919001
Prep Kit 100 tests n° 29	783-2879	05273927001
Prep Kit 100 tests n° 30	783-2880	05273935001
Prep Kit 100 tests n° 31	783-2881	05273943001
Prep Kit 100 tests n° 32	783-2882	05273951001
Prep Kit 100 tests n° 33	783-2883	05273960001
Prep Kit 100 tests n° 34	783-2884	05273978001
Prep Kit 100 tests n° 35	783-2885	05273986001
Prep Kit 100 tests n° 36	783-2886	05273994001
Prep Kit 100 tests n° 37	783-2887	05274001001
Prep Kit 100 tests n° 38	783-2888	05274010001
Prep Kit 100 tests n° 39	783-2889	05274028001
Prep Kit 100 tests n° 40	783-2890	05274036001
Prep Kit 100 tests n° 41	783-2891	05274044001
Prep Kit 100 tests n° 42	783-2892	05274052001
Prep Kit 100 tests n° 43	783-2893	05274079001
Prep Kit 100 tests n° 44	783-2894	05274087001
Prep Kit 100 tests n° 45	783-2895	05274095001
Prep Kit 100 tests n° 46	783-2896	05274109001
Prep Kit 100 tests n° 47	783-2897	05274117001
Prep Kit 100 tests n° 48	783-2898	05274125001
Prep Kit 100 tests n° 49	783-2899	05274133001
Prep Kit 100 tests n° 50	783-2900	05274141001
Prep Kit 100 tests n° 51	783-3007	05274168001
Prep Kit 100 tests n° 52	783-3008	05274176001

Référence Ventana en noir, référence Roche en bleu. Les produits figurant sur cette page sont à usage en diagnostic *in vitro* (IVD).

Produit	Référence	Produit	Référence
Prep Kit 100 tests n° 53	783-3009 05274184001	Prep Kit 100 tests n° 95	783-3051 05274648001
Prep Kit 100 tests n° 54	783-3010 05274192001	Prep Kit 100 tests n° 96	783-3052 05274656001
Prep Kit 100 tests n° 55	783-3011 05274206001	Prep Kit 100 tests n° 97	783-3053 05274664001
Prep Kit 100 tests n° 56	783-3012 05274214001	Prep Kit 100 tests n° 98	783-3054 05274672001
Prep Kit 100 tests n° 57	783-3013 05274222001	Prep Kit 100 tests n° 99	783-3055 05274699001
Prep Kit 100 tests n° 58	783-3014 05274249001	Prep Kit 100 tests n° 100	783-3056 05274702001
Prep Kit 100 tests n° 59	783-3015 05274257001	Prep Kit 100 tests n° 101	783-3057 05274729001
Prep Kit 100 tests n° 60	783-3016 05274265001	Prep Kit 100 tests n° 102	783-3058 05274737001
Prep Kit 100 tests n° 61	783-3017 05274273001	Prep Kit 100 tests n° 103	783-3059 05274745001
Prep Kit 100 tests n° 62	783-3018 05274281001	Prep Kit 100 tests n° 104	783-3060 05274753001
Prep Kit 100 tests n° 63	783-3019 05274290001	Prep Kit 100 tests n° 105	783-3061 05274761001
Prep Kit 100 tests n° 64	783-3020 05274303001	Prep Kit 100 tests n° 106	783-3062 05274770001
Prep Kit 100 tests n° 65	783-3021 05274311001	Prep Kit 100 tests n° 107	783-3063 05274788001
Prep Kit 100 tests n° 66	783-3022 05274320001	Prep Kit 100 tests n° 108	783-3064 05274796001
Prep Kit 100 tests n° 67	783-3023 05274338001	Prep Kit 100 tests n° 109	783-3065 05274800001
Prep Kit 100 tests n° 68	783-3024 05274346001	Prep Kit 100 tests n° 110	783-3066 05274818001
Prep Kit 100 tests n° 69	783-3025 05274354001	Prep Kit 100 tests n° 111	783-3067 05274826001
Prep Kit 100 tests n° 70	783-3026 05274362001	Prep Kit 100 tests n° 112	783-3068 05274834001
Prep Kit 100 tests n° 71	783-3027 05274389001	Prep Kit 100 tests n° 113	783-3069 05274842001
Prep Kit 100 tests n° 72	783-3028 05274397001	Prep Kit 100 tests n° 114	783-3070 05274869001
Prep Kit 100 tests n° 73	783-3029 05274419001	Prep Kit 100 tests n° 115	783-3071 05274877001
Prep Kit 100 tests n° 74	783-3030 05274427001	Prep Kit 100 tests n° 116	783-3072 05274885001
Prep Kit 100 tests n° 75	783-3031 05274435001	Prep Kit 100 tests n° 117	783-3073 05274893001
Prep Kit 100 tests n° 76	783-3032 05274443001	Prep Kit 100 tests n° 118	783-3074 05274907001
Prep Kit 100 tests n° 77	783-3033 05274451001	Prep Kit 100 tests n° 119	783-3075 05274915001
Prep Kit 100 tests n° 78	783-3034 05274460001	Prep Kit 100 tests n° 120	783-3076 05274923001
Prep Kit 100 tests n° 79	783-3035 05274478001	Prep Kit 100 tests n° 121	783-3077 05274931001
Prep Kit 100 tests n° 80	783-3036 05274486001	Prep Kit 100 tests n° 122	783-3078 05274940001
Prep Kit 100 tests n° 81	783-3037 05274494001	Prep Kit 100 tests n° 123	783-3079 05274958001
Prep Kit 100 tests n° 82	783-3038 05274508001	Prep Kit 100 tests n° 124	783-3080 05274966001
Prep Kit 100 tests n° 83	783-3039 05274516001	Prep Kit 100 tests n° 125	783-3081 05274974001
Prep Kit 100 tests n° 84	783-3040 05274524001	Prep Kit 100 tests n° 126	783-3082 05274982001
Prep Kit 100 tests n° 85	783-3041 05274532001	Prep Kit 100 tests n° 127	783-3083 05275008001
Prep Kit 100 tests n° 86	783-3042 05274559001	Prep Kit 100 tests n° 128	783-3084 05275016001
Prep Kit 100 tests n° 87	783-3043 05274567001	Prep Kit 100 tests n° 129	783-3085 05275024001
Prep Kit 100 tests n° 88	783-3044 05274575001	Prep Kit 100 tests n° 130	783-3086 05275032001
Prep Kit 100 tests n° 89	783-3045 05274583001	Prep Kit 100 tests n° 131	783-3087 05275059001
Prep Kit 100 tests n° 90	783-3046 05274591001	Prep Kit 100 tests n° 132	783-3088 05275067001
Prep Kit 100 tests n° 91	783-3047 05274605001	Prep Kit 100 tests n° 133	783-3089 05275075001
Prep Kit 100 tests n° 92	783-3048 05274613001	Prep Kit 100 tests n° 134	783-3090 05275083001
Prep Kit 100 tests n° 93	783-3049 05274621001	Prep Kit 100 tests n° 135	783-3091 05275091001
Prep Kit 100 tests n° 94	783-3050 05274630001	Prep Kit 100 tests n° 136	783-3092 05275105001

Référence Ventana en noir, référence Roche en bleu. Les produits figurant sur cette page sont à usage en diagnostic *in vitro* (IVD).



Produit	Référence
Prep Kit 100 tests n° 137	783-3093 05275113001
Prep Kit 100 tests n° 138	783-3094 05275121001
Prep Kit 100 tests n° 139	783-3095 05275130001
Prep Kit 100 tests n° 140	783-3096 05275148001
Prep Kit 100 tests n° 141	783-3097 05275156001
Prep Kit 100 tests n° 142	783-3098 05275164001
Prep Kit 100 tests n° 143	783-3099 05275172001
Prep Kit 100 tests n° 144	783-3100 05275199001
Prep Kit 100 tests n° 145	783-3101 05275202001
Prep Kit 100 tests n° 146	783-3102 05275229001
Prep Kit 100 tests n° 147	783-3103 05275237001
Prep Kit 100 tests n° 148	783-3104 05275245001
Prep Kit 100 tests n° 149	783-3105 05275253001
Prep Kit 100 tests n° 150	783-3106 05275261001
Prep Kit 100 tests n° 151	783-3107 05275270001
Prep Kit 100 tests n° 152	783-3108 05275288001
Prep Kit 100 tests n° 153	783-3109 05275296001
Prep Kit 100 tests n° 154	783-3110 05275300001
Prep Kit 100 tests n° 155	783-3111 05275318001
Prep Kit 100 tests n° 156	783-3112 05275326001
Prep Kit 100 tests n° 157	783-3113 05275334001
Prep Kit 100 tests n° 158	783-3114 05275342001
Prep Kit 100 tests n° 159	783-3115 05275369001
Prep Kit 100 tests n° 160	783-3116 05275377001
Prep Kit 100 tests n° 161	783-3117 05275385001
Prep Kit 100 tests n° 162	783-3118 05275393001
Prep Kit 100 tests n° 163	783-3119 05275407001
Prep Kit 100 tests n° 164	783-3120 05275415001
Prep Kit 100 tests n° 165	783-3121 05275423001
Prep Kit 100 tests n° 166	783-3122 05275431001
Prep Kit 100 tests n° 167	783-3123 05275440001
Prep Kit 100 tests n° 168	783-3124 05275458001
Prep Kit 100 tests n° 169	783-3125 05275466001
Prep Kit 100 tests n° 170	783-3126 05275474001
Prep Kit 100 tests n° 171	783-3127 05275482001
Prep Kit 100 tests n° 172	783-3128 05275504001
Prep Kit 100 tests n° 173	783-3129 05275512001
Prep Kit 100 tests n° 174	783-3130 05275539001
Prep Kit 100 tests n° 175	783-3131 05275547001
Prep Kit 100 tests n° 176	783-3132 05275555001
Prep Kit 100 tests n° 177	783-3133 05275563001
Prep Kit 100 tests n° 178	783-3134 05275571001

Produit	Référence
Prep Kit 100 tests n° 179	783-3135 05275580001
Prep Kit 100 tests n° 180	783-3136 05275598001
Prep Kit 100 tests n° 181	783-3137 05275601001
Prep Kit 100 tests n° 182	783-3138 05275610001
Prep Kit 100 tests n° 183	783-3139 05275628001
Prep Kit 100 tests n° 184	783-3140 05275636001
Prep Kit 100 tests n° 185	783-3141 05275644001
Prep Kit 100 tests n° 186	783-3142 05275652001
Prep Kit 100 tests n° 187	783-3143 05275679001
Prep Kit 100 tests n° 188	783-3144 05275687001
Prep Kit 100 tests n° 189	783-3145 05275695001
Prep Kit 100 tests n° 190	783-3146 05275709001
Prep Kit 100 tests n° 191	783-3147 05275717001
Prep Kit 100 tests n° 192	783-3148 05275725001
Prep Kit 100 tests n° 193	783-3149 05275733001
Prep Kit 100 tests n° 194	783-3150 05275741001
Prep Kit 100 tests n° 195	783-3151 05275750001
Prep Kit 100 tests n° 196	783-3152 05275768001
Prep Kit 100 tests n° 197	783-3153 05275776001
Prep Kit 100 tests n° 198	783-3154 05275784001
Prep Kit 100 tests n° 199	783-3155 05275792001
Prep Kit 100 tests n° 200	783-3156 05275806001

### Prep Kits 250 tests

Produit	Référence
Prep Kit 250 tests n° 1	786-2851 05276284001
Prep Kit 250 tests n° 2	786-2852 05276292001
Prep Kit 250 tests n° 3	786-2853 05276306001
Prep Kit 250 tests n° 4	786-2854 05276314001
Prep Kit 250 tests n° 5	786-2855 05276322001
Prep Kit 250 tests n° 6	786-2856 05276349001
Prep Kit 250 tests n° 7	786-2857 05276357001
Prep Kit 250 tests n° 8	786-2858 05276365001
Prep Kit 250 tests n° 9	786-2859 05276373001
Prep Kit 250 tests n° 10	786-2860 05276381001
Prep Kit 250 tests n° 11	786-2861 05276390001
Prep Kit 250 tests n° 12	786-2862 05276403001
Prep Kit 250 tests n° 13	786-2863 05276411001
Prep Kit 250 tests n° 14	786-2864 05276420001
Prep Kit 250 tests n° 15	786-2865 05276438001
Prep Kit 250 tests n° 16	786-2866 05276446001
Prep Kit 250 tests n° 17	786-2867 05276454001

Référence Ventana en noir, référence Roche en bleu. Les produits figurant sur cette page sont à usage en diagnostic *in vitro* (IVD).

Produit	Référence	Produit	Référence
Prep Kit 250 tests n° 18	786-2868 05276462001	Prep Kit 250 tests n° 61	786-3017 05276942001
Prep Kit 250 tests n° 19	786-2869 05276489001	Prep Kit 250 tests n° 62	786-3018 05276969001
Prep Kit 250 tests n° 20	786-2870 05276497001	Prep Kit 250 tests n° 63	786-3019 05276977001
Prep Kit 250 tests n° 21	786-2871 05276519001	Prep Kit 250 tests n° 64	786-3020 05276985001
Prep Kit 250 tests n° 22	786-2872 05276527001	Prep Kit 250 tests n° 65	786-3021 05276993001
Prep Kit 250 tests n° 23	786-2873 05276535001	Prep Kit 250 tests n° 66	786-3022 05277019001
Prep Kit 250 tests n° 24	786-2874 05276543001	Prep Kit 250 tests n° 67	786-3023 05277027001
Prep Kit 250 tests n° 25	786-2875 05276551001	Prep Kit 250 tests n° 68	786-3024 05277035001
Prep Kit 250 tests n° 26	786-2876 05276560001	Prep Kit 250 tests n° 69	786-3025 05277043001
Prep Kit 250 tests n° 27	786-2877 05276578001	Prep Kit 250 tests n° 70	786-3026 05277051001
Prep Kit 250 tests n° 28	786-2878 05276586001	Prep Kit 250 tests n° 71	786-3027 05277060001
Prep Kit 250 tests n° 29	786-2879 05276594001	Prep Kit 250 tests n° 72	786-3028 05277078001
Prep Kit 250 tests n° 30	786-2880 05276608001	Prep Kit 250 tests n° 73	786-3029 05277086001
Prep Kit 250 tests n° 31	786-2881 05276616001	Prep Kit 250 tests n° 74	786-3030 05277094001
Prep Kit 250 tests n° 32	786-2882 05276624001	Prep Kit 250 tests n° 75	786-3031 05277108001
Prep Kit 250 tests n° 33	786-2883 05276632001	Prep Kit 250 tests n° 76	786-3032 05277116001
Prep Kit 250 tests n° 34	786-2884 05276659001	Prep Kit 250 tests n° 77	786-3033 05277124001
Prep Kit 250 tests n° 35	786-2885 05276667001	Prep Kit 250 tests n° 78	786-3034 05277132001
Prep Kit 250 tests n° 36	786-2886 05276675001	Prep Kit 250 tests n° 79	786-3035 05277159001
Prep Kit 250 tests n° 37	786-2887 05276683001	Prep Kit 250 tests n° 80	786-3036 05277167001
Prep Kit 250 tests n° 38	786-2888 05276691001	Prep Kit 250 tests n° 81	786-3037 05277175001
Prep Kit 250 tests n° 39	786-2889 05276705001	Prep Kit 250 tests n° 82	786-3038 05277183001
Prep Kit 250 tests n° 40	786-2890 05276713001	Prep Kit 250 tests n° 83	786-3039 05277191001
Prep Kit 250 tests n° 41	786-2891 05276721001	Prep Kit 250 tests n° 84	786-3040 05277205001
Prep Kit 250 tests n° 42	786-2892 05276730001	Prep Kit 250 tests n° 85	786-3041 05277213001
Prep Kit 250 tests n° 43	786-2893 05276748001	Prep Kit 250 tests n° 86	786-3042 05277221001
Prep Kit 250 tests n° 44	786-2894 05276756001	Prep Kit 250 tests n° 87	786-3043 05277230001
Prep Kit 250 tests n° 45	786-2895 05276764001	Prep Kit 250 tests n° 88	786-3044 05277248001
Prep Kit 250 tests n° 46	786-2896 05276772001	Prep Kit 250 tests n° 89	786-3045 05277256001
Prep Kit 250 tests n° 47	786-2897 05276799001	Prep Kit 250 tests n° 90	786-3046 05277264001
Prep Kit 250 tests n° 48	786-2898 05276802001	Prep Kit 250 tests n° 91	786-3047 05277272001
Prep Kit 250 tests n° 49	786-2899 05276829001	Prep Kit 250 tests n° 92	786-3048 05277299001
Prep Kit 250 tests n° 50	786-2900 05276837001	Prep Kit 250 tests n° 93	786-3049 05277302001
Prep Kit 250 tests n° 51	786-3007 05276845001	Prep Kit 250 tests n° 94	786-3050 05277329001
Prep Kit 250 tests n° 52	786-3008 05276853001	Prep Kit 250 tests n° 95	786-3051 05277337001
Prep Kit 250 tests n° 53	786-3009 05276861001	Prep Kit 250 tests n° 96	786-3052 05277345001
Prep Kit 250 tests n° 54	786-3010 05276870001	Prep Kit 250 tests n° 97	786-3053 05277353001
Prep Kit 250 tests n° 55	786-3011 05276888001	Prep Kit 250 tests n° 98	786-3054 05277361001
Prep Kit 250 tests n° 56	786-3012 05276896001	Prep Kit 250 tests n° 99	786-3055 05277370001
Prep Kit 250 tests n° 57	786-3013 05276900001	Prep Kit 250 tests n° 100	786-3056 05277388001
Prep Kit 250 tests n° 58	786-3014 05276918001	Prep Kit 250 tests n° 101	786-3057 05277396001
Prep Kit 250 tests n° 59	786-3015 05276926001	Prep Kit 250 tests n° 102	786-3058 05277400001
Prep Kit 250 tests n° 60	786-3016 05276934001	Prep Kit 250 tests n° 103	786-3059 05277418001

Référence Ventana en noir, référence Roche en bleu. Les produits figurant sur cette page sont à usage en diagnostic *in vitro* (IVD).

Produit	Référence
Prep Kit 250 tests n° 104	786-3060 <a href="#">05277426001</a>
Prep Kit 250 tests n° 105	786-3061 <a href="#">05277434001</a>
Prep Kit 250 tests n° 106	786-3062 <a href="#">05277442001</a>
Prep Kit 250 tests n° 107	786-3063 <a href="#">05277469001</a>
Prep Kit 250 tests n° 108	786-3064 <a href="#">05277477001</a>
Prep Kit 250 tests n° 109	786-3065 <a href="#">05277485001</a>
Prep Kit 250 tests n° 110	786-3066 <a href="#">05277493001</a>
Prep Kit 250 tests n° 111	786-3067 <a href="#">05277507001</a>
Prep Kit 250 tests n° 112	786-3068 <a href="#">05277515001</a>
Prep Kit 250 tests n° 113	786-3069 <a href="#">05277523001</a>
Prep Kit 250 tests n° 114	786-3070 <a href="#">05277531001</a>
Prep Kit 250 tests n° 115	786-3071 <a href="#">05277540001</a>
Prep Kit 250 tests n° 116	786-3072 <a href="#">05277558001</a>
Prep Kit 250 tests n° 117	786-3073 <a href="#">05277566001</a>
Prep Kit 250 tests n° 118	786-3074 <a href="#">05277574001</a>
Prep Kit 250 tests n° 119	786-3075 <a href="#">05277582001</a>
Prep Kit 250 tests n° 120	786-3076 <a href="#">05277604001</a>
Prep Kit 250 tests n° 121	786-3077 <a href="#">05277612001</a>
Prep Kit 250 tests n° 122	786-3078 <a href="#">05277639001</a>
Prep Kit 250 tests n° 123	786-3079 <a href="#">05277647001</a>
Prep Kit 250 tests n° 124	786-3080 <a href="#">05277655001</a>
Prep Kit 250 tests n° 125	786-3081 <a href="#">05277663001</a>
Prep Kit 250 tests n° 126	786-3082 <a href="#">05277671001</a>
Prep Kit 250 tests n° 127	786-3083 <a href="#">05277680001</a>

Produit	Référence
Prep Kit 250 tests n° 128	786-3084 <a href="#">05277698001</a>
Prep Kit 250 tests n° 129	786-3085 <a href="#">05277701001</a>
Prep Kit 250 tests n° 130	786-3086 <a href="#">05277710001</a>
Prep Kit 250 tests n° 131	786-3087 <a href="#">05277728001</a>
Prep Kit 250 tests n° 132	786-3088 <a href="#">05277736001</a>
Prep Kit 250 tests n° 133	786-3089 <a href="#">05277744001</a>
Prep Kit 250 tests n° 134	786-3090 <a href="#">05277752001</a>
Prep Kit 250 tests n° 135	786-3091 <a href="#">05277779001</a>
Prep Kit 250 tests n° 136	786-3092 <a href="#">05277787001</a>
Prep Kit 250 tests n° 137	786-3093 <a href="#">05277795001</a>
Prep Kit 250 tests n° 138	786-3094 <a href="#">05277809001</a>
Prep Kit 250 tests n° 139	786-3095 <a href="#">05277817001</a>
Prep Kit 250 tests n° 140	786-3096 <a href="#">05277825001</a>
Prep Kit 250 tests n° 141	786-3097 <a href="#">05277833001</a>
Prep Kit 250 tests n° 142	786-3098 <a href="#">05277841001</a>
Prep Kit 250 tests n° 143	786-3099 <a href="#">05277850001</a>
Prep Kit 250 tests n° 144	786-3100 <a href="#">05277868001</a>
Prep Kit 250 tests n° 145	786-3101 <a href="#">05277876001</a>
Prep Kit 250 tests n° 146	786-3102 <a href="#">05277884001</a>
Prep Kit 250 tests n° 147	786-3103 <a href="#">05277892001</a>
Prep Kit 250 tests n° 148	786-3104 <a href="#">05277906001</a>
Prep Kit 250 tests n° 149	786-3105 <a href="#">05277914001</a>
Prep Kit 250 tests n° 150	786-3106 <a href="#">05277922001</a>

Référence Ventana en noir, référence Roche en bleu. Les produits figurant sur cette page sont à usage en diagnostic *in vitro* (IVD).

**Distributeurs de contre-colorant**

Produit	Référence	
Counterstain 250 tests n° 1	771-741	<a href="#">05271720001</a>
Counterstain 250 tests n° 2	771-742	<a href="#">05271738001</a>
Counterstain 250 tests n° 3	771-743	<a href="#">05271746001</a>
Counterstain 250 tests n° 4	771-744	<a href="#">05271754001</a>
Counterstain 250 tests n° 5	771-745	<a href="#">05271762001</a>
Counterstain 250 tests n° 6	771-746	<a href="#">05271789001</a>
Counterstain 250 tests n° 7	771-747	<a href="#">05271797001</a>
Counterstain 250 tests n° 8	771-748	<a href="#">05271819001</a>
Counterstain 250 tests n° 9	771-749	<a href="#">05271827001</a>
Counterstain 250 tests n° 10	771-750	<a href="#">05271835001</a>

**Distributeurs d'enzyme**

Produit	Référence	
Enzyme 250 tests n° 1	771-721	<a href="#">05271517001</a>
Enzyme 250 tests n° 2	771-722	<a href="#">05271525001</a>
Enzyme 250 tests n° 3	771-723	<a href="#">05271533001</a>
Enzyme 250 tests n° 4	771-724	<a href="#">05271541001</a>
Enzyme 250 tests n° 5	771-725	<a href="#">05271550001</a>
Enzyme 250 tests n° 6	771-726	<a href="#">05271568001</a>
Enzyme 250 tests n° 7	771-727	<a href="#">05271576001</a>
Enzyme 250 tests n° 8	771-728	<a href="#">05271584001</a>
Enzyme 250 tests n° 9	771-729	<a href="#">05271592001</a>
Enzyme 250 tests n° 10	771-730	<a href="#">05271606001</a>

**Distributeurs de fixateur**

Produit	Référence	
Fixative 250 tests n° 1	771-731	<a href="#">05271614001</a>
Fixative 250 tests n° 2	771-732	<a href="#">05271622001</a>
Fixative 250 tests n° 3	771-733	<a href="#">05271649001</a>
Fixative 250 tests n° 4	771-734	<a href="#">05271657001</a>
Fixative 250 tests n° 5	771-735	<a href="#">05271665001</a>
Fixative 250 tests n° 6	771-736	<a href="#">05271673001</a>
Fixative 250 tests n° 7	771-737	<a href="#">05271681001</a>
Fixative 250 tests n° 8	771-738	<a href="#">05271690001</a>
Fixative 250 tests n° 9	771-739	<a href="#">05271703001</a>
Fixative 250 tests n° 10	771-740	<a href="#">05271711001</a>

**Distributeurs option**

Produit	Référence	
Option 250 tests n° 1	771-751	<a href="#">05271843001</a>
Option 250 tests n° 2	771-752	<a href="#">05271851001</a>
Option 250 tests n° 3	771-753	<a href="#">05271860001</a>
Option 250 tests n° 4	771-754	<a href="#">05271878001</a>
Option 250 tests n° 5	771-755	<a href="#">05271886001</a>
Option 250 tests n° 6	771-756	<a href="#">05271894001</a>
Option 250 tests n° 7	771-757	<a href="#">05271908001</a>
Option 250 tests n° 8	771-758	<a href="#">05271916001</a>
Option 250 tests n° 9	771-759	<a href="#">05271924001</a>
Option 250 tests n° 10	771-760	<a href="#">05271932001</a>

Filtres de remplacement (20 filtres)	772-100	<a href="#">05271959001</a>
---	---------	-----------------------------







## Pathologie Numérique|

VENTANA iScan Coreo	214
VENTANA iScan HT	218
VENTANA Virtuoso	222



# VENTANA iScan Coreo

## Solution de pathologie numérique complète

*Le scanner de lames VENTANA iScan Coreo offre une numérisation de lames à fond clair donnant une image de qualité permettant l'observation des cas, le partage des informations et la télé-pathologie. Associé au logiciel VENTANA Virtuoso, le scanner iScan Coreo fournit à l'utilisateur une solution complète de pathologie numérique. L'acquisition de l'image et la génération de rapports personnalisés améliorent l'efficacité opérationnelle dans le laboratoire.*

### Qu'avez-VOUS à l'esprit ?

**J'ai besoin de créer une archive d'image numérique.**

- Accédez à des archives d'image virtuelle pour permettre le partage et la collaboration concernant un cas.
- Réduisez les erreurs de manipulation de lames.
- Améliorez la disponibilité et la portabilité des lames.

**J'ai besoin d'une méthode efficace pour visualiser des coupes congelées.**

- Utilisez la fonction « Live Mode » comme un microscope réel pour visualiser des coupes de tissu.
- Permettez aux pathologistes de procéder à un examen en dehors du service chirurgical avec la visualisation à distance.
- Réduisez le temps d'exécution.

**J'ai besoin d'une solution qui soit facile à adopter et à mettre en œuvre dans mon laboratoire.**

- Scanner à faible encombrement pouvant contenir jusqu'à 160 lames.
- Numérisation automatique en un clic
- 4 objectifs motorisés
- Numérisation des lames en profondeur
- Interface d'utilisation intuitive
- Logiciel de visualisation d'images intégré permettant les annotations et l'observation à distance



## Spécifications

### Caractéristiques générales

<b>Ordinateur</b>	<ul style="list-style-type: none"> <li>▪ PC Intel, dual core, processeur dual Xeon</li> <li>▪ Mémoire : 160 SATA / 12 Go, graveur CD/DVD</li> <li>▪ Connectivité : Ports Ethernet GIGABIT</li> </ul>
<b>Ecran</b>	<ul style="list-style-type: none"> <li>▪ Résolution : écran plat haute résolution (1920x1200)</li> <li>▪ Dimension : 24 pouces</li> </ul>
<b>Format d'entrée</b>	<ul style="list-style-type: none"> <li>▪ Lames de microscope 25 mm x 75 mm</li> </ul>
<b>Capacité en lames</b>	<ul style="list-style-type: none"> <li>▪ 1 à 160 lames placées dans 8 paniers Sakura standard dans un support intégré.</li> </ul>
<b>Tourelle automatique</b>	<ul style="list-style-type: none"> <li>▪ Tourelle avec support permettant d'adapter jusqu'à quatre objectifs de microscope.</li> </ul>
<b>Objectifs</b>	<ul style="list-style-type: none"> <li>▪ Olympus 4X (0,1 NA), 10X (0,3 NA), 20X (0,5 NA) et 40X (0,75 NA)</li> </ul>
<b>Résolution de numérisation</b>	<ul style="list-style-type: none"> <li>▪ 2,5 µm/pixel à 4X, 1 µm/pixel à 10X, 0,46 µm/pixel à 20X, 0,23 µm/pixel à 40X</li> </ul>
<b>Fonction de code à barre</b>	<ul style="list-style-type: none"> <li>▪ Fonction de lecture de code à barre 1D et 2D</li> </ul>
<b>Source de lumière</b>	<ul style="list-style-type: none"> <li>▪ DEL intégrée</li> </ul>
<b>Configuration</b>	<ul style="list-style-type: none"> <li>▪ Sur pieds (à poser sur une table)</li> </ul>
<b>Numérisation à la lumière</b>	<ul style="list-style-type: none"> <li>▪ Lecture automatisée de code à barre, identification de tissu, auto focus, numérisation et compression d'image</li> </ul>
<b>Numérisation manuelle</b>	<ul style="list-style-type: none"> <li>▪ Zone de numérisation configurable par l'utilisateur pour des lames individuelles ou par lots en mode manuel</li> </ul>
<b>LCD</b>	<ul style="list-style-type: none"> <li>▪ Affichage couleur 5,5" avec une résolution 320 x 240</li> </ul>
<b>Affichage de la numérisation</b>	<ul style="list-style-type: none"> <li>▪ Couleur réelle 24 bit</li> </ul>
<b>Format de stockage des images</b>	<ul style="list-style-type: none"> <li>▪ Personnalisable sous : JPEG 2000, BIF et TIFF</li> </ul>
<b>Certifications</b>	<ul style="list-style-type: none"> <li>▪ Conforme aux directives CSA et CE</li> </ul>

### Fonctions

- Scanner de lames entières avec quatre objectifs motorisés, permettant la numérisation optique à fond clair à 4X, 10X, 20X et 40X
- Numérisation en profondeur jusqu'à 15 plans de coupe (z-stacks)
- L'application Live Mode permet la microscopie à distance en temps réel ; le scanner VENTANA iScan Coreo peut être utilisé comme microscope en temps réel pour visualiser à distance des coupes congelées (extemporanées) avec un agrandissement de 1X à 40X et avec des plans multiples
- Numérisation entièrement automatisée et autonome avec une capacité de 160 lames

### Exigences environnementales

<b>Chaleur</b>	<ul style="list-style-type: none"> <li>▪ 400 BTU/Hr à l'arrêt, 1000 BTU/Hr en fonctionnement</li> </ul>
<b>Température ambiante</b>	<ul style="list-style-type: none"> <li>▪ 20 °C à 32 °C</li> </ul>
<b>Humidité</b>	<ul style="list-style-type: none"> <li>▪ 10 % à 90 %, sans condensation</li> </ul>

### Spécifications électriques

<b>Voltage</b>	<ul style="list-style-type: none"> <li>▪ 220 VCA</li> </ul>
<b>Capacité en sortie</b>	<ul style="list-style-type: none"> <li>▪ 400 Watts (y compris la source d'éclairage)</li> </ul>
<b>Fréquence</b>	<ul style="list-style-type: none"> <li>▪ 50/60 Hz</li> </ul>

### Caractéristiques physiques

<b>Taille (L x P x H)</b>	<ul style="list-style-type: none"> <li>▪ 111,76 x 84,07 x 158,50 cm</li> <li>▪ 34 x 37 x 34 cm</li> </ul>
---------------------------	---

Remarque : Les produits VENTANA sont conçus pour une utilisation diagnostic *in vitro* dans certaines applications ; dans les autres applications, ils ne doivent être utilisés qu'à des fins de recherche.



## Informations pour la commande

Produit	Référence	Description
VENTANA iScan Coreo, Système Complet	00056006004	Scanner de lames livré avec : <ul style="list-style-type: none"> <li>Logiciel Image Viewer, unité centrale, écran 24 pouces, clavier, souris</li> <li>Multiprise continentale 6 positions</li> <li>Cordon d'alimentation</li> </ul>

## Logiciels et accessoires pour les scanners de lames de la Série VENTANA Digital Pathology

Produit	Référence	Description
Licence pour le logiciel Virtuoso	06586341001	La licence incluant la numérisation illimitée de lames, les mises à jour et améliorations logicielles (nouveaux modules logiciels exclus). La licence inclut également un serveur (1TB, modèle Rack ou Tour) avec le logiciel Virtuoso pré-installé.
Stockage supplémentaire	06271057001	Augmentation de la capacité de stockage de 3TB.
Lecture codes à barres 1D / 2D	06273262001	Activation de la lecture des codes à barres pour la traçabilité des lames et des informations patients.
Algorithmes Panel Sein IHC	06585990001	Algorithmes pour ER, PR, Her-2, Ki67, P53.

Le scanner de lames VENTANA iScan Coreo (dispositif de diagnostic *in vitro*) est un système conçu pour numériser des lames de microscope, ainsi que pour compresser et visualiser les images numérisées de ces lames.

Mandataire : Roche Diagnostics GmbH (Allemagne)  
Distributeur : Roche Diagnostics France

Lire attentivement les instructions figurant dans le manuel d'utilisation.



# VENTANA iScan HT

## Solution de pathologie numérique haute définition

*Le scanner de lames VENTANA iScan HT offre une numérisation de lames à fond clair rapide ainsi que des images numériques de grande qualité. Il permet de scanner l'intégralité des lames de routine d'un laboratoire d'anatomopathologie (H&E, IHC, HIS, colorations spéciales et autres) et facilite le rendu du diagnostic. Ce scanner dernière génération offre également toutes les applications de la pathologie numérique, telles que l'observation des cas, le partage d'informations et la télé-pathologie.*

### Qu'avez-VOUS à l'esprit ?

J'ai besoin d'une méthode efficace pour visualiser et partager des lames numériques.

- Utilisez le logiciel VENTANA Image Viewer pour visualiser vos lames et bénéficier d'outils de mesure, d'annotations, de zones de texte et de marquage à main-levée.
- Profitez pleinement de toutes les applications qu'offre la pathologie numérique à l'aide du logiciel de gestion et de traitement d'images VENTANA Virtuoso.

J'ai besoin d'optimiser l'organisation dans mon laboratoire.

- Scannez jusqu'à 360 lames
- Accédez de façon aléatoire à vos lames
- Chargez vos lames en continu, sans interrompre les numérisations en cours
- Gérez automatiquement les priorités de vos travaux de numérisation à l'aide de la programmation STAT



## Spécifications

### Caractéristiques générales

<b>Ordinateur</b>	<ul style="list-style-type: none"> <li>PC Intel, dual core, processeur dual Xeon, Microsoft Windows 7 (64-bit)</li> <li>Mémoire : 2TB, SATA, graveur CD/DVD</li> <li>Connectivité : 2 Ports Ethernet GIGABIT</li> </ul>
<b>Ecran</b>	<ul style="list-style-type: none"> <li>Résolution : écran plat haute résolution (1920x1200)</li> <li>Dimension : 24 pouces</li> </ul>
<b>Format d'entrée</b>	<ul style="list-style-type: none"> <li>Lames de microscope 25 mm x 75 mm et 26 mm x 76 mm</li> </ul>
<b>Capacité en lames</b>	<ul style="list-style-type: none"> <li>1 à 360 lames placées dans 18 racks intégrés pouvant accueillir chacun jusqu'à 20 lames</li> </ul>
<b>Grossissements des numérisations</b>	<ul style="list-style-type: none"> <li>20X et 40X</li> </ul>
<b>Fonction de code à barre</b>	<ul style="list-style-type: none"> <li>Fonction de lecture de code à barre 1D et 2D</li> </ul>
<b>Source de lumière</b>	<ul style="list-style-type: none"> <li>DEL intégrée</li> </ul>
<b>Configuration</b>	<ul style="list-style-type: none"> <li>Sur pieds (à poser sur une table)</li> </ul>
<b>Numérisation à la lumière</b>	<ul style="list-style-type: none"> <li>Lecture automatisée de code à barre, identification de tissu, auto focus, numérisation et compression d'image</li> </ul>
<b>Numérisation manuelle</b>	<ul style="list-style-type: none"> <li>Zone de numérisation configurable par l'utilisateur pour des lames individuelles ou par lots en mode manuel</li> </ul>
<b>LCD</b>	<ul style="list-style-type: none"> <li>Écran couleur (résolution 1024 x 600) de 10.1 pouces en diagonale (257 mm)</li> </ul>
<b>Affichage de la numérisation</b>	<ul style="list-style-type: none"> <li>Couleur réelle 24 bit</li> </ul>
<b>Format de stockage des images</b>	<ul style="list-style-type: none"> <li>Personnalisable sous : BIF et TIFF</li> </ul>
<b>Certifications</b>	<ul style="list-style-type: none"> <li>Conforme aux directives CSA et CE</li> </ul>

### Fonctions

- Scanner de lames entières permettant la numérisation en champ clair à 20X et 40X
- Numérisation en profondeur jusqu'à 15 plans de coupe (z-stacks)
- La programmation STAT permet de modifier automatiquement les priorités des travaux de numérisation en cours
- Numérisation entièrement automatisée et rapide avec une capacité de 360 lames, pouvant être chargées et retirées à tout moment, sans interrompre les autres numérisations en cours

### Exigences environnementales

<b>Chaleur</b>	<ul style="list-style-type: none"> <li>400 BTU/Hr à l'arrêt, 1000 BTU/Hr en fonctionnement</li> </ul>
<b>Température ambiante</b>	<ul style="list-style-type: none"> <li>20 °C à 32 °C</li> </ul>
<b>Humidité</b>	<ul style="list-style-type: none"> <li>90 % maximum, sans condensation</li> </ul>

### Spécifications électriques

<b>Voltage</b>	<ul style="list-style-type: none"> <li>220 VCA</li> </ul>
<b>Capacité en sortie</b>	<ul style="list-style-type: none"> <li>400 Watts (y compris la source d'éclairage)</li> </ul>
<b>Fréquence</b>	<ul style="list-style-type: none"> <li>50/60 Hz</li> </ul>

### Caractéristiques physiques

<b>Taille (L x P x H)</b>	<ul style="list-style-type: none"> <li>90,4 cm x 68,8 cm x 64,8 cm</li> </ul>
---------------------------	---

Remarque : Les produits VENTANA sont conçus pour une utilisation diagnostic *in vitro* dans certaines applications ; dans les autres applications, ils ne doivent être utilisés qu'à des fins de recherche.

## Informations pour la commande

Produit	Référence	Description
VENTANA iScan HT, Système Comple	00056006007	Scanner de lames livré avec : <ul style="list-style-type: none"> <li>▪ Logiciel Image Viewer, unité centrale, écran 24 pouces, clavier, souris</li> <li>▪ Multiprise continentale 6 positions</li> <li>▪ Cordon d'alimentation</li> </ul>

## Logiciels et accessoires pour les scanners de lames de la Série VENTANA Digital Pathology

Produit	Référence	Description
Licence pour le logiciel Virtuoso	06586341001	La licence incluant la numérisation illimitée de lames, les mises à jour et améliorations logicielles (nouveaux modules logiciels exclus). La licence inclut également un serveur (1TB, modèle Rack ou Tour avec le logiciel Virtuoso pré-installé).
Stockage supplémentaire	06271057001	Augmentation de la capacité de stockage de 3TB.
Lecture codes à barres 1D / 2D	06273262001	Activation de la lecture des codes à barres pour la traçabilité des lames et des informations patients.
Onduleur pour iScan Coreo	06765483001	Onduleur de 240V.
Algorithmes Panel Sein IHC	06585990001	Algorithmes pour ER, PR, Her-2, Ki67, P53.

Le scanner de lames VENTANA iScan HT (dispositif de diagnostic *in vitro*) est un système conçu pour numériser des lames de microscope, ainsi que pour compresser et visualiser les images numérisées de ces lames.

Mandataire : Roche Diagnostics GmbH (Allemagne)

Distributeur : Roche Diagnostics France

Lire attentivement les instructions figurant dans le manuel d'utilisation.





# VENTANA VIRTUOSO

## Logiciel de gestion d'images

*Notre logiciel d'applications avancées en pathologie numérique prend en charge la visualisation de lames et la gestion de cas. Basé sur le Web, VENTANA Virtuoso est un logiciel qui gère les lames virtuelles de la numérisation à la signature du diagnostic. Alliant des fonctionnalités faciles à utiliser et une interface conviviale, cette application permet d'améliorer l'efficacité et l'organisation du pathologiste praticien. Le logiciel Virtuoso et ses portails accessibles en fonction des rôles est facile à adopter pour votre laboratoire. Il aidera de nombreux utilisateurs en télé-pathologie, pour le partage et la gestion de cas, la visualisation d'images et bien plus encore s'il est utilisé conjointement avec les scanners de lames VENTANA.*

### Qu'avez-VOUS à l'esprit ?

**J'ai besoin de pouvoir examiner mes cas à distance.**

- Améliorez la disponibilité et la portabilité des lames avec les archives numériques.
- Accédez à des cas à distance à tout moment, depuis n'importe quel endroit avec une application basée sur le Web.
- Procédez facilement à l'affichage, la gestion et l'archivage de vos cas.

**J'ai besoin de partager mes cas pour les faire examiner par des pairs et pour les groupes d'études tumorales.**

- Partagez des cas avec un ou plusieurs pathologiste(s), avec la possibilité d'établir des niveaux d'accès à un cas définis selon l'utilisateur.
- Réduisez le temps d'exécution en partageant les lames de façon numérique.
- Éliminez les besoins logistiques liés aux lames en verre.
- Grâce aux sessions de collaboration, vous pouvez partager et visualiser des images de cas avec des collègues en temps réel.

**J'ai besoin d'une solution que l'ensemble de mon laboratoire puisse utiliser efficacement.**

- Répondez aux besoins de chaque personne au sein de votre organisation de travail avec des portails correspondant aux différents rôles.
- Définissez des rôles spécifiques pour les pathologistes, techniciens de laboratoires, administrateurs et cliniciens.
- Améliorez l'efficacité et optimisez tous les flux de travail au sein de votre laboratoire de pathologie.

## Spécifications

### Fonctionnalités uniques

- Le module de contrôle qualité permet au technicien du laboratoire de visualiser et valider les images avant de les transmettre au pathologiste.
- Un affichage côte à côte des lames virtuelles et une synchronisation des images est disponible pour permettre de les comparer aisément. .
- Une interface utilisateur intuitive qui reflète le flux de travail en pathologie permet aux utilisateurs de réorganiser l'ordre dans lequel les cas, spécimens et images sont examinés.
- L'application logicielle de type Client léger évite d'avoir à installer le logiciel.
- Personnalisez les autorisations de chaque utilisateur en fonction de leur rôle personnel dans le flux de travail quotidien de votre laboratoire.

### Conditions minimales requises pour VENTANA Virtuoso

<b>Système d'exploitation client</b>	▪ Windows XP SP2
<b>Navigateurs pris en charge</b>	▪ Internet Explorer 7.0 ou 8.0, Mozilla Firefox 3.6.13
<b>Mémoire vive</b>	▪ 2 Go
<b>Connectivité réseau</b>	▪ Carte réseau Ethernet 10/100 Mbps
<b>Autres besoins logiciels</b>	▪ Adobe Acrobat Reader 8.0 pour la génération de rapports au format PDF

### Caractéristiques physiques du serveur

<b>Système d'exploitation</b>	▪ Windows 2008 SP2 64 bit
<b>Processeur</b>	▪ Intel Dual Quad Core
<b>Mémoire vive</b>	▪ 16 Go
<b>Connectivité réseau</b>	▪ Carte réseau Ethernet 1 Go
<b>Disque dur</b>	▪ Configuration RAID 1 / RAID 5 ▪ Disques durs (2) 250 Go ▪ Disques durs (3) 1 To
<b>Base de données</b>	▪ MySQL 5.1 ou Oracle v.11g Enterprise edition

Le logiciel VENTANA Virtuoso est une solution de Pathologie Web permettant la visualisation, la gestion et le partage d'images de lames histologiques numérisées.

Mandataire : Roche Diagnostics GmbH (Allemagne)

Distributeur : Roche Diagnostics France

Lire attentivement les instructions figurant dans le manuel d'utilisation.







## Services client |

Service client	228
Enseignement et formation	232



# Service client

*Nous nous engageons à fournir une assistance de dimension internationale à tous nos clients. Nos équipes techniques hautement qualifiées offrent une assistance scientifique et technique en français afin de répondre à tous les besoins de nos clients.*

## Notre vision

Notre priorité est de fournir une assistance technique rapide et précise, d'informer nos clients et de les aider à résoudre leurs problèmes avec les automates, les réactifs et les logiciels VENTANA. Le service client collabore avec notre laboratoire de recherche et d'applications dans le cadre des mises à jour techniques et des contrôles de qualité des produits. Notre objectif est de maintenir un service client de qualité répondant au-delà des attentes de nos clients.

Vous pouvez désormais consulter et imprimer des informations supplémentaires, des visuels produits et des fiches techniques de santé et sécurité en ligne.

Visitez notre site Internet [www.ventana.com](http://www.ventana.com) ou [www.rochediagnostics.fr](http://www.rochediagnostics.fr) et cliquez sur les liens de notre catalogue de produits en ligne.

## Support technique

Nous contacter :

Du lundi au vendredi : 8h00 – 17h00

EMEA fax: +33 (0)4 76 18 51 43

Fax Allemagne: +49 (0)69 97 20 35 00

Par téléphone :

Pays	Communication payante	Communication gratuite	Email
Autriche	+33(0)476761820		strasbourg.kundendienst@ventana.roche.com
Belgique	+33(0)476761822	0 800 79 281	strasbourg.tcceurope@ventana.roche.com
Danemark	+33(0)476761826		strasbourg.tcceurope@ventana.roche.com
Finlande	+33(0)476761816		strasbourg.tcceurope@ventana.roche.com
France	+33(0)476761818		Meylan.TCCFrance@roche.com
Allemagne	+33(0)476761830		strasbourg.kundendienst@ventana.roche.com
Italie	+33(0)476761832	800 620 628	Meylan.TCCItaly@roche.com
Irlande	+33(0)476761817		strasbourg.tcceurope@ventana.roche.com
Luxembourg	+33(0)476761818		strasbourg.tcceurope@ventana.roche.com
Pays-Bas	+33(0)476761828		strasbourg.tcceurope@ventana.roche.com
Irlande du Nord	+33(0)476761817	08007 833 119	strasbourg.tcceurope@ventana.roche.com
Norvège	+33(0)476761827		strasbourg.tcceurope@ventana.roche.com
Pologne (anglais)	+33(0)476761823		strasbourg.tcceurope@ventana.roche.com
Portugal	+33(0)476761813	800 200 299	strasbourg.tccportugal@ventana.roche.com
Afrique du Sud	+33(0)476761831		strasbourg.tcceurope@ventana.roche.com
Espagne	+33(0)476761812	902 112 476	strasbourg.tccspain@ventana.roche.com
Suède	+33(0)476761829		strasbourg.tcceurope@ventana.roche.com
Suisse	+33(0)476761819		strasbourg.kundendienst@ventana.roche.com
Royaume-Uni	+33(0)476761817	0800 16 99 850	strasbourg.tcceurope@ventana.roche.com
Autres pays EMEA (ANGLAIS)	+33(0)476761825		strasbourg.tcceurope@ventana.roche.com







# Enseignement et formation

*Notre centre de formation témoigne de notre engagement continu à fournir une assistance complète à nos clients.*

Dans notre Centre de formation, nous nous engageons à vous fournir une formation aussi agréable et enrichissante que possible. Notre objectif est la standardisation et l'amélioration du processus de coloration des lames, en aidant ainsi les techniciens à obtenir quotidiennement les meilleurs résultats pour fournir aux pathologistes les meilleures informations afin d'établir un diagnostic.

Notre but est de vous apporter les connaissances, la confiance et les ressources nécessaires afin d'optimiser efficacement vos conditions expérimentales pour des recherches plus rapides et d'accroître la productivité de votre laboratoire.

Les formations, organisées en petits groupes pour un apprentissage optimal, ont lieu toute l'année dans notre Centre de formation à Meylan. Toutes nos formations sont dispensées par des formateurs très expérimentés en techniques IHC et HIS et connaissant parfaitement les automates et les réactifs VENTANA.

## Cours de formation de l'utilisateur aux automates

Type de formation	Objectifs	Contenu
Introduction aux systèmes VENTANA BenchMark GX et VENTANA BenchMark XT 3 jours – Meylan F-TRN-107100	Cette formation comprend une présentation complète de l'automate, du logiciel et de tous les produits pour l'IHC et l'HIS. L'objectif pour chaque participant est de savoir utiliser, à la fin de ce cours, toutes les fonctionnalités de l'automate. Une partie de la formation concernera la maintenance de l'automate et sa décontamination.	<ul style="list-style-type: none"> <li>- Présentation des systèmes VENTANA BenchMark GX et XT : caractéristiques et avantages</li> <li>- Présentation du logiciel</li> <li>- Maintenance et décontamination</li> <li>- Tests de fonctionnement / tests de réparation</li> <li>- Produits VENTANA pour l'IHC</li> <li>- Produits VENTANA pour l'HIS</li> <li>- Messages d'erreur</li> </ul>
Introduction au système VENTANA BenchMark ULTRA 3 jours – Meylan F-TRN-107600	Cette formation comprend une présentation complète de l'automate, du logiciel et de tous les produits pour l'IHC et l'HIS. L'objectif pour chaque participant est de savoir utiliser, à la fin de ce cours, toutes les fonctionnalités de l'automate. Une partie de la formation concernera la maintenance de l'automate et sa décontamination.	<ul style="list-style-type: none"> <li>- Présentation du VENTANA BenchMark ULTRA : caractéristiques et avantages</li> <li>- Présentation du logiciel</li> <li>- Maintenance et décontamination</li> <li>- Tests de fonctionnement / tests de réparation</li> <li>- Produits VENTANA pour l'IHC</li> <li>- Produits VENTANA pour l'HIS</li> </ul>

## Cours de formation avancée en IHC / HIS

Type de formation	Objectifs	Contenu
Artéfacts IHC et leur résolution 1 jour - Meylan, F-TRN-109100	Ce cours rassemble tous les paramètres principaux affectant la qualité de la coloration en immunohistochimie. Le contenu de la formation est axé sur une compréhension intégrale des principes théoriques de base de l'IHC et sur la résolution des artéfacts les plus courants.	<b>THÉORIE</b> <ul style="list-style-type: none"> <li>- Préparation des échantillons : fixation, traitement du tissu, préparation de la lame</li> <li>- Techniques de coloration IHC : principes de détection</li> <li>- Résolution de problème : définition des types de coloration et des artéfacts ainsi que les causes possibles</li> <li>- Contrôles : contrôles positifs et négatifs (définition et sources des faux positifs / négatifs)</li> </ul> <b>ÉTUDE DE CAS</b> <ul style="list-style-type: none"> <li>- Présentations de plusieurs problèmes de coloration et leur résolution.</li> </ul>
Mise en place et optimisation d'un protocole IHC 4 jours - Meylan, F-TRN-107500	<p>La partie théorique de ce cours aborde chaque étape de la technique IHC et tous les « protagonistes » de la réaction IHC.</p> <p>Les participants apprendront à manipuler les informations cruciales concernant un anticorps (réactif déterminant dans la coloration IHC).</p> <p>La partie pratique de ce cours consiste à optimiser les protocoles de coloration pour des anticorps donnés sur des coupes en paraffine.</p> <p>L'interprétation du résultat de coloration ainsi que les artéfacts possibles seront abordés lors de cette formation interne.</p> <p>Enfin, le cours traitera de manière approfondie le Contrôle qualité en IHC avec des tissus de contrôle (contrôles positifs et négatifs).</p>	<b>THÉORIE</b> <ul style="list-style-type: none"> <li>- Préparation du tissu : fixation, traitement du tissu, préparation de la lame</li> <li>- Antigène : protéines, localisation</li> <li>- Prétraitement : chaleur, enzyme</li> <li>- Incubation de l'anticorps : clone, sensibilité, spécificité, temps et température d'incubation, dilution</li> <li>- Détection chromogénique : différents principes de détection (LSAB, ABC, PAAP, Polymère, Multimer), sensibilité</li> <li>- Double coloration</li> <li>- Contrôles : contrôles positifs et négatifs (définition et sources de faux positifs / négatifs)</li> <li>- Autres produits : kit d'amplification, kit de blocage de la biotine,</li> <li>- Résolution de problème : définition des modèles de coloration et artéfacts.</li> </ul> <b>PRATIQUE</b> <ul style="list-style-type: none"> <li>- Fiche technique de l'anticorps : informations cruciales (monoclonal / polyclonal, type de coloration, cible, tissu de contrôle, dilution, prétraitement du tissu, conditions de stockage, etc.)</li> <li>- Séances au laboratoire : <ul style="list-style-type: none"> <li>▪ Effectuer des cycles de coloration avec des anticorps VENTANA et non VENTANA sur des lames apportées par les participants.</li> <li>▪ Définir une méthodologie pour obtenir la coloration optimale d'un anticorps donné sur le contrôle positif correspondant.</li> </ul> </li> </ul>

### *Formation technique*

Ces cours sont destinés aux techniciens tels que les ingénieurs biomédicaux ayant les connaissances techniques de base. Ce cours enseigne aux participants comment installer un automate VENTANA et comment analyser et résoudre un problème de base. Sur la base d'un diagnostic, ils découvriront une série de causes possibles et de possibilités de réparation (Intervention de Niveau 1).

### *Formation initiale pour Ingénieur biomédical –*

Cette formation technique initiale offre à l'ingénieur biomédical toutes les connaissances nécessaires pour effectuer des réparations basiques sur un automate VENTANA. Deux ingénieurs biomédicaux minimum sont requis si le client a choisi l'accord de Maintenance partagée. Cette formation a lieu dans notre centre de formation à Meylan ou dans les locaux du client.

### *Formation avancée pour Ingénieur biomédical –*

Proposée aux clients qui souhaitent effectuer eux-mêmes la maintenance complète de leur automate VENTANA, cette formation de quatre jours apporte à l'ingénieur biomédical le savoir-faire minimum requis. Cette formation doit avoir lieu dans notre centre de formation à Meylan

Vous pouvez obtenir des informations supplémentaires sur le contenu des formations, les dates et les prix auprès de :

Roche Diagnostics France  
Service éducation et formation  
2 avenue du Vercors, BP 59, 38242 Meylan Cedex, France  
Fax : +33 (0)4 76 76 46 60  
E-mail : meylan.trainingRTD@roche.com







Roche Diagnostics France  
2 avenue du Vercors, BP 59,  
38242 Meylan Cedex  
France

[www.rochediagnostics.fr](http://www.rochediagnostics.fr)  
[www.ventana.com](http://www.ventana.com)

© 2013 Ventana Medical Systems, Inc.  
et Roche Diagnostics France

VENTANA, le logo VENTANA, BENCHMARK, CONFIRM, DISCOVERY, INFORM, NexES,  
OPTISURE, PATHWAY, SYMPHONY, *ultra*View et VANTAGE sont des marques déposées de Roche.  
Toutes les autres marques déposées sont la propriété de leur détenteurs respectifs.

Les systèmes et réactifs de la gamme VENTANA sont destinés aux techniques de coloration  
sur lames des échantillons en anatomopathologie. Ils sont marqués CE IVD.

Mandataire : Roche Diagnostics GmbH (Allemagne)

Lire attentivement les instructions figurant sur les étiquetages et/ou dans les notices  
d'utilisation.

PA-218-12